

# Teoretická anorganická chemie

1. část

## ***Obecná chemie***

(teoretický základ chemických oborů)

### Organokovová chemie

#### ***Anorganická chemie***

chemie prvků  
a sloučenin  
mimo „C“

#### ***Organická chemie***

chemie sloučenin C  
+ některé další prvky  
(O, H, N, S)

- Analytická chemie
- Fyzikální chemie
- Biochemie
  
- Hraniční obory:  
geochemie, kosmochemie, chem. fyzika, radiochemie, ...

## Atomová teorie (Dalton 1808):

Látky se skládají z malých částic zvaných **atomy**.  
Atomy nelze vytvořit, zničit ani rozdělit.

Atomy jednoho prvku jsou stejné (mají stejnou hmotnost i vlastnosti).

Atomy různých prvků mají rozdílné vlastnosti a rozdílnou hmotnost.



## Pojem „molekula“ (Avogadro 1811):

Existuje určitá nejmenší částička vzniklé sloučeniny, která se vyznačuje určitými chemickými a fyzikálními vlastnostmi = **molekula**. Molekula je tvořena několika stejnými nebo různými atomy. Molekula konkrétní sloučeniny má vždy stejné složení co se týče počtu atomů i poměru prvků.



## Prvek

je látka složená ze stejného druhu neutrálních atomů, které mají shodné protonové číslo, avšak jejich nukleonová čísla mohou být různá. Každý chemický prvek má svůj mezinárodní symbol (značku).

## Chemická sloučenina

je chemicky čistá látka, která je tvořena jedním druhem molekul, které obsahují více než jeden druh atomů.

A portion of the periodic table showing elements from Aluminum to Astatine. The elements are arranged in rows and columns, with their atomic numbers, symbols, and names listed. The elements shown include: Aluminum (Al), Silicon (Si), Phosphorus (P), Sulfur (S), Chlorine (Cl), Argon (Ar), Potassium (K), Calcium (Ca), Scandium (Sc), Titanium (Ti), Vanadium (V), Chromium (Cr), Manganese (Mn), Iron (Fe), Cobalt (Co), Nickel (Ni), Copper (Cu), Zinc (Zn), Gallium (Ga), Germanium (Ge), Arsenic (As), Selenium (Se), Bromine (Br), Krypton (Kr), Rubidium (Rb), Strontium (Sr), Yttrium (Y), Zirconium (Zr), Niobium (Nb), Molybdenum (Mo), Technetium (Tc), Ruthenium (Ru), Rhodium (Rh), Palladium (Pd), Silver (Ag), Cadmium (Cd), Indium (In), Tin (Sn), Antimony (Sb), Tellurium (Te), Iodine (I), Xenon (Xe), Barium (Ba), Lanthanum (La), Cerium (Ce), Praseodymium (Pr), Neodymium (Nd), Promethium (Pm), Samarium (Sm), Europium (Eu), Gadolinium (Gd), Terbium (Tb), Dysprosium (Dy), Holmium (Ho), Erbium (Er), Thulium (Tm), Ytterbium (Yb), Lutetium (Lu), Hafnium (Hf), Tantalum (Ta), Tungsten (W), Rhenium (Rh), Osmium (Os), Iridium (Ir), Platinum (Pt), Gold (Au), Mercury (Hg), Thallium (Tl), Lead (Pb), Bismuth (Bi), Polonium (Po), Astatine (At), and Francium (Fr).

## Zákon stálých poměrů slučovacích (Proust 1799, Dalton 1799)

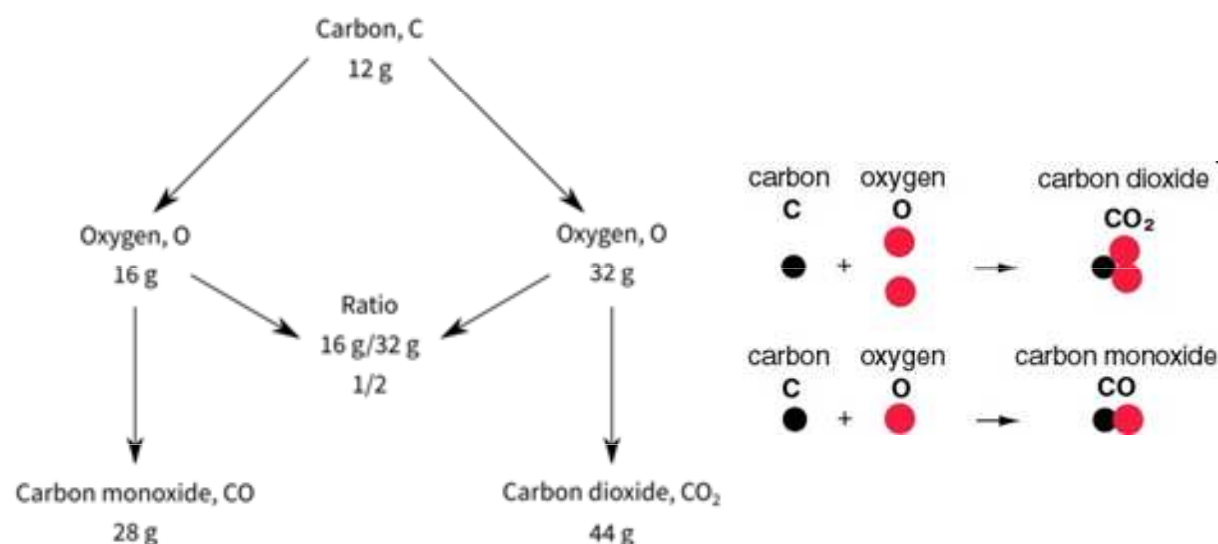
Hmotnostní poměr prvků či součástí dané sloučeniny je vždy stejný a nezávislý na způsobu přípravy sloučeniny.

**Příklad:** Ve vodě je poměr hmotností kyslíku a vodíku přibližně 8 : 1.

## Zákon násobných poměrů slučovacích (Richter 1791, Dalton 1802)

Tvoří-li dva prvky více podvojných sloučenin, pak hmotnosti jednoho prvku slučujícího se vždy se stejným množstvím prvku druhého jsou pro tyto sloučeniny v poměrech, které lze vyjádřit přibližně podílem malých celých čísel.

**Příklad:** Kyslík, který se sloučí beze zbytku s 1 g vodíku na vodu, má hmotnost asi 8 g. Kyslík, který se sloučí beze zbytku s 1 g vodíku na peroxid vodíku, má hmotnost přibližně 16 g. Poměr uvedených hmotností kyslíku je 1:2.



# Periodický zákon

***D. I. Mendělejev (1869)***

„Vlastnosti prvků jsou periodickou funkcí jejich atomových hmotností.“



***H. Moseley (1913)***

“Vlastnosti prvků jsou periodickou funkcí jejich protonových čísel”.



# Mendělejevův periodický systém

1. Opravy nesprávně určených atomových hmotností některých prvků (Ce, Th a U).
2. Změna pořadí některých prvků (Co – Ni, Te – I).
3. Předpovězení nových prvků: *Ekaabor* (Sc), *Ekaaluminium* (Ga) a *Ekasilicium* (Ge).

TABLE 5.1 A Comparison of Predicted and Observed Properties for Gallium (*eka-Aluminum*) and Germanium (*eka-Silicon*)

		Mendeleev's Prediction	Property Observed
<b>Gallium</b> ( <i>eka-Aluminum</i> )	Atomic weight	68	69.72
	Density	5.9 g/cm <sup>3</sup>	5.91 g/cm <sup>3</sup>
	Melting point	Low	29.8°C
	Formula of oxide	X <sub>2</sub> O <sub>3</sub>	Ga <sub>2</sub> O <sub>3</sub>
	Formula of chloride	XCl <sub>3</sub>	GaCl <sub>3</sub>
<b>Germanium</b> ( <i>eka-Silicon</i> )	Atomic weight	72	72.61
	Density	5.5 g/cm <sup>3</sup>	5.35 g/cm <sup>3</sup>
	Color	Dark gray	Light gray
	Formula of oxide	XO <sub>2</sub>	GeO <sub>2</sub>
	Formula of chloride	XCl <sub>4</sub>	GeCl <sub>4</sub>

Property	Mendeleev's Predictions for Eka-Silicon (made in 1871)	Observed Properties of Germanium (discovered in 1886)
Atomic weight	72	72.59
Density (g/cm <sup>3</sup> )	5.5	5.35
Specific heat (J/g-K)	0.305	0.309
Melting point (°C)	High	947
Color	Dark gray	Grayish white
Formula of oxide	XO <sub>2</sub>	GeO <sub>2</sub>
Density of oxide (g/cm <sup>3</sup> )	4.7	4.70
Formula of chloride	XCl <sub>4</sub>	GeCl <sub>4</sub>
Boiling point of chloride (°C)	A little under 100	84

Periodic Table of Elements based on Mendeleev's Periodic Law

0	I	II	III	IV	V	VI	VII	VIII			
He 4.00	H 1.01	Li 6.94	Be 9.01	B 10.8	C 12.0	N 14.0	O 16.0	F 19.0			
Ne 20.2	Na 23.0	Mg 24.3	Al 27.0	Si 28.1	P 31.0	S 32.1	Cl 35.5				
Ar 40.0	K 39.1	Ca 40.1	Sc 45.0	Ti 47.9	V 50.9	Cr 52.0	Mn 54.9	Fe 55.9	Co 58.9	Ni 58.7	
Kr 83.8	Rb 85.5	Sr 87.6	Y 88.9	Zr 91.2	Nb 92.9	Mo 95.9	Tc (99)	Ru 101	Rh 103	Pd 106	
Xe 131	Ce 133	Ba 137	La 139	Hf 179	Ta 181	W 184	Re 180	Oe 194	Ir 192	Pt 195	
Rn (222)	Fr (223)	Ra (226)	Ac (227)	Th 232	Pa (231)	U 238	Po (210)	At (210)			

Legend:  
■ Lanthanide series  
■ Actinide series  
● Known to Ancients  
■ Known to Mendeleev  
 Dobereiner's triads

# Moseleyho zákon

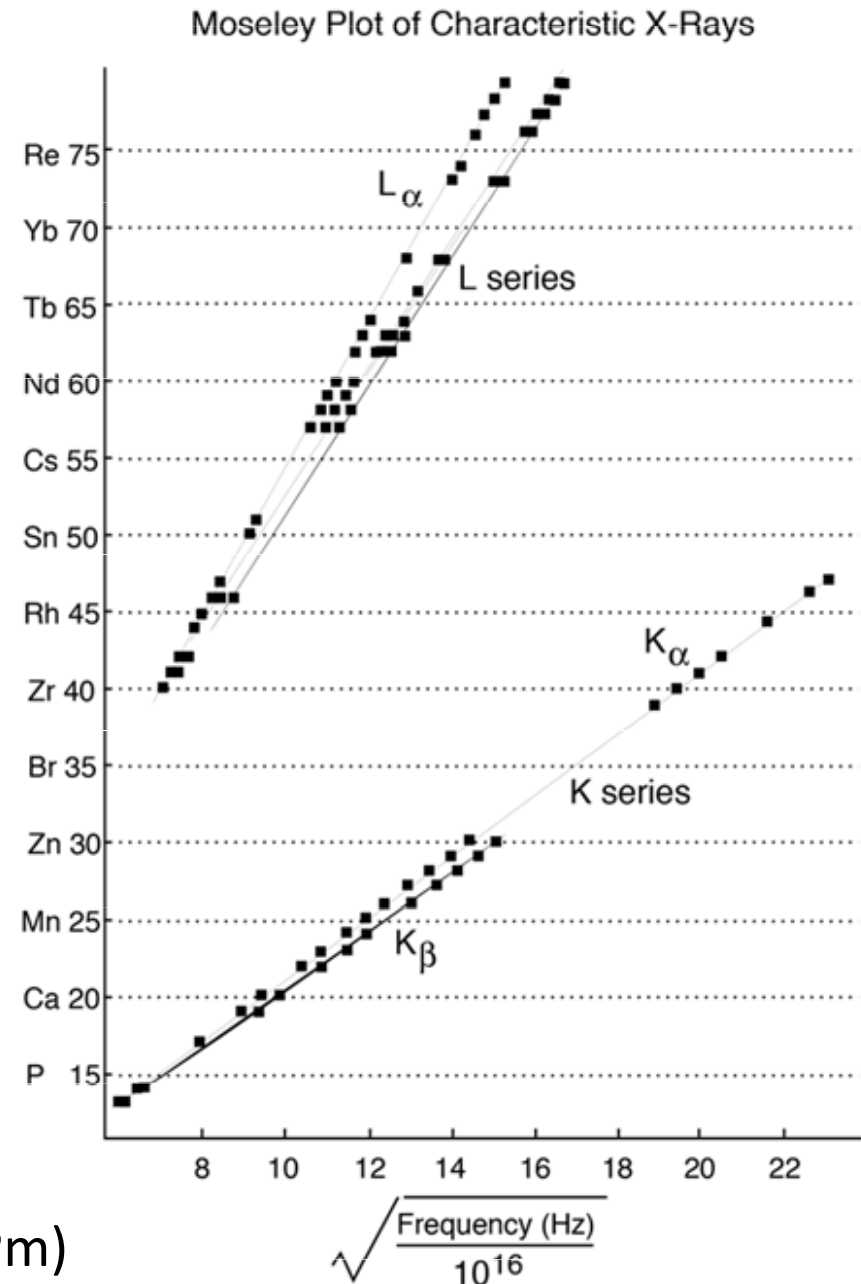
= lineární vztah mezi druhou odmocninou frekvence spektrálních čar charakteristického rentgenového záření a protonovým číslem prvku (Z)

$$\sqrt{\nu} = a(Z - b)$$

1. Správné pořadí prvků Co (Ar = 58.933) a Ni (Ar = 58.71) v periodickém systému.

Podobná situace je ještě v případě Ar (Ar = 39.94) a K (Ar = 39.098) nebo Th (Ar = 232.038) a Pa (Ar = 231.036)

2. Předpovězeny nové prvky: Z = 43 (Tc), 61 (Pm) a 75 (Re)





# Periodická soustava prvků

**Periodická soustava (tabulka) prvků** = grafické vyjádření periodicity prvků  
nejobvyklejší podoba = *dlouhá tabulka*

- rozdělena na 7 period
- prvek na počátku každé periody se vyznačuje tím, že v jeho atomu bylo zahájeno vytváření nové el. sféry
- každá perioda ukončena vzácným plynem

Group	1	2	3	4	5	6	7	8	9	10	11	12	13	14	15	16	17	18
Period 1	1 1 H																	4 2 He
2	7 3 Li	9 4 Be											11 5 B	12 6 C	14 7 N	16 8 O	19 9 F	20 10 Ne
3	23 11 Na	24 12 Mg											27 13 Al	28 14 Si	31 15 P	32 16 S	35.5 17 Cl	40 18 Ar
4	39 19 K	40 20 Ca	45 21 Sc	48 22 Ti	51 23 V	52 24 Cr	55 25 Mn	56 26 Fe	59 27 Co	59 28 Ni	63.5 29 Cu	65 30 Zn	70 31 Ga	73 32 Ge	75 33 As	79 34 Se	80 35 Br	84 36 Kr
5	85 37 Rb	88 38 Sr	89 39 Y	91 40 Zr	93 41 Nb	96 42 Mo	98 43 Tc	101 44 Ru	103 45 Rh	106 46 Pd	108 47 Ag	112 48 Cd	115 49 In	119 50 Sn	122 51 Sb	128 52 Te	127 53 I	131 54 Xe
6	133 55 Cs	137 56 Ba	57-71	178 72 Hf	181 73 Ta	184 74 W	186 75 Re	190 76 Os	192 77 Ir	195 78 Pt	197 79 Au	201 80 Hg	204 81 Tl	207 82 Pb	209 83 Bi	209 84 Po	210 85 At	222 86 Rn
7	223 87 Fr	226 88 Ra	89-103	268 104 Rf	268 105 Db	271 106 Sg	270 107 Bh	269 108 Hs	278 109 Mt	281 110 Ds	281 111 Rg	285 112 Cn	286 113 Uut	289 114 Fl	289 115 Uup	293 116 Lv	294 117 Uus	294 118 Uuo

139 57 La	140 58 Ce	141 59 Pr	144 60 Nd	147 61 Pm	150 62 Sm	152 63 Eu	157 64 Gd	159 65 Tb	162 66 Dy	165 67 Ho	167 68 Er	169 69 Tm	173 70 Yb	175 71 Lu
227 89 Ac	232 90 Th	231 91 Pa	238 92 U	237 93 Np	244 94 Pu	243 95 Am	247 96 Cm	247 97 Bk	251 98 Cf	252 99 Es	257 100 Fm	258 101 Md	259 102 No	262 103 Lr

## Periodic Table Key

X Synthetic Elements	X Liquids or melt at close	X Solids	X Gases	Alkali Metals	Alkali Earth Metals	Transition Metals	Other Metals	Metalloids	Other Non Metals	Halogens	Noble Gases	Lanthanides & Actinides
----------------------------	----------------------------------	-------------	------------	---------------	------------------------	----------------------	--------------	------------	---------------------	----------	-------------	----------------------------

<https://www.rsc.org/periodic-table/>



# Periodic Table of the Elements

1 1A 1A													13 IIIA 3A	14 IVA 4A	15 VA 5A	16 VIA 6A	17 VIIA 7A	18 VIIIA 8A
1 <b>H</b> Hydrogen 1.0078																		2 <b>He</b> Helium 4.00260
3 <b>Li</b> Lithium 6.941	4 <b>Be</b> Beryllium 9.01218												5 <b>B</b> Boron 10.811	6 <b>C</b> Carbon 12.011	7 <b>N</b> Nitrogen 14.00674	8 <b>O</b> Oxygen 15.9994	9 <b>F</b> Fluorine 18.998403	10 <b>Ne</b> Neon 20.1797
11 <b>Na</b> Sodium 22.989768	12 <b>Mg</b> Magnesium 24.305	3 IIIB 3B	4 IVB 4B	5 VB 5B	6 VIB 6B	7 VIIB 7B	8 VIII 8	9 VIII 8	10 VIII 8	11 IB 1B	12 IIB 2B	13 <b>Al</b> Aluminum 26.981539	14 <b>Si</b> Silicon 28.0855	15 <b>P</b> Phosphorus 30.973762	16 <b>S</b> Sulfur 32.066	17 <b>Cl</b> Chlorine 35.4527	18 <b>Ar</b> Argon 39.948	
19 <b>K</b> Potassium 39.0983	20 <b>Ca</b> Calcium 40.078	21 <b>Sc</b> Scandium 44.95591	22 <b>Ti</b> Titanium 47.88	23 <b>V</b> Vanadium 50.9415	24 <b>Cr</b> Chromium 51.9961	25 <b>Mn</b> Manganese 54.938	26 <b>Fe</b> Iron 55.847	27 <b>Co</b> Cobalt 58.9332	28 <b>Ni</b> Nickel 58.6934	29 <b>Cu</b> Copper 63.546	30 <b>Zn</b> Zinc 65.39	31 <b>Ga</b> Gallium 69.723	32 <b>Ge</b> Germanium 72.64	33 <b>As</b> Arsenic 74.92159	34 <b>Se</b> Selenium 78.96	35 <b>Br</b> Bromine 79.904	36 <b>Kr</b> Krypton 83.80	
37 <b>Rb</b> Rubidium 85.4678	38 <b>Sr</b> Strontium 87.62	39 <b>Y</b> Yttrium 88.90585	40 <b>Zr</b> Zirconium 91.224	41 <b>Nb</b> Niobium 92.90638	42 <b>Mo</b> Molybdenum 95.94	43 <b>Tc</b> Technetium 98.9062	44 <b>Ru</b> Ruthenium 101.07	45 <b>Rh</b> Rhodium 102.9055	46 <b>Pd</b> Palladium 106.42	47 <b>Ag</b> Silver 107.8682	48 <b>Cd</b> Cadmium 112.411	49 <b>In</b> Indium 114.818	50 <b>Sn</b> Tin 118.71	51 <b>Sb</b> Antimony 121.760	52 <b>Te</b> Tellurium 127.6	53 <b>I</b> Iodine 126.90447	54 <b>Xe</b> Xenon 131.29	
55 <b>Cs</b> Cesium 132.90545	56 <b>Ba</b> Barium 137.327	57-71	72 <b>Hf</b> Hafnium 178.49	73 <b>Ta</b> Tantalum 180.9479	74 <b>W</b> Tungsten 183.85	75 <b>Re</b> Rhenium 186.207	76 <b>Os</b> Osmium 190.23	77 <b>Ir</b> Iridium 192.22	78 <b>Pt</b> Platinum 195.08	79 <b>Au</b> Gold 196.9665	80 <b>Hg</b> Mercury 200.59	81 <b>Tl</b> Thallium 204.3833	82 <b>Pb</b> Lead 207.2	83 <b>Bi</b> Bismuth 208.98037	84 <b>Po</b> Polonium [209]	85 <b>At</b> Astatine 209	86 <b>Rn</b> Radon 222.0176	
87 <b>Fr</b> Francium 223	88 <b>Ra</b> Radium 226	89-103	104 <b>Rf</b> Rutherfordium [261]	105 <b>Db</b> Dubnium [262]	106 <b>Sg</b> Seaborgium [266]	107 <b>Bh</b> Bohrium [264]	108 <b>Hs</b> Hassium [269]	109 <b>Mt</b> Meitnerium [268]	110 <b>Ds</b> Darmstadtium [269]	111 <b>Rg</b> Roentgenium [272]	112 <b>Cn</b> Copernicium [277]	113 <b>Uut</b> Ununtrium unknown	114 <b>F1</b> Flerovium [289]	115 <b>Uup</b> Ununpentium unknown	116 <b>Lv</b> Livermorium [293]	117 <b>Uus</b> Ununseptium unknown	118 <b>Uuo</b> Ununoctium unknown	

Lanthanide Series	57 <b>La</b> Lanthanum 138.9055	58 <b>Ce</b> Cerium 140.115	59 <b>Pr</b> Praseodymium 140.90765	60 <b>Nd</b> Neodymium 144.24	61 <b>Pm</b> Promethium 144.9127	62 <b>Sm</b> Samarium 150.36	63 <b>Eu</b> Europium 151.9655	64 <b>Gd</b> Gadolinium 157.25	65 <b>Tb</b> Terbium 158.92534	66 <b>Dy</b> Dysprosium 162.50	67 <b>Ho</b> Holmium 164.93032	68 <b>Er</b> Erbium 167.26	69 <b>Tm</b> Thulium 168.93421	70 <b>Yb</b> Ytterbium 173.04	71 <b>Lu</b> Lutetium 174.967
Actinide Series	89 <b>Ac</b> Actinium 227	90 <b>Th</b> Thorium 232	91 <b>Pa</b> Protactinium 231	92 <b>U</b> Uranium 238	93 <b>Np</b> Neptunium 237	94 <b>Pu</b> Plutonium 244	95 <b>Am</b> Americium 243	96 <b>Cm</b> Curium 247	97 <b>Bk</b> Berkelium 247	98 <b>Cf</b> Californium 251	99 <b>Es</b> Einsteinium [254]	100 <b>Fm</b> Fermium [257]	101 <b>Md</b> Mendelevium [261]	102 <b>No</b> Nobelium [265]	103 <b>Lr</b> Lawrencium [262]

Alkali Metal	Alkaline Earth	Transition Metal	Basic Metal	Semimetal	Noometal	Halogen	Noble Gas	Lanthanide	Actinide
--------------	----------------	------------------	-------------	-----------	----------	---------	-----------	------------	----------

# Klasifikace prvků

1	2	3	4	5	6	7	8	9	10	11	12	13	14	15	16	17	18
Ia	IIa	IIIb	IVb	Vb	VIb	VIIb	VIII			Ib	IIb	IIIa	IVa	Va	VIa	VIIa	0
<b>H</b>																	<b>He</b>
<b>Li</b>	<b>Be</b>											<b>B</b>	<b>C</b>	<b>N</b>	<b>O</b>	<b>F</b>	<b>Ne</b>
<b>Na</b>	<b>Mg</b>											<b>Al</b>	<b>Si</b>	<b>P</b>	<b>S</b>	<b>Cl</b>	<b>Ar</b>
<b>K</b>	<b>Ca</b>	<b>Sc</b>	<b>Ti</b>	<b>V</b>	<b>Cr</b>	<b>Mn</b>	<b>Fe</b>	<b>Co</b>	<b>Ni</b>	<b>Cu</b>	<b>Zn</b>	<b>Ga</b>	<b>Ge</b>	<b>As</b>	<b>Se</b>	<b>Br</b>	<b>Kr</b>
<b>Rb</b>	<b>Sr</b>	<b>Y</b>	<b>Zr</b>	<b>Nb</b>	<b>Mo</b>	<b>Tc</b>	<b>Ru</b>	<b>Rh</b>	<b>Pd</b>	<b>Ag</b>	<b>Cd</b>	<b>In</b>	<b>Sn</b>	<b>Sb</b>	<b>Te</b>	<b>I</b>	<b>Xe</b>
<b>Cs</b>	<b>Ba</b>	<b>La</b>	<b>Hf</b>	<b>Ta</b>	<b>W</b>	<b>Re</b>	<b>Os</b>	<b>Ir</b>	<b>Pt</b>	<b>Au</b>	<b>Hg</b>	<b>Tl</b>	<b>Pb</b>	<b>Bi</b>	<b>Po</b>	<b>At</b>	<b>Rn</b>
<b>Fr</b>	<b>Ra</b>	<b>Ac</b>	<b>Db</b>	<b>Jl</b>	<b>Rf</b>	<b>Bh</b>	<b>Hn</b>	<b>Mt</b>									

lanthanoidy:	<b>Ce</b>	<b>Pr</b>	<b>Nd</b>	<b>Pm</b>	<b>Sm</b>	<b>Eu</b>	<b>Gd</b>	<b>Tb</b>	<b>Dy</b>	<b>Ho</b>	<b>Er</b>	<b>Tm</b>	<b>Yb</b>	<b>Lu</b>
aktinoidy:	<b>Th</b>	<b>Pa</b>	<b>U</b>	<b>Np</b>	<b>Pu</b>	<b>Am</b>	<b>Cm</b>	<b>Bk</b>	<b>Cf</b>	<b>Es</b>	<b>Fm</b>	<b>Md</b>	<b>No</b>	<b>Lr</b>

alkalické kovy	Li, Na, K, Rb, Cs, Fr
kovy alkalických zemin	Ca, Sr, Ba, Ra
chalkogeny	O, S, Se, Te, Po
halogeny	F, Cl, Br, I, At
vzácné plyny	He, Ne, Ar, Kr, Xe, Rn
prvky vzácných zemin	Sc, Y, La, Ce až Lu
lanthanoidy	Ce až Lu
aktinoidy	Th až Lr
transurany	Np až Lr
triáda železa	Fe, Co, Ni
lehké kovy platinové	Ru, Rh, Pd
těžké kovy platinové	Os, Ir, Pt

Značení	Skupiny prvků	Značení	Skupiny prvků
<b>pismo</b>	alkalické kovy (Li, Na, K, Rb, Cs, Fr)	<b>pismo</b>	pentely (N, P, As, Sb, Bi)
<b>pismo</b>	kovy alkalických zemin (Ca, Sr, Ba, Ra)	<b>pismo</b>	chalkogeny (O, S, Se, Te, Po)
<b>pismo</b>	triely (B, Al, Ga, In, Tl)	<b>pismo</b>	halogeny (F, Cl, Br, I, At)
<b>pismo</b>	tetrelly (C, Si, Ge, Sn, Pb)	<b>pismo</b>	vzácné plyny (He, Ne, Ar, Kr, Xe, Rn)

1	2	3	4	5	6	7	8	9	10	11	12	13	14	15	16	17	18
Ia	IIa	IIIb	IVb	Vb	VIb	VIIb	VIII			Ib	IIb	IIIa	IVa	Va	VIa	VIIa	0
<b>H</b>																	<b>He</b>
<b>Li</b>	<b>Be</b>											<b>B</b>	<b>C</b>	<b>N</b>	<b>O</b>	<b>F</b>	<b>Ne</b>
<b>Na</b>	<b>Mg</b>											<b>Al</b>	<b>Si</b>	<b>P</b>	<b>S</b>	<b>Cl</b>	<b>Ar</b>
<b>K</b>	<b>Ca</b>	<b>Sc</b>	<b>Ti</b>	<b>V</b>	<b>Cr</b>	<b>Mn</b>	<b>Fe</b>	<b>Co</b>	<b>Ni</b>	<b>Cu</b>	<b>Zn</b>	<b>Ga</b>	<b>Ge</b>	<b>As</b>	<b>Se</b>	<b>Br</b>	<b>Kr</b>
<b>Rb</b>	<b>Sr</b>	<b>Y</b>	<b>Zr</b>	<b>Nb</b>	<b>Mo</b>	<b>Tc</b>	<b>Ru</b>	<b>Rh</b>	<b>Pd</b>	<b>Ag</b>	<b>Cd</b>	<b>In</b>	<b>Sn</b>	<b>Sb</b>	<b>Te</b>	<b>I</b>	<b>Xe</b>
<b>Cs</b>	<b>Ba</b>	<b>La</b>	<b>Hf</b>	<b>Ta</b>	<b>W</b>	<b>Re</b>	<b>Os</b>	<b>Ir</b>	<b>Pt</b>	<b>Au</b>	<b>Hg</b>	<b>Tl</b>	<b>Pb</b>	<b>Bi</b>	<b>Po</b>	<b>At</b>	<b>Rn</b>
<b>Fr</b>	<b>Ra</b>	<b>Ac</b>	<b>Db</b>	<b>Jl</b>	<b>Rf</b>	<b>Bh</b>	<b>Hn</b>	<b>Mt</b>									

lanthanoidy:	<b>Ce</b>	<b>Pr</b>	<b>Nd</b>	<b>Pm</b>	<b>Sm</b>	<b>Eu</b>	<b>Gd</b>	<b>Tb</b>	<b>Dy</b>	<b>Ho</b>	<b>Er</b>	<b>Tm</b>	<b>Yb</b>	<b>Lu</b>
aktinoidy:	<b>Th</b>	<b>Pa</b>	<b>U</b>	<b>Np</b>	<b>Pu</b>	<b>Am</b>	<b>Cm</b>	<b>Bk</b>	<b>Cf</b>	<b>Es</b>	<b>Fm</b>	<b>Md</b>	<b>No</b>	<b>Lr</b>

Značení	Skupiny prvků	Značení	Skupiny prvků
	transurany (prvky následující za uranem)		triáda železa (Fe, Co, Ni)
<b>pismo</b>	lanthanoidy (Ce až Lu)		lehké platinové kovy (Ru, Rh, Pd)
<b>pismo</b>	aktinoidy (Th až Lr)		těžké platinové kovy (Os, Ir, Pt)
	prvky vzácných zemin (Sc, Y, La, Ce až Lu)		

# Periodická soustava prvků (krátká forma)

Period	Series	Group																					
		a I b	a II b	a III b	a IV b	a V b	a VI b	a VII b	a VIII b														
1	I	1 H														2 He							
2	II	3 Li	4 Be	5 B	6 C	7 N	8 O	9 F	10 Ne														
3	III	11 Na	12 Mg	13 Al	14 Si	15 P	16 S	17 Cl	18 Ar														
4	IV	19 K	20 Ca	21 Sc	22 Ti	23 V	24 Cr	25 Mn	26 Fe	27 Co	28 Ni												
	V	29 Cu	30 Zn	31 Ga	32 Ge	33 As	34 Se	35 Br	36 Kr														
5	VI	37 Rb	38 Sr	39 Y	40 Zr	41 Nb	42 Mo	43 Tc	44 Ru	45 Rh	46 Pd												
	VII	47 Ag	48 Cd	49 In	50 Sn	51 Sb	52 Te	53 I	54 Xe														
6	VIII	55 Cs	56 Ba	57-71	72 Hf	73 Ta	74 W	75 Re	76 Os	77 Ir	78 Pt												
	IX	79 Au	80 Hg	81 Tl	82 Pb	83 Bi	84 Po	85 At	86 Rn														
7	X	87 Fr	88 Ra	89-103	104 Rf	105 Db	106 Sg	107 Bh	108 Hs	109 Mt	110 Ds												
	XI	111 Rg	112 Cn	113 Uut	114 Fl	115 Uup	116 Lv	117 Uus	118 Uuo														
Higher oxides		R <sub>2</sub> O	RO	R <sub>2</sub> O <sub>3</sub>	RO <sub>2</sub>	R <sub>2</sub> O <sub>5</sub>	RO <sub>3</sub>	R <sub>2</sub> O <sub>7</sub>	RO <sub>4</sub>														
Volatile hydrogen compounds				[(RH <sub>3</sub> ) <sub>x</sub> ]	RH <sub>4</sub>	RH <sub>3</sub>	RH <sub>2</sub>	RH															
57	58	59	60	61	62	63	64	65	66	67	68	69	70	71									
La	Ce	Pr	Nd	Pm	Sm	Eu	Gd	Tb	Dy	Ho	Er	Tm	Yb	Lu									
89	90	91	92	93	94	95	96	97	98	99	100	101	102	103									
Ac	Th	Pa	U	Np	Pu	Am	Cm	Bk	Cf	Es	Fm	Md	No	Lr									

## Periodická soustava prvků (krátká forma)

Group 0	I		II		III		IV		V		VI		VII		VIII	
	a	b	a	b	a	b	a	b	a	b	a	b	a	b		
	H 1															
He 2	Li 3		Be 4		B 5		C 6		N 7		O 8		F 9			
Ne 10	Na 11		Mg 12		Al 13		Si 14		P 15		S 16		Cl 17			
Ar 18	K 19		Ca 20		Sc 21		Ti 22		V 23		Cr 24		Mn 25		Fe 26, Co 27, Ni 28	
	Cu 29		Zn 30		Ga 31		Ge 32		As 33		Se 34		Br 35			
Kr 36	Rb 37		Sr 38		Y 39		Zr 40		Nb 41		Mo 42		—		Ru 44, Rh 45, Pd 46	
	Ag 47		Cd 48		In 49		Sn 50		Sb 51		Te 52		I 53			
Xe 54	Cs 55		Ba 56		57-71*		Hf 72		Ta 73		W 74		Re 75		Os 76, Ir 77, Pt 78	
	Au 79		Hg 80		Tl 81		Pb 82		Bi 83		Po 84					
Rn 86	—		Ra 88		Ac 89		Th 90		Pa 91		U 92					

\* Lanthanum and the lanthanons

©1997 Encyclopaedia Britannica, Inc.

# Atomová hmotnost

**Proutova hypotéza (1815):** Atomové hmotnosti prvků jsou celočíselnými násobky hmotnosti atomu vodíku.

Odchytky od Proutovy hypotézy souvisí s existencí **izotopů** (např. neceločíselná hodnota atomové hmotnosti Ne  $A_{\text{r,Ne}} = 20.2$  je dána tím, že přírodní neon je směsí 90 %  $^{20}\text{Ne}$  a 10 %  $^{22}\text{Ne}$ ). Další příčinou odchylek od Proutovy hypotézy je existence **hmotnostního defektu**.

**Astonovo pravidlo celých čísel (1920):** Atomové hmotnosti izotopů mají přibližně celočíselné hodnoty.

## Příklad

Průzkumem neznámé planety bylo zjištěno následující zastoupení izotopů titanu (viz tabulka):

Isotope	Abundance	Mass (amu)
$^{46}\text{Ti}$	76.300%	45.95263
$^{48}\text{Ti}$	11.900%	47.94795
$^{50}\text{Ti}$	11.800%	49.94479

Jaká je relativní atomová hmotnost titanu na této planetě?

$$M_{\text{Ti}} = 45.95263 \times 76.3/100 + 47.94795 \times 11.9/100 + 49.94479 \times 11.8/100 = \underline{46.66115} \text{ amu.}$$

(relativní atomová hmotnost titanu na Zemi je 47,867 amu)

# Atomová hmotnost

**Atomová hmotnostní konstanta ( $m_u$ ):**  $u = 1/12$  klidové hmotnosti atomu  $^{12}_6\text{C}$  v základním stavu a nevázaného chemickými vazbami.

$$m_u = 1,660\,539\,066\,60(50) \times 10^{-27} \text{ kg}$$

**Relativní atomová hmotnost ( $A_r$ )** udává, kolikrát je klidová hmotnost daného atomu větší než atomová hmotnostní konstanta ( $m_u$ ). Bezrozměrné číslo, někdy se uvádí jako jednotka 1 **Da** (dalton) nebo již nepoužívaná jednotka 1 **a.m.u** (atomic mass unit).

$$A_r = \frac{m_a}{m_u} \quad \text{kde } m_a \text{ je klidová hmotnost atomu, } m_u \text{ je atomová hmotnostní konstanta}$$

Neceločíselná hodnota relativní atomové hmotnosti ( $A_r$ ) je dána tím, že přírodní prvek je směsí několika izotopů

$$\text{Average Atomic Mass} = \sum \left( \text{isotope mass} \times \frac{\text{percent of abundance}}{100 \%} \right)$$

Zaokrouhlená hodnota  $A_r$  je rovna hodnotě **nukleonového čísla A**.

<b>Chlor</b> ( $A_r = 35,453$ )	Isotope	Relative Mass	Abundance
	$^{35}\text{Cl}$	34.969	75.80%
	$^{37}\text{Cl}$	36.966	24.20%



# Atomová hmotnost

**Atomic Weight**  
grams per mole (g/mol)

1.00794                      139.004                      277

View...      Graph...

1																	18				
H 1.0079																	He 4.0026				
2																	10				
Li 6.941	Be 9.0122															B 10.811	C 12.011	N 14.007	O 15.999	F 18.998	Ne 20.18
3	4	5	6	7	8	9	10	11	12	13	14	15	16	17	18						
Na 22.99	Mg 24.305															Al 26.982	Si 28.085	P 30.974	S 32.065	Cl 35.453	Ar 39.948
19	20	21	22	23	24	25	26	27	28	29	30	31	32	33	34	35	36				
K 39.098	Ca 40.078	Sc 44.956	Ti 47.867	V 50.941	Cr 51.996	Mn 54.938	Fe 55.845	Co 58.933	Ni 58.693	Cu 63.546	Zn 65.38	Ga 69.723	Ge 72.64	As 74.922	Se 78.96	Br 79.904	Kr 83.798				
37	38	39	40	41	42	43	44	45	46	47	48	49	50	51	52	53	54				
Rb 85.468	Sr 87.62	Y 88.906	Zr 91.224	Nb 92.906	Mo 95.96	Tc 98	Ru 101.07	Rh 102.91	Pd 106.42	Ag 107.87	Cd 112.41	In 114.82	Sn 118.71	Sb 121.76	Te 127.60	I 126.9	Xe 131.29				
55	56	57	72	73	74	75	76	77	78	79	80	81	82	83	84	85	86				
Cs 132.91	Ba 137.33	La 138.91	Hf 178.49	Ta 180.95	W 183.84	Re 186.21	Os 190.23	Ir 192.22	Pt 195.08	Au 196.97	Hg 200.59	Tl 204.38	Pb 207.2	Bi 208.98	Po 209	At 210	Rn 222				
87	88	89	104	105	106	107	108	109	110	111	112	113	114	115	116	117	118				
Fr 223	Ra 226	Ac 227	Rf 261	Db 262	Sg 266	Bh 264	Hs 277	Mt 268	Ds 271	Rg 272	Uub 277	Uut	Uuq	Uup	Uuh	Uus	Uuo				

Ce 140.12	Pr 140.91	Nd 144.24	Pm 145	Sm 150.36	Eu 151.96	Gd 157.25	Tb 158.93	Dy 162.5	Ho 164.93	Er 167.26	Tm 168.93	Yb 173.05	Lu 174.97
58	59	60	61	62	63	64	65	66	67	68	69	70	71
Th 232.04	Pa 231.04	U 238.03	Np 237.05	Pu 244	Am 243	Cm 247	Bk 247	Cf 251	Es 252	Fm 257	Md 258	No 259	Lr 262
90	91	92	93	94	95	96	97	98	99	100	101	102	103

# Predikce atomových hmotností

1. **Döbereinerovy triády** (1817 a 1829): Atomová hmotnost prostředního člena triády je přibližně rovna průměru atomových hmotností obou krajních členů:

Cl: 35.46

S: 32.06

Ca: 40.07

Br: 79.92

Se: 79.2

Sr: 87.63

I: 126.92

Te: 127.5

Ba: 137.37

$$(Cl + I)/2: 81.19$$

$$(S + Te)/2: 79.78$$

$$(Ca + Ba)/2: 88.72$$

Další triády: Fe + Co + Ni, Ru + Rh + Pd, Os + Ir + Pt

Pro nukleonová čísla platí identita:

$$(n - 1 + n + 1)/2 = n$$

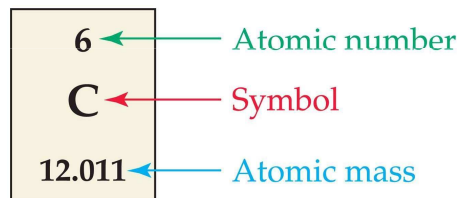
2. Atomová hmotnost prvku je přibližně rovna **aritmetickému průměru atomových hmotností** okolních prvků:

$$A_{Cu} = (A_K + A_{Ca} + A_{Rb} + A_{Sr})/4 = 63.05 \quad (\text{skutečnost: } 63.57)$$

Pro nukleonová čísla platí identita:

$$[(n - k) + (n - k + 1) + (n - k + 2) + \dots + (n + k - 2) + (n + k - 1) + (n + k)]/2k = n$$

1 H 1.008																	1 H 1.008	2 He 4.00			
3 Li 6.94	4 Be 9.01															5 B 10.81	6 C 12.01	7 N 14.00	8 O 16.00	9 F 19.00	10 Ne 20.18
11 Na 22.99	12 Mg 24.31															13 Al 26.98	14 Si 28.09	15 P 30.97	16 S 32.06	17 Cl 35.45	18 Ar 39.95
19 K 39.10	20 Ca 40.10	21 Sc 44.96	22 Ti 47.90	23 V 50.94	24 Cr 52.00	25 Mn 54.94	26 Fe 55.85	27 Co 58.93	28 Ni 58.70	29 Cu 63.55	30 Zn 65.38	31 Ga 69.72	32 Ge 72.59	33 As 74.92	34 Se 78.96	35 Br 79.90	36 Kr 83.80				
37 Rb 85.47	38 Sr 87.62	39 Y 88.91	40 Zr 91.22	41 Nb 92.91	42 Mo 95.94	43 Tc [97.91]	44 Ru 101.07	45 Rh 102.91	46 Pd 106.4	47 Ag 107.87	48 Cd 112.41	49 In 114.82	50 Sn 118.69	51 Sb 121.75	52 Te 127.60	53 I 126.90	54 Xe 131.30				
55 Cs 132.91	56 Ba 137.33	57-71 La	72 Hf 178.49	73 Ta 180.95	74 W 183.85	75 Re 186.21	76 Os 190.2	77 Ir 192.22	78 Pt 195.05	79 Au 196.97	80 Hg 200.59	81 Tl 204.37	82 Pb 207.2	83 Bi 208.98	84 Po [209]	85 At [210]	86 Rn [222]				
87 Fr [223.02]	88 Ra [226.03]	89-103 Ac	104 Rf [265.12]	105 Db [268.13]	106 Sg [271.13]	107 Bh [270]	108 Hs [277.15]	109 Mt [276.15]	110 Ds [281.16]	111 Rg [280.16]	112 Cn [285.17]	113 Nh [284.18]	114 Fl [289.19]	115 Mc [288.19]	116 Lv [293]	117 Ts [294]	118 Og [294]				
Lanthanides		57 La 138.91	58 Ce 140.12	59 Pr 140.91	60 Nd 144.24	61 Pm [145]	62 Sm 150.4	63 Eu 151.96	64 Gd 157.25	65 Tb 158.93	66 Dy 162.50	67 Ho 164.93	68 Er 167.26	69 Tm 168.93	70 Yb 173.04	71 Lu 174.97					
Actinides		89 Ac [277.03]	90 Th 232.04	91 Pa 231.04	92 U 238.029	93 Np [237.05]	94 Pu [244.06]	95 Am [243.06]	96 Cm [247.07]	97 Bk [247.07]	98 Cf [251.08]	99 Es [252.08]	100 Fm [257.10]	101 Md [258.10]	102 No [259.10]	103 Lr [262.11]					



$$2 \leq Z \leq 20$$

Pro lichá Z:  $M = 2 \cdot Z + 1$

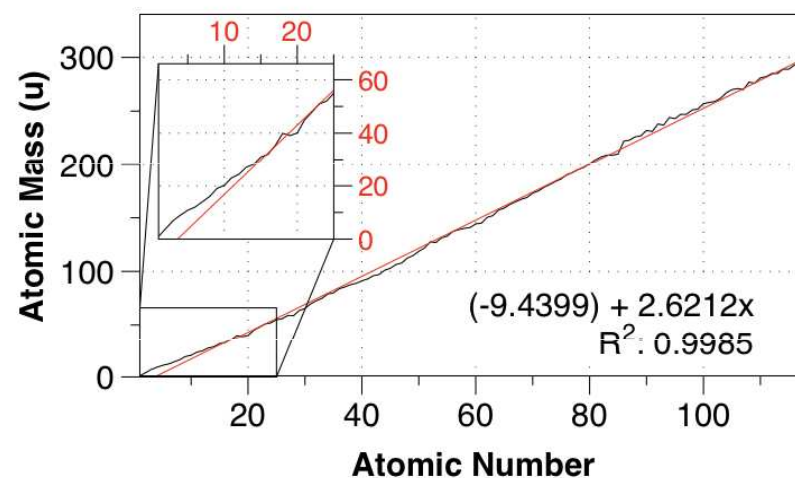
Pro sudá Z:  $M = 2 \cdot Z$

**Výjimky:**  ${}_3\text{Be}$ : výpočet jako pro lichá Z,  ${}_7\text{N}$ : jako pro sudá Z,  ${}_{17}\text{Cl}$ :  $M = 35,5$ ,  ${}_{18}\text{Ar}$ :  $M = 40$  (jako  ${}_{20}\text{Ca}$ )

# Odhad relativní atomové hmotnosti z atomového čísla (Z)

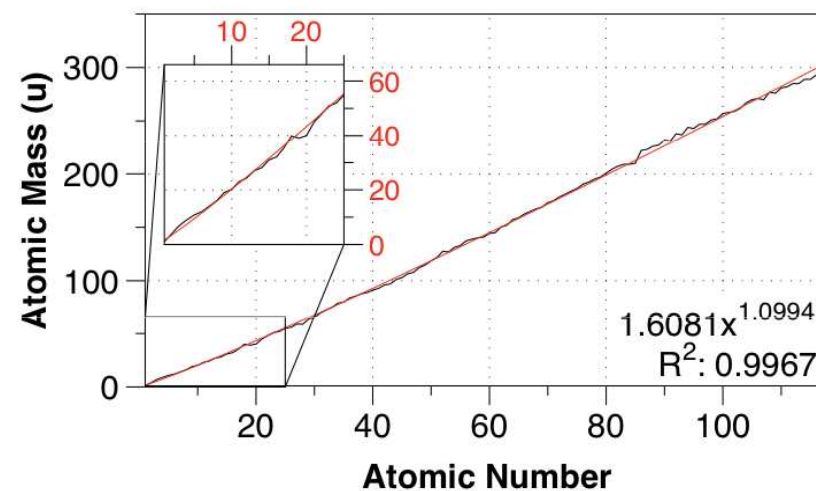
Lze použít lineární funkci:

$$m_a \approx 2.62 \cdot Z - 9,44$$



nebo exponenciální funkci:

$$m_a \approx 1.61 \cdot Z^{1.1}$$



# Atomové jádro

Mass number =  
Number of nucleons in  
a nucleus



Chemical  
symbol for  
element

Atomic number =  
Number of protons in a  
nucleus

Isotopes	Number of protons	Number of neutrons	Number of electrons
${}_{14}^{28}\text{Si}$	14	$28 - 14 = 14$	14
${}_{14}^{29}\text{Si}$	14	$29 - 14 = 15$	14
${}_{14}^{30}\text{Si}$	14	$30 - 14 = 16$	14

**Protonové číslo** (atomové číslo,  $Z$ ) = počet protonů v atomovém jádře daného prvku.

**Nukleonové číslo** (hmotnostní číslo,  $A$ ) = celkový počet protonů + neutronů (tzn. všech nukleonů) v atomovém jádře.

**Neutronové číslo** ( $N$ ) = počet neutronů v atomovém jádře.

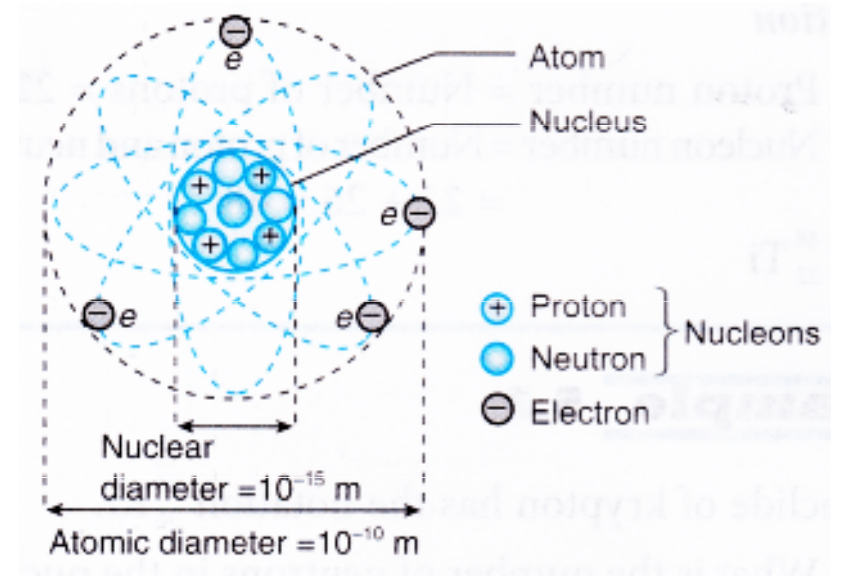
$$N = A - Z$$

**Izotopové číslo** ( $I$ ) = vyjadřuje nadbytek neutronů

$$I = A - 2.Z$$

V neutrálním atomu se počet protonů rovná počtu elektronů, tzn. **protonové číslo označuje také základní počet elektronů** v atomech daného prvku.

- **proton:**  $m = 1.672 \times 10^{-27} \text{ kg}$   
 $m/m_u = 1.0072$
- **neutron:**  $m = 1.674 \times 10^{-27} \text{ kg}$   
 $m/m_u = 1.0086$
- **elektron:**  $m = 9.1091 \times 10^{-31} \text{ kg}$   
 $m/m_u = 5.486 \times 10^{-4}$



Hmotnost atomu je soustředěna do jádra, kde je **silná interakce** proton-neutron.

Efektivní průměr atomu - cca 100-600 pm

Efektivní průměr jádra - cca 0.01 pm  $\Rightarrow$

$10^4 \times$  menší  $\Rightarrow$  obrovská  $\rho \sim 10^{12} \text{ g/cm}^3$

**Klidová hmotnost atomu:**  $m = 10^{-27} - 10^{-25} \text{ kg}$







# Astonovo pravidlo

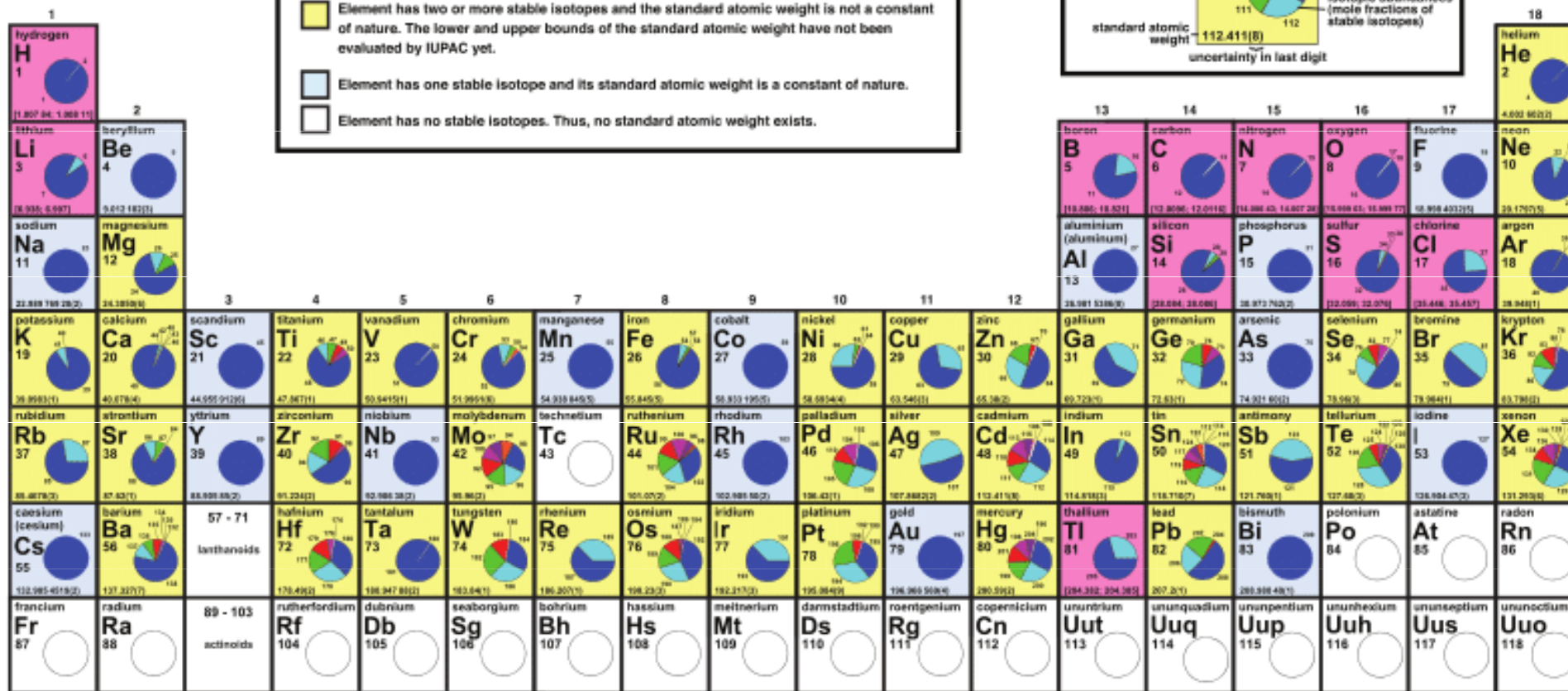
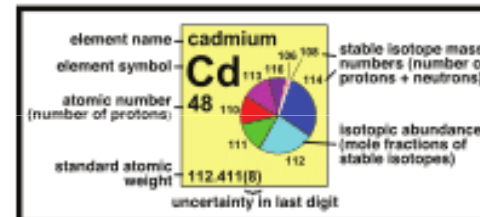
Prvky s lichým Z mají maximálně 2 stabilní izotopy, prvky se sudým Z mají 2 a více stabilních izotopů (výjimkou je Be: jen 1 stabilní izotop).

1 <b>H</b> Hydrogen																	2 <b>He</b> Helium						
3 <b>Li</b> Lithium	4 <b>Be</b> Beryllium																	5 <b>B</b> Boron	6 <b>C</b> Carbon	7 <b>N</b> Nitrogen	8 <b>O</b> Oxygen	9 <b>F</b> Fluorine	10 <b>Ne</b> Neon
11 <b>Na</b> Sodium	12 <b>Mg</b> Magnesium																	13 <b>Al</b> Aluminium	14 <b>Si</b> Silicon	15 <b>P</b> Phosphorus	16 <b>S</b> Sulfur	17 <b>Cl</b> Chlorine	18 <b>Ar</b> Argon
19 <b>K</b> Potassium	20 <b>Ca</b> Calcium	21 <b>Sc</b> Scandium	22 <b>Ti</b> Titanium	23 <b>V</b> Vanadium	24 <b>Cr</b> Chromium	25 <b>Mn</b> Manganese	26 <b>Fe</b> Iron	27 <b>Co</b> Cobalt	28 <b>Ni</b> Nickel	29 <b>Cu</b> Copper	30 <b>Zn</b> Zinc	31 <b>Ga</b> Gallium	32 <b>Ge</b> Germanium	33 <b>As</b> Arsenic	34 <b>Se</b> Selenium	35 <b>Br</b> Bromine	36 <b>Kr</b> Krypton						
37 <b>Rb</b> Rubidium	38 <b>Sr</b> Strontium	39 <b>Y</b> Yttrium	40 <b>Zr</b> Zirconium	41 <b>Nb</b> Niobium	42 <b>Mo</b> Molybdenum	43 <b>Tc</b> Technetium	44 <b>Ru</b> Ruthenium	45 <b>Rh</b> Rhodium	46 <b>Pd</b> Palladium	47 <b>Ag</b> Silver	48 <b>Cd</b> Cadmium	49 <b>In</b> Indium	50 <b>Sn</b> Tin	51 <b>Sb</b> Antimony	52 <b>Te</b> Tellurium	53 <b>I</b> Iodine	54 <b>Xe</b> Xenon						
55 <b>Cs</b> Cesium	56 <b>Ba</b> Barium	57 <b>La</b> Lanthanum	72 <b>Hf</b> Hafnium	73 <b>Ta</b> Tantalum	74 <b>W</b> Tungsten	75 <b>Re</b> Rhenium	76 <b>Os</b> Osmium	77 <b>Ir</b> Iridium	78 <b>Pt</b> Platinum	79 <b>Au</b> Gold	80 <b>Hg</b> Mercury	81 <b>Tl</b> Thallium	82 <b>Pb</b> Lead	83 <b>Bi</b> Bismuth	84 <b>Po</b> Polonium	85 <b>At</b> Astatine	86 <b>Rn</b> Radon						
87 <b>Fr</b> Francium	88 <b>Ra</b> Radium	89 <b>Ac</b> Actinium	104 <b>Rf</b> Rutherfordium	105 <b>Db</b> Dubnium	106 <b>Sg</b> Seaborgium	107 <b>Bh</b> Bohrium	108 <b>Hs</b> Hassium	109 <b>Mt</b> Meitnerium	110 <b>Ds</b> Darmstadtium	111 <b>Rg</b> Roentgenium	112 <b>Uub</b> Ununbium	113 <b>Uut</b> Ununtrium	114 <b>Fl</b> Flerovium	115 <b>Uup</b> Ununpentium	116 <b>Lv</b> Livermorium	117 <b>Uus</b> Ununseptium	118 <b>Uuo</b> Ununoctium						
		58 <b>Ce</b> Cerium	59 <b>Pr</b> Praseodymium	60 <b>Nd</b> Neodymium	61 <b>Pm</b> Promethium	62 <b>Sm</b> Samarium	63 <b>Eu</b> Europium	64 <b>Gd</b> Gadolinium	65 <b>Tb</b> Terbium	66 <b>Dy</b> Dysprosium	67 <b>Ho</b> Holmium	68 <b>Er</b> Erbium	69 <b>Tm</b> Thulium	70 <b>Yb</b> Ytterbium	71 <b>Lu</b> Lutetium								
		90 <b>Th</b> Thorium	91 <b>Pa</b> Protactinium	92 <b>U</b> Uranium	93 <b>Np</b> Neptunium	94 <b>Pu</b> Plutonium	95 <b>Am</b> Americium	96 <b>Cm</b> Curium	97 <b>Bk</b> Berkelium	98 <b>Cf</b> Californium	99 <b>Es</b> Einsteinium	100 <b>Fm</b> Fermium	101 <b>Md</b> Mendelevium	102 <b>No</b> Nobelium	103 <b>Lr</b> Lawrencium								



# IUPAC Periodic Table of the Isotopes

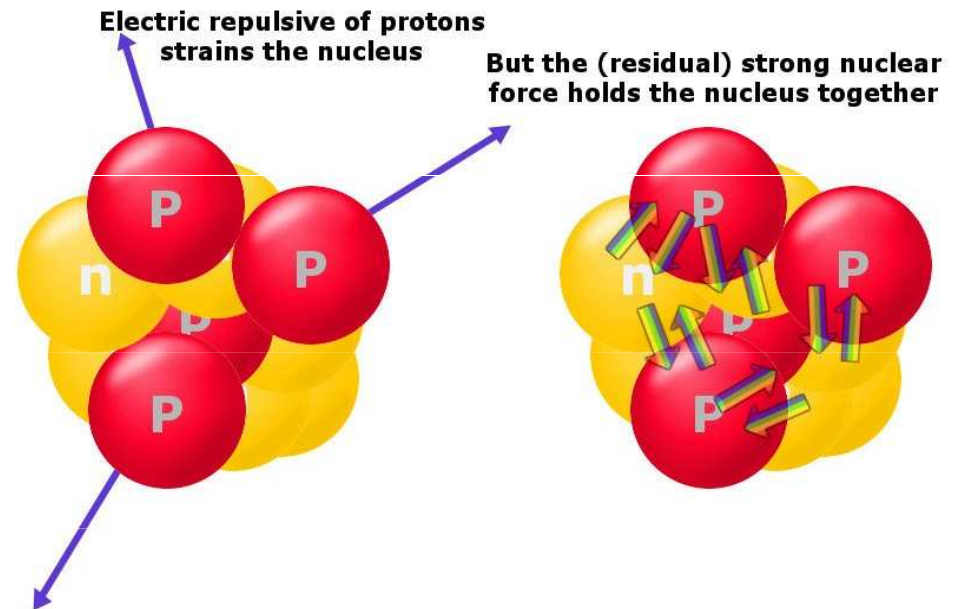
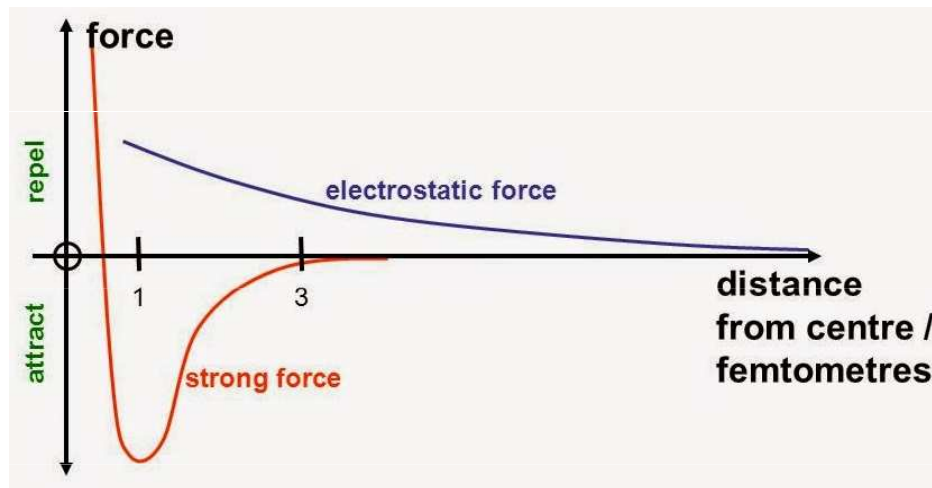
-  Element has two or more stable isotopes. Atomic weight and isotopic abundances of element vary in naturally occurring materials. The lower and upper bounds of atomic weight have been assessed by IUPAC and are presented as the standard atomic weight within square brackets, [ ].
-  Element has two or more stable isotopes and the standard atomic weight is not a constant of nature. The lower and upper bounds of the standard atomic weight have not been evaluated by IUPAC yet.
-  Element has one stable isotope and its standard atomic weight is a constant of nature.
-  Element has no stable isotopes. Thus, no standard atomic weight exists.



International Year of  
**CHEMISTRY**  
 2011

# Struktura atomového jádra, vazebné síly

**Nukleony** (protony a neutrony) jsou velmi těsně vázány v jádře. Udržení pozitivně nabitých, navzájem se odpuzujících, protonů ve velmi malém objemu jádra vyžaduje velmi very silné přitažlivé síly – **silné jaderné interakce**. Tyto síly působí mezi protony, mezi neutrony a mezi protony and neutrony. Jsou velmi odlišné od elektrostatických sil poutající záporně nabitý elektron ke kladně nabitému jádru. Jejich dosah je méně než  $10^{-15}$  m, omezují se tedy pouze na samotné jádro.



Repulzní energie mezi 2 protony:

$$U_{p-p} = +\frac{ke^2}{r} = \frac{1.44 \text{ eV} \cdot \text{nm}}{1 \times 10^{-6} \text{ nm}} = 1.44 \text{ MeV}$$

# Struktura atomového jádra

**Poloměr jádra** je cca  $10^{-15}$  m

**Poloměr atomu** je cca  $10^{-10}$  m

Jádra mají obrovskou **hustotu**, v průměru asi  $1.8 \times 10^{14}$  g/cm<sup>3</sup>.

**Hmotnost** jádra se často vyjadřuje pomocí atomové hmotnostní jednotky  $u$  ( $u \approx 1.66 \times 10^{-27}$  kg), která je přibližně rovna hmotnosti jednoho nukleonu. Hmotnost jádra charakterizuje počet jeho nukleonů daný nukleonovým číslem  $A$ .

**Poloměr jádra:**  $R = R_0 A^{\frac{1}{3}}$  kde  $R_0 = 1,2 \times 10^{-15}$  m

**Objem jádra:**  $V = \frac{4}{3}\pi R^3$

**Hustota jádra:**  $\rho = \frac{M}{V} \Rightarrow \rho = \frac{Am}{\frac{4}{3}\pi r_0^3 A} \Rightarrow \rho = \frac{3m}{4\pi r_0^3}$   
 $R_0 = r_0$

Obvykle se jádro považuje za kouli. Ve skutečnosti se však tvar jádra od ideální koule často mírně odlišuje. Jádra tak mohou mít nejen tvar koule, ale i zploštělého elipsoidu, protáhlého elipsoidu nebo i složitějších těles.

**Příklad:** Pokud by Země měla průměrnou hustotu atomového jádra, byl by při stejné hmotnosti její poloměr pouze asi 200 m (skutečný poloměr Země je asi  $6.4 \times 10^6$  m, tj. asi 30 000x větší).

**Příklad:** Jaký je průměr atomového jádra  $^{16}\text{O}$ ?

$$\begin{aligned}R_{\mathbf{O}} &= r_0 A_{\mathbf{O}}^{\frac{1}{3}} = (1.2 \times 10^{-15})(16)^{\frac{1}{3}} \\ &= (1.2 \times 10^{-15}) \times (2.5198) \\ &= 3.0238 \times 10^{-15}\end{aligned}$$

$$\text{diameter} = 2 \times 3.0238 \times 10^{-15} = 6.0476 \times 10^{-15}$$

Ans. diameter of an oxygen nucleus is  $6.05 \times 10^{-15}$  m

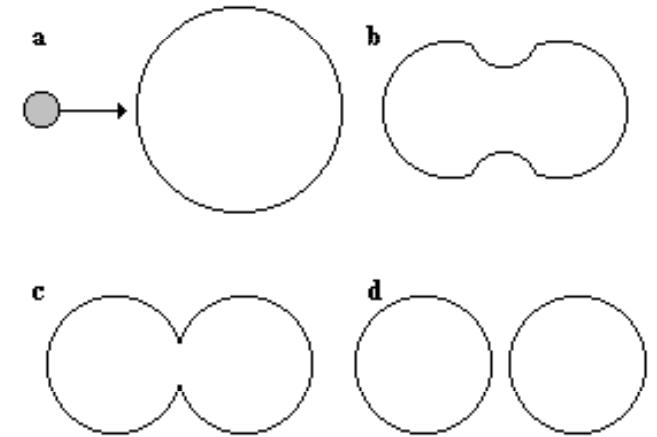
**Příklad:** Kolikanásobně je větší jádro  $^{64}\text{Cu}$  než jádro  $^{16}\text{O}$ ?

$$\frac{R_{\mathbf{Cu}}}{R_{\mathbf{O}}} = \left( \frac{A_{\mathbf{Cu}}}{A_{\mathbf{O}}} \right)^{\frac{1}{3}} = \left( \frac{64}{16} \right)^{\frac{1}{3}} = (4)^{\frac{1}{3}} = 1.59$$

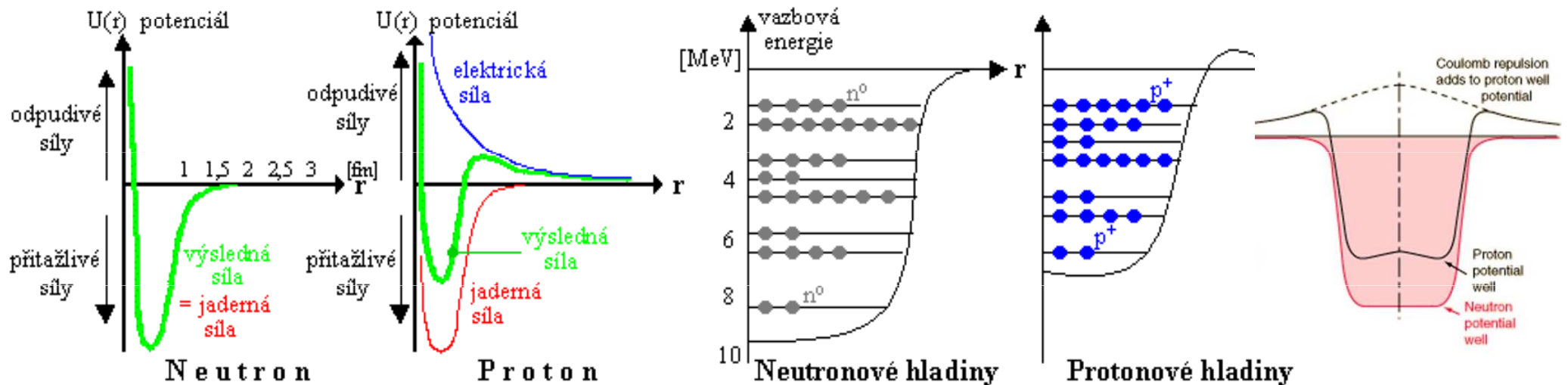
Jádro  $^{64}\text{Cu}$  je 1.59x větší než jádro  $^{16}\text{O}$ .

# Struktura atomového jádra

**Kapkový model:** chování jádra odpovídá chování nestlačitelné kapaliny s velkou a konstantní hustotou. Objem jádra a vazebná energie jsou přímo úměrné nukleonovému číslu  $A$ . Pomocí tohoto modelu lze též vysvětlit průběh jaderné reakce.



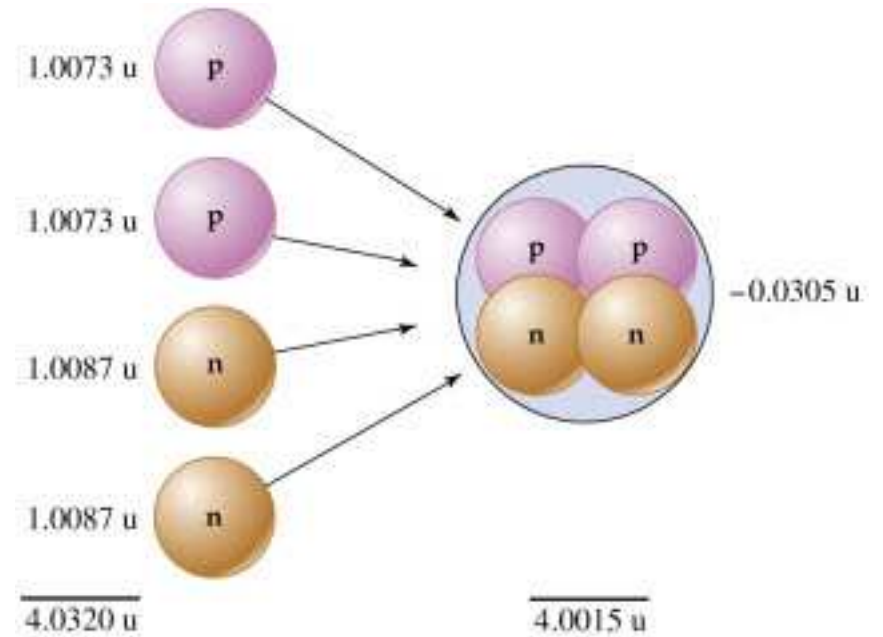
**Slupkový (hladinový) model:** nukleony zauímají určité kvantové stavy (energetické hladiny), které tvoří „slupky“. Při přechodech mezi jednotlivými energetickými hladinami vyzařují nukleony fotony **záření  $\gamma$** . Energie těchto fotonů se pohybuje v rozmezí  $10^4$ - $10^7$ , jedná se o elektromagnetické vlny s nejkratšími známými vlnovými délkami.



# Hmotnostní defekt a vazebná energie jádra

**Hmotnostní defekt** je rozdíl mezi sumou hmotností protonů a neutronů jimiž je jádro tvořeno a skutečnou hmotností jádra:

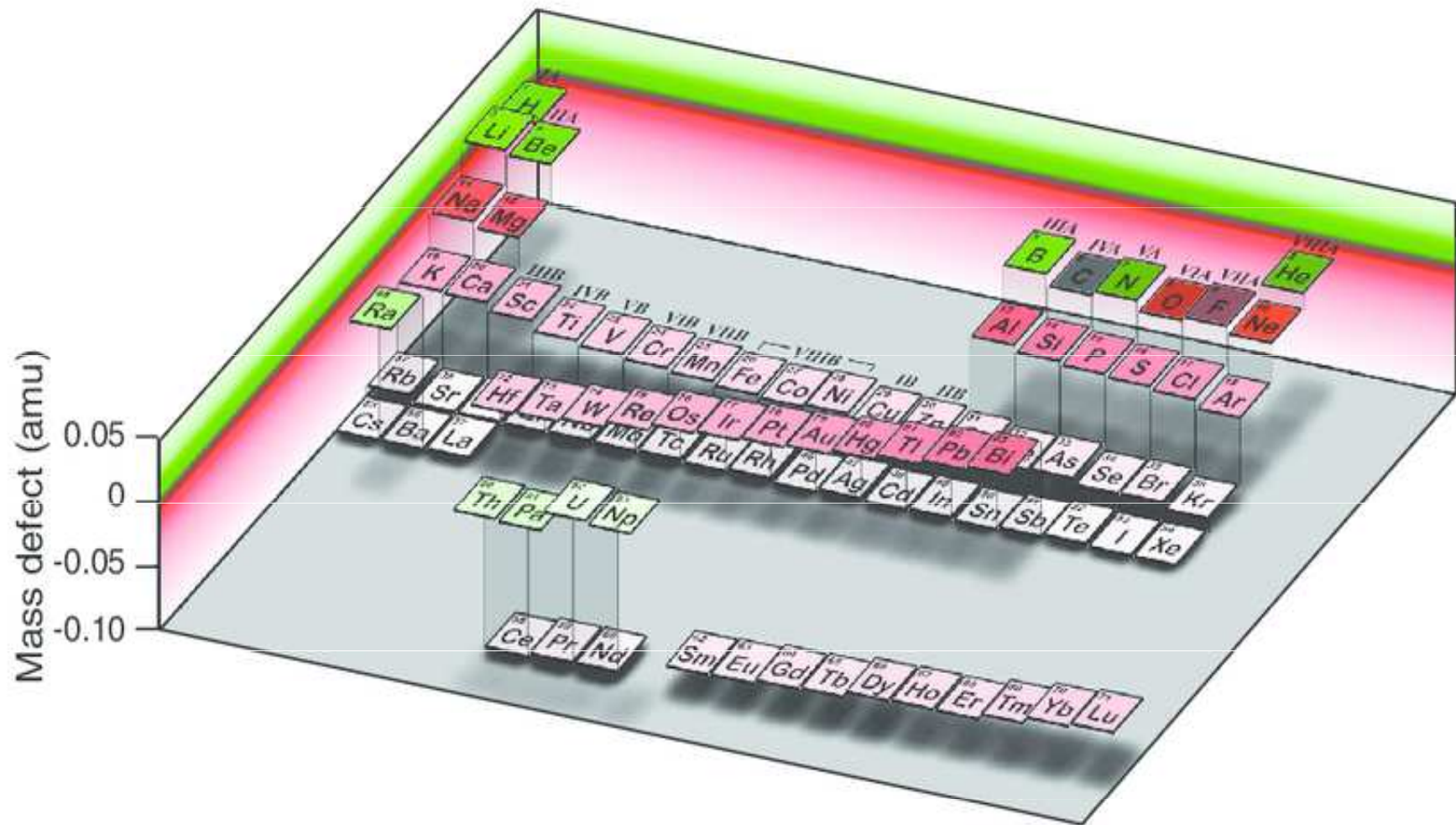
$$\Delta m = (Zm_p + Nm_n) - M_A$$



Vazebnou energii jádra lze vypočítat z **Einsteinovy rovnice**:

$$\Delta E = \Delta mc^2$$

Nucleus	Mass of Nucleus (amu)	Mass of Individual Nucleons (amu)	Mass Defect (amu)	Binding Energy (J)	Binding Energy per Nucleon (J)
${}^4_2\text{He}$	4.00150	4.03188	0.03038	$4.53 \times 10^{-12}$	$1.13 \times 10^{-12}$
${}^{56}_{26}\text{Fe}$	55.92068	56.44914	0.52846	$7.90 \times 10^{-11}$	$1.41 \times 10^{-12}$
${}^{238}_{92}\text{U}$	238.00031	239.93451	1.93420	$2.89 \times 10^{-10}$	$1.21 \times 10^{-12}$



***Index stěsnání*** (podle Astona):

$$p = (M - A)/A$$

M = zjištěná hmotnost nuklidu (izotopu)

A = nukleonové číslo

**Příklad:** Vypočtete průměrnou vazebnou energii (v kJ/mol) jádra uranu  $^{235}_{92}\text{U}$ . Experimentálně zjištěná hmotnost jádra  $^{235}_{92}\text{U}$  je 235.04393 amu.

$$m_p = 1.007825 \text{ amu}; m_n = 1.008665 \text{ amu}; m_u = 1.660539 \times 10^{-27} \text{ kg}$$

**Řešení:**

$^{235}_{92}\text{U}$  obsahuje 92 protonů (Z) a 143 neutronů ( $N = A - Z$ ), experimentálně zjištěná hmotnost jádra ( $M_n$ ) je 235.04393 amu. Odtud hmotnostní pro deficit  $M_d$ :

$$M_d = (m_p \times Z + m_n \times N) - M_n$$

$$M_d = (92 \times (1.00728 \text{ amu}) + 143 \times (1.00867 \text{ amu})) - 235.0439 \text{ amu}$$

$$M_d = 1.86564 \text{ amu}$$

$$M = M_d \times m_u = 1.86564 \text{ amu} \times 1.660539 \times 10^{-27} = 3.09797 \times 10^{-27} \text{ kg}$$

$$E = M \times c^2 = 3.09797 \times 10^{-27} \text{ kg} \times (2.99792458 \times 10^8 \text{ m/s})^2$$

$$E = 2.7843 \times 10^{-10} \text{ J}$$

$$E_m = 2.7843 \times 10^{-10} \text{ J/atom} \times 6.022 \times 10^{23} \text{ atomů/mol} = \underline{1.6762 \times 10^{11} \text{ kJ/mol.}}$$



# Vazebná energie atomového jádra

**Bethe-Weizsäckerova rovnice** (semi-empirická hmotnostní rovnice) je odvozena z kapkového modelu jádra.

$$E_B = a_V A - a_S A^{2/3} - a_A \frac{(A-2Z)^2}{A^{1/3}} - a_C \frac{Z(Z-1)}{A^{1/3}} + \delta(A, Z)$$

Volume term

Surface term

Asymmetry term

Coulomb term

Pairing term

For pairing term:

$$\delta(A, Z) = \begin{cases} +\delta_o & A, Z \text{ even} \\ 0 & \\ -\delta_o & \end{cases}$$

where

$$\delta_o = \frac{a_P}{A^{1/2}}$$

Coefficients:

$$a_V = 15.85 \text{ MeV}$$

$$a_S = 18.34 \text{ MeV}$$

$$a_A = 23.21 \text{ MeV}$$

$$a_C = 0.714 \text{ MeV}$$

$$a_P = 12.00 \text{ MeV}$$

Z	N	A	$\delta$	$E_p$
even	even	even	34	$+\delta / A^{3/4}$
even	odd	odd	0	0
odd	even	odd	0	0
odd	odd	even	35	$-\delta / A^{3/4}$

Použitím **Weizsäckerova vzorce** lze vypočítat i hmotnost atomového jádra:

$$M(A, Z) = Z \cdot m_p + (A - Z) \cdot m_n - E_B / c^2$$

kde  $m_p$  a  $m_n$  jsou hmotnosti protonu a neutronu,  $E_b$  je vazebná energie jádra,  $c$  je rychlost světla ve vakuu.

	$^{40}_{20}\text{Ca}$	$^{107}_{47}\text{Ag}$	$^{238}_{92}\text{U}$
volume term	630	1686	3751
surface term	-208	-401	-684
coulomb term	-83	-331	-971
symmetry term	0	-37	-290
pairing term	+2	0	+0.6
calculated $E_B$	341	917	1806
measured $E_B$	342	915	1802
measured $E_B/A$	8.6	8.6	7.6

Z Bethe - Weizsäckerovy rovnice lze také odvodit:

1. Pro jádra s **lichým N a Z** je kvůli záporné hodnotě párového členu  $\delta$  vazebná energie nižší, u těchto jader lze očekávat **nižší stabilitu**. Pro jádra se **sudým N a Z** je kvůli kladné hodnotě  $\delta$  vazebná energie vyšší, u těchto jader lze očekávat **vyšší stabilitu**.

2. Nalezení **nejstabilnějšího jádra** v řadě izobarů:

$$\left( \frac{\partial M(A, Z)}{\partial Z} \right)_{A=\text{konst}} = 0 \quad \longrightarrow \quad m_p - m_n + 2Z_0 a_C A^{-1/3} + 2a_A (Z_0 - A/2) A^{-1} = 0$$

$$Z_0 \cong \frac{A}{2} \left( \frac{m_n - m_p + a_A}{a_C A^{2/3} + a_A} \right) = \frac{A}{1,98 + 0,0155 A^{2/3}} \quad \begin{array}{l} a_C = 0.714 \text{ MeV} \\ a_V = 15.85 \text{ MeV} \end{array}$$

3. **Energie získána odštěpením nukleonu nebo částice  $\alpha$** . Kinetická energie částice  $\alpha$  vyletující po rozpadu bude:

$$E_\alpha = [M(A, Z) - M(A-4, Z-2) - m_\alpha] c^2 \quad m_\alpha = \text{hmotnost částice } \alpha$$

4. Derivací  $E_b(A,Z)$  vzhledem k  $Z$  lze nalézt nejlepší poměr  $N/Z$  pro dané  $A$ .

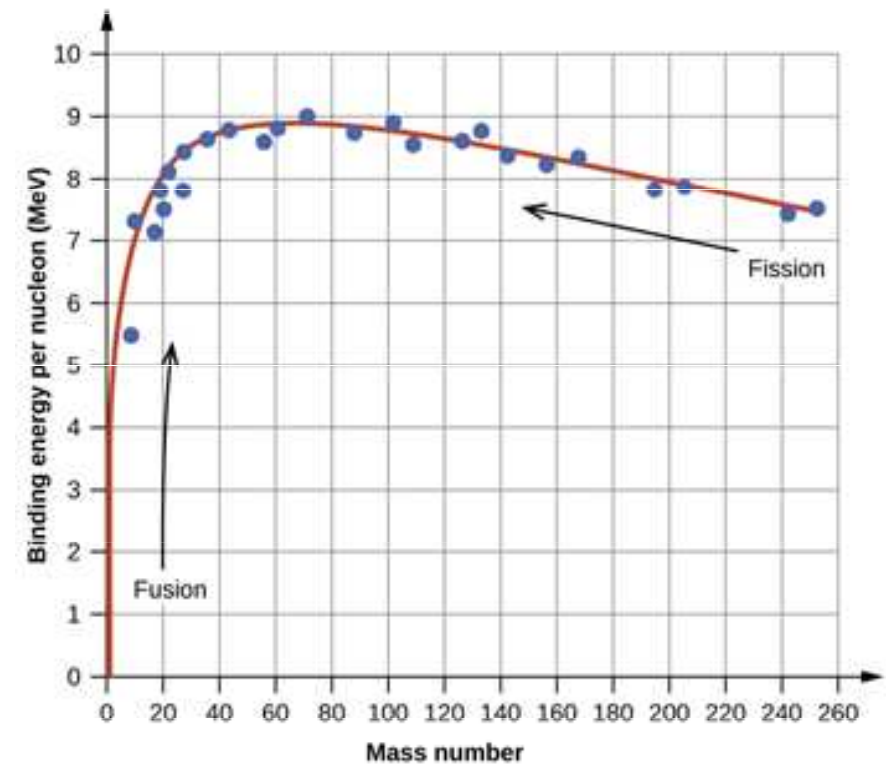
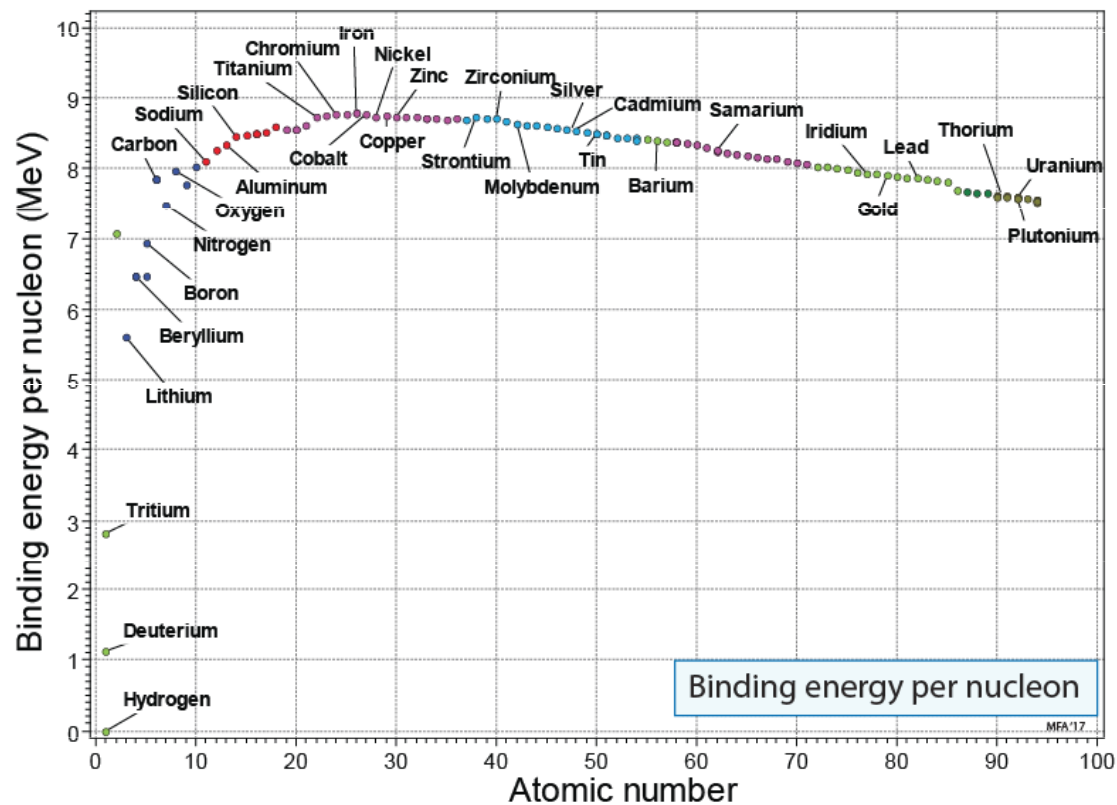
$$N/Z \approx 1 + \frac{a_C}{2a_A} A^{2/3}.$$

Pro lehká jádra je to zhruba 1, pro těžká jádra tento poměr vyšší. Tento výsledek je potvrzen experimentálně (viz průběh pásu stability).

5. Derivací  $E_b(A,Z)/A$  vzhledem k  $A$  lze určit nuklid s nejvyšší vazebnou energií, tj. nejvíce stabilní. Výpočtem bylo zjištěno  $A = 63$  (Cu), blízké experimentálně zjištěným hodnotám  $A = 62$  (Ni) a  $A = 58$  (Fe).

# Závislost modelovaná pomocí Bethe- Weizsäckerovy rovnice

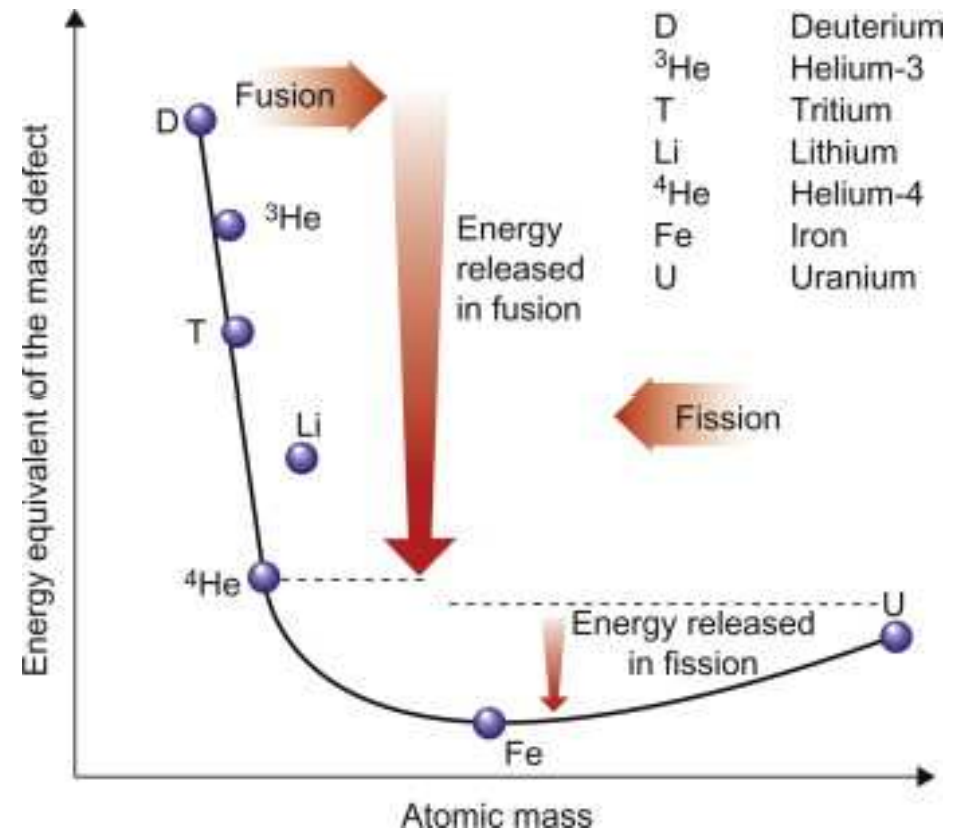
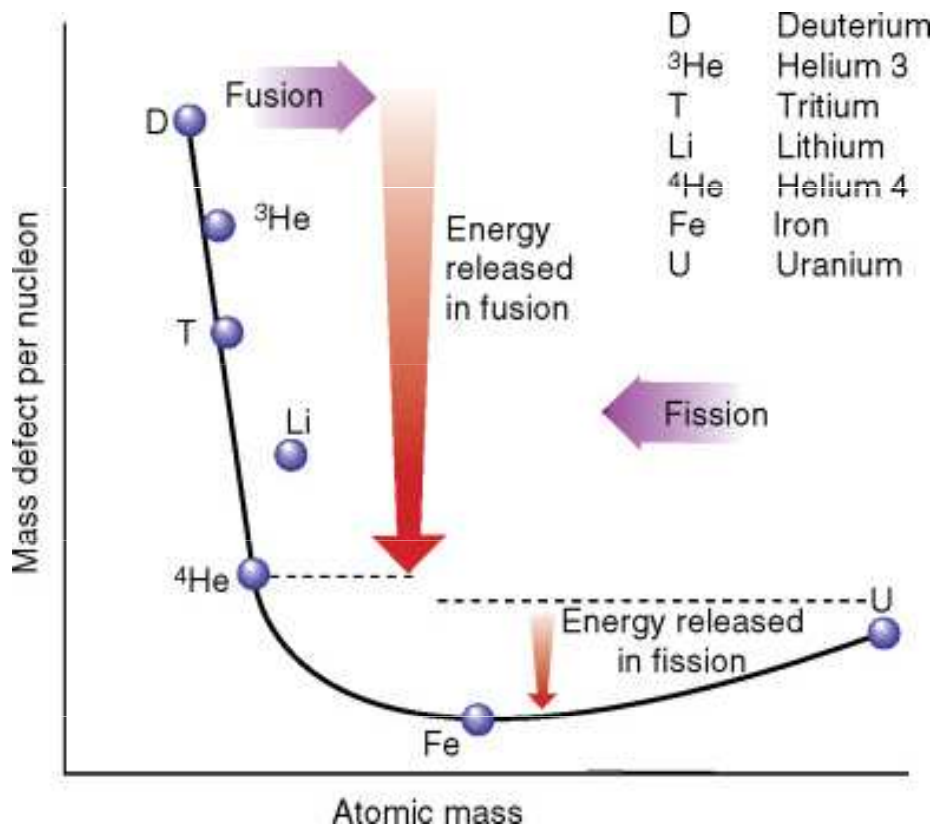
Aby bylo možno srovnávat vazebnou energii jádra pro různé prvky a různé nuklidy, zavádí se tzv. **vazebná energie jádra vztažená na jeden nukleon**

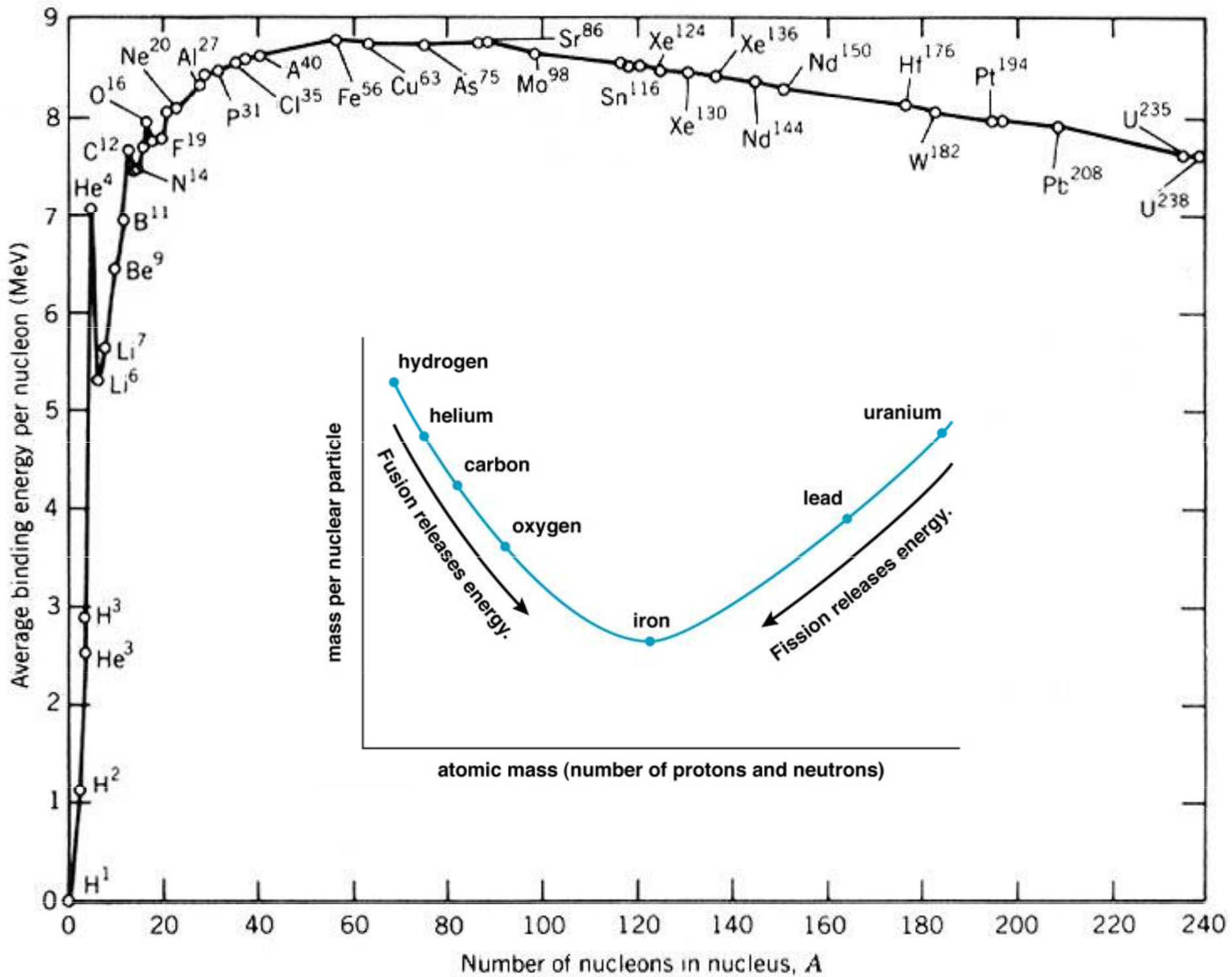


# Stabilita atomových jader

$$\Delta E = \Delta mc^2$$

Křivka zastoupení jednotlivých prvků ve vesmíru také odhaluje zvýšený výskyt prvků s nukleonovým číslem blízkým 60. Je tomu tak proto, že jejich jádra mají vysokou vazebnou energii. Zastoupení prvků triády železa (železo, kobalt a nikl) je proto větší, protože tyto prvky jsou tedy velmi stabilní a nejnáze přežívají konečná stadia hvězdného vývoje.

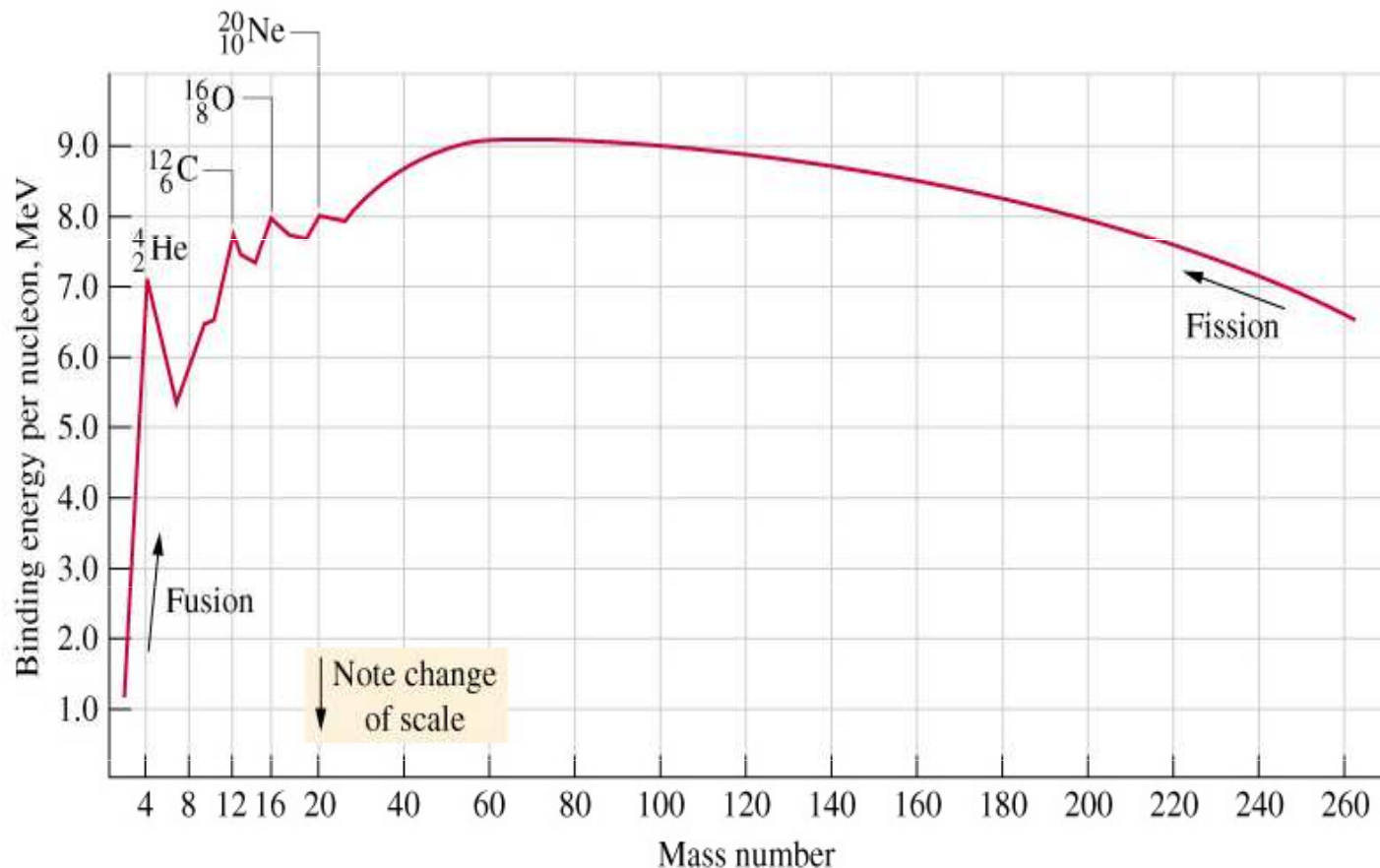




# Stabilita atomových jader

U atomů lehkých prvků ( $Z < 20$ ) jsou stabilní jádra složená z  $\alpha$ -částic:  ${}^4_2\text{He}$ ,  ${}^{12}_6\text{C}$ ,  ${}^{16}_8\text{O}$ ,  ${}^{20}_{10}\text{Ne}$ .

**Výjimka:**  ${}^8_4\text{Be}$  je nestabilní, rozpadá se spontánně na 2 částice  $\alpha$  ( ${}^4_2\text{He}$ ), což je z energetického hlediska výhodnější.



# Stabilita atomových jader

## Velikost atomového čísla

Nejtěžší stabilní nuklidy jsou  $^{208}_{82}\text{Pb}$  a  $^{209}_{83}\text{Bi}$ . Všechny nuklidy se  $Z > 83$  jsou radioaktivní.

## Mattauchovo pravidlo

Neexistují 2 stabilní izobary lišící se od sebe v protonovém čísle o 1, t.j. ze dvou sousedních izobarů je vždy jeden nestabilní.

Např. v trojici  $^{40}_{18}\text{Ar}$ ,  $^{40}_{19}\text{K}$  a  $^{40}_{20}\text{Ca}$ , je  $^{40}_{19}\text{K}$  radioaktivní.

**Výjimky:**  $^{113}_{48}\text{Cd}$  a  $^{113}_{49}\text{In}$ ,  $^{115}_{49}\text{In}$  a  $^{115}_{50}\text{Sn}$ ,  $^{123}_{51}\text{Sb}$  a  $^{123}_{52}\text{Te}$ .

Mattauchovo pravidlo formálně objasňuje neexistenci stabilních nuklidů  $^{43}_{43}\text{Tc}$  a  $^{61}_{61}\text{Pm}$ . Nukleonová čísla, která by měla příslušet nuklidům těchto prvků, patří stabilním izotopům prvků sousedních:  $^{42}_{42}\text{Mo}$  a  $^{44}_{44}\text{Ru}$ , resp.  $^{60}_{60}\text{Nd}$  a  $^{62}_{62}\text{Sm}$ .



1. Jádra se sudým Z převládají. Pro každé sudé Z převládají izotopy se sudým A.
2. Jádra se sudým A jsou s-s kromě 4 1-1:  ${}^2_1\text{H}$   ${}^6_3\text{Li}$   ${}^{10}_5\text{B}$   ${}^{14}_7\text{N}$
3. Jádra s lichým Z jsou převážně monoizotopní nebo mají nejvýše 2 stabilní izotopy, jejichž A je vždy liché (kromě 4 jader) a liší se o 2.
4. Každé liché A je zastoupeno jen jedním stabilním jádrem.

A	typ jádra	počet stab.nuklidů	počet případů
liché	s-1, 1-s	1	105
sudé	1-1	1	4
sudé	s-s	2	83
sudé	s-s	3	3

*Vliv stability jádra se odráží i na zastoupení prvků na Zemi: více než 90% hmotnosti Země tvoří 6 prvků se sudým Z:*

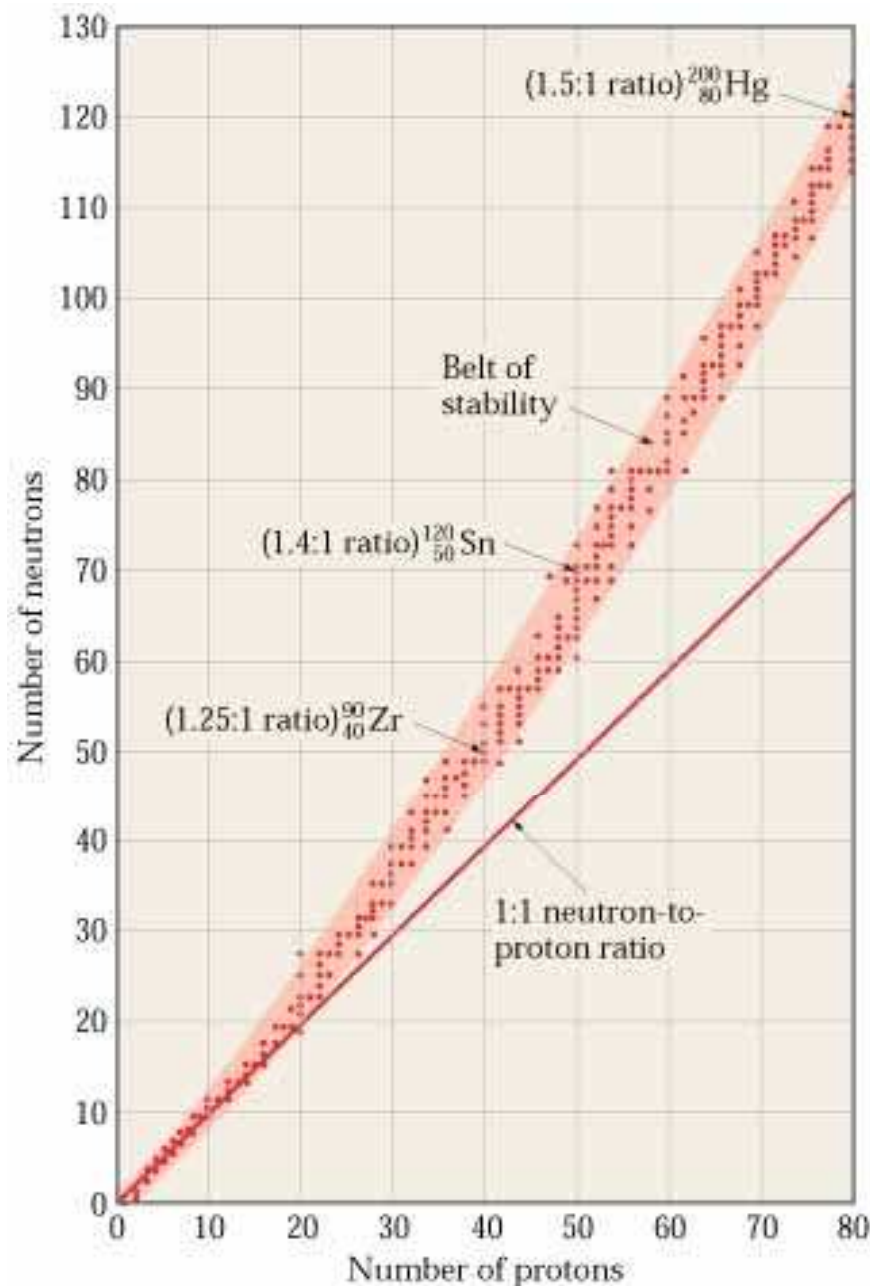
${}_{26}\text{Fe}$	39,8%	${}_8\text{O}$	27,7%	${}_{14}\text{Si}$	14,5%
${}_{12}\text{Mg}$	8,7%	${}_{28}\text{Ni}$	3,2%	${}_{20}\text{Ca}$	2,5%.

# Poměr hodnot neutronového a protonového čísla

Stabilita atomových jader závisí na poměru hodnot neutronového ( $N = A - Z$ ) a protonového čísla ( $Z$ ).

**Prvky se  $Z < 20$**  jsou lehké, poměr počtu neutronů ( $N$ ) ku počtu protonů je **1:1** a preferují stejný počet protonů a neutronů.

**Prvky se  $Z = 20 - 83$**  jsou těžké, poměr počtu neutronů ku počtu protonů je cca **1.5:1**, v důsledku repulzivních sil mezi protony: čím silnější jsou repulzivní síly, tím více neutronů je potřeba ke stabilizaci jader.



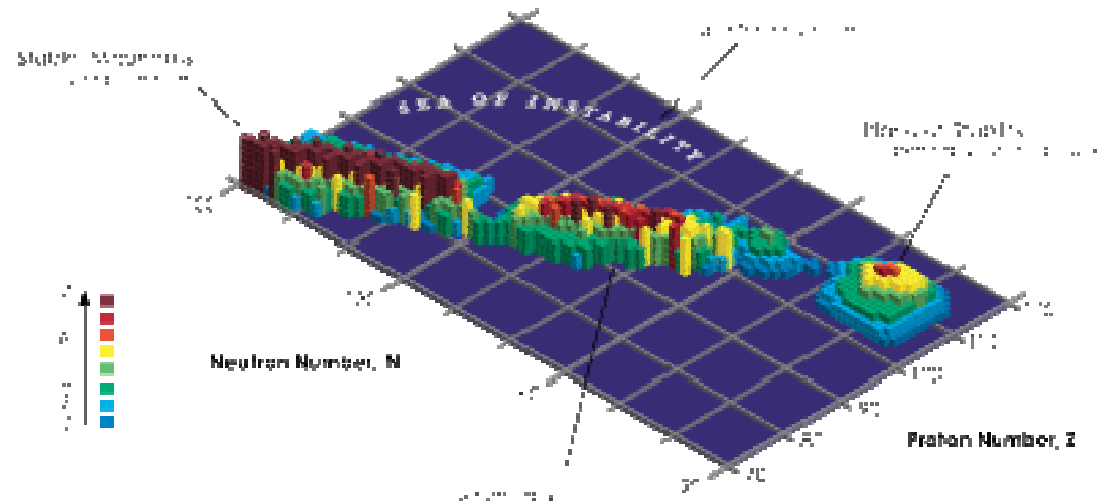
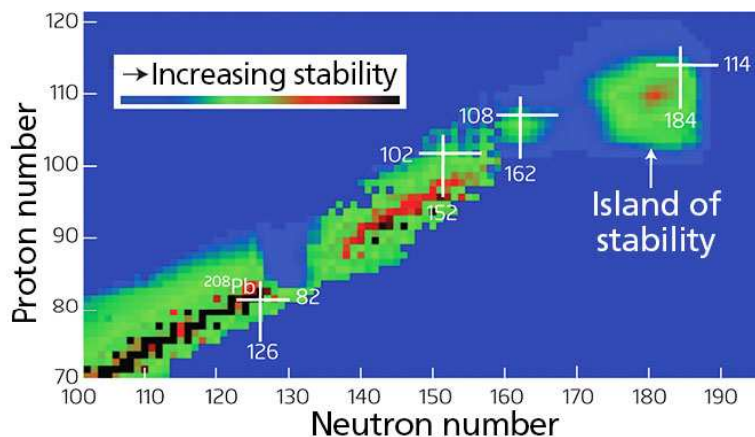
**Výjimky:** Několik radioaktivních nuklidů leží uvnitř pásu stability: např.  $^{146}\text{Nd}$  a  $^{148}\text{Nd}$  jsou stabilní, ale  $^{147}\text{Nd}$  ležící mezi nimi je radioaktivní.

# Ostrov stability

Ostrov stability je v jaderné fyzice předpověď skupiny těžkých izotopů s počtem nukleonů blízkým magickým číslům, která dočasně zvrátí trend klesající stability chemických prvků těžších než uran.

Současné teoretické výzkumy ukazují, že v oblasti protonových čísel  $Z = 106 - 108$  a neutronových čísel  $N = 160 - 164$  může být malý ostrov stability, který může být stabilní s ohledem na  $\beta$ -přeměnu a jehož izotopy mohou podléhat pouze  $\alpha$ -rozpadu.

Příprava těchto jader se ukazuje být velmi obtížnou, protože výchozí jádra nezajišťují dostatečný počet neutronů.



# Parita atomového a neutronového čísla

Nuklid s lichým (odd) počtem protonů (Z) a lichým počtem neutronů (N) bude pravděpodobně nestabilní.

Nuklid se sudým (even) počtem protonů (Z) a sudým počtem neutronů (N) bude pravděpodobně stabilní.

Composition of the Nucleii of Known Stable Isotopes			
Protons	Neutrons	% Stable Isotopes	Stability Trend
odd	odd	1.5%*	least stable
odd	even	18%	↓
even	odd	20.5%	↓
even	even	60%	most stable

**TABLE 18.1** Number of Stable Nuclides Related to Numbers of Protons and Neutrons

Number of Protons	Number of Neutrons	Number of Stable Nuclides	Examples
Even	Even	168	${}_{6}^{12}\text{C}$ , ${}_{8}^{16}\text{O}$
Even	Odd	57	${}_{6}^{13}\text{C}$ , ${}_{22}^{47}\text{Ti}$
Odd	Even	50	${}_{9}^{19}\text{F}$ , ${}_{11}^{23}\text{Na}$
Odd	Odd	4	${}_{1}^{2}\text{H}$ , ${}_{3}^{6}\text{Li}$

Note: Even numbers of protons and neutrons seem to favor stability.

## Stabilita atomových jader a Bethe-Weizsäckerova rovnice

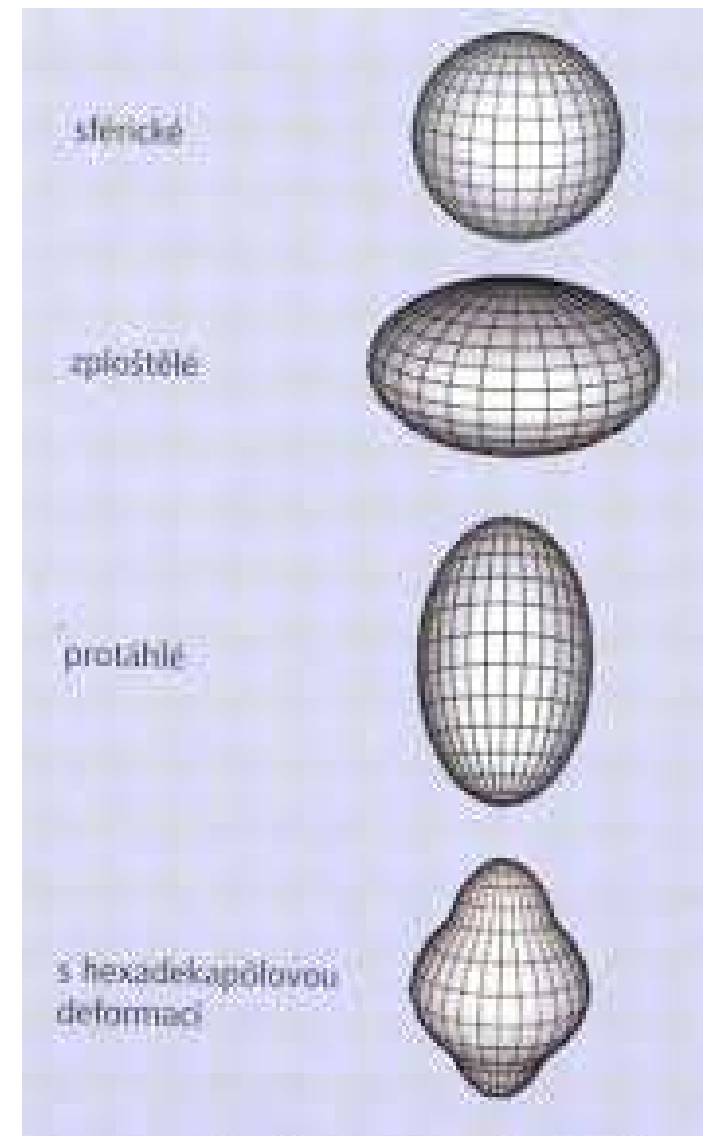
**Sudé** neutronové a protonové číslo ukazují na párování jaderných spinů protonů resp. neutronů = z hlediska slupkové teorie atomového jádra jde o stabilnější stav než v případě nepárovaných jaderných spinů.

*Kombinace A sudé a Z sudé:* atomová jádra mají sférický tvar.

*Ostatní kombinace:* atomová jádra mají elipsoidální tvar.

Nuklidy se sudým neutronovým a protonovým číslem mají podle **Bethe-Weizsäckerovy rovnice** nejvyšší vazebnou energii, nuklidy s lichým neutronovým a protonovým číslem mají vazebnou energii nejnižší:

Z	N	A	$\delta$	$E_p$
even	even	even	34	$+\delta / A^{3/4}$
even	odd	odd	0	0
odd	even	odd	0	0
odd	odd	even	35	$-\delta / A^{3/4}$

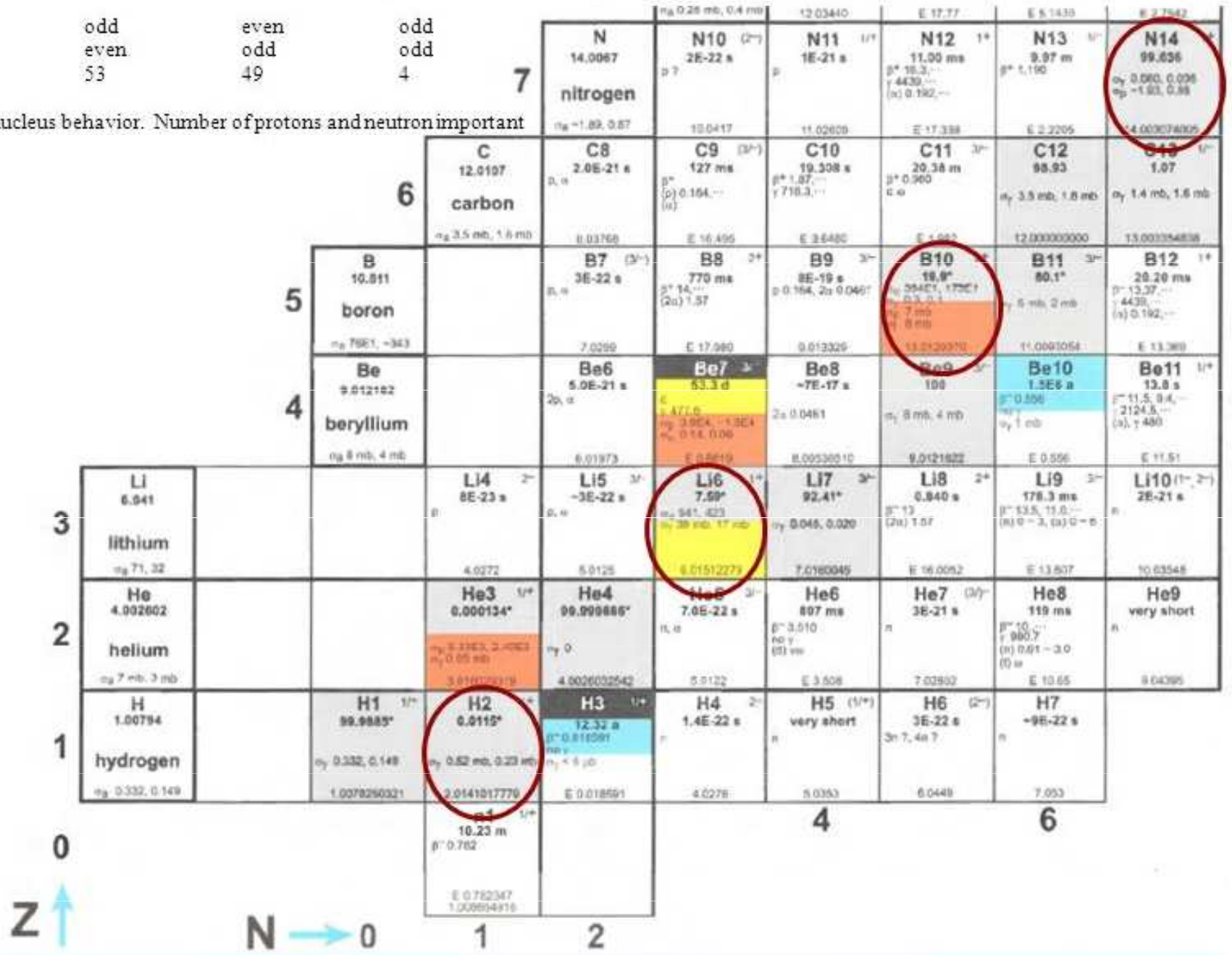


Odtud lze odvodit také Astonovo a Mattauchovo pravidlo.

Simple example: Number of stable nuclei based on neutron and proton number

N	even	odd	even	odd	
Z	even	even	odd	odd	
Number	160	53	49	4	7

Simple property dictates nucleus behavior. Number of protons and neutron important



# Predikce stability atomových jader

**Pravidla** (nejsou univerzální, mohou se objevit výjimky)

1. Pro jádra s Z/N **liché/sudé a sudé/liché**: pokud se A liší o víc než 1 od zaokrouhlené atomové hmotnosti prvku, je nuklid nestabilní.



2. Pro jádra s Z/N **sudé/sudé**: pokud se A liší o víc než 3 od zaokrouhlené atomové hmotnosti prvku, je nuklid nestabilní.



3. Pro jádra s Z/N **liché/liché**: jsou známy pouze 4 stabilní nuklidy ( ${}^2\text{H}$ ,  ${}^6\text{Li}$ ,  ${}^{10}\text{B}$  a  ${}^{14}\text{N}$ ), ostatní jsou radioaktivní.



$A$	$Z$	$N = A - Z$
Even	Even	Even
Odd	Even	Odd
Odd	Odd	Even
Even	Odd	Odd

# Predikce stability atomových jader

1. Pro **prvky  $Z = 1 - 7$** : každý má 2 stabilní izotopy kromě Be ( ${}^8\text{Be}$  se rozkládá na 2 alfa částice). Hodnoty  $A = 1 - 15$  (s výjimkou 5 a 8). Stabilní nuklidy jsou tedy  ${}^1\text{H}$ ,  ${}^2\text{H}$ ,  ${}^3\text{He}$ ,  ${}^4\text{He}$ ,  ${}^6\text{Li}$ ,  ${}^7\text{Li}$ ,  ${}^9\text{Be}$ ,  ${}^{10}\text{B}$ ,  ${}^{11}\text{B}$ ,  ${}^{12}\text{C}$ ,  ${}^{13}\text{C}$ ,  ${}^{14}\text{N}$  a  ${}^{15}\text{N}$ .
2. Pro prvky s **lichým  $Z$  a  $8 < Z \leq 83$**  existují 1 nebo 2 stabilní izotopy, přičemž všechny mají liché  $A$  (tj. relativní atomová hmotnost zaokrouhlená na celé číslo). Pokud je výsledek sudé číslo, existují 2 stabilní izotopy mající  $A$  nad a pod sudým číslem. Metoda selhává při predikci existence  ${}^{37}\text{Cl}$ ,  ${}^{41}\text{K}$  a  ${}^{113}\text{In}$ , protože mají nízké relativní zastoupení (24, 7 a 4 %). Také chybně predikuje existenci  ${}^{187}\text{Re}$  a  ${}^{115}\text{In}$  které, ačkoliv jsou nestabilní, mají vysoké zastoupení v přírodě (63 a 96 %). Tc a Pm nemají stabilní izotopy.
3. Prvky se **sudým  $Z$  a  $8 < Z \leq 83$**  mají stabilní izotopy pro každé  $A$  nepřítomné mezi nejnižším  $A$  prvku s nejbližší nižším  $Z$  a nejvyšším  $A$  prvku s nejbližší vyšším  $Z$ . Stabilní nuklidy prvků se sudým  $Z$  vyplňují „mezery“ v  $A$  nezaplňené nuklidy sousedních prvků s lichým  $Z$ .

4. **Výjimky:**  ${}^{152}\text{Gd}$  a  ${}^{186}\text{Os}$  jsou chybně predikovány jako stabilní.

	Periodic Table	Stable Isotopes
Atomic weight rounds to 75. Odd; one nuclide.	33 As 74.92	${}^{75}\text{As}$
Fill in missing $A$ values between adjacent elements.	34 Se 78.96	${}^{74}\text{Se}$ ${}^{76}\text{Se}$ ${}^{77}\text{Se}$ ${}^{78}\text{Se}$ ${}^{80}\text{Se}$
Atomic weight rounds to 80. Even; two nuclides.	35 Br 79.90	${}^{79}\text{Br}$ ${}^{81}\text{Br}$



Prvky s protonovým číslem  $Z < 82$  mají všechny jeden nebo více stabilních izotopů s výjimkou technecia Tc ( $Z = 43$ ) a promethia Pm ( $Z = 61$ ), které nemají žádný stabilní izotop.

## Periodic Table: Radioactive Elements

1												2						
<b>H</b> 1.008 Hydrogen											<b>He</b> 4.003 Helium							
3		4												10				
<b>Li</b> 6.94 Lithium	<b>Be</b> 9.012 Beryllium											<b>B</b> 10.81 Boron	<b>C</b> 12.011 Carbon	<b>N</b> 14.007 Nitrogen	<b>O</b> 15.999 Oxygen	<b>F</b> 18.998 Fluorine	<b>Ne</b> 20.180 Neon	
11		12												18				
<b>Na</b> 22.990 Sodium	<b>Mg</b> 24.305 Magnesium											<b>Al</b> 26.982 Aluminium	<b>Si</b> 28.085 Silicon	<b>P</b> 30.974 Phosphorus	<b>S</b> 32.06 Sulfur	<b>Cl</b> 35.45 Chlorine	<b>Ar</b> 39.948 Argon	
19	20	21	22	23	24	25	26	27	28	29	30	31	32	33	34	35	36	
<b>K</b> 39.098 Potassium	<b>Ca</b> 40.078 Calcium	<b>Sc</b> 44.956 Scandium	<b>Ti</b> 47.867 Titanium	<b>V</b> 50.942 Vanadium	<b>Cr</b> 51.996 Chromium	<b>Mn</b> 54.938 Manganese	<b>Fe</b> 55.845 Iron	<b>Co</b> 58.933 Cobalt	<b>Ni</b> 58.693 Nickel	<b>Cu</b> 63.546 Copper	<b>Zn</b> 65.38 Zinc	<b>Ga</b> 69.723 Gallium	<b>Ge</b> 72.630 Germanium	<b>As</b> 74.922 Arsenic	<b>Se</b> 78.971 Selenium	<b>Br</b> 79.904 Bromine	<b>Kr</b> 83.798 Krypton	
37	38	39	40	41	42	43	44	45	46	47	48	49	50	51	52	53	54	
<b>Rb</b> 85.468 Rubidium	<b>Sr</b> 87.62 Strontium	<b>Y</b> 88.906 Yttrium	<b>Zr</b> 91.224 Zirconium	<b>Nb</b> 92.906 Niobium	<b>Mo</b> 95.95 Molybdenum	<b>Tc</b> (98) Technetium	<b>Ru</b> 101.07 Ruthenium	<b>Rh</b> 102.906 Rhodium	<b>Pd</b> 106.42 Palladium	<b>Ag</b> 107.868 Silver	<b>Cd</b> 112.414 Cadmium	<b>In</b> 114.818 Indium	<b>Sn</b> 118.710 Tin	<b>Sb</b> 121.760 Antimony	<b>Te</b> 127.60 Tellurium	<b>I</b> 126.904 Iodine	<b>Xe</b> 131.293 Xenon	
55	56	57	72	73	74	75	76	77	78	79	80	81	82	83	84	85	86	
<b>Cs</b> 132.905 Cesium	<b>Ba</b> 137.327 Barium	71	<b>Hf</b> 178.49 Hafnium	<b>Ta</b> 180.948 Tantalum	<b>W</b> 183.84 Tungsten	<b>Re</b> 186.207 Rhenium	<b>Os</b> 190.23 Osmium	<b>Ir</b> 192.217 Iridium	<b>Pt</b> 195.084 Platinum	<b>Au</b> 196.967 Gold	<b>Hg</b> 200.592 Mercury	<b>Tl</b> 204.38 Thallium	<b>Pb</b> 207.2 Lead	<b>Bi</b> 208.980 Bismuth	<b>Po</b> (209) Polonium	<b>At</b> (210) Astatine	<b>Rn</b> (222) Radon	
87	88	89	104	105	106	107	108	109	110	111	112	113	114	115	116	117	118	
<b>Fr</b> (223) Francium	<b>Ra</b> (226) Radium	103	<b>Rf</b> (267) Rutherfordium	<b>Db</b> (268) Dubnium	<b>Sg</b> (271) Seaborgium	<b>Bh</b> (270) Bohrium	<b>Hs</b> (269) Hassium	<b>Mt</b> (278) Meitnerium	<b>Ds</b> (281) Darmstadtium	<b>Rg</b> (282) Roentgenium	<b>Cn</b> (285) Copernicium	<b>Nh</b> (286) Nihonium	<b>Fl</b> (289) Flerovium	<b>Mc</b> (289) Moscovium	<b>Lv</b> (293) Livermorium	<b>Ts</b> (294) Tennessine	<b>Og</b> (294) Oganesson	
Lanthanide Series		57	58	59	60	61	62	63	64	65	66	67	68	69	70	71		
		<b>La</b> 138.905 Lanthanum	<b>Ce</b> 140.116 Cerium	<b>Pr</b> 140.908 Praseodymium	<b>Nd</b> 144.242 Neodymium	<b>Pm</b> (145) Promethium	<b>Sm</b> 150.36 Samarium	<b>Eu</b> 151.964 Europium	<b>Gd</b> 157.25 Gadolinium	<b>Tb</b> 158.925 Terbium	<b>Dy</b> 162.500 Dysprosium	<b>Ho</b> 164.930 Holmium	<b>Er</b> 167.259 Erbium	<b>Tm</b> 168.934 Thulium	<b>Yb</b> 173.045 Ytterbium	<b>Lu</b> 174.967 Lutetium		
Actinide Series		89	90	91	92	93	94	95	96	97	98	99	100	101	102	103		
		<b>Ac</b> (227) Actinium	<b>Th</b> 232.038 Thorium	<b>Pa</b> 231.036 Protactinium	<b>U</b> 238.029 Uranium	<b>Np</b> (237) Neptunium	<b>Pu</b> (244) Plutonium	<b>Am</b> (243) Americium	<b>Cm</b> (247) Curium	<b>Bk</b> (247) Berkelium	<b>Cf</b> (251) Californium	<b>Es</b> (252) Einsteinium	<b>Fm</b> (257) Fermium	<b>Md</b> (258) Mendelevium	<b>No</b> (259) Nobelium	<b>Lr</b> (260) Lawrencium		

\*() indicates the mass number of the longest-lived isotope.

Based on NIST 2017 Periodic Table

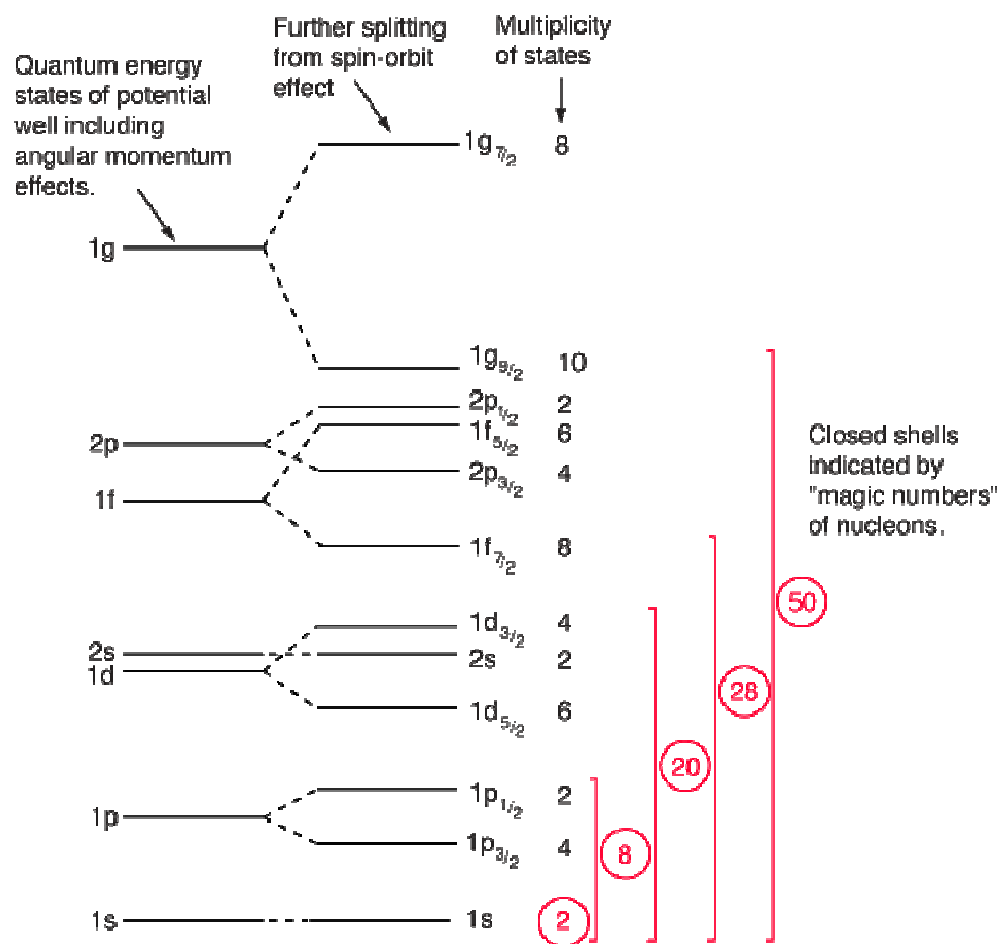
Prvky se  $Z > 82$  (tj. nad olovem) nemají vůbec stabilní izotopy,  $^{209}\text{Bi}$  původně pokládáný za stabilní je zářič  $\alpha$  s extrémně dlouhým poločasem (asi  $10^{18}$  r).

Z prvků pod olovem nemají stabilní izotopy Tc, Pm, Pr, Tb, Ho, Tm, poslední čtyři z nich ale mají jeden izotop s extrémně dlouhým poločasem přeměny.

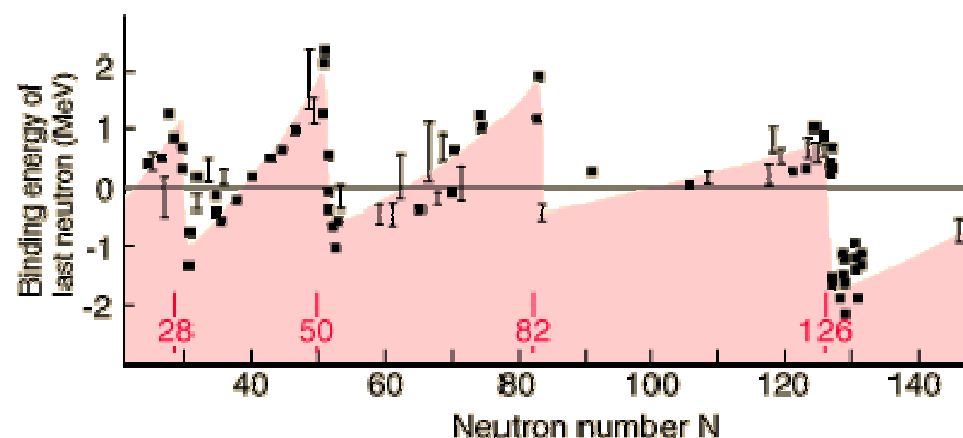
Nuklidy se  $80 < Z < 93$  se vyskytují v přírodě jako členy přirozených rozpadových řad, ty se  $Z > 92$  (tj. nad uranem, **transurany**) byly připraveny uměle jadernými reakcemi. Podle chemických vlastností dělíme prvky nad aktiniem ( $Z=89$ ) na **aktinoidy**, analogy lantanoidů (do  $Z=103$ ), nad  $Z=103$  pak **transaktinoidy**, homology prvků v příslušných skupinách (Hf až Ac). Existence vyšších transaktinoidů se teprve zkoumá, poslední dosud uznáný a pojmenovaný prvek se  $Z=116$  je livermorium.

# Magická čísla

Z grafu vazebné energie na nukleon také vyplývá, že vysokou stabilitu vykazují jádra se 2, 8, 20, 28, 50, 82 a 126 nukleony. Tento jev souvisí se strukturou atomových jader:



n	$\frac{n(n^2 + 3n + 2)}{3}$	Magic Numbers
1	2	2, 8, 20, 28, 50, 82, 126
2	8	OEIS sequence A018226
3	20	
<hr/>		
	$\frac{n(n^2 + 5)}{3}$	
4	28	
5	50	
6	82	
7	126	
8	184	(not listed or recognized as Magic Numbers)
9	258	
10	350	



# Magická čísla

„Magická čísla“ se částečně liší pro počet protonů a počet neutronů:

**Počet protonů:** 2, 8, 20, 28, 50, 82, 114

**Počet neutronů:** 2, 8, 20, 28, 50, 82, 126, 184

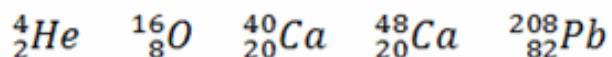
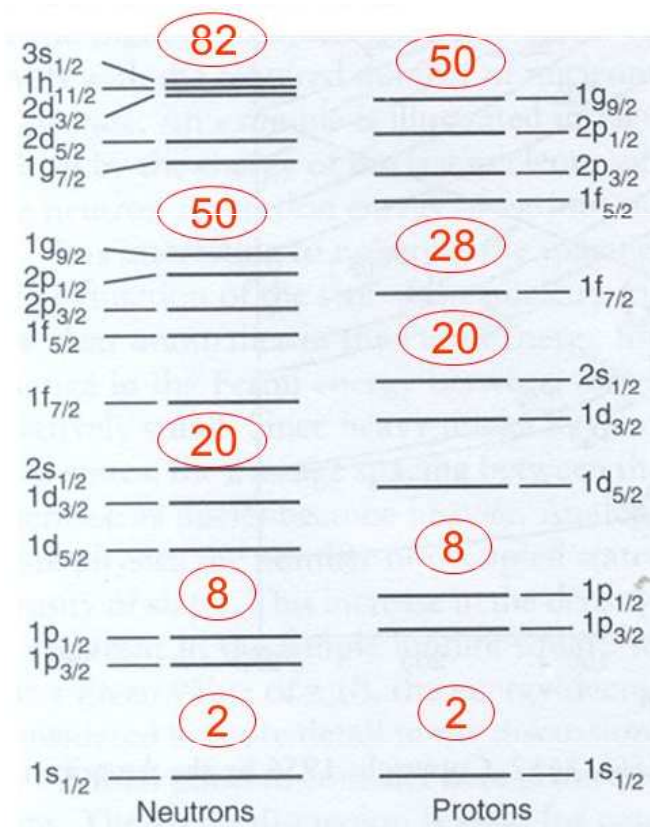
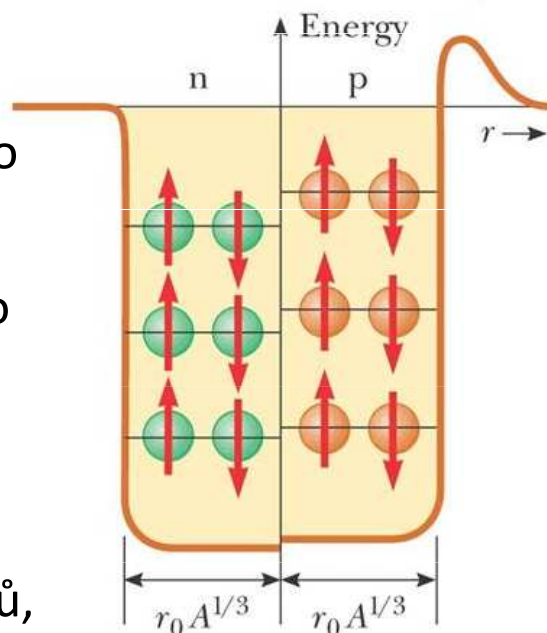
Je zřejmé, že „magická čísla“ jsou vždy sudá, souvisí to se vzájemnou kompenzací spinů protonů, resp. neutronů.

## Příklad:

$^{116}_{50}\text{Sn}$  vykazuje magické číslo pro počet protonů (50).

$^{54}_{26}\text{Fe}$  vykazuje magické číslo pro počet neutronů (28).

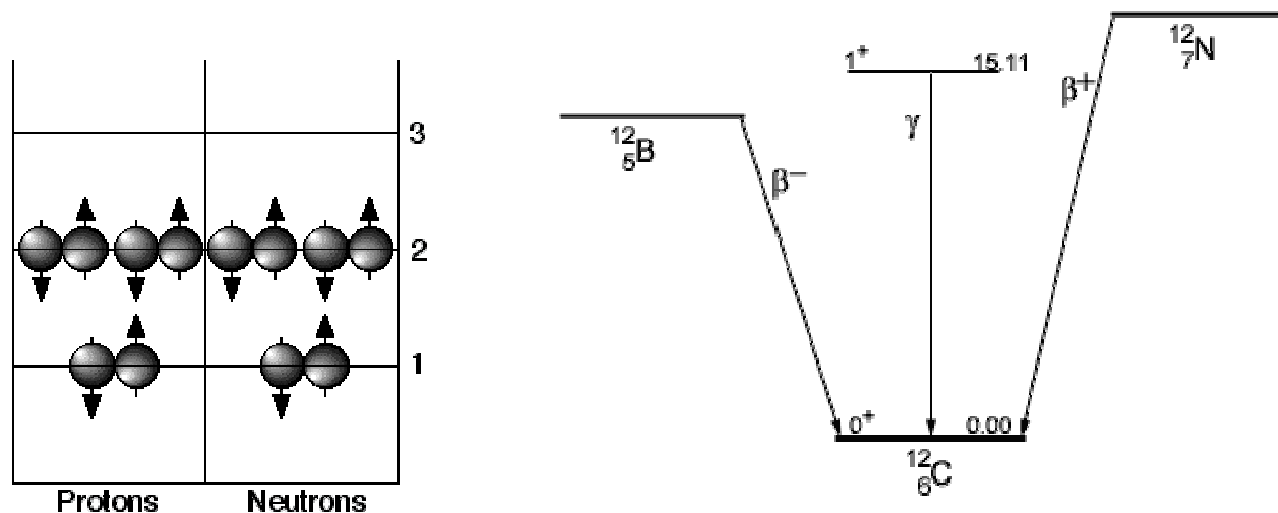
Některé nuklidy vykazují „magická čísla“ pro počet protonů i neutronů, nazývají se „**dvojnásobně magické**“.





## Příklad:

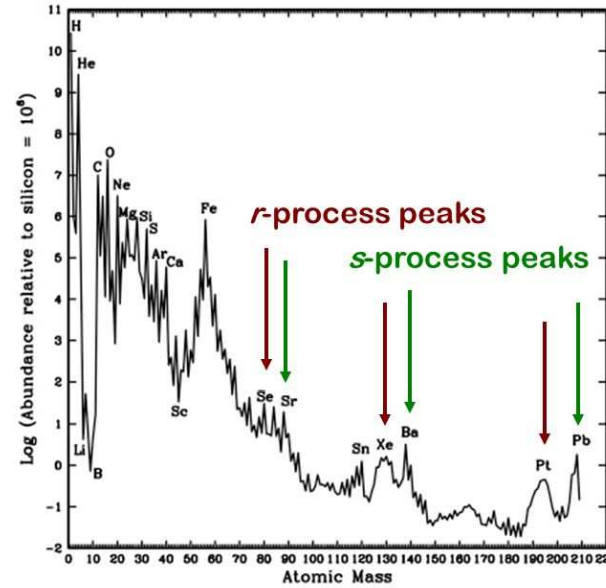
Základní stav  $^{12}\text{B}$  (5 protonů, 7 neutronů) a  $^{12}\text{N}$  (7 protonů, 5 neutronů) odpovídá zhruba 15.1 MeV excitovanému stavu  $^{12}\text{C}$ . Excitovaný stav  $^{12}\text{C}$ ,  $^{12}\text{B}$  a  $^{12}\text{N}$  mají nukleon na 3. energetické hladině a stabilizují se rozpadem na základní hladinu  $^{12}\text{C}$ . Bor se rozkládá emisí beta záření, dusík se rozkládá emisí pozitronu, přechod uhlíku z excitovaného do základního stavu je doprovázen emisí gama fotonu.



# Magická čísla

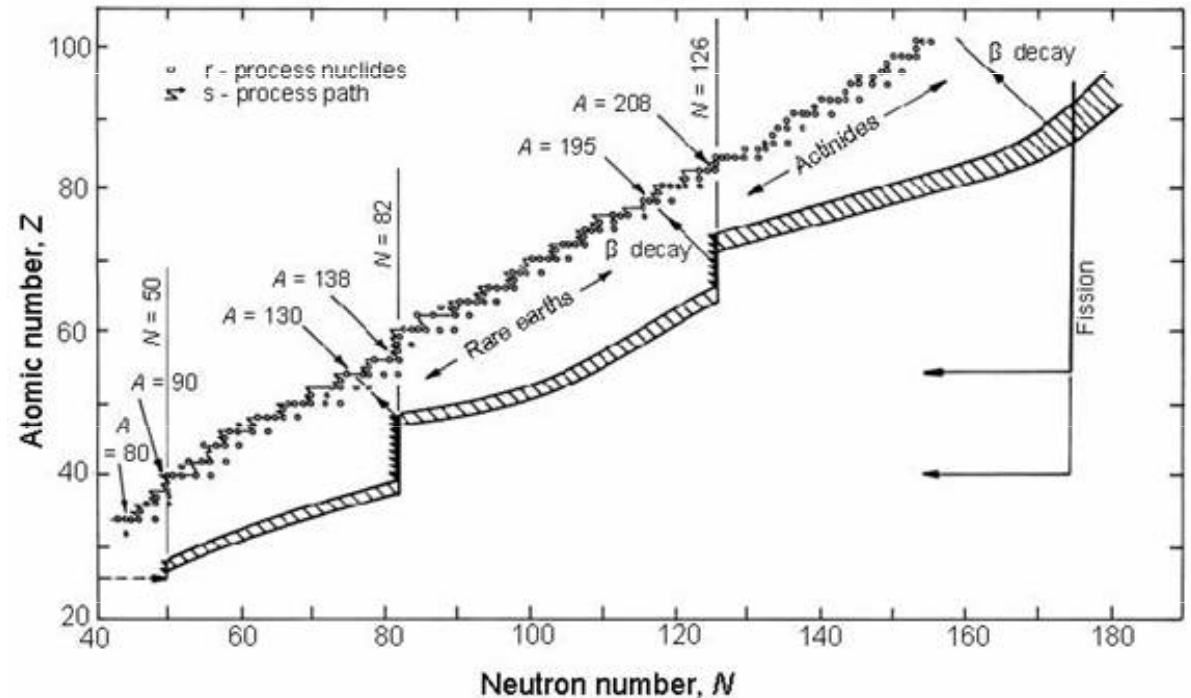
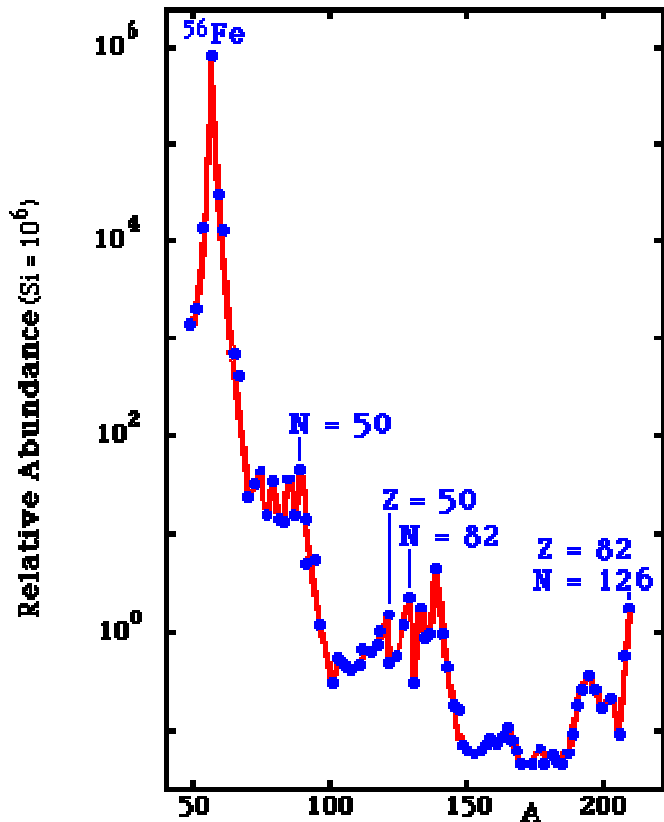
Viz R-proces vzniku prvků →

## The Solar System abundances



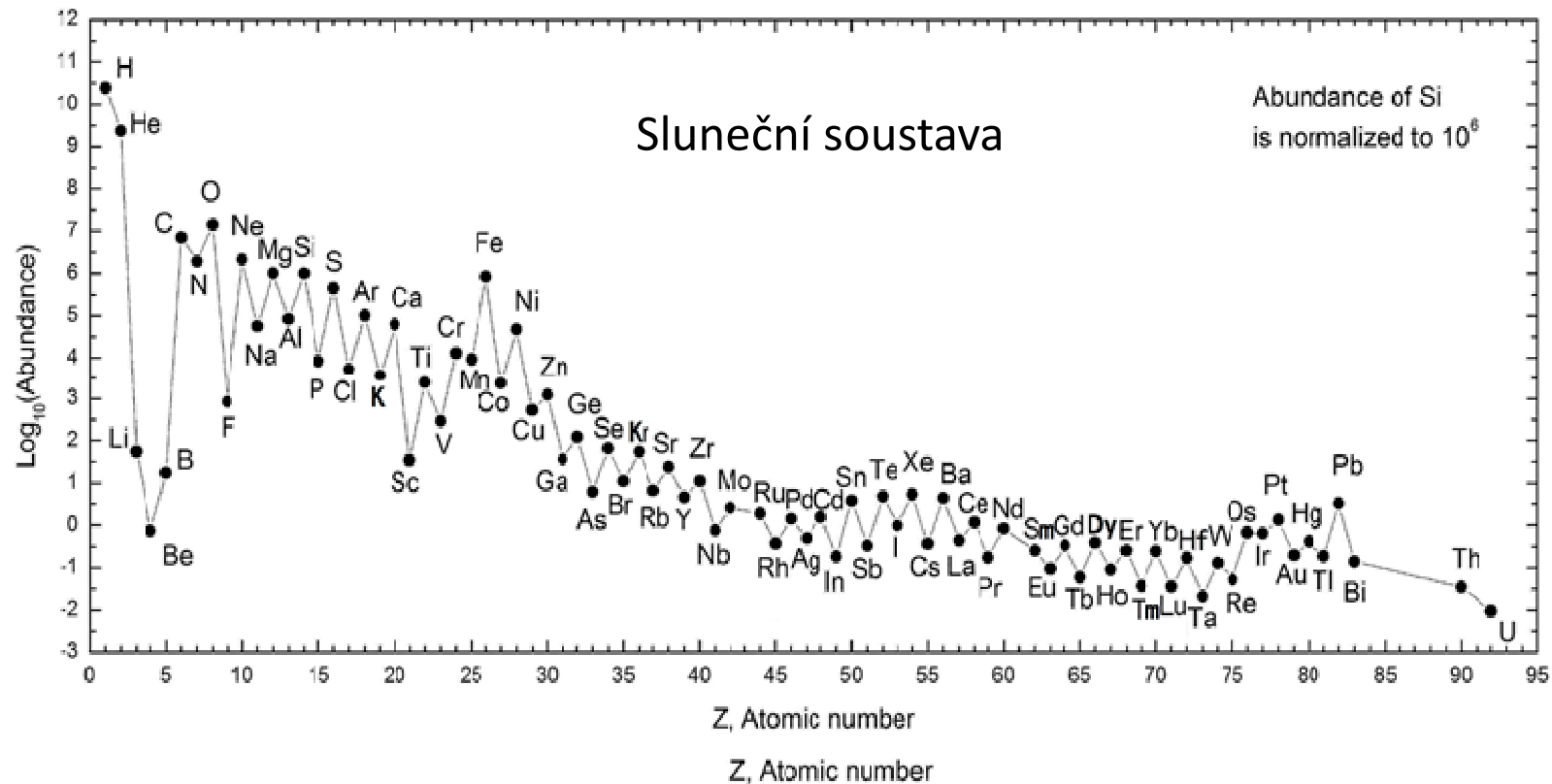
The s-process peaks correspond to stable nuclei with **Neutron Magic Numbers**  $N=50,82,126$

The r-process peaks correspond to unstable nuclei with  $N=50,82,126$



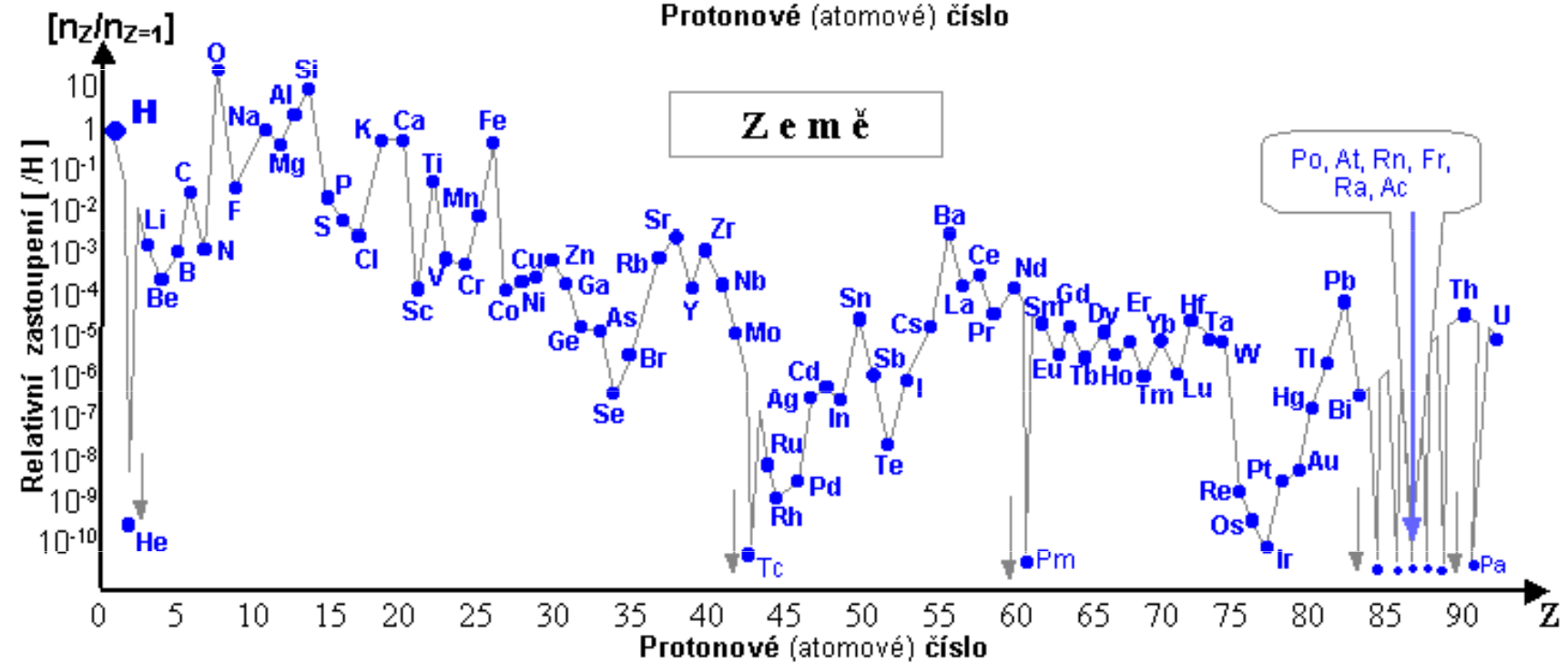
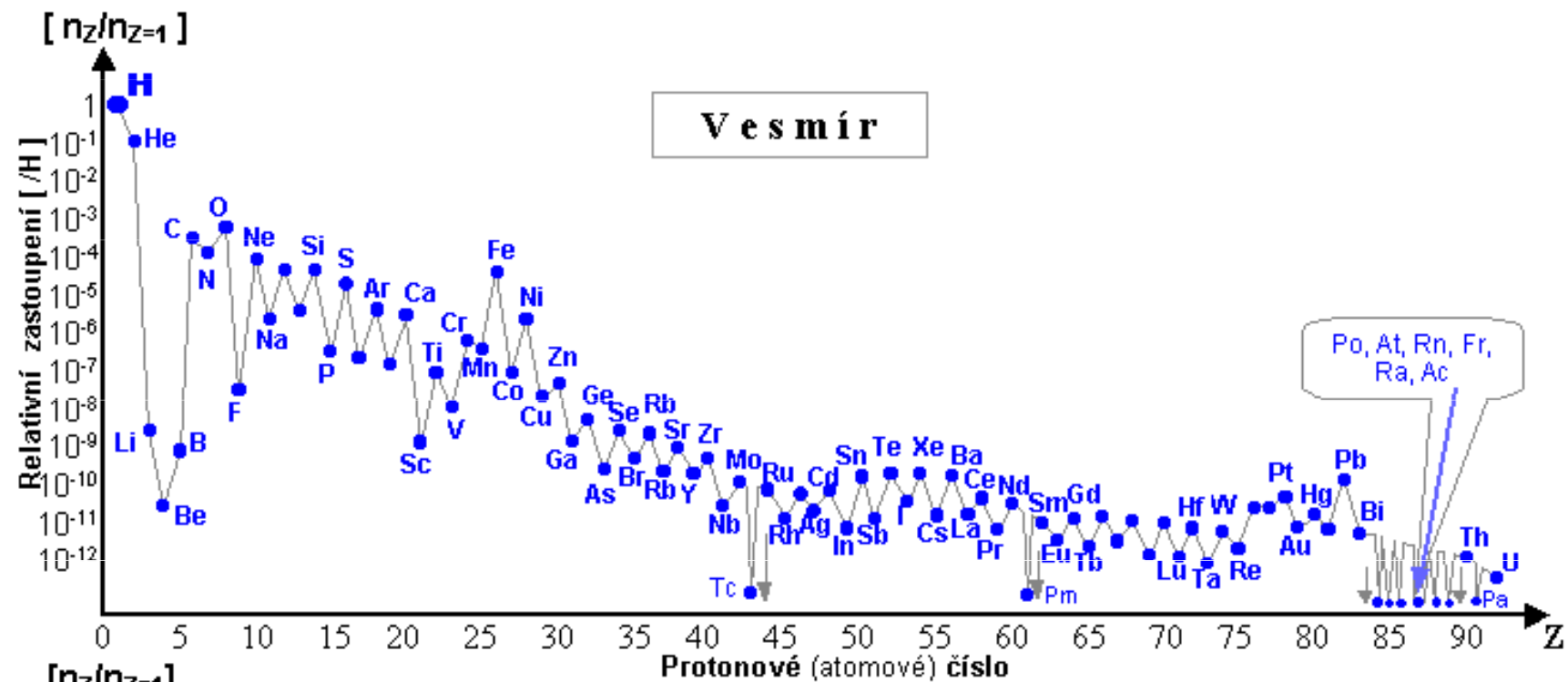
## Oddo-Harkinsonovo pravidlo (pro $Z > 5$ ):

Prvek se sudým atomovým číslem (např.  ${}_6\text{C}$ ) se vyskytuje častěji než předchozí a následující prvek s menším a větším atomovým číslem (bor  ${}_5\text{B}$  a dusík  ${}_7\text{N}$ ).



Prvky s lichými atomovými čísly mají nepárový proton a mají tudíž tendenci zachytit další a tím zvýšit atomové číslo. Je možné, že u prvků se sudými atomovými čísly jsou protony párovány, přičemž členové páru navzájem kompenzují svoje spiny a sudá parita tudíž zvyšuje stabilitu nukleonu.



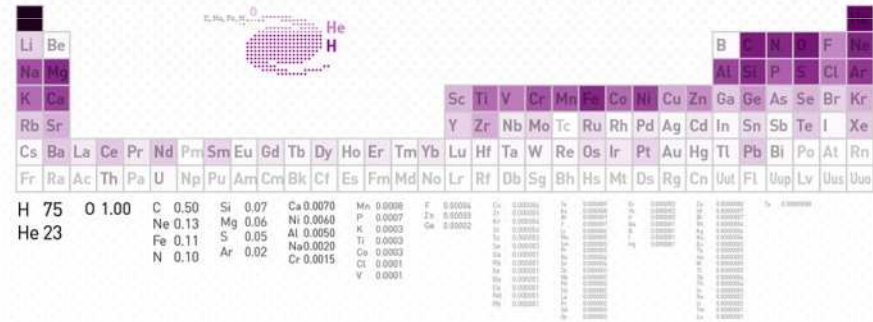


# ABUNDANCE OF ELEMENTS

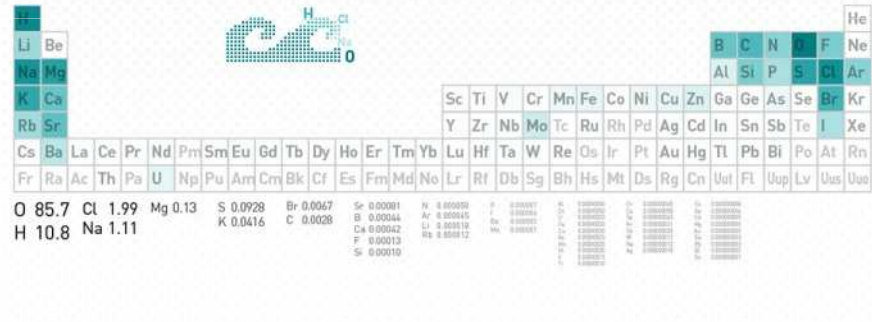
Displayed and listed by percentage, shaded logarithmically by percentage in periodic table



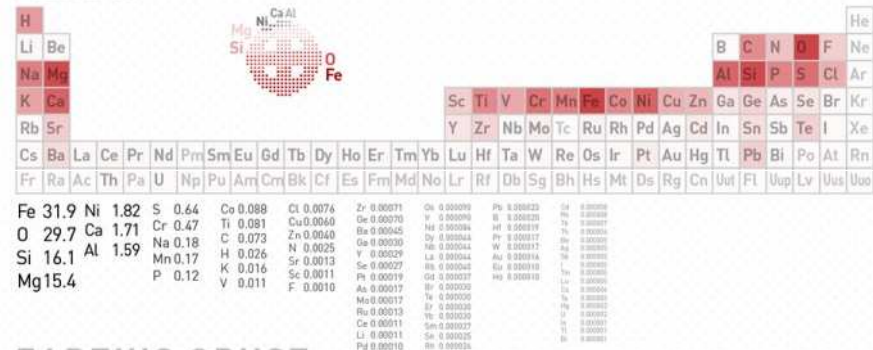
## UNIVERSE



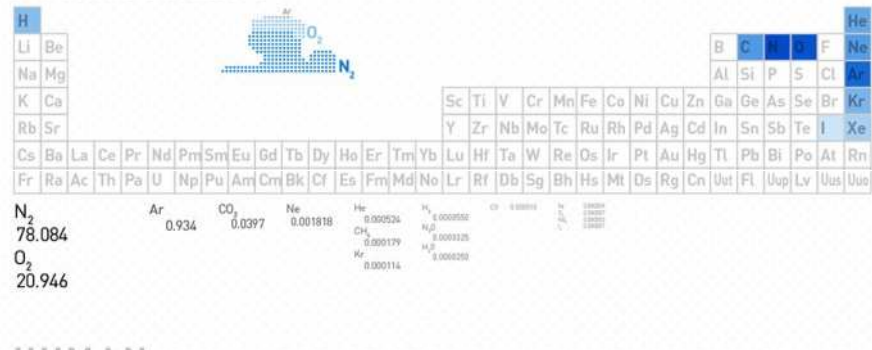
## OCEAN



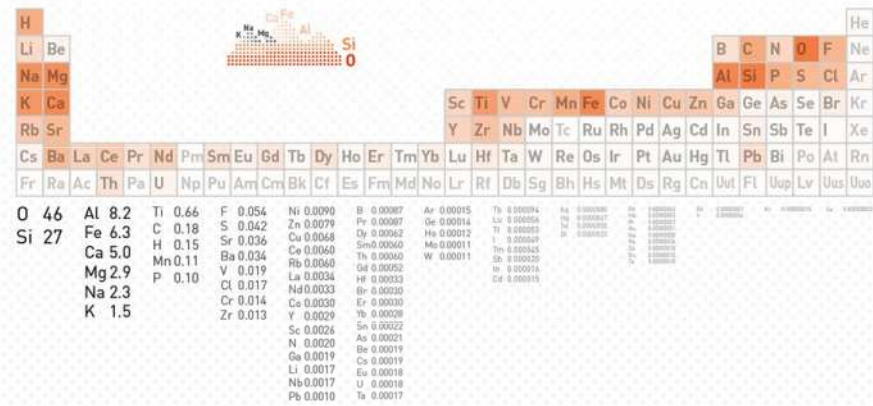
## EARTH



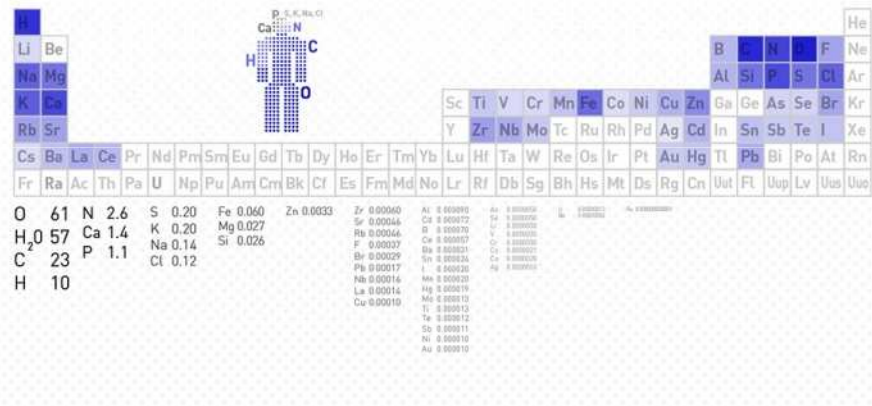
## ATMOSPHERE



## EARTH'S CRUST



## HUMAN



# Typy radioaktivního rozpadu

**Radioaktivita** je schopnost atomu samovolně se dříve nebo později přeměnit v jiný atom za současného vysílání radioaktivního (jaderného) záření.

**TABLE 22.1** A Summary of Radioactive Decay Processes

Process	Symbol	Change in Atomic Number	Change in Mass Number	Change in Neutron Number
$\alpha$ emission	${}^4_2\text{He}$ or $\alpha$	-2	-4	-2
$\beta$ emission	${}^0_{-1}\text{e}$ or $\beta^-$	+1	0	-1
$\gamma$ emission	${}^0_0\gamma$ or $\gamma$	0	0	0
Positron emission	${}^0_1\text{e}$ or $\beta^+$	-1	0	+1
Electron capture	E. C.	-1	0	+1

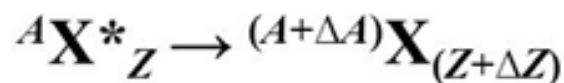
K emisi fotonů  **$\gamma$  záření** dochází, vznikají-li při přeměně jádra, jejichž energie je vyšší než energie v základním stavu. Např. při  $\alpha$  přeměně  ${}^{238}_{92}\text{U}$  vzniká 77% jader  ${}^{234}_{90}\text{Th}$  v základním stavu a 23% v excitovaném stavu. Jejich přechodem do základního stavu se vyzáří fotony  $\gamma$ .

# Pravidla posunu

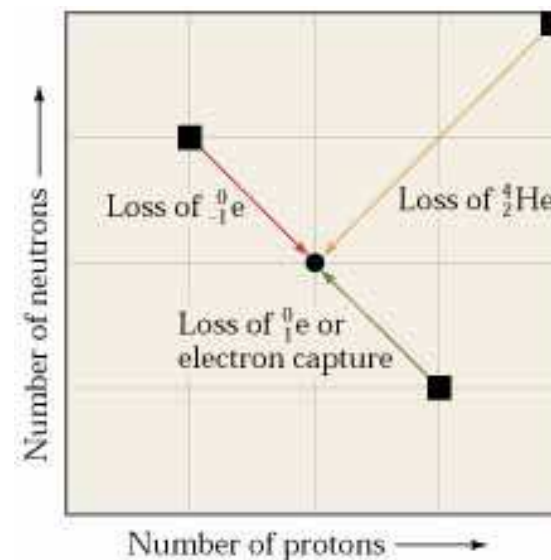
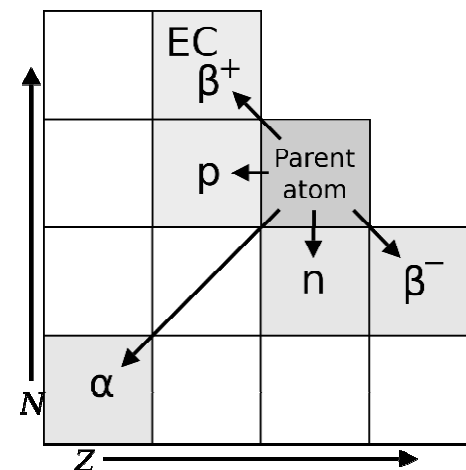
(Soddy 1913, Fajans 1913)

Součet protonových čísel všech částic na levé straně rovnice popisující libovolný jaderný děj se musí rovnat součtu protonových čísel všech částic na pravé straně této rovnice. Totéž platí pro čísla nukleonová.

**A:** mass number = number of nucleons (neutrons and protons) in the nucleus;  
**Z:** atomic number = number of protons in the nucleus.



Radioactive disintegration (radiation)	$\Delta A$	$\Delta Z$
$\alpha$ ( ${}^4\text{He}_2$ )	-4	-2
$\beta^-$ (electron, ${}^0\text{e}_{-1}$ )	0	+1
$\beta^+$ (positron, ${}^0\text{e}_{+1}$ )	0	-1
$\gamma$ (gamma quantum)	0	0



Type	Nuclear equation	Representation	Change in mass/atomic numbers
Alpha decay	${}^A_ZX \rightarrow {}^4_2\text{He} + {}^{A-4}_{Z-2}Y$		A: decrease by 4 Z: decrease by 2
Beta decay	${}^A_ZX \rightarrow {}^0_{-1}e + {}^{A}_{Z+1}Y$		A: unchanged Z: increase by 1
Gamma decay	${}^A_ZX \rightarrow {}^0_0\gamma + {}^A_ZY$	<p>Excited nuclear state</p>	A: unchanged Z: unchanged
Positron emission	${}^A_ZX \rightarrow {}^0_{+1}e + {}^{A}_{Z-1}Y$		A: unchanged Z: decrease by 1
Electron capture	${}^A_ZX + {}^0_{-1}e \rightarrow {}^{A}_{Z-1}Y + \text{X-ray}$		A: unchanged Z: decrease by 1

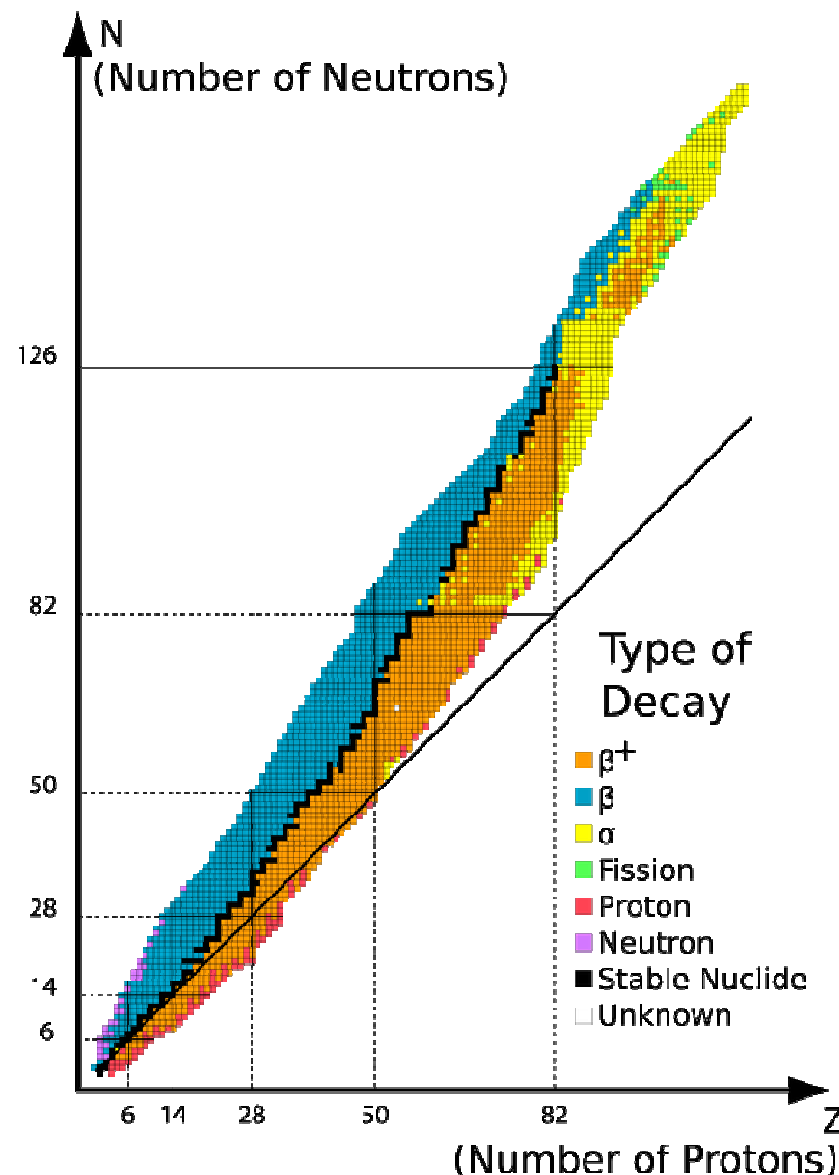
# Predikce typu rozpadu nestabilních nuklidů

Oblast  **$\alpha$  rozkladu** se nachází v oblasti vysokých hodnot  $A$  a  $Z$ . Alfa rozkladem klesá hmotnostní číslo o 4 a protonové číslo o 2, čímž dojde ke vzniku stabilnějšího nuklidu doprovázeného  $\alpha$  částice.

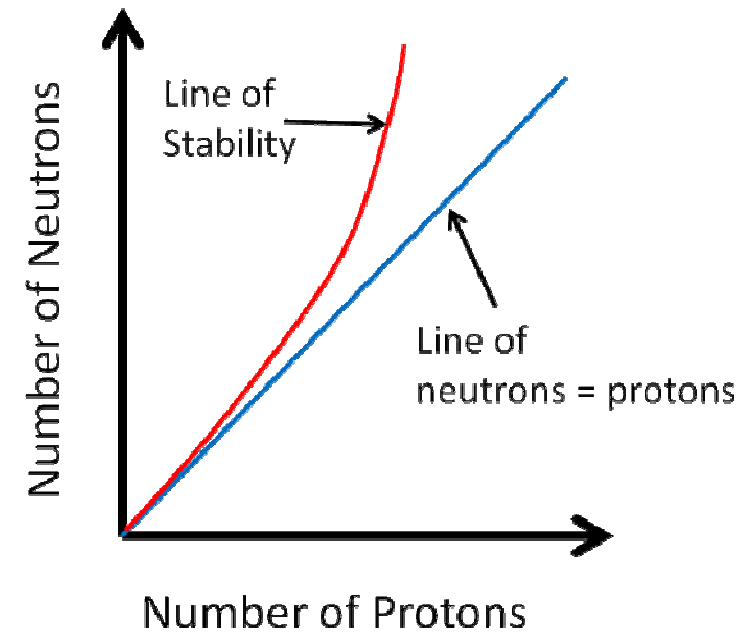
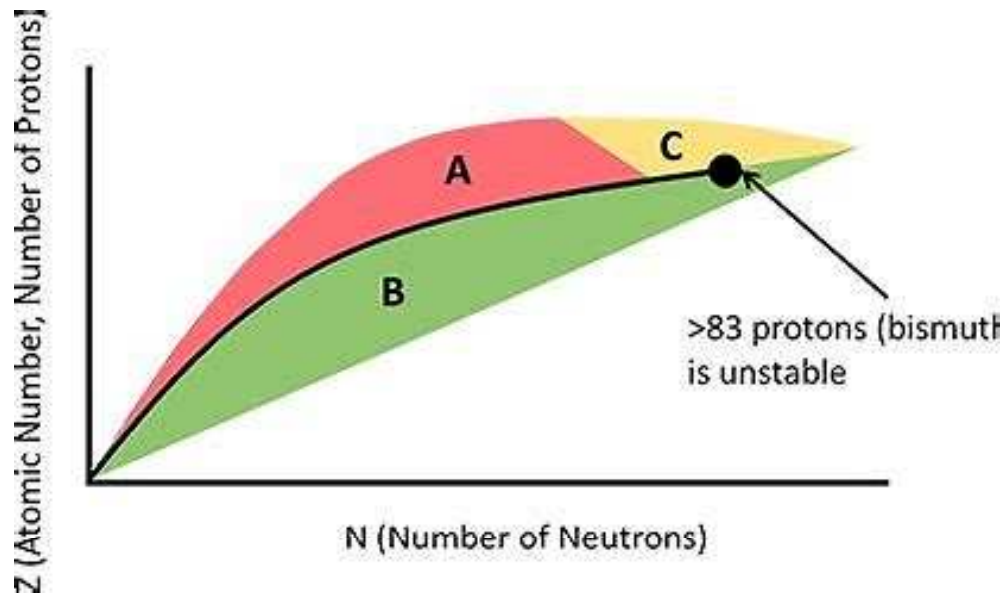
Oblast  **$\beta$  rozkladu** se v grafu nachází nad pásem stability, protože nuklid obsahuje více neutronů než protonů. Emisí  $\beta$  záření (elektronu) se zvýší počet protonů o 1 a zároveň se o 1 sníží počet neutronů. Tím dochází ke vzniku stabilnějšího nuklidu (je blíže pásu stability). Hodnota nukleonového čísla se nemění (izobary).

Oblast **positronové emise a záchytu elektronu** se v grafu nachází pod pásem stability, protože nuklid obsahuje více protonů než neutronů. Emisí pozitronu resp. záchytem elektronu se zvýší počet neutronů o 1 a zároveň se o 1 sníží počet protonů. Tím dochází ke vzniku stabilnějšího nuklidu (je blíže pásu stability). Hodnota nukleonového čísla se nemění (izobary).

Segrého graf



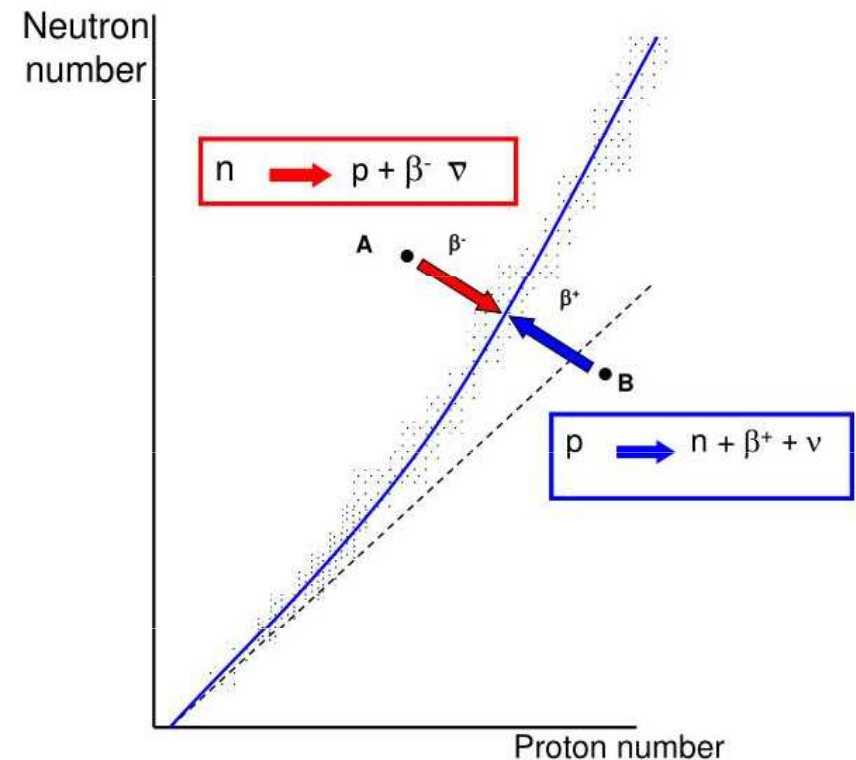
# Segrého graf



V oblasti **A** mají nuklidy velmi málo neutronů, v oblasti **B** mají nuklidy velmi málo protonů, a v oblasti **C** jsou těžké nuklidy s nadbytkem protonů a neutronů.

Průběh této závislosti lze popsat z Bethe-Weizsäckerovy rovnice:

$$N/Z \approx 1 + \frac{a_C}{2a_A} A^{2/3}. \quad N/Z \approx 1 + 0,016 \cdot A^{2/3}$$







# Predikce typu rozpadu nestabilních nuklidů

1. Pokud je  $A$  nuklidu větší než zaokrouhlená hodnota relativní atomové hmotnosti (zaokrouhlená hodnota  $A_r$  je rovna hodnotě nukleonového čísla  $A$ ), nuklid se rozkládá s emisí  $\beta$  záření.



2. Pokud je  $A$  nuklidu menší než zaokrouhlená hodnota relativní atomové hmotnosti (zaokrouhlená hodnota  $A_r$  je rovna hodnotě nukleonového čísla  $A$ ), nuklid má tendenci k zachycení elektronu, nebo emisi pozitronu.



3. Nuklidy se  $Z > 83$  mají tendenci k rozkladu s emisí  $\alpha$  záření.

**Výjimky:**  ${}^{233}\text{Th}$  může podléhat alfa rozpadu, ale zpravidla podléhá beta rozkladu.



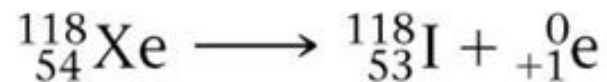
**Příklad:** Určete způsob rozkladu nuklidů  $^{14}\text{C}$  a  $^{118}\text{Xe}$ .

## Řešení

*Uhlík* má atomové číslo  $Z = 6$ . Nuklid  $^{14}\text{C}$  má 6 protonů a  $N = 14 - 6 = 8$  neutronů, poměr  $N/Z = 1.3$ . U prvků s nízkými hodnotami  $Z$  mají stabilní jádra zhruba stejný počet neutronů a protonů ( $N/Z = 1$ ), což odpovídá oblasti pásu stability. Protože  $^{14}\text{C}$  má hodnotu poměru  $N/Z = 1.3$ , nacházející se nad pásem stability, lze tudíž očekávat emisi beta záření.



*Xenon* má atomové číslo  $Z = 54$ . Nuklid  $^{118}\text{Xe}$  má 54 protonů a  $N = 118 - 54 = 64$  neutronů, poměr  $N/Z = 1.2$ . Stabilní jádra v této oblasti pásu stability mají vyšší hodnotu poměru  $N/Z$  (cca 1.5) než  $^{118}\text{Xe}$ . Lze tudíž očekávat emisi pozitronu nebo záchyt elektronu.



# Rozpadové řady

Na základě pravidel posunu pro  $\alpha$  rozpad je zřejmé, že v celé rozpadové řadě má hmotnostní číslo  $A$  stejný vztah k dělitelnosti číslem 4. Číslo čtyři udává počet nukleonů, které  $\alpha$  částice obsahuje. Hmotnostní číslo  $A$  se přitom mění právě pouze při  $\alpha$  rozpadu.

Podle toho se rozlišují čtyři rozpadové řady ( $n$  je přirozené číslo):

1.  $A = 4n$  - thoriová řada ( $^{232}\text{Th}$ ): poločas 14.0 miliardy let
2.  $A = 4n + 1$  - neptuniová řada ( $^{237}\text{Np}$ ): poločas 2 miliony let
3.  $A = 4n + 2$  - uranová řada ( $^{238}\text{U}$ ): poločas 4.47 miliardy let
4.  $A = 4n + 3$  - aktiniová řada ( $^{235}\text{U}$ ): poločas 0.7 miliardy let

Řada thoriová	$^{232}_{90}\text{Th}$	$^{208}_{82}\text{Pb}$
Řada uranová	$^{238}_{92}\text{U}$	$^{206}_{82}\text{Pb}$
Řada aktiniová	$^{235}_{92}\text{U}$	$^{207}_{82}\text{Pb}$
Řada neptuniová	$^{237}_{93}\text{Np}$	$^{209}_{83}\text{Bi}$

Počáteční člen

Koncový člen

$$232 = 4 \cdot 58 + 0$$

$$208 = 4 \cdot 52 + 0$$

$$238 = 4 \cdot 59 + 2$$

$$206 = 4 \cdot 51 + 2$$

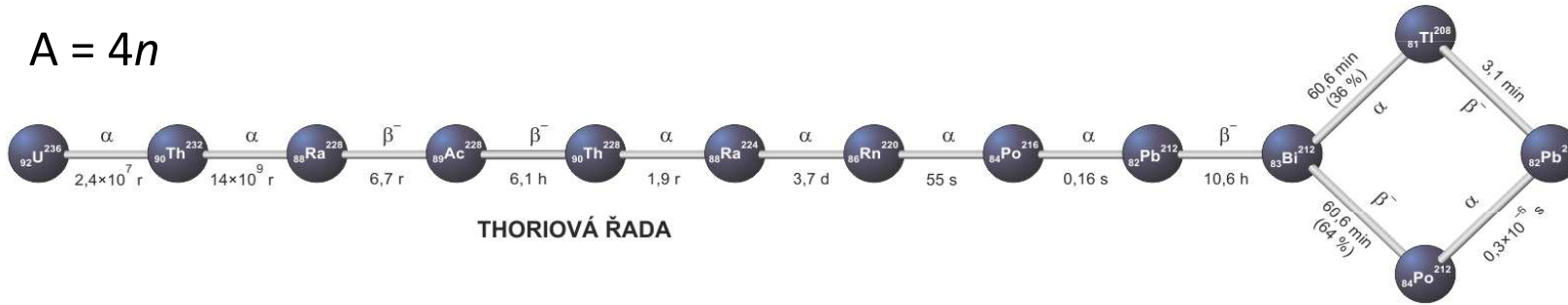
$$235 = 4 \cdot 58 + 3$$

$$207 = 4 \cdot 51 + 3$$

$$237 = 4 \cdot 59 + 1$$

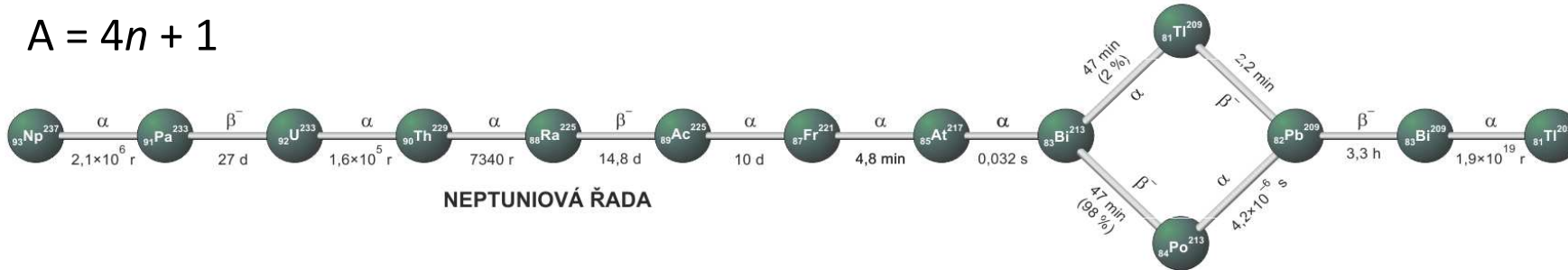
$$209 = 4 \cdot 52 + 1$$

$$A = 4n$$



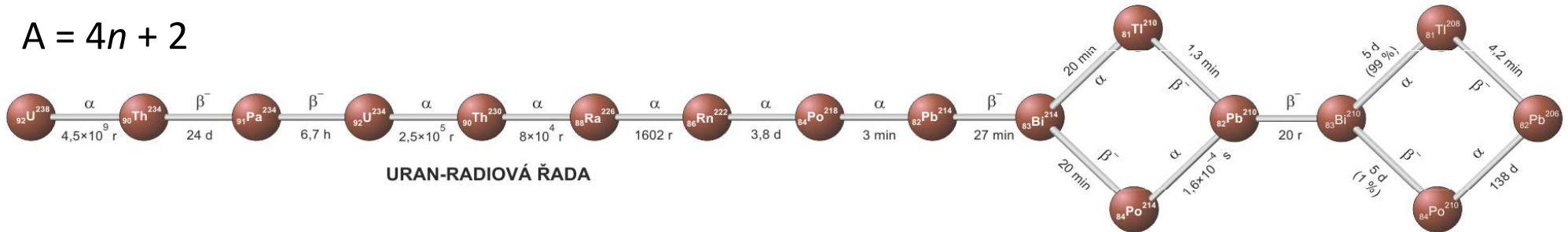
THORIOVÁ ŘADA

$$A = 4n + 1$$



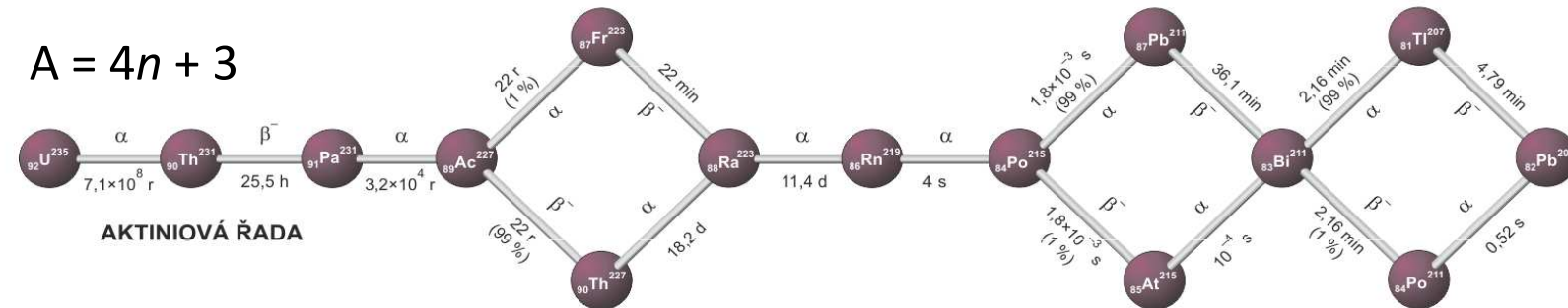
NEPTUNIOVÁ ŘADA

$$A = 4n + 2$$



URAN-RADIOVÁ ŘADA

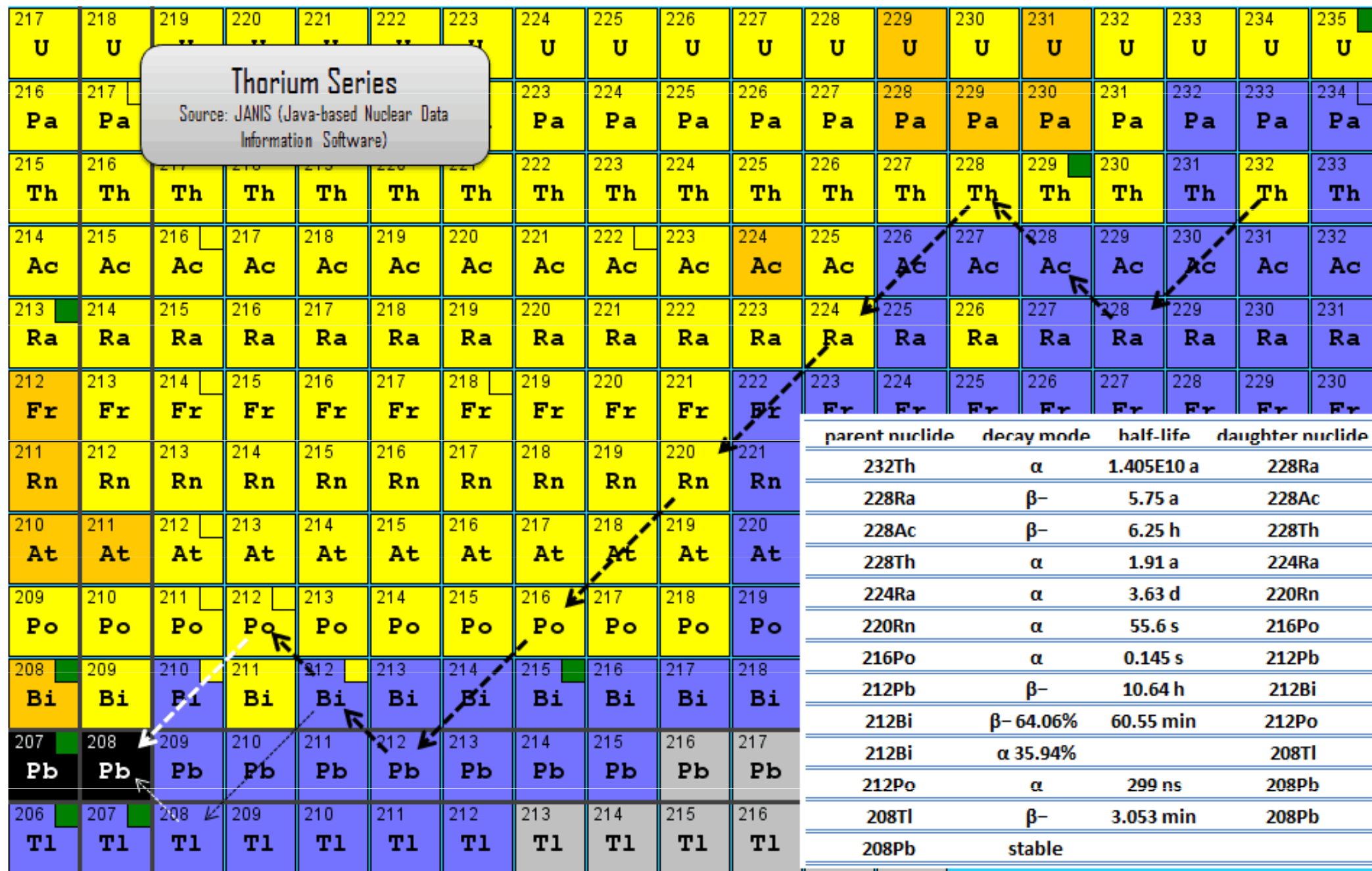
$$A = 4n + 3$$



AKTINIOVÁ ŘADA

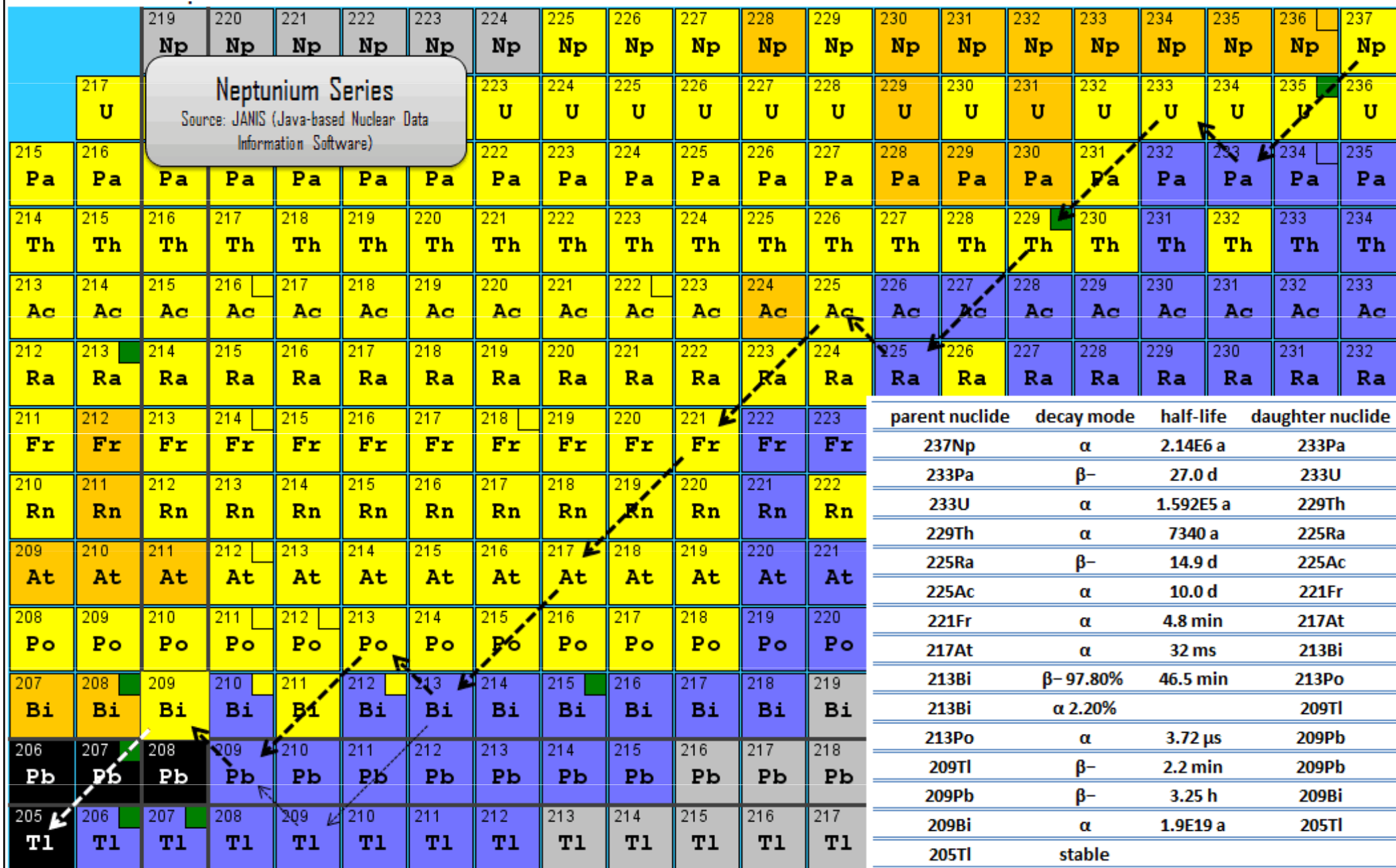
# Thoriová řada

$$A = 4n$$



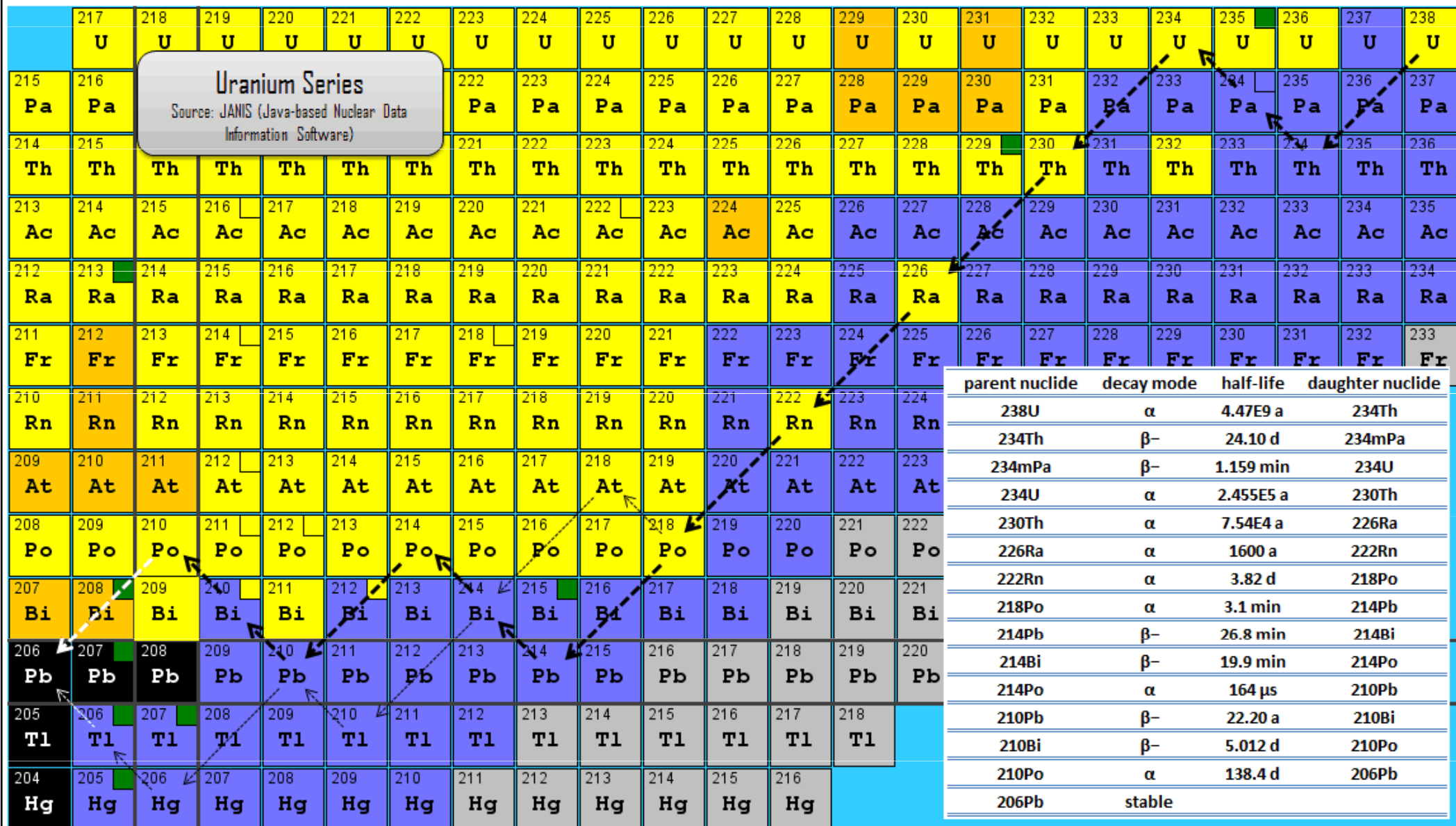
# Neptuniová řada

$$A = 4n + 1$$



# Uranová řada

$$A = 4n + 2$$







# Kinetika radioaktivního rozpadu

**Zákon radioaktivních přeměn:** za stejný časový interval se přemění stejný podíl z přítomného počtu radioaktivních jader.

Z hlediska kinetického lze na jadernou přeměnu nahlížet jako na **reakci 1. řádu**.

$$-dn = \lambda n dt$$

$$n = n_0 e^{-\lambda t}$$

$$m = m_0 e^{-\lambda t}$$

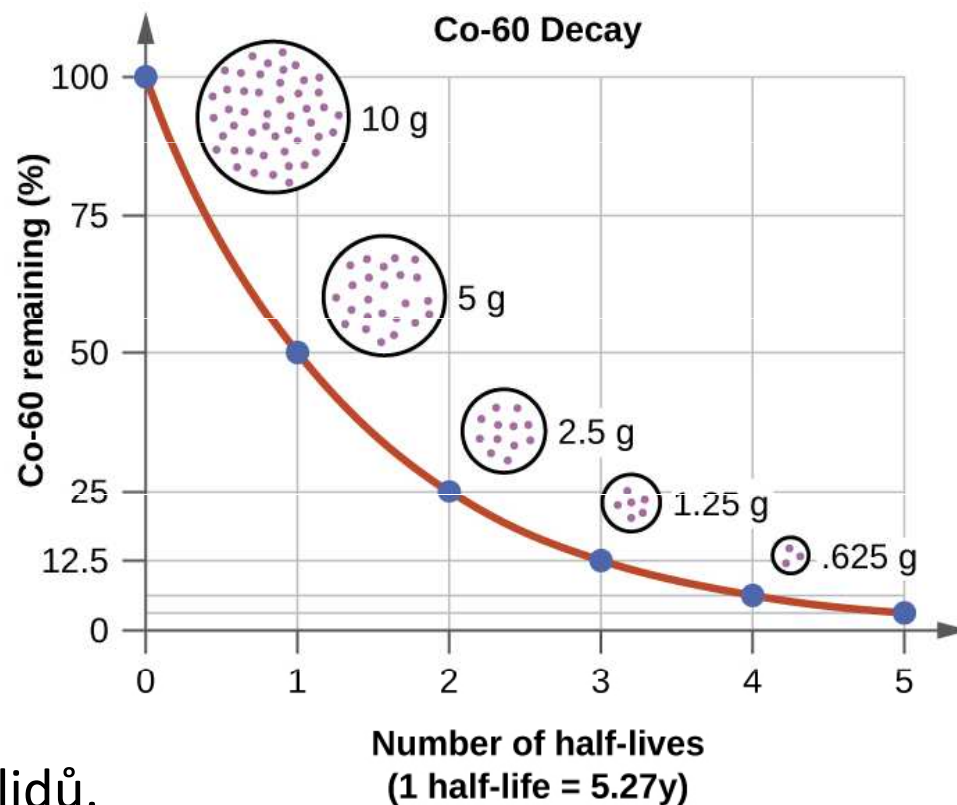
**Poločas přeměny (rozpadu):**

$$T = \frac{\ln 2}{\lambda} \approx 0,693 \cdot \lambda^{-1}$$

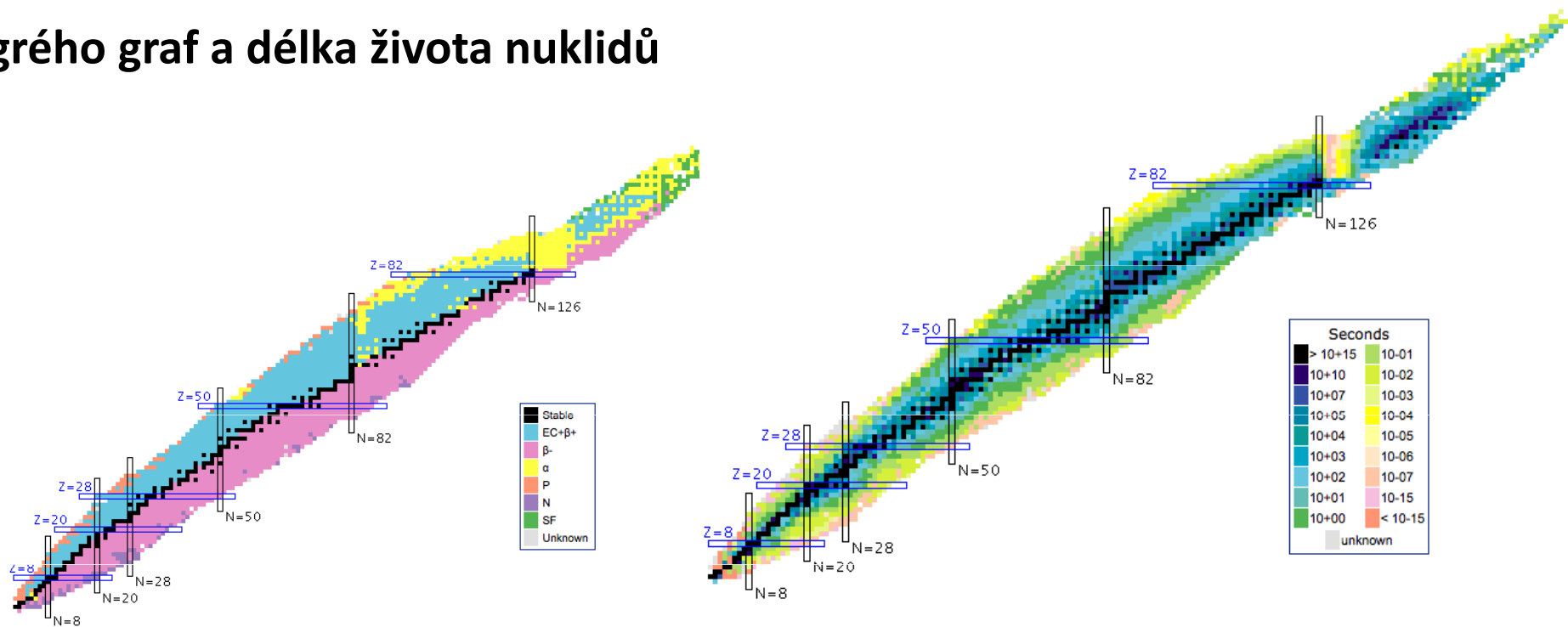
Poločas přeměny je měřítkem stability nuklidů.

**Příklad:** Je  $^{209}\text{Bi}$ , mající poločas přeměny  $2.01 \times 10^{19}$  let, stabilní?

Předpokládané stáří vesmíru je  $1.37 \times 10^{10}$  let (13.7 miliard let). Poločas přeměny  $^{209}\text{Bi}$  je asi 1000 000 000x delší než je stáří vesmíru.



# Segrého graf a délka života nuklidů



**Příklad:** Stroncium  $^{90}\text{Sr}$  je radioaktivní izotop s poločasem rozpadu 28.8 let. Pokud toto radioaktivní stroncium unikne do životního prostředí, za jak dlouho jeho množství poklesne na 1 % původní koncentrace?

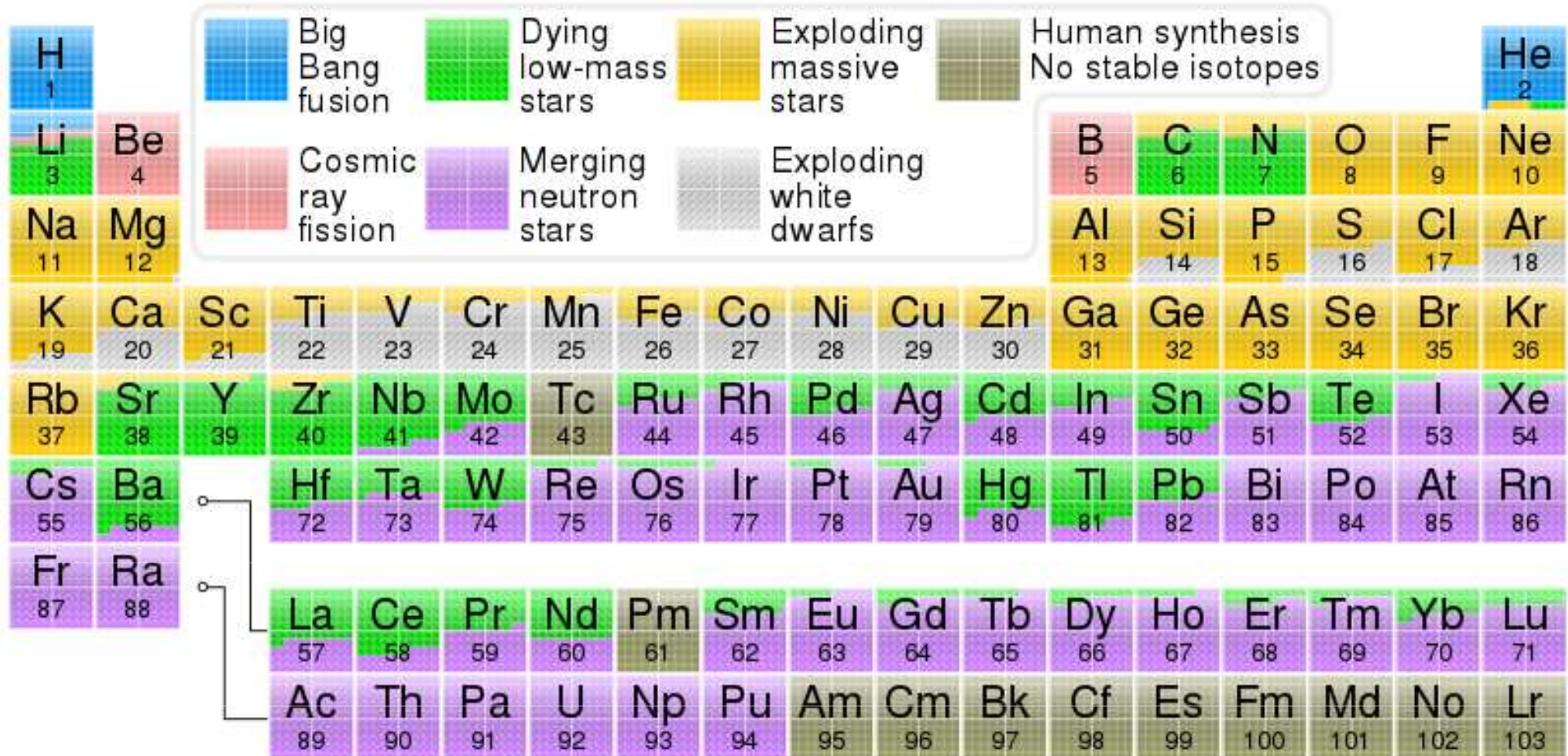
**Řešení**

$$\lambda = 0.693/t_{1/2} = 0.693/28.8 \text{ rok}^{-1} = 0.02406 \text{ rok}^{-1}$$

$$\ln[1] - \ln [100] = - (0.02406 \text{ rok}^{-1}) t = - 4.60$$

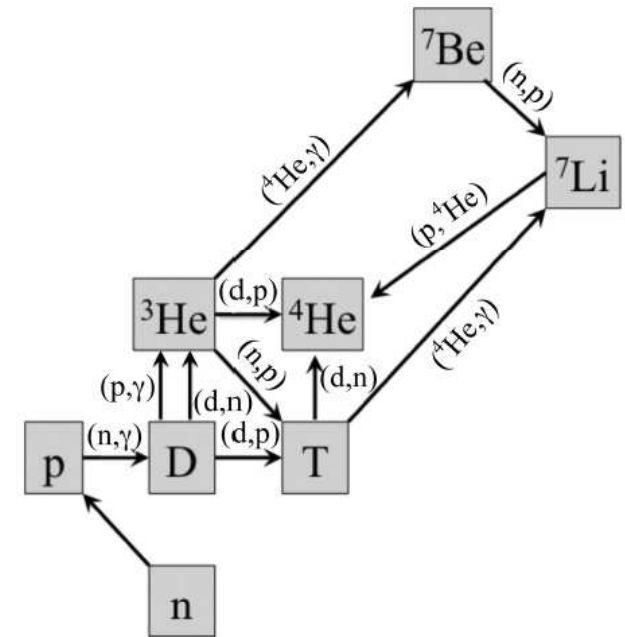
$$t = \frac{- 4.60}{- 0.0241} = \underline{191 \text{ let}}$$

# Vznik prvků



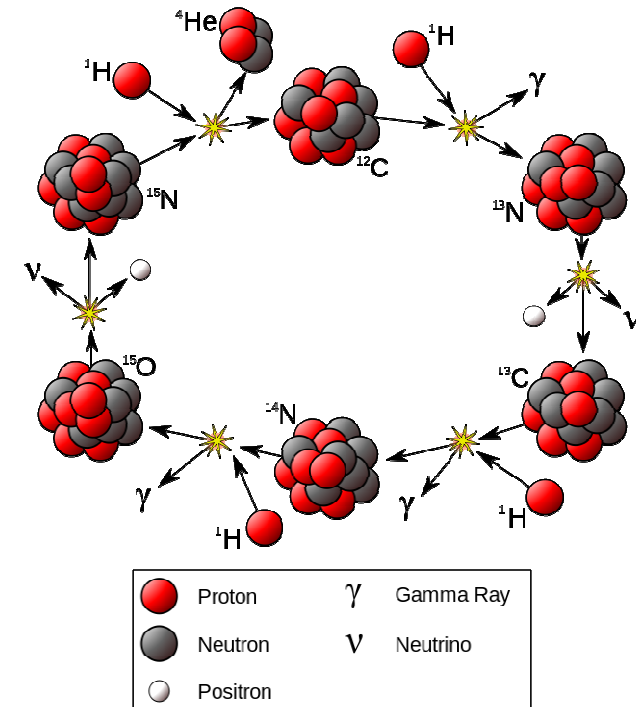
## Big Bang Nucleosynthesis (BBN)

vznik  $^2\text{H}$ ,  $^3\text{He}$  a  $^4\text{He}$ ,  $^6\text{Li}$  a  $^7\text{Li}$ . Kromě těchto stabilních jader vznikly i nestabilní, radioaktivní izotopy, zejména tritium,  $^7\text{Be}$  a  $^8\text{Be}$ . Tyto nestabilní izotopy se buď rozpadly, nebo splynuly s jinými stabilními jádry.



## Betheův-Weizsäckerův cyklus (CNO-cyklus)

= uzavřený proces. Do reakce vstupuje vodík a vystupuje helium, uhlík, dusík a kyslík jsou pouze moderátory reakce. Jedná se o hlavní zdroj energie hvězd o hmotnostech vyšších než 1,5 hmotností Slunce. Jedná se o hlavní zdroj energie hvězd o hmotnostech vyšších než 1,5 hmotností Slunce.



### ***r-proces (rapid neutron capture process)***

Rychlým zachycením neutronů v termonukleárním plazmatu bohatém na neutrony (např. v obalu explodující supernovy) vznikla jádra s nadbytkem neutronů. Následným opakovaným beta-rozpadem (postupným vysíláním elektronů z jádra) se pak postupně stabilizují. Takto mohou vznikla celá řada nuklidů mezi protonovým číslem  $Z = 26 - 92$  (např. brom, cín, platina, všechny vzácné zeminy) i vysoké transurany, v jejichž jádru je více než 210 nukleonů (polonium, thorium, uran atd.).

### ***s – proces (slow neutron capture process)***

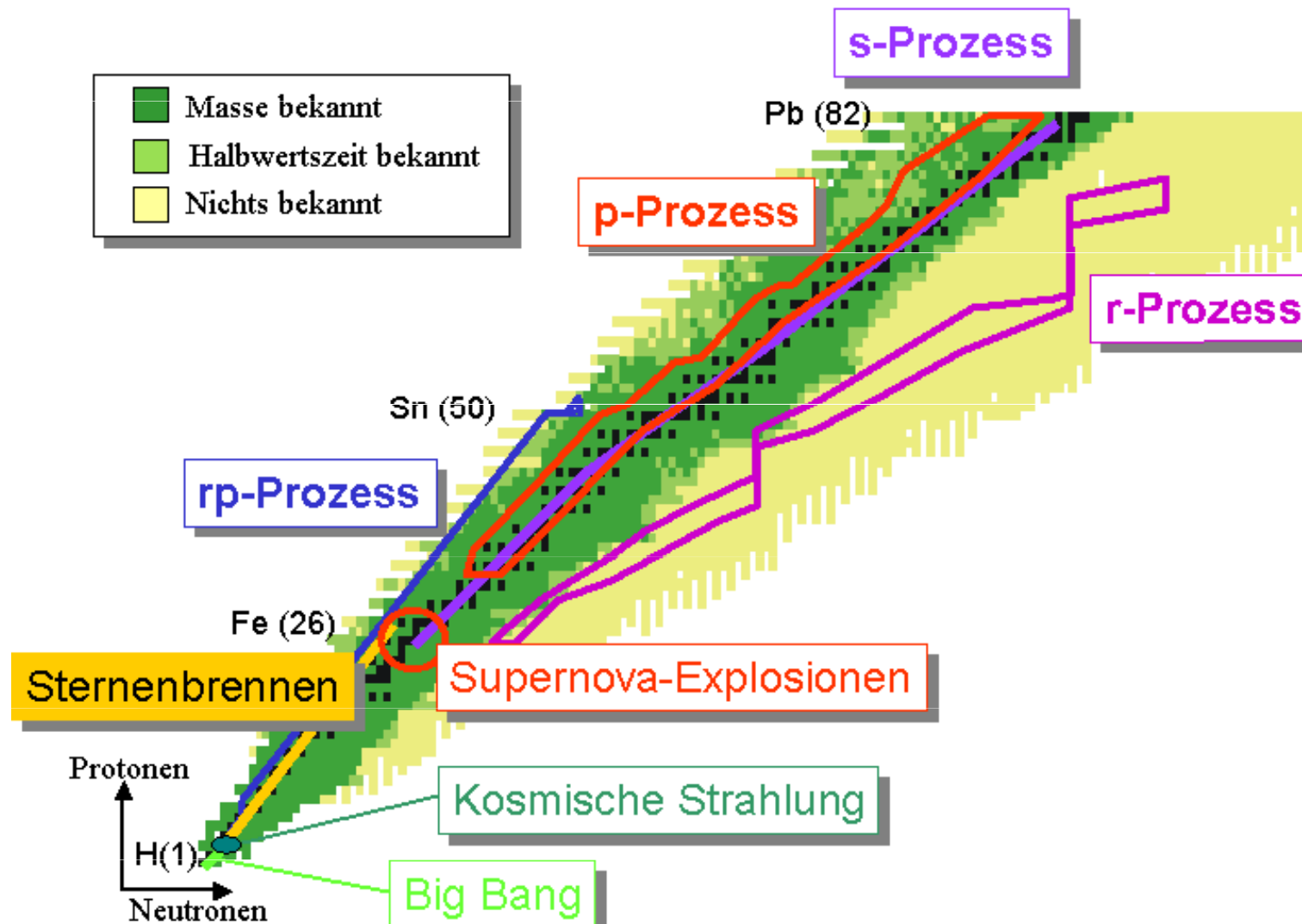
Proces, při kterém neutrony procházejí elektrostatickou bariérou a připojují se k atomovým jádrům. Tímto způsobem vznikají vyšší a vyšší prvky, od  $^{63}\text{Cu}$  po  $^{109}\text{Bi}$ . Probíhá v posledních fázích vývoje masivních hvězd (červených obrů), ve žhavém termonukleárním plazmatu v jejich nitru. S-proces nemůže syntetizovat jádra s větším  $A$  než 209 (vismut), neboť po zachycení neutronu tímto jádrem následuje rychlý alfa-rozpad.

### ***p – proces (neutron capture process)***

Volné protony mají takovou energii, že dokáží projít elektrostatickou bariérou a reagovat s jádrem. Vznikají vněm prvky od Ti po Cu. Nejvýznamnější je tento proces ve stádiu pre-supernovy.

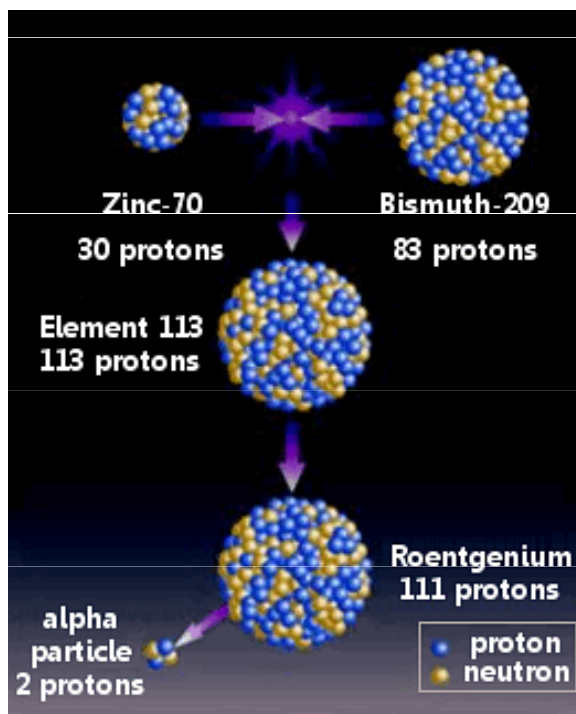
## rp – proces (rapid proton capture process)

Protony jsou postupně zachycovány jádrem, vznikají prvky po Te, vznik těžších nuklidů je limitován  $\alpha$ -rozpadem. Nejvýznamnější je tento proces v neutronových hvězdách.



# Uměle připravené prvky

Kladně nabité částice jsou urychleny a naráží do terče, vyrobeného z „mateřského“ prvku. Jadernými interakcemi se urychlené zabudovávají do struktury cílových atomů a mění jejich jaderná a protonová čísla → změna prvků.



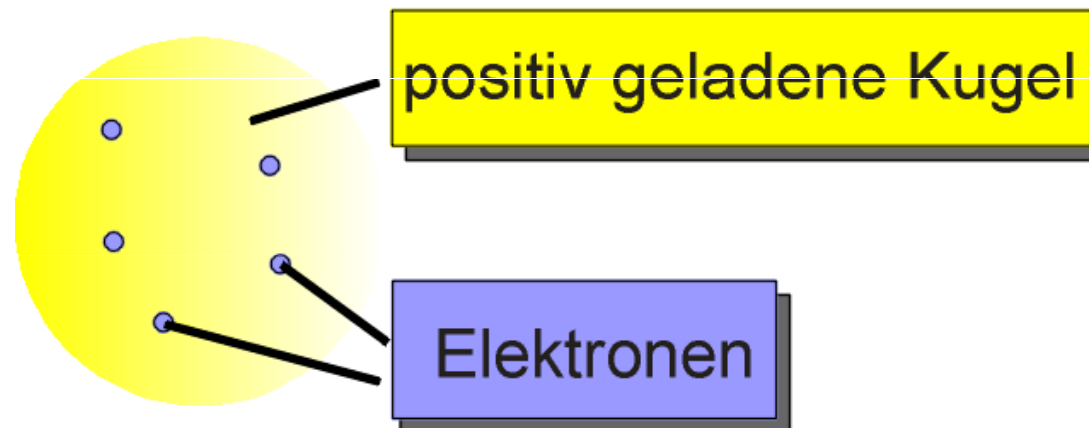
## Radioaktivní prvky

	IA	IIA	IIIB	IV.B	V.B	VI.B	VII.B	VIII B	IB	II.B	IIIA	IV.A	VA	VIA	VIIA	VIII A		
1	H 1	Periodická soustava prvků - radioaktivní prvky														He 2		
2	Li 3	Be 4	radioaktivní prvky přirodní		radioaktivní prvky uměle připravené						B 5	C 6	N 7	O 8	F 9	Ne 10		
3	Na 11	Mg 12	radioaktivní prvky přirodní		radioaktivní prvky uměle připravené						Al 13	Si 14	P 15	S 16	Cl 17	Ar 18		
4	K 19	Ca 20	Sc 21	Ti 22	V 23	Cr 24	Mn 25	Fe 26	Co 27	Ni 28	Cu 29	Zn 30	Ga 31	Ge 32	As 33	Se 34	Br 35	Kr 36
5	Rb 37	Sr 38	Y 39	Zr 40	Nb 41	Mo 42	Tc 43	Ru 44	Rh 45	Pd 46	Ag 47	Cd 48	In 49	Sn 50	Sb 51	Te 52	I 53	Xe 54
6	Cs 55	Ba 56	La 57	Hf 72	Ta 73	W 74	Re 75	Os 76	Ir 77	Pt 78	Au 79	Hg 80	Tl 81	Pb 82	Bi 83	Po 84	At 85	Rn 86
7	Fr 87	Ra 88	Ac 89	Rf 104	Db 105	Sg 106	Bh 107	Hs 108	Mt 109	Ds 110	Rg 111	Uub 112	Uuq 114	Uuh 116	Uuo 118			
Lantanoidy				Ce 58	Pr 59	Nd 60	Pm 61	Sm 62	Eu 63	Gd 64	Tb 65	Dy 66	Ho 67	Er 68	Tm 69	Yb 70	Lu 71	
Aktinoidy				Th 90	Pa 91	U 92	Np 93	Pu 94	Am 95	Cm 96	Bk 97	Cf 98	Es 99	Fm 100	Md 101	No 102	Lr 103	



# Elektronový obal atomu

## Thomsons Atommodell 1897



# Bohrův model atomu

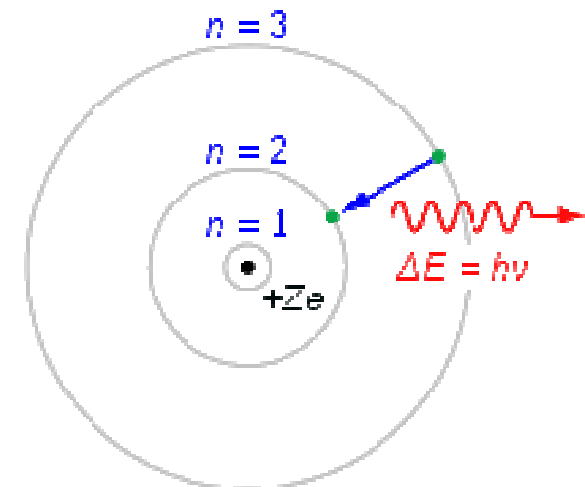
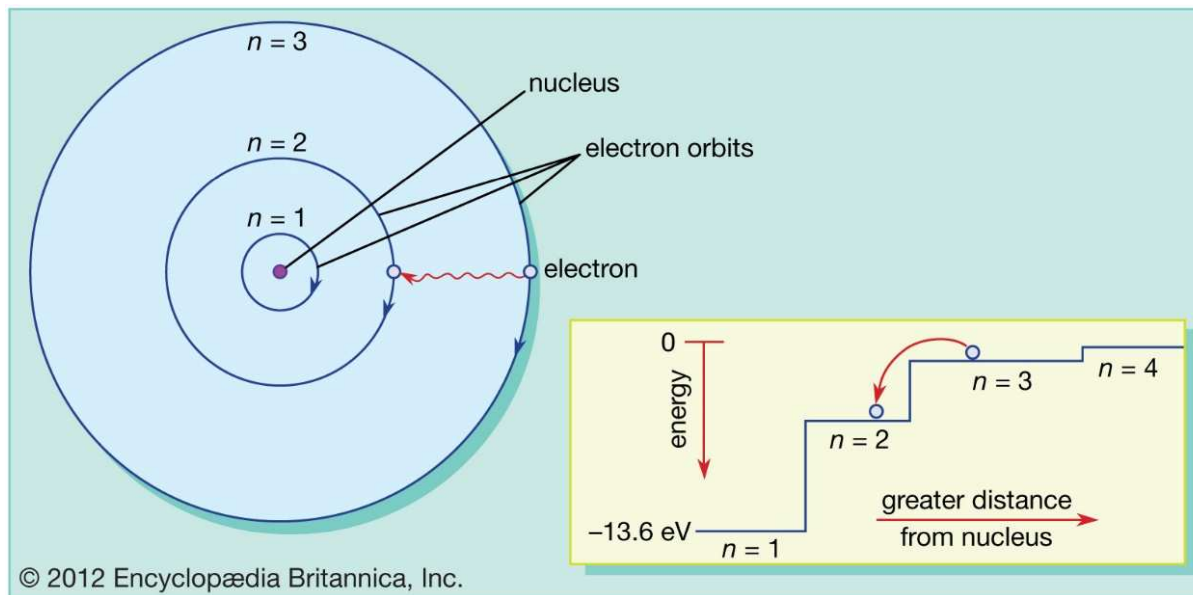
Bohrův model (Bohr 1913) je předchůdcem kvantověmechanického modelu atomu, zahrnuje pouze jedno kvantové číslo ( $n$ ).

**Poloměr kružnicové dráhy  $n$ -té hladiny, po které se elektron pohybuje:**

$$r(n) = \frac{4\pi\epsilon_0\hbar^2}{me^2} \cdot n^2,$$

**Energie elektronu vázaného v atomu na  $n$ -té hladině:**

$$E(n) = -\frac{me^4}{2(4\pi\epsilon_0)^2\hbar^2} \cdot \frac{1}{n^2}.$$



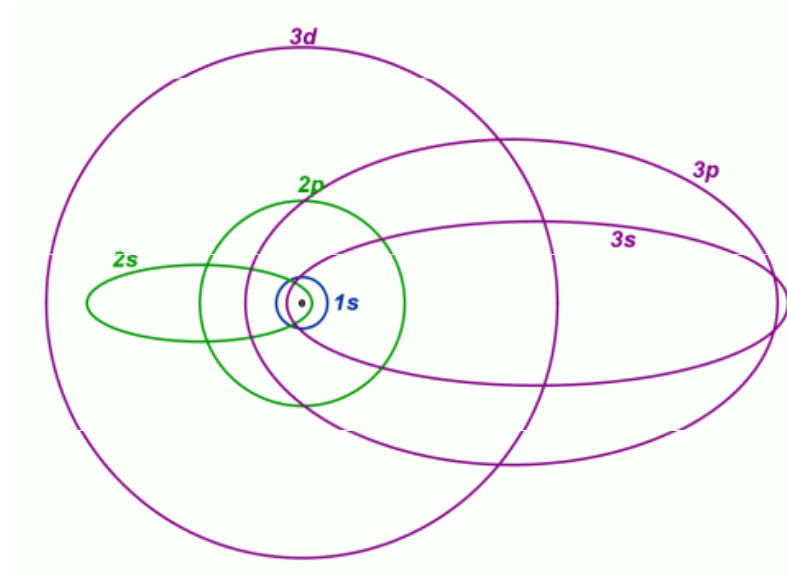
Bohrův model atomu dobře popisuje pouze atom vodíku a iontů mající v elektronovém obalu jen jeden elektron ( $\text{He}^+$ ,  $\text{Li}^{2+}$ ,  $\text{Be}^{3+}$  a  $\text{B}^{4+}$ )

# Sommerfeldův model atomu

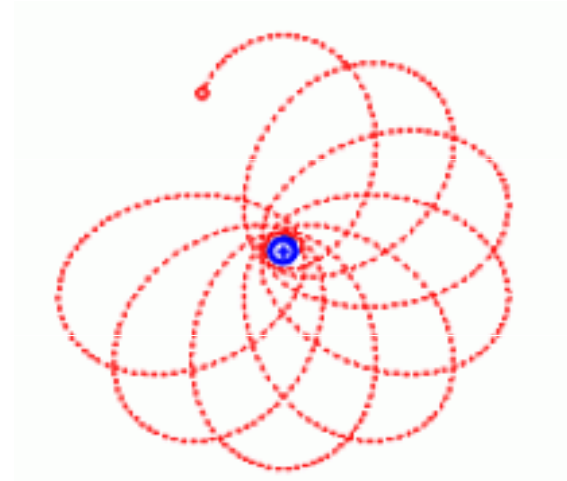
A. Sommerfeld (1916) nahradil Bohrovy kruhové dráhy eliptickými. Odtud

**Hlavní kvantové číslo ( $n$ ):** velká poloosa  $a = n^2 r_1$

**Vedlejší kvantové číslo ( $l$ ):** malá poloosa  $a' = n(l + 1)r_1$ , nabývá hodnot 0 až  $n - 1$ .



$$n = l + 1$$



Protože se elektron po své dráze pohybuje velkou rychlostí blíží se rychlosti světla, Sommerfeld ve svém modelu změnil hmotnost elektronu v souladu s teorií relativity. Elektron má tedy největší hmotnost nejbliž u jádra a nejmenší hmotnost nejdál od jádra. Vlivem změn hmotnosti elektronu se dráha v nejbližším bodě víc zakřivuje a to vede k přemístování celé dráhy, která nabývá tvar růžice. Proto se poněkud liší energie elektronu na drahách se stejným hlavním kvantovým číslem a s odlišným vedleším kvantovým číslem.

# Kvantově-mechanický model atomu

Schrödingerova rovnice (Schrödinger 1926):

$$\hat{H}\psi = E\psi$$

$$\hat{H} = -\frac{\hbar^2}{2m} (\frac{d^2}{dx^2} + \frac{d^2}{dy^2} + \frac{d^2}{dz^2}) + E_p$$

Lze určit energii a prostor. uspořádání elektronu x jen pro proton + elektron (atom H), pro „vyšší atomy“ změna kvantit fyz. vztahů jádro - elektron + repulsní síly mezi elektrony.

Řešením Schrödingerovy rovnice pro orbitaly získáme 3 základní údaje:

- 1) vlnové funkce atomových orbitalů (AO) charakterizovaných kvantovými čísly  $n, l, m_l$
- 2) hodnoty energie (vlastní) všech atomových orbitalů (AO)
- 3) průběh vlnové funkce  $\psi, \psi^2$  v závislosti na prostorových souřadnicích okolo jádra

**Atomový orbital** = existenční oblast elektronu v atomu

$\psi(x,y,z)$  kartézské souřadnice

$\psi(r,\theta,\phi)$  sférické souřadnice

$$\Psi(r, \theta, \phi) = R(r) P(\theta) F(\phi)$$

$n$

principal  
quantum  
number

$l$

Orbital  
quantum  
number

$m_l$

Magnetic  
quantum  
number

$$\left[ -\frac{\hbar^2}{8\pi^2m} \left( \frac{\partial^2}{\partial x^2} + \frac{\partial^2}{\partial y^2} + \frac{\partial^2}{\partial z^2} \right) + V(x,y,z) \right] \psi(x,y,z) = E\psi(x,y,z)$$

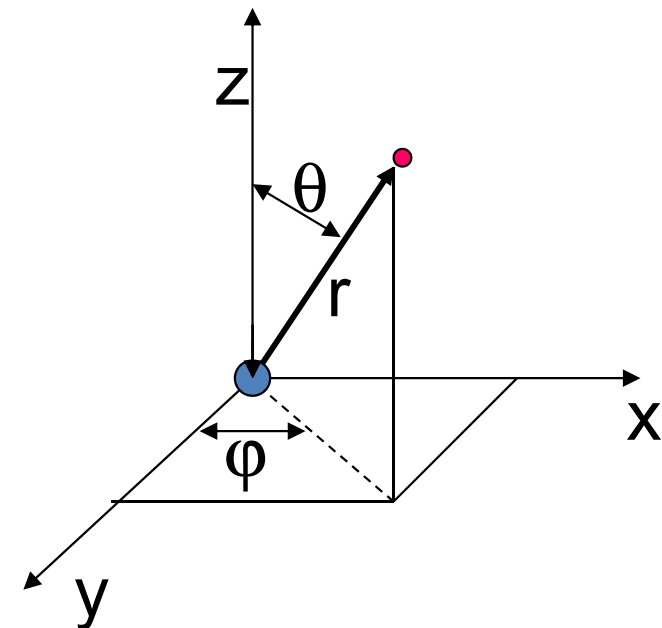
or

$$-\frac{\hbar^2}{2m} \nabla^2 \psi + V\psi = E\psi \quad \text{or} \quad H\psi = E\psi$$

$\nabla^2$  becomes

$$\left[ \frac{1}{r^2} \frac{\partial}{\partial r} \left( r^2 \frac{\partial}{\partial r} \right) + \frac{1}{r^2 \sin\theta} \frac{\partial}{\partial \theta} \left( \sin\theta \frac{\partial}{\partial \theta} \right) + \frac{1}{r^2 \sin^2\theta} \frac{\partial^2}{\partial \phi^2} \right]$$

in spherical polar coordinates



# Kvantová čísla

- nabývají celočíselných hodnot
- každá kombinace definuje jediný AO:

$$\psi(\text{AO}) = \psi_{n,l,m_l}(r, \theta, \varphi)$$

**hlavní kvantové číslo**  $n = 1, 2, 3, 4 \dots$  Vlnová funkce  $\psi_{n,l,m}$  je vlastní funkcí řešené Schrödingerovy rovnice pouze pro tyto hodnoty  $n$ . Je rozhodující pro energii AO. Orbitaly se stejným  $n$  tvoří *atomovou slupku* (shell).

**vedlejší kvantové číslo**  $l = 0, 1, 2, \dots, \underline{n-1}$  ( $l \leq n - 1$ )

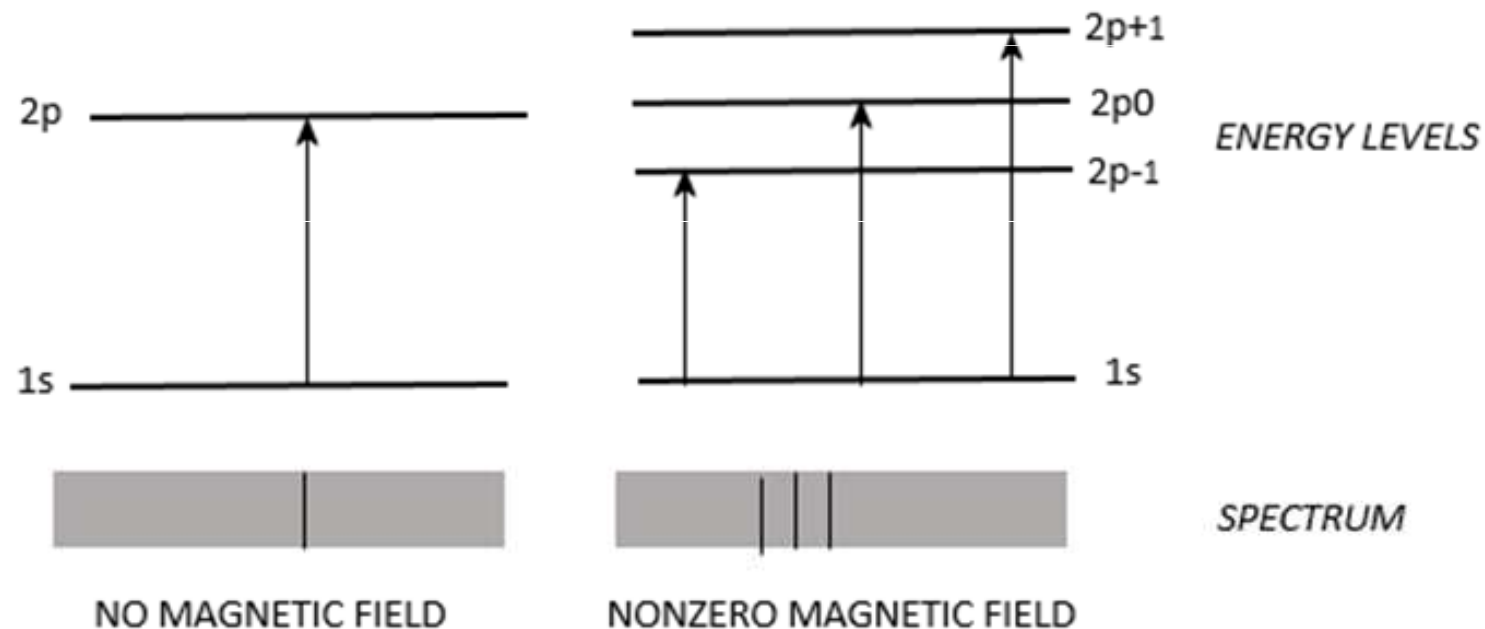
$$l = s, p, d, f, \dots$$

Určuje tvar a směrové vlastnosti AO (u složitějších atomů ovlivňují i energii AO). Orbital s daným  $l$  charakterizuje *atomovou podslupku* (subshell).

**magnetické kvantové číslo**  $m_l = -l, -l + 1, \dots, 0, +1, \dots, +l - 1, \dots, +l$ . Určuje orientaci AO vzhledem k souřadnému systému.

# Zeemanův jev

= štěpení degenerovaných energetických hladin atomů vlivem přítomnosti silného magnetického pole. V přítomnosti magnetického pole mají jednotlivé hladiny ( $m_l = -1, 0, 1$ ) již nepatrně odlišnou energii, která vede k rozštěpení jedné spektrální čáry na více čar.



# Elektronový spin

K popisu elektronu nestačí  $\psi_{n, l, m_l}$ , nutno charakterizovat vnitřní moment hybnosti  
→ **spin** (Dirac 1928)

2 diskrétní kvantové stavy - nutno zavést další souřadnici  $s$ , která formou spinové funkce charakterizuje stav elektronu v atomu. Funkce nabývá dvou číselných hodnot:

$$s_1 = +1/2 \quad h/2p \qquad s_2 = -1/2 \quad h/2p$$

**Spinové kvantové číslo**  $m_s$  (parametr spinové funkce)

$$m_s = +1/2 (\uparrow) \qquad m_s = -1/2 (\downarrow)$$

V AO  $\psi_{n, l, m_l, m_s}$  se dva elektrony s rozdílnými spiny snaží přiblížit, dva elektrony se stejnými spiny se snaží zůstat oddělené → význam pro výstavbu elektronového obalu a vazbu.

2 elektrony v atomu nemohou existovat ve stejném kvantovém stavu (nutný rozdíl v hodnotě nejméně 1 kvantového čísla) = **Pauliho princip vylučnosti** (Pauli 1925)



# Označování AO

neužívá se kombinace  $n, l, m_l$

hlavní kvantové číslo + symbol pro vedl. kvantové číslo

$$l = 0 \rightarrow s$$

$$l = 1 \rightarrow p$$

$$l = 2 \rightarrow d$$

$$l = 3 \rightarrow f$$

$m_l$  neovlivňuje energii atomového orbitalu  $\rightarrow$  orbitaly

- $s$  nedegenerované
- $p$  3x degenerované
- $d$  5x degenerované
- $f$  7x degenerované

$$2s \rightarrow \mathbf{AO} \quad s \quad n = 2, l = 0, m_l = 0$$

$$3d \quad n = 3, l = 2, m_l = -2, -1, 0, +1, +2$$

$$4p \quad n = 4, l = 1, m_l = -1, 0, +1$$

# Elektronové slupky a podslupky

(energiové hladiny a podhladiny)

- jsou určeny kvantovými čísly. U velkých atomů se slupky mohou překrývat.

Elektrony se stejným  $n$  leží ve stejné elektronové slupce.

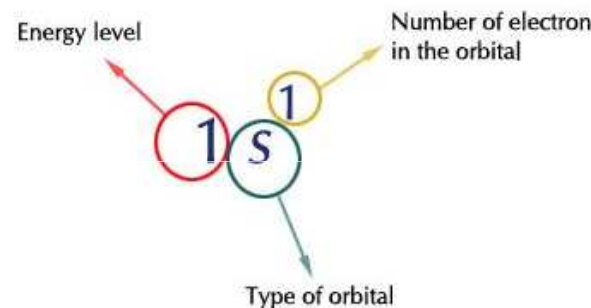
Elektrony se stejným  $n$  i  $l$  leží ve stejné elektronové podslupce.

Elektrony, které mají stejné  $n$ ,  $l$  i  $m$  leží ve stejném orbitalu.

Degenerované orbitaly jsou orbitaly, které jsou popsány stejným hlavním kvantovým číslem a stejným vedlejším kvantovým číslem. Navzájem se tedy liší pouze magnetickým kvantovým číslem.

Protože existují pouze dvě hodnoty spinu elektronu, mohou být v každém orbitalu pouze **dva elektrony**.

**Elektronová konfigurace** = vrstva ( $n$ ) + podslupka ( $l$ ) + počet elektronů



Obsazení jednotlivých orbitalů se řídí pravidly:

### **Princip minima energie**

atom nepodléhající vnějšímu působení přechází samovolnými procesy do stavu s nejnižší možnou energií.

### **Výstavbový princip**

orbitaly s energií nižší se zaplňují dříve než orbitaly s energií vyšší, energie orbitalů se zvyšuje s rostoucí hodnotou součtu hlavního a vedlejšího kvantového čísla.

### **Pauliho princip výlučnosti**

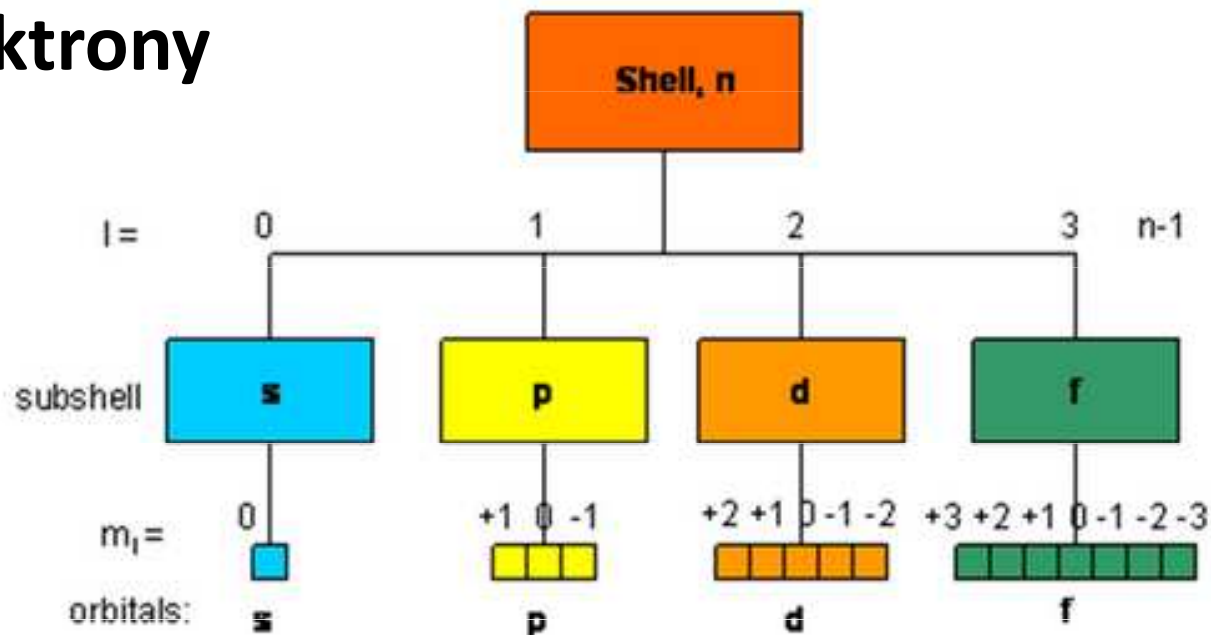
Dva elektrony se nemohou nacházet ve stejném stavu, jejich stavy se musí lišit alespoň v jednom kvantovém čísle. V elektronovém obalu nemohou být žádné dva elektrony se všemi čtyřmi kvantovými čísly stejnými, v jednom orbitalu mohou být maximálně dva elektrony s opačným spinem.

### **Hundovo pravidlo maximální multiplicity**

V degenerovaných orbitalech vznikají elektronové páry teprve po obsazení každého orbitalu jedním elektronem, nespárované elektrony mají stejný spin.

Součet magnetických spinových čísel všech elektronů v podslupce, resp. tzv. multiplicita, musí být maximální.

# Obsazení AO elektrony



State	Principal quantum number $n$	Orbital quantum number	Magnetic quantum number	Spin quantum number	Maximum number of electrons
1s	1	0	0	$+\frac{1}{2}, -\frac{1}{2}$	2
2s	2	0	0	$+\frac{1}{2}, -\frac{1}{2}$	2
2p	2	1	-1, 0, +1	$+\frac{1}{2}, -\frac{1}{2}$	6
3s	3	0	0	$+\frac{1}{2}, -\frac{1}{2}$	2
3p	3	1	-1, 0, +1	$+\frac{1}{2}, -\frac{1}{2}$	6
3d	3	2	-2, -1, 0, 1, 2	$+\frac{1}{2}, -\frac{1}{2}$	10

The table shows that the 2s, 2p, and 3s orbitals together hold 8 electrons, and the 3p, 3d, and 3s orbitals together hold 18 electrons.

# Obsazení AO elektrony

Max. počet elektronů na degenerovaných orbitalech = 2-násobek počtu degenerovaných orbitalů

$$p - 6e, d - 10e, f - 14e$$

Obsazení orbitalů elektrony vyjadřuje exponent



$3d^0$  - tzv. vakantní (neobsazený) orbital - nemá fyzikální význam, = pomyslné vyjádření místa pro elektron.

Sdružování dle  $n$  (kvantové sféry):

$$n = 1: 2e$$

$$n = 2: 2e + 6e = 8e,$$

$$n = 3: 2e + 6e + 10e = 18e,$$

$$n = 4 : 2e + 6e + 10e + 14e = 32e$$

*Maximální počet elektronů v každé slupce* ( $n = 1, 2, 3, \dots$ ) je  $2n^2$ , kde  $n$  je hlavní kvantové číslo (**Stonerovo pravidlo**).

*Maximální počet elektronů v každé podslupce* (s, p, d nebo f) je  $2(2\ell+1)$ , kde  $\ell = 0, 1, 2, 3, \dots$

Principal Energy Level (n)	Number of Orbitals Present				Total Number of Orbitals ( $n^2$ )	Maximum Number of Electrons ( $2n^2$ )
	s	p	d	f		
1	1	-	-	-	1	2
2	1	3	-	-	4	8
3	1	3	5	-	9	18
4	1	3	5	7	16	32

Principal quantum number (n)	Type of subshells	Number of orbitals	Number of electrons	Maximum number of electrons
1	1s	1	2	2
2	2s	1	2	8
	2p	3	6	
3	3s	1	2	18
	3p	3	6	
	3d	5	10	
4	4s	1	2	32
	4p	3	6	
	4d	5	10	
	4f	7	14	

**Table** Summary of the Quantum Numbers, Their Interrelationships, and the Orbital Information Conveyed

Principal Quantum Number	Angular Momentum Quantum Number	Magnetic Quantum Number	Number and Type of Orbitals in the Subshell
Symbol = $n$ Values = 1, 2, 3, ... $n$ = number of subshells	Symbol = $\ell$ Values = 0 ... $n - 1$	Symbol = $m_\ell$ Values = $-\ell$ ... 0 ... $+\ell$	Number of orbitals in shell = $n^2$ and number of orbitals in subshell = $2\ell + 1$
1	0	0	one 1s orbital (one orbital of one type in the $n = 1$ shell)
2	0 1	0 + 1, 0, -1	one 2s orbital three 2p orbitals (four orbitals of two types in the $n = 2$ shell)
3	0 1 2	0 + 1, 0, -1 + 2, +1, 0, -1, -2	one 3s orbital three 3p orbitals five 3d orbitals (nine orbitals of three types in the $n = 3$ shell)
4	0 1 2 3	0 + 1, 0, -1 + 2, +1, 0, -1, -2 + 3, +2, +1, 0, -1, -2, -3	one 4s orbital three 4p orbitals five 4d orbitals seven 4f orbitals (16 orbitals of four types in the $n = 4$ shell)

**Rules for Which Orbitals Can Exist:**

Each higher shell (higher  $n$ ) allows one more subshell (another l, s, p, d, f, g, ...)

Each higher subshell ( $\ell$ ) allows two more orbitals (s = 1, p = 3, d = 5, f = 7)

In terms of Quantum Numbers:  $n$  goes from 1 to infinity

$\ell$  goes from 0 to  $n-1$      $m_\ell$  goes from  $-\ell$  to  $+\ell$

**Subshell Types and**

$\ell = 0$     s

$\ell = 1$     p

$\ell = 2$     d

$\ell = 3$     f

# Určení atomového čísla: s-prvky

## Atomová čísla

2. perioda:

$$Z = \text{č. skupiny} + 2$$

3. a vyšší perioda:  $Z = Z$  prvku předchozí periody v téže skupině + počet prvků v předchozí periodě

Perioda	1	2	3	4	5	6	7	8	9	10	11	12	13	14	15	16	17	18	
2	1 H																		2 He
8	3 Li	4 Be											5 B	6 C	7 N	8 O	9 F	10 Ne	
8	11 Na	12 Mg											13 Al	14 Si	15 P	16 S	17 Cl	18 Ar	
18	19 K	20 Ca	21 Sc	22 Ti	23 V	24 Cr	25 Mn	26 Fe	27 Co	28 Ni	29 Cu	30 Zn	31 Ga	32 Ge	33 As	34 Se	35 Br	36 Kr	
18	37 Rb	38 Sr	39 Y	40 Zr	41 Nb	42 Mo	43 Tc	44 Ru	45 Rh	46 Pd	47 Ag	48 Cd	49 In	50 Sn	51 Sb	52 Te	53 I	54 Xe	
32	55 Cs	56 Ba		72 Hf	73 Ta	74 W	75 Re	76 Os	77 Ir	78 Pt	79 Au	80 Hg	81 Tl	82 Pb	83 Bi	84 Po	85 At	86 Rn	
32	87 Fr	88 Ra		104 Rf	105 Db	106 Sg	107 Bh	108 Hs	109 Mt	110 Ds	111 Rg	112 Cn	113 Uut	114 Fl	115 Uup	116 Lv	117 Uus	118 Uuo	
Lanthanides				57 La	58 Ce	59 Pr	60 Nd	61 Pm	62 Sm	63 Eu	64 Gd	65 Tb	66 Dy	67 Ho	68 Er	69 Tm	70 Yb	71 Lu	
Actinides				89 Ac	90 Th	91 Pa	92 U	93 Np	94 Pu	95 Am	96 Cm	97 Bk	98 Cf	99 Es	100 Fm	101 Md	102 No	103 Lr	



# Určení atomového čísla: p-prvky

## Atomová čísla

2. perioda:

$$Z = \text{č. skupiny} - 8 \quad (\text{pro číslování řad dle IUPAC})$$

3. a vyšší perioda:  $Z = Z$  prvku předchozí periody v téže skupině + počet prvků v periodě

Perioda →	1	2	3	4	5	6	7	8	9	10	11	12	13	14	15	16	17	18	
1	1 H																		2 He
2	3 Li	4 Be											5 B	6 C	7 N	8 O	9 F	10 Ne	
3	11 Na	12 Mg											13 Al	14 Si	15 P	16 S	17 Cl	18 Ar	
4	19 K	20 Ca	21 Sc	22 Ti	23 V	24 Cr	25 Mn	26 Fe	27 Co	28 Ni	29 Cu	30 Zn	31 Ga	32 Ge	33 As	34 Se	35 Br	36 Kr	
5	37 Rb	38 Sr	39 Y	40 Zr	41 Nb	42 Mo	43 Tc	44 Ru	45 Rh	46 Pd	47 Ag	48 Cd	49 In	50 Sn	51 Sb	52 Te	53 I	54 Xe	
6	55 Cs	56 Ba		72 Hf	73 Ta	74 W	75 Re	76 Os	77 Ir	78 Pt	79 Au	80 Hg	81 Tl	82 Pb	83 Bi	84 Po	85 At	86 Rn	
7	87 Fr	88 Ra		104 Rf	105 Db	106 Sg	107 Bh	108 Hs	109 Mt	110 Ds	111 Rg	112 Cn	113 Uut	114 Fl	115 Uup	116 Lv	117 Uus	118 Uuo	
Lanthanides				57 La	58 Ce	59 Pr	60 Nd	61 Pm	62 Sm	63 Eu	64 Gd	65 Tb	66 Dy	67 Ho	68 Er	69 Tm	70 Yb	71 Lu	
Actinides				89 Ac	90 Th	91 Pa	92 U	93 Np	94 Pu	95 Am	96 Cm	97 Bk	98 Cf	99 Es	100 Fm	101 Md	102 No	103 Lr	

# Určení atomového čísla: d-prvky

## Atomová čísla

4. perioda:

$$Z = \text{č. skupiny} + 18 \quad (\text{pro číslování řad dle IUPAC})$$

5. a vyšší perioda:  $Z = Z$  prvku předchozí periody v téže skupině + počet prvků v periodě

## Počet prvků v periodách

Perioda	1	2	3	4	5	6	7	8	9	10	11	12	13	14	15	16	17	18	
1	1 H																		2 He
2	3 Li	4 Be											5 B	6 C	7 N	8 O	9 F	10 Ne	
3	11 Na	12 Mg											13 Al	14 Si	15 P	16 S	17 Cl	18 Ar	
18	19 K	20 Ca	21 Sc	22 Ti	23 V	24 Cr	25 Mn	26 Fe	27 Co	28 Ni	29 Cu	30 Zn	31 Ga	32 Ge	33 As	34 Se	35 Br	36 Kr	
18	37 Rb	38 Sr	39 Y	40 Zr	41 Nb	42 Mo	43 Tc	44 Ru	45 Rh	46 Pd	47 Ag	48 Cd	49 In	50 Sn	51 Sb	52 Te	53 I	54 Xe	
32	55 Cs	56 Ba		72 Hf	73 Ta	74 W	75 Re	76 Os	77 Ir	78 Pt	79 Au	80 Hg	81 Tl	82 Pb	83 Bi	84 Po	85 At	86 Rn	
32	87 Fr	88 Ra		104 Rf	105 Db	106 Sg	107 Bh	108 Hs	109 Mt	110 Ds	111 Rg	112 Cn	113 Uut	114 Fl	115 Uup	116 Lv	117 Uus	118 Uuo	
Lanthanides			57 La	58 Ce	59 Pr	60 Nd	61 Pm	62 Sm	63 Eu	64 Gd	65 Tb	66 Dy	67 Ho	68 Er	69 Tm	70 Yb	71 Lu		
Actinides			89 Ac	90 Th	91 Pa	92 U	93 Np	94 Pu	95 Am	96 Cm	97 Bk	98 Cf	99 Es	100 Fm	101 Md	102 No	103 Lr		

## Příklady

$${}_3\text{Li}: 1 + 2 = 3$$

$${}_{38}\text{Sr}: 20 (\text{pro } {}_{20}\text{Ca}) + 18 = 38$$

$${}_{87}\text{Fr}: 55 (\text{pro } {}_{55}\text{Cs}) + 32 = 87$$

$${}_6\text{C}: 14 - 8 = 6$$

$${}_9\text{F}: 17 - 8 = 9$$

$${}_{34}\text{Se}: 16 (\text{pro } {}_{16}\text{S}) + 18 = 34$$

$${}_{82}\text{Pb}: 50 (\text{pro } {}_{50}\text{Sn}) + 32 = 82$$

$${}_{24}\text{Cr}: 6 + 18 = 24$$

$${}_{32}\text{Ge}: 14 + 18 = 32$$

$${}_{19}\text{K}: 1 + 18 = 19$$

$${}_{78}\text{Pt}: 46 (\text{pro } {}_{16}\text{Pd}) + 32 = 78$$

$${}_{47}\text{Ag}: 29 (\text{pro } {}_{29}\text{Cu}) + 18 = 47$$

# Příklad

Ion  $X^{3+}$  obsahuje 55 elektronů. Určete prvek X. Ve kterém bloku periodické tabulky se nachází?

Ion  $X^{3+}$

55 elektronů

Prvek X

$55 + 3 = 58$  elektronů

Nejblíže nižší vzácný plyn 54 elektronů ( ${}_{54}\text{Xe}$ , 5. perioda)

6. perioda = zahrnuje f-prvky  $58 - 54 = 4$

Group→	1	2	3	4	5	6	7	8	9	10	11	12	13	14	15	16	17	18
↓Period																		
1	1 H																	2 He
2	3 Li	4 Be											5 B	6 C	7 N	8 O	9 F	10 Ne
3	11 Na	12 Mg											13 Al	14 Si	15 P	16 S	17 Cl	18 Ar
4	19 K	20 Ca	21 Sc	22 Ti	23 V	24 Cr	25 Mn	26 Fe	27 Co	28 Ni	29 Cu	30 Zn	31 Ga	32 Ge	33 As	34 Se	35 Br	36 Kr
5	37 Rb	38 Sr	39 Y	40 Zr	41 Nb	42 Mo	43 Tc	44 Ru	45 Rh	46 Pd	47 Ag	48 Cd	49 In	50 Sn	51 Sb	52 Te	53 I	54 Xe
6	55 Cs	56 Ba	* 71 Lu	72 Hf	73 Ta	74 W	75 Re	76 Os	77 Ir	78 Pt	79 Au	80 Hg	81 Tl	82 Pb	83 Bi	84 Po	85 At	86 Rn
7	87 Fr	88 Ra	* 103 Lr	104 Rf	105 Db	106 Sg	107 Bh	108 Hs	109 Mt	110 Ds	111 Rg	112 Cn	113 Nh	114 Fl	115 Mc	116 Lv	117 Ts	118 Og
			* 57 La	58 Ce	59 Pr	60 Nd	61 Pm	62 Sm	63 Eu	64 Gd	65 Tb	66 Dy	67 Ho	68 Er	69 Tm	70 Yb		
			* 89 Ac	90 Th	91 Pa	92 U	93 Np	94 Pu	95 Am	96 Cm	97 Bk	98 Cf	99 Es	100 Fm	101 Md	102 No		

8  
8  
18  
18  
32  
32

# s – orbitaly ( $l = 0$ )

$$m_l = 0$$

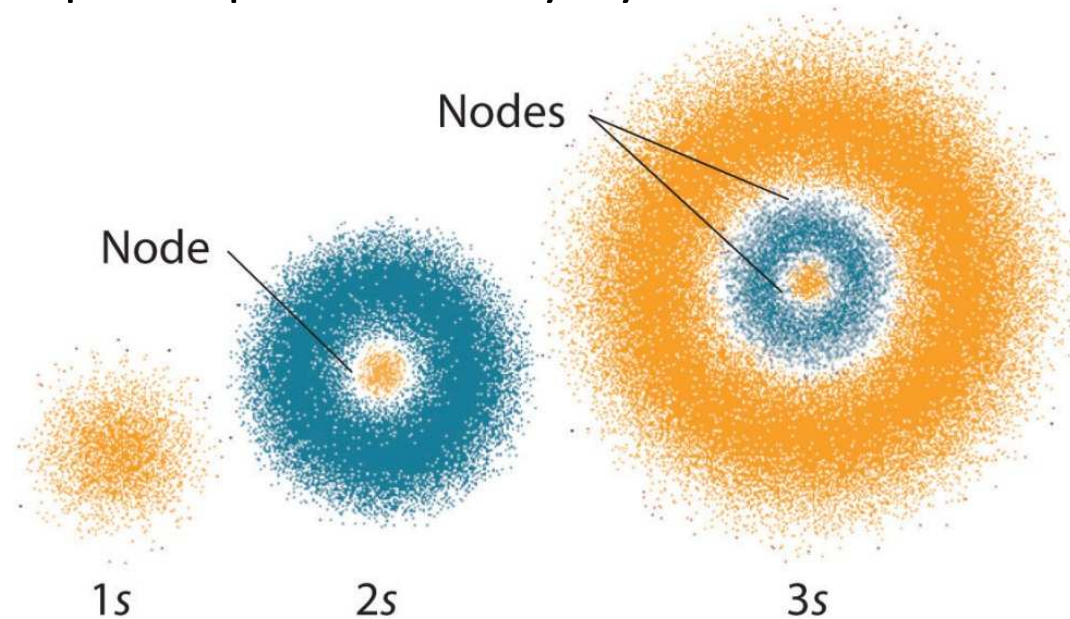
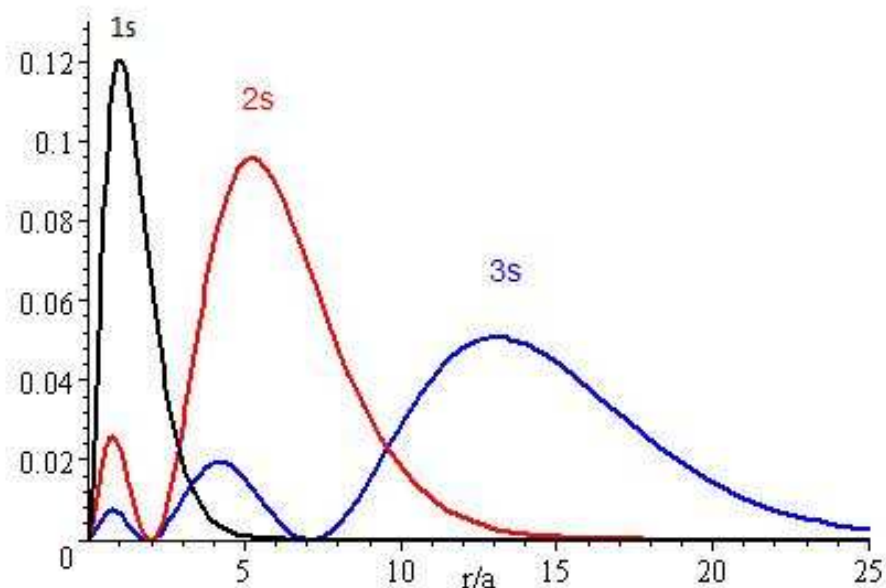
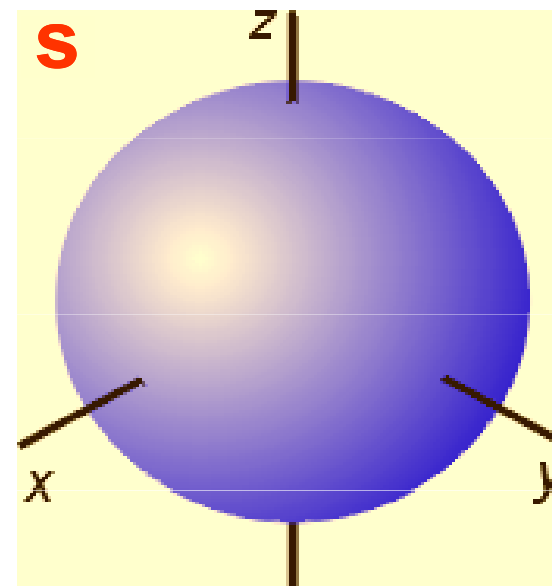
kulovitý tvar

1s - bez nodálních ploch

2s - 1 nodální plocha

3s - 2 nodální plochy

plocha ohraničuje objem zahrnující 90% pravděpodobnosti výskytu elektronu



# p – orbitaly ( $l = 1$ )

$m_l = -1, 0, +1 \rightarrow$  funkce  $\psi$  3x degenerována

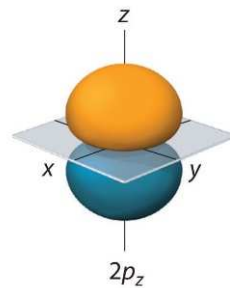
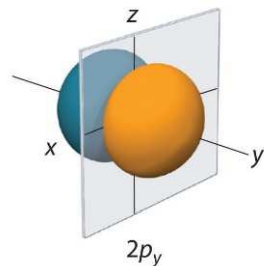
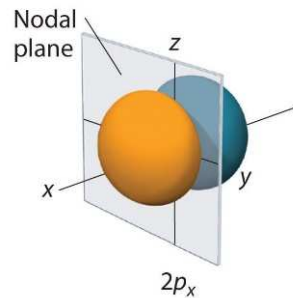
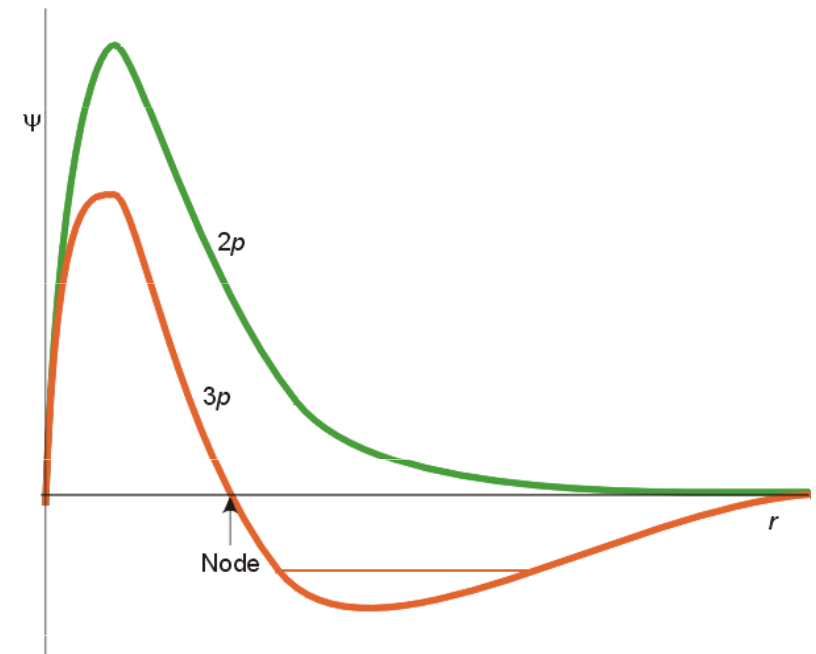
tvár dvojitě

$n - 1$  nodálních ploch (z toho 1 rovina)

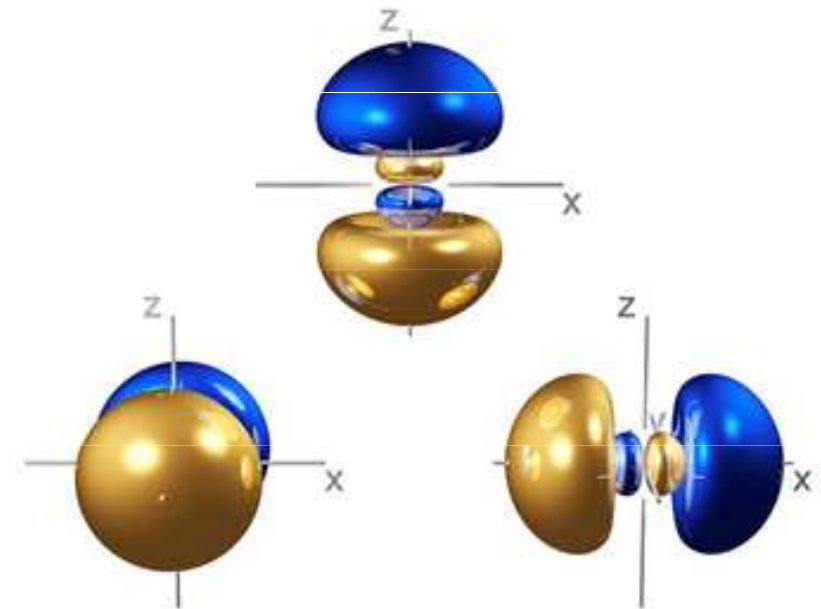
orientace ve směru os  $x, y, z$

zanedbání složité vnitřní struktury pro  $n > 2$

vyznačování znaménka vlnové funkce



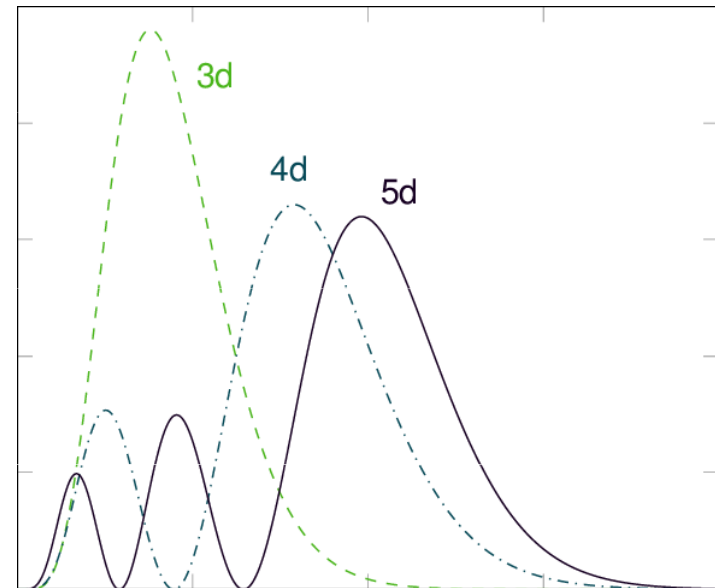
2p orbitaly



3p orbitaly

# d – orbitaly ( $l = 2$ )

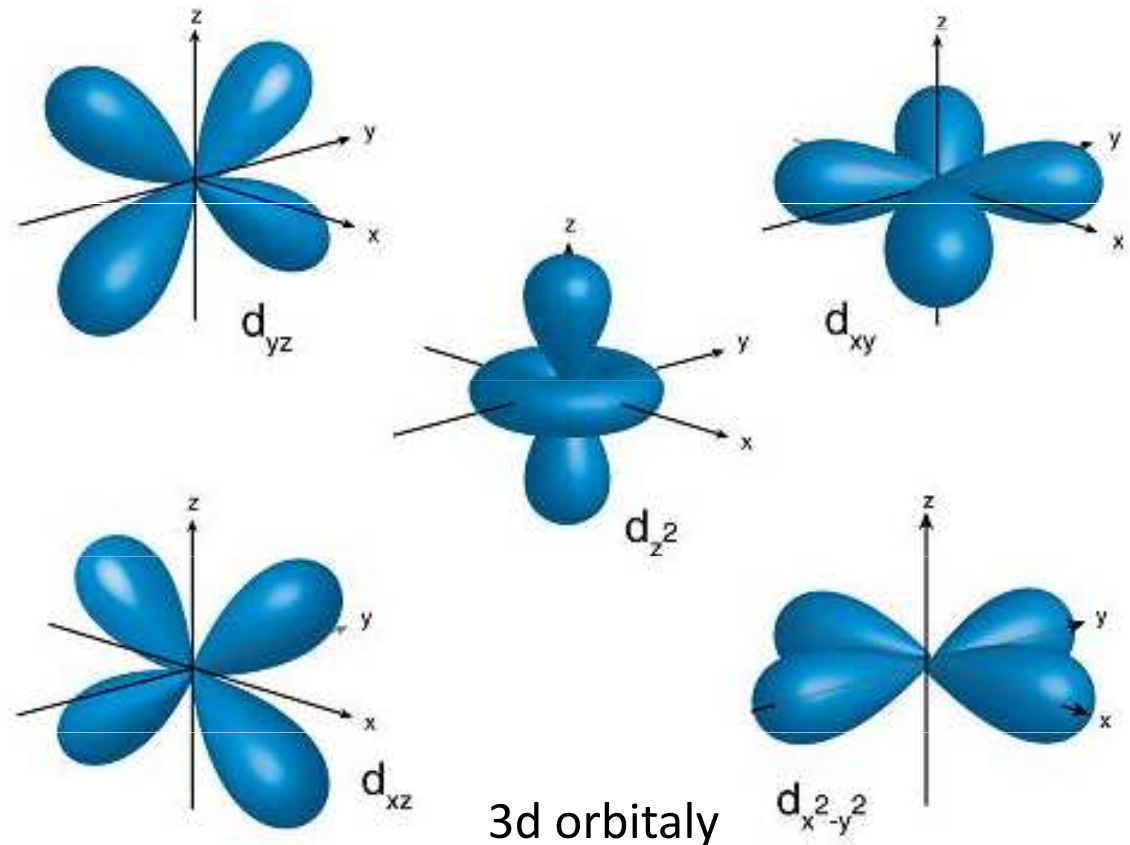
$m_l = -2, -1, 0, +1, +2 \rightarrow$  funkce  $\psi$   
5x degenerována



4 orbitaly prostorově shodné  
(odlišnost v orientaci)

$d_{xz}$ ,  $d_{yz}$ ,  $d_{xy}$  směřují  
mezi dvojice os  
 $d_{x^2-y^2}$  orientace podél  
os x a y  
 $d_{z^2}$  - odlišný tvar a  
orientace podél osy z

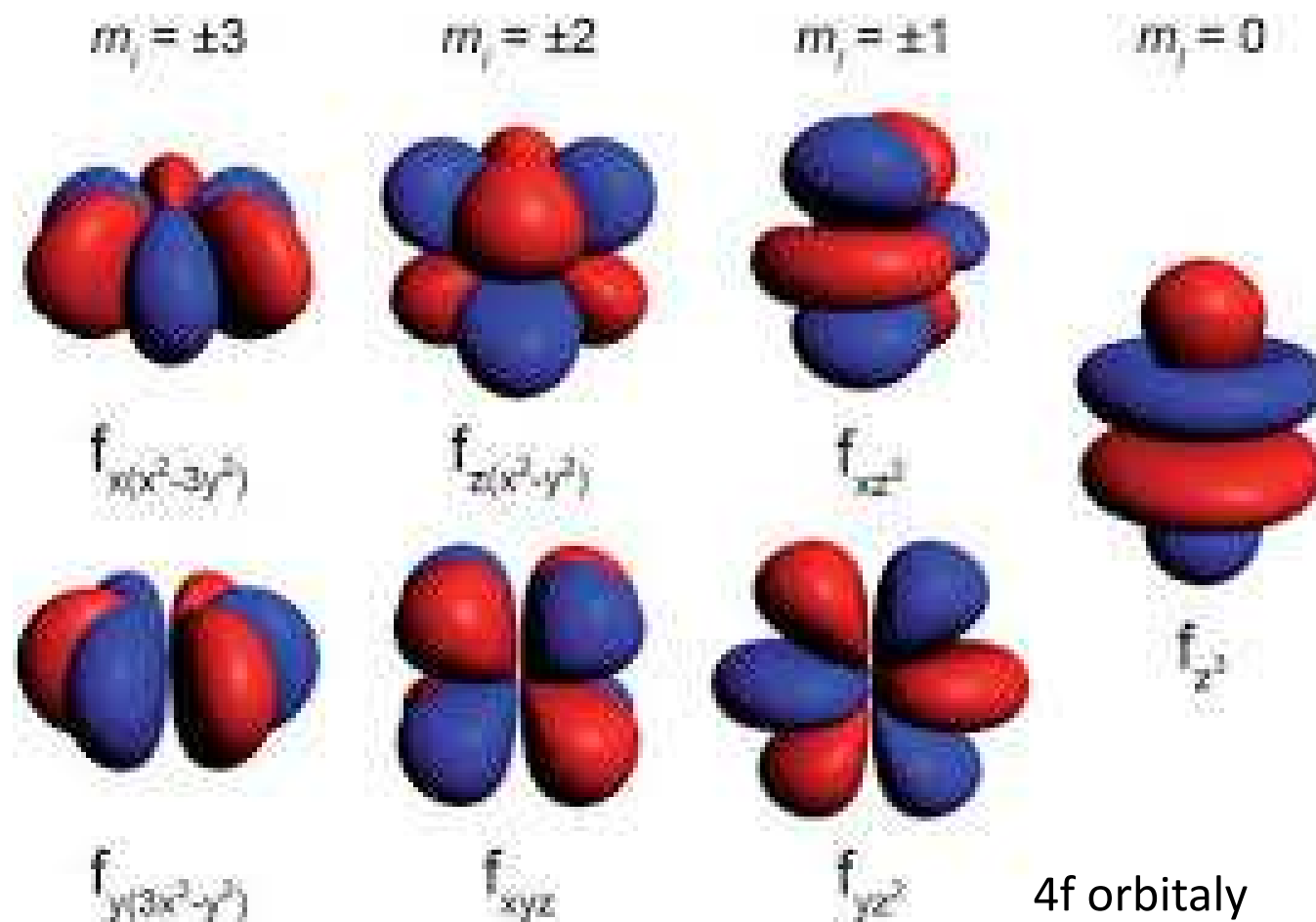
zjednodušené tvary mají 2  
nodální plochy  
vyznačování znaménka vlnové  
funkce



# f – orbitaly ( $l = 3$ )

$m_l = -3, -2, -1, 0, +1, +2, +3 \rightarrow$  funkce  $\psi$  7x degenerována

větší počet „laloků“ a 3 nodální plochy



4f orbitaly



	$s (\ell = 0)$	$p (\ell = 1)$			$d (\ell = 2)$					$f (\ell = 3)$						
	$m = 0$	$m = 0$	$m = \pm 1$		$m = 0$	$m = \pm 1$		$m = \pm 2$		$m = 0$	$m = \pm 1$		$m = \pm 2$		$m = \pm 3$	
	$s$	$p_z$	$p_x$	$p_y$	$d_{z^2}$	$d_{xz}$	$d_{yz}$	$d_{xy}$	$d_{x^2-y^2}$	$f_{z^3}$	$f_{xz^2}$	$f_{yz^2}$	$f_{xyz}$	$f_{z(x^2-y^2)}$	$f_{x(x^2-3y^2)}$	$f_{y(3x^2-y^2)}$
$n = 1$																
$n = 2$																
$n = 3$																
$n = 4$																
$n = 5$										...	...	...	...	...	...	...
$n = 6$					...	...	...	...	...	...	...	...	...	...	...	...
$n = 7$		...	...	...	...	...	...	...	...	...	...	...	...	...	...	...

<https://winter.group.shef.ac.uk/orbitron/index.html>

# Stínění elektronů a efektivní náboj jádra

**Elektrony jsou přitahovány k jádru ale také se navzájem odpuzují.**

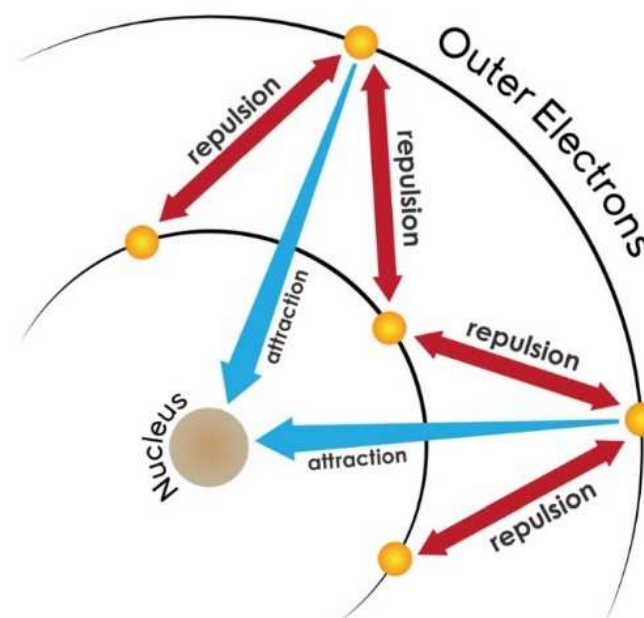
Repulzní síly způsobené dalšími elektrony stíní přitažlivý účinek atomového jádra. Jádro nepůsobí na daný elektron celým svým nábojem ( $Z$ ), ale tzv. **efektivním nábojem jádra** ( $Z_{\text{eff}}$ ). Též elektron nepůsobí na jádro atomu celým nábojem (opět důsledek odstínění ostatními elektrony)

**Stínění** (shielding effect) popisuje rovnováhu mezi přitažlivým působením protonů v jádře na valenční elektrony a odpudivých sil mezi elektrony. Elektrony ve vnitřních slupkách atomu stíní vnější elektrony od přitažlivých sil jádra. Jádro tak méně přitahuje vnější elektrony.

**Efektivní náboj jádra:**

$$Z_{\text{eff}} = Z - \sigma \quad 0 < \sigma < 1$$

$Z$  – počet protonů (atomové číslo)  
 $\sigma$  – počet elektronů mezi jádrem a příslušným elektronem (nevalenční elektrony)

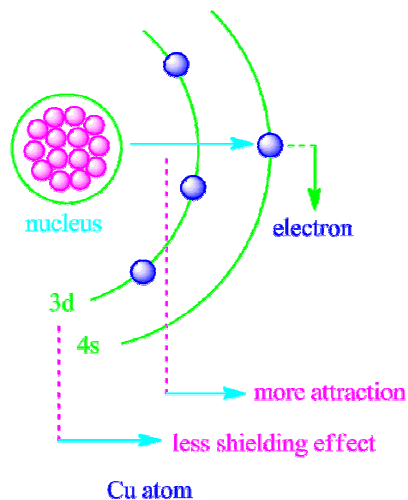


# Penetrace

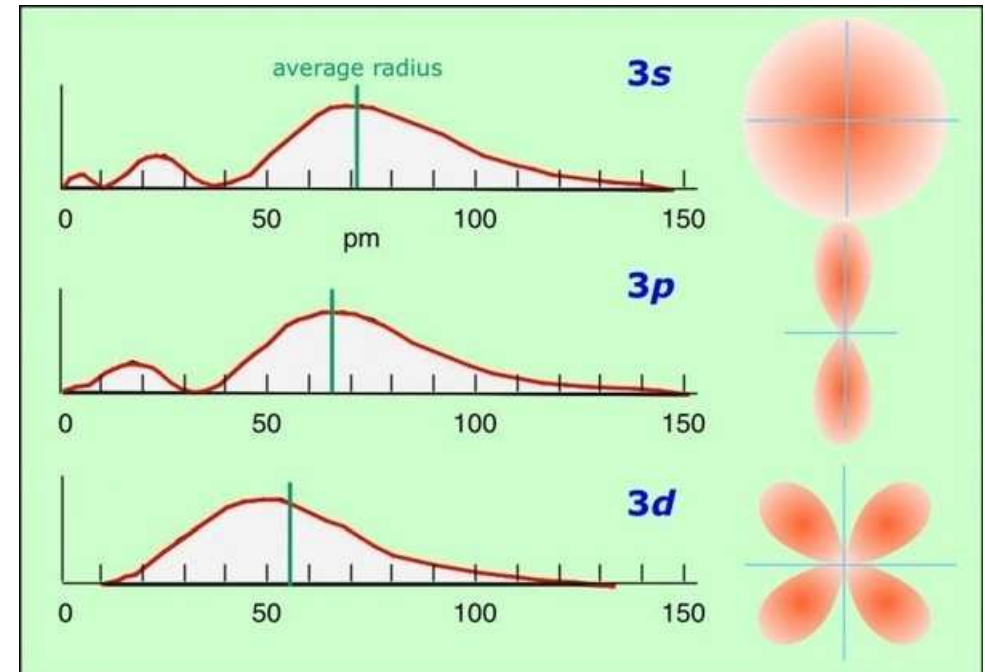
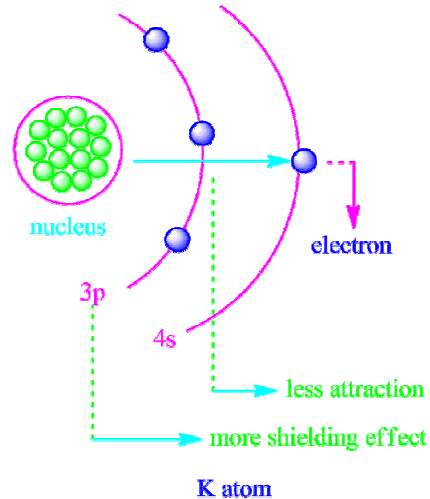
Elektron v  $s$  orbitalu má konečnou, třebaže velmi malou, pravděpodobnost že se bude vyskytovat v těsné blízkosti jádra. V případě orbitalů téže slupky lze říci, že  $s$  orbital je více **penetrující** než příslušné  $p$  nebo  $d$  orbitaly, což znamená, že elektron v  $s$  orbitalu má větší pravděpodobnost že se bude vyskytovat v blízkosti jádra než elektrony  $p$  nebo  $d$  orbitalů. Tudíž elektrony  $s$  orbitalu mají větší stínící efekt než elektrony v  $p$  nebo  $d$  orbitalu téže slupky. Protože jsou vysoce penetrující, elektrony v  $s$  orbitalech jsou méně efektivně stíněny elektrony z ostatních orbitalů.

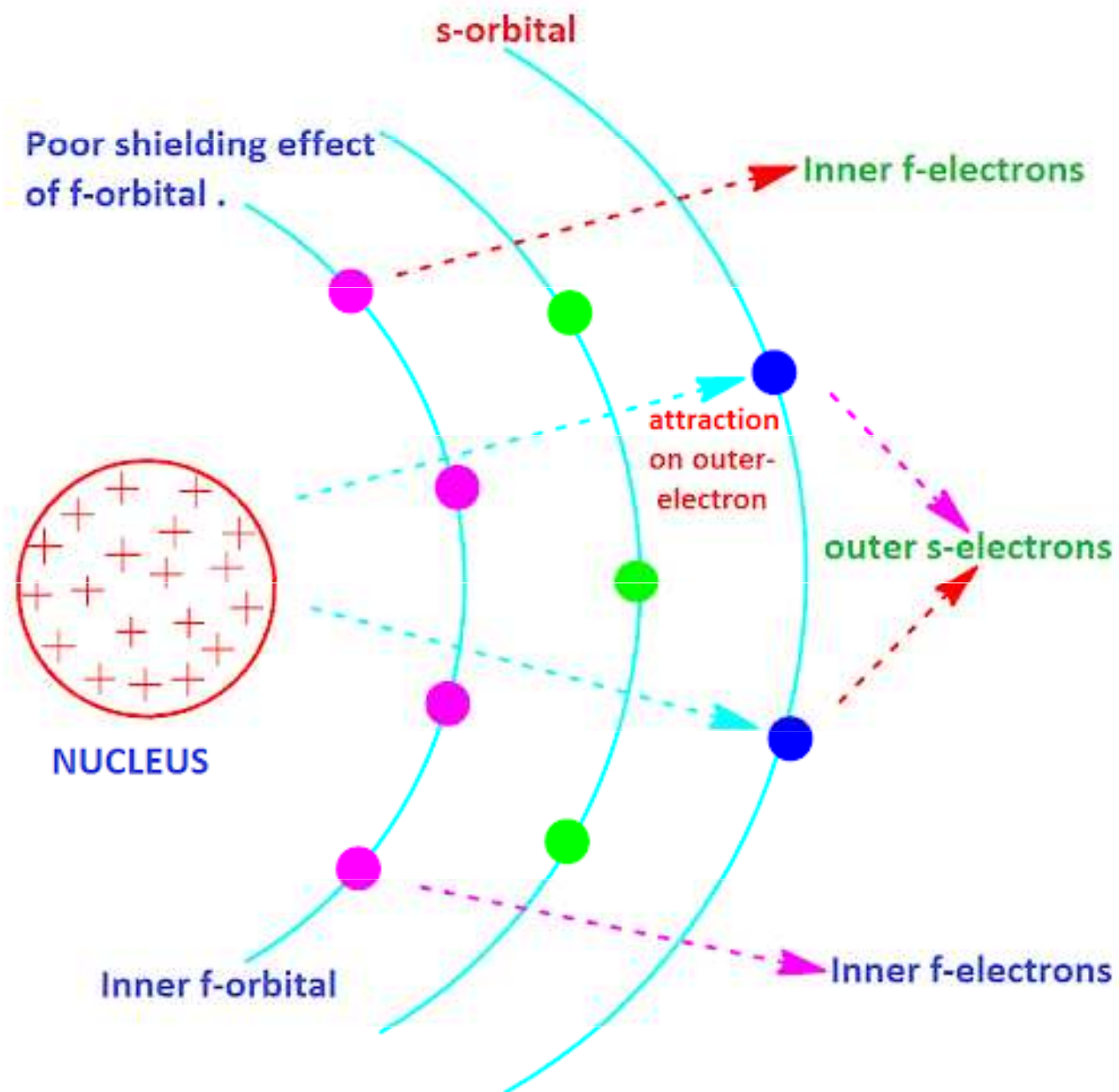
To znamená, že pro elektrony v určité slupce bude  $Z_{\text{eff}}$  větší pro  $s$  elektrony než pro  $p$  elektrony. Podobně je  $Z_{\text{eff}}$  větší pro  $p$  elektrony než pro  $d$  elektrony. V důsledku toho pro danou slupku ( $n$ ) má  $s$  podslupka nižší energii než  $p$  podslupka a ta zase nižší než  $d$  podslupka => **výstavbový princip**.

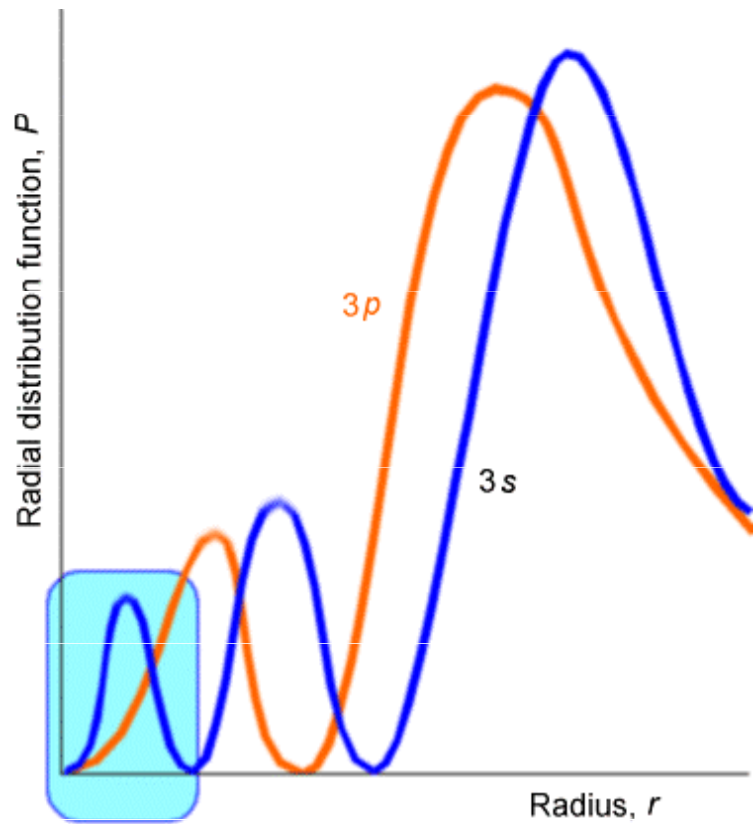
The outer electronic configuration of Cu atom,  $3d^{10}4s^1$



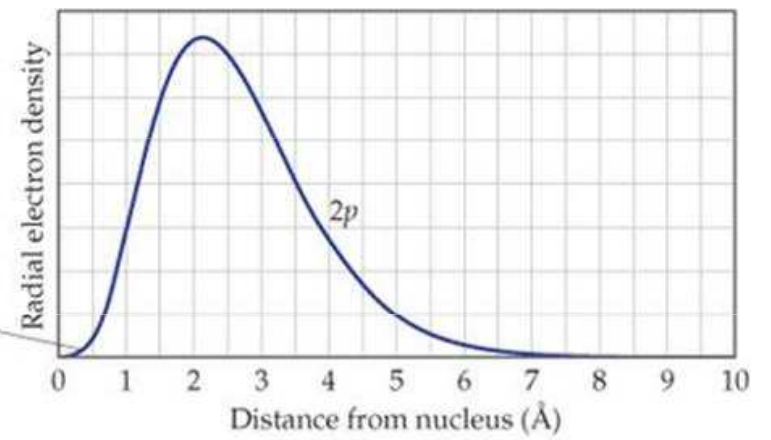
The outer electronic configuration of K atom,  $3p^64s^1$



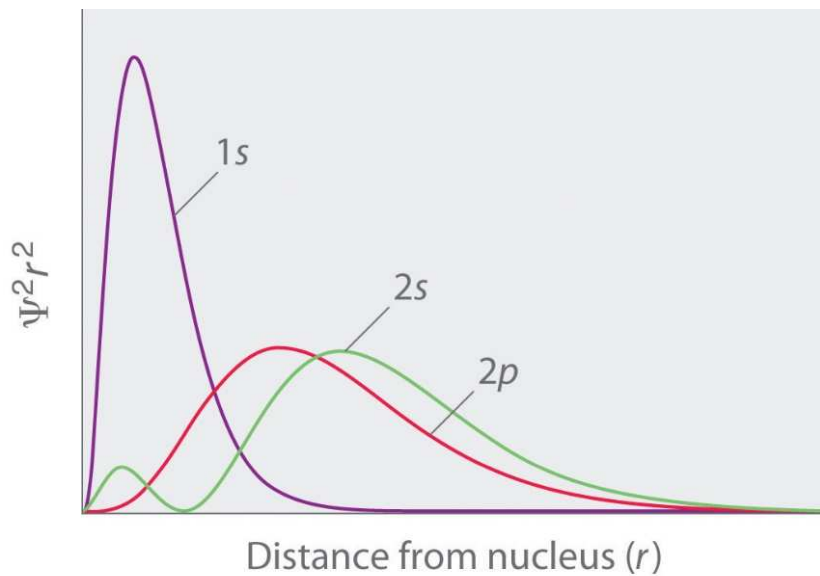
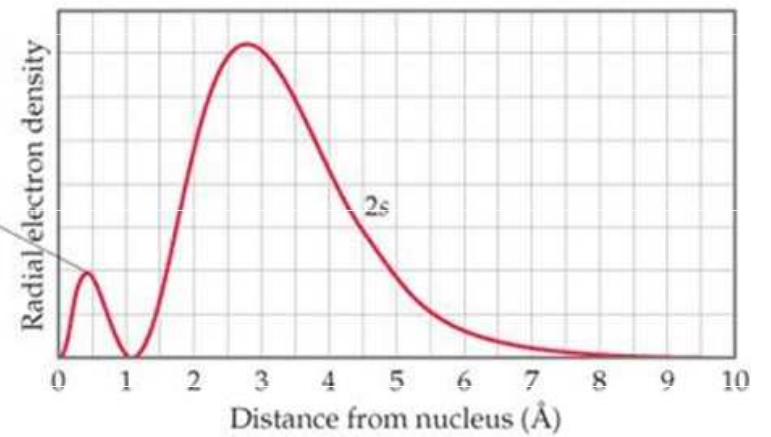




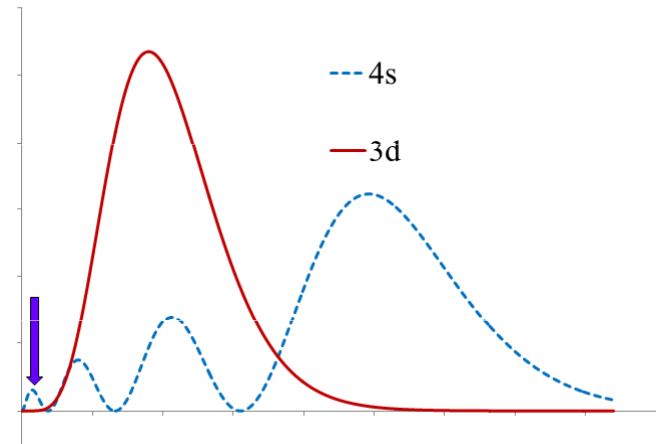
No peak here tells you  $2p$  electron stays far from the nucleus



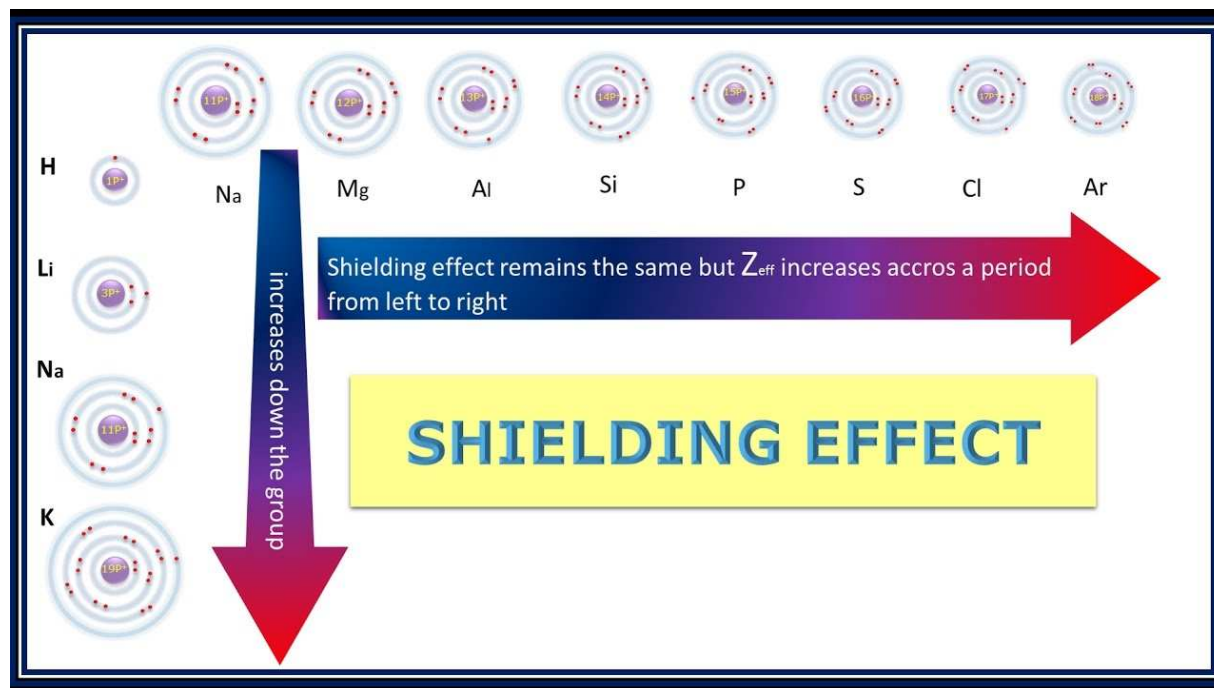
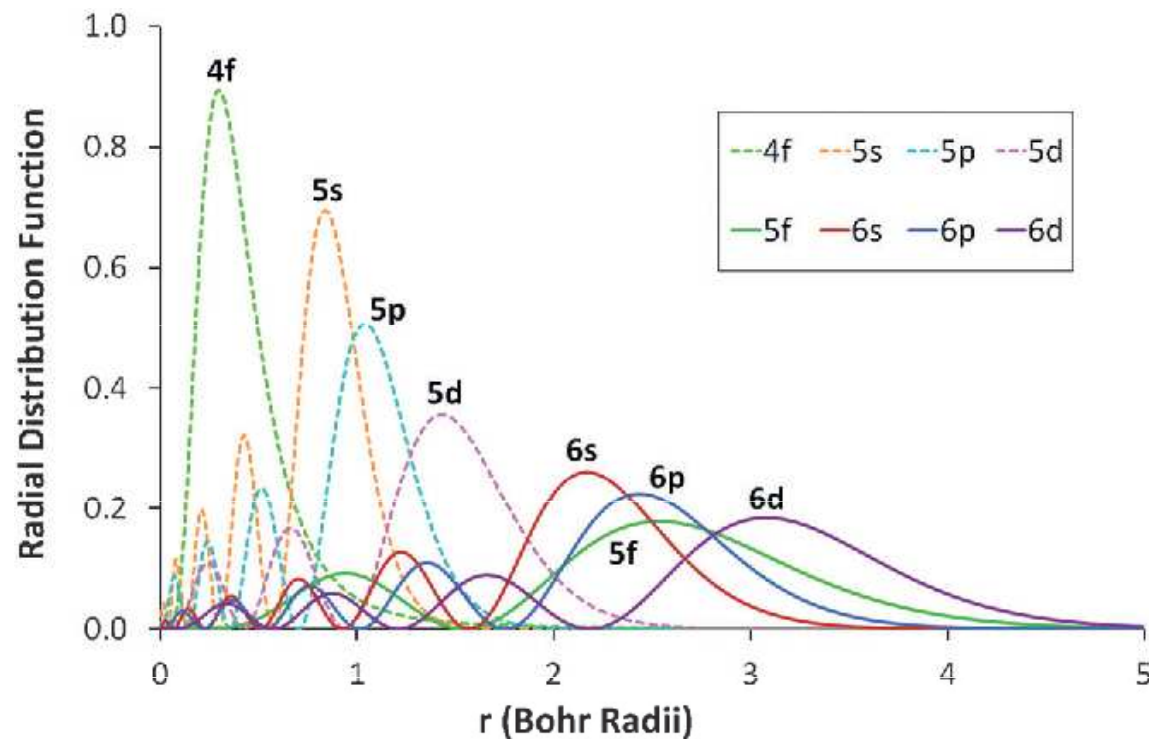
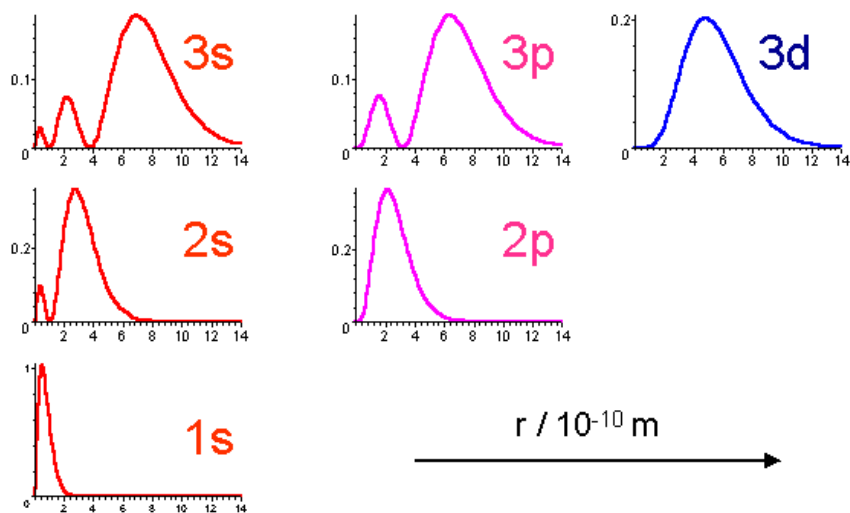
This peak tells you the  $2s$  electron spends some time close to nucleus

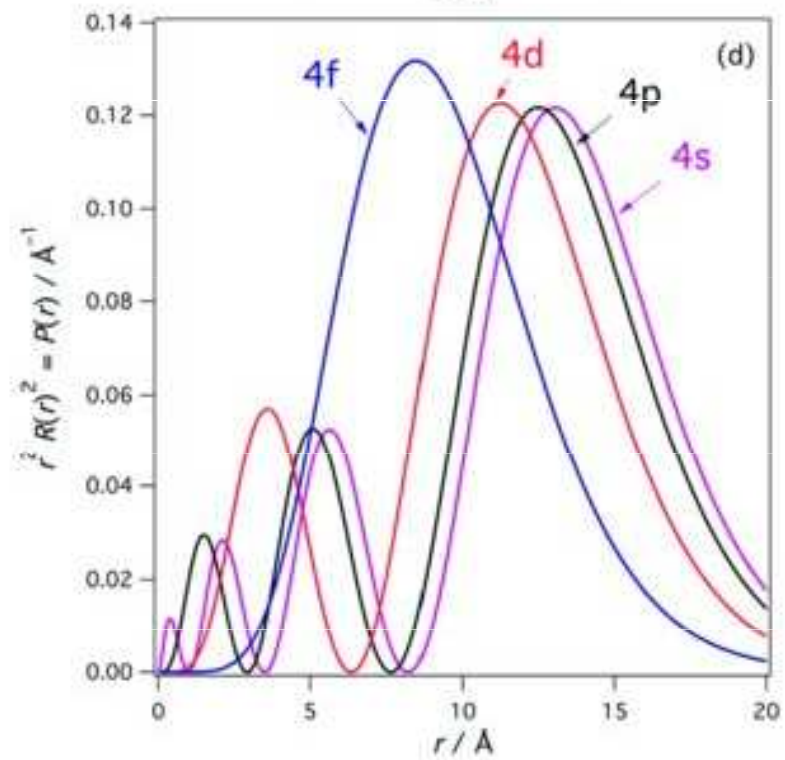
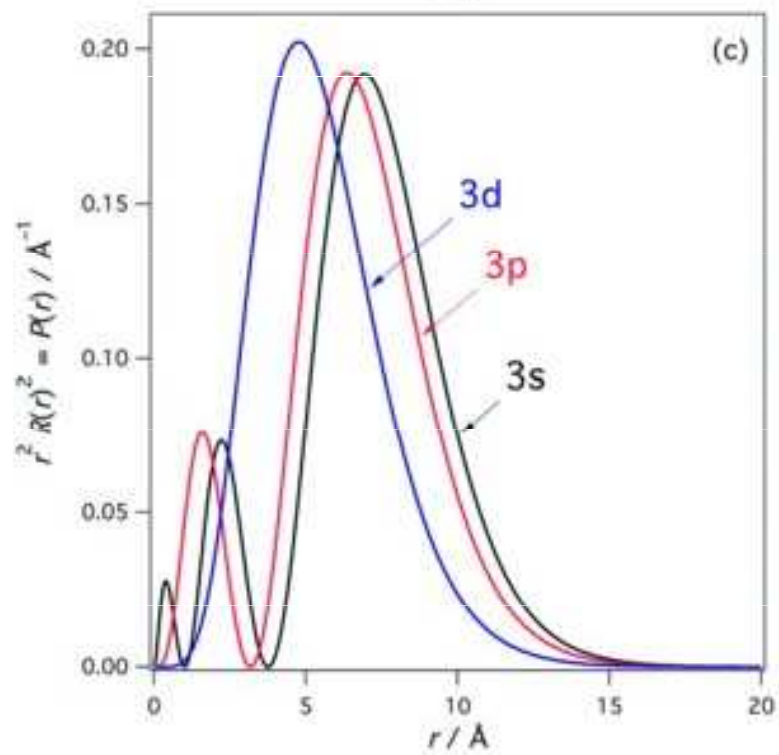
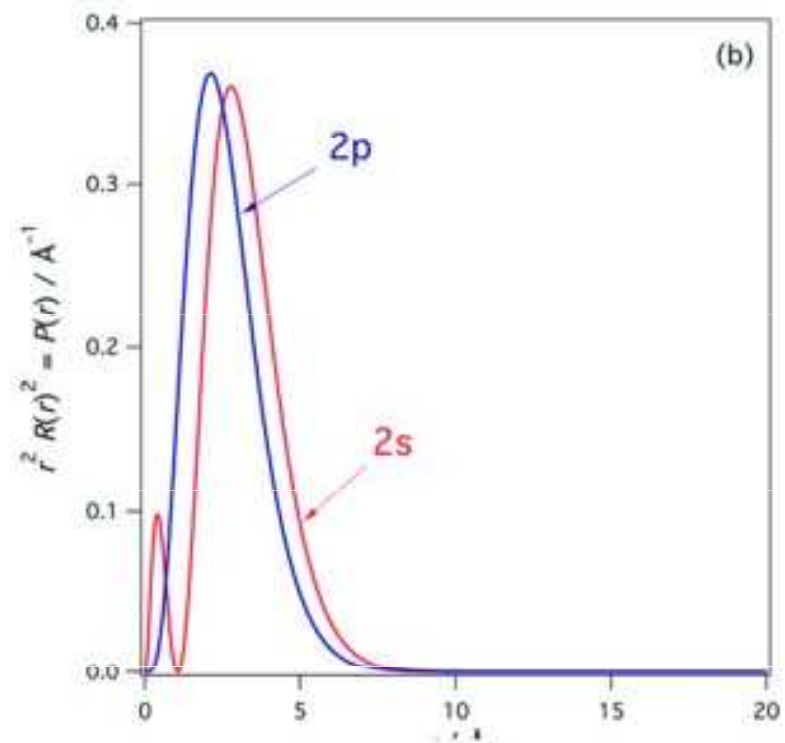
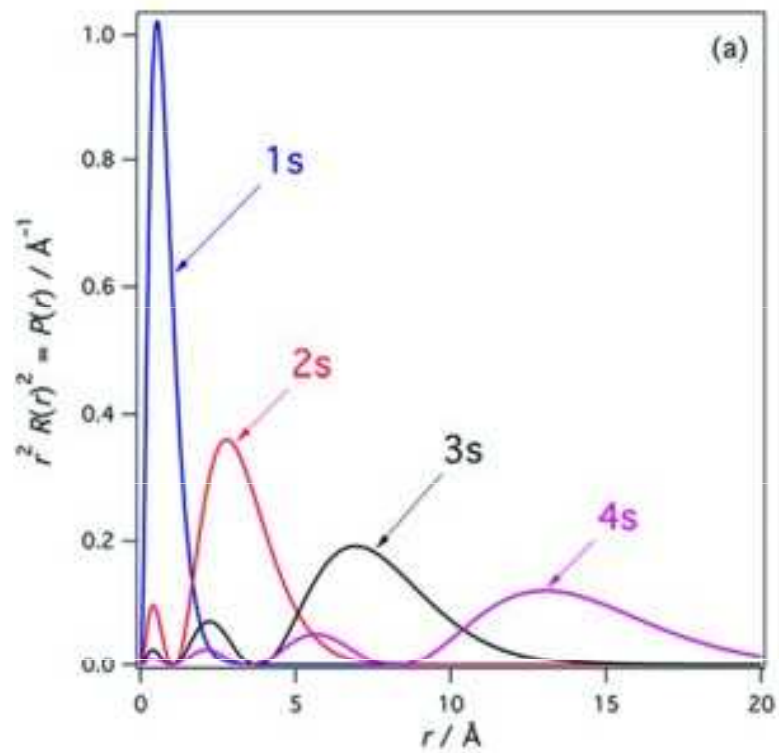


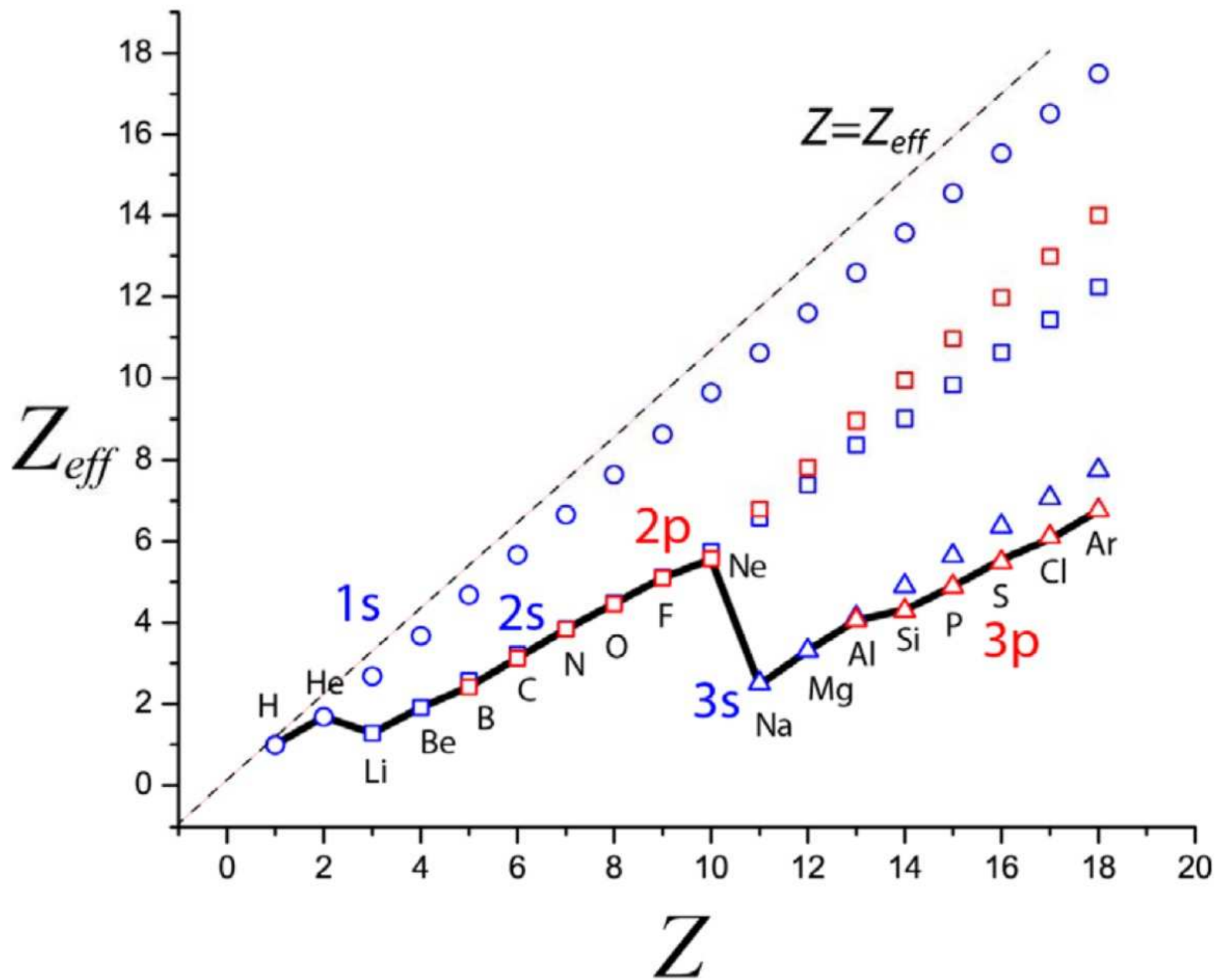
$P(r)$  **3d vs 4s**



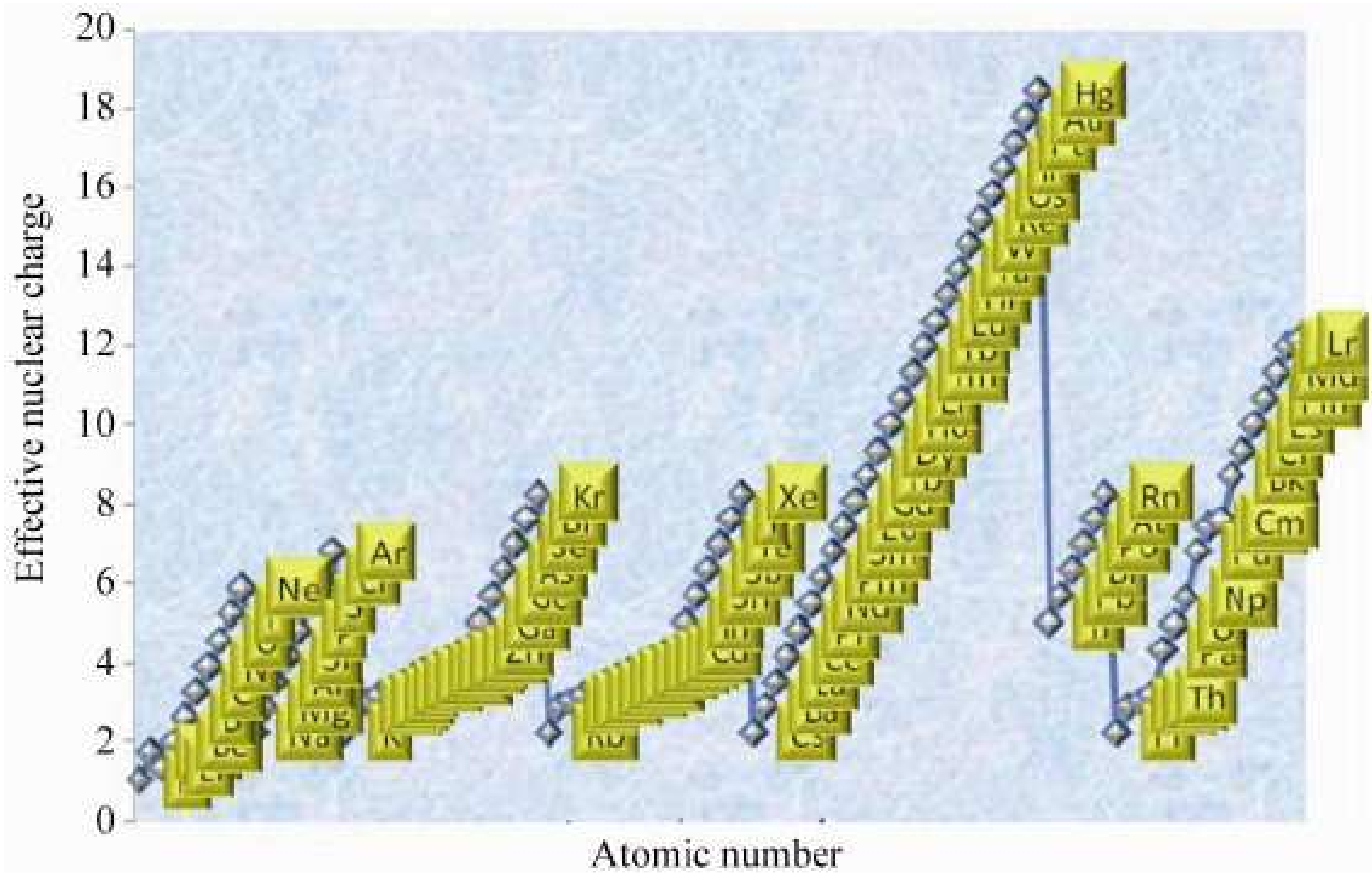
Electron density in atomic hydrogen  $w(r) = r^2 [R_{nl}(r)]^2$







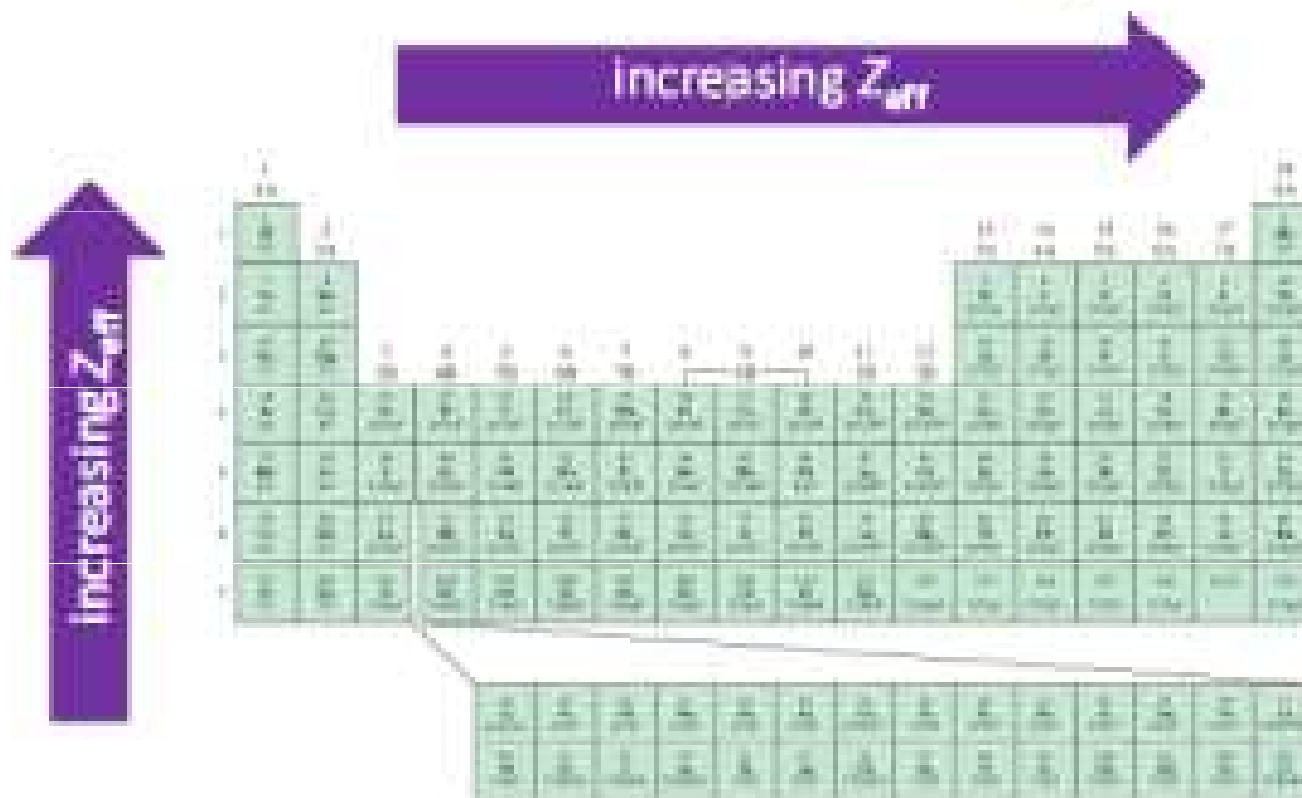




		H		He																	
		1		2																	
		1.0		1.7																	
		1.0		1.69																	
1	2											13	14	15	16	17	18				
Li	Be											B	C	N	O	F	Ne				
3	4											5	6	7	8	9	10				
1.30	1.95											2.60	3.25	3.90	4.55	5.20	5.85				
1.28	1.91											2.42	3.14	3.83	4.45	5.10	5.76				
Na	Mg											Al	Si	P	S	Cl	Ar				
11	12											13	14	15	16	17	18				
2.20	2.85											3.50	4.15	4.80	5.45	6.10	6.75				
2.51	3.31	3	4	5	6	7	8	9	10	11	12	4.07	4.29	4.89	5.48	6.12	6.76				
K	Ca	Sc	Ti	V	Cr	Mn	Fe	Co	Ni	Cu	Zn	Ga	Ge	As	Se	Br	Kr				
19	20	21	22	23	24	25	26	27	28	29	30	31	32	33	34	35	36				
2.20	2.85	3.00	3.15	3.30	2.95	3.60	3.75	3.90	4.05	3.70	4.35	5.00	5.65	6.30	6.95	7.60	8.25				
3.50	4.40	4.63	4.82	4.98	5.13	5.23	5.43	5.58	5.71	5.84	5.97	6.22	6.78	7.45	8.29	9.03	9.77				
Rb	Sr	Y	Zr	Nb	Mo	Tc	Ru	Rh	Pd	Ag	Cd	In	Sn	Sb	Te	I	Xe				
37	38	39	40	41	42	43	44	45	46	47	48	49	50	51	52	53	54				
2.20	2.85	3.00	3.15	2.80	2.95	3.60	3.25	3.40	6.85	3.70	4.35	5.00	5.65	6.30	6.95	7.60	8.25				
4.98	6.07	6.26	6.45	6.70	6.98	7.23	7.45	7.64	7.84	8.03	8.19	8.47	9.10	9.99	10.81	11.61	12.42				
Ce	Ba	Lu	Hf	Ta	W	Re	Os	Ir	Pt	Au	Hg	Tl	Pb	Bi	Po	At	Rn				
55	56	71	72	73	74	75	76	77	78	79	80	81	82	83	84	85	86				
2.20	2.85	3.00	3.15	3.30	3.45	3.60	3.75	3.90	3.55	3.70	4.35	5.00	5.65	6.30	6.95	7.60	8.25				
6.36	7.58	8.80	9.16	9.53	9.85	10.12	10.32	10.57	10.75	10.94	11.15	12.25	12.39	13.34	14.22	15.16	16.08				

Symbol  
Atomic Number  
 $Z_{\text{eff}}$  (Slater)  
 $Z_{\text{eff}}$  (Clementi)

# Effective Nuclear Charge ( $Z_{\text{eff}}$ )



Na < Mg < Al < Si  
186 pm      160      143      132

**Příklad:** Jaké jsou efektivní náboje jádra atomu neonu (Ne), sodného kationtu ( $\text{Na}^+$ ) a fluoridového aniontu ( $\text{F}^-$ ) ?

**Řešení:**

**Neon:** protonové číslo neonu je 10, elektronová konfigurace je  $1s^2 2s^2 2p^6$ . Odtud:

$$Z_{\text{eff}}(\text{Ne}) = 10 - 2 = 8+$$

**Fluorid:** protonové číslo fluoru je 9, F má 9 elektronů,  $\text{F}^-$  má o 1 elektron navíc, tedy 10. Elektronová konfigurace je stejná jako u neonu. Odtud:

$$Z_{\text{eff}}(\text{F}^-) = 9 - 2 = 7+$$

**Sodný kation:** protonové číslo sodíku je 11, Na má 11 elektronů,  $\text{Na}^+$  má o 1 elektron méně, tedy 10. Elektronová konfigurace je stejná jako u neonu. Odtud:

$$Z_{\text{eff}}(\text{Na}^+) = 11 - 2 = 9+$$

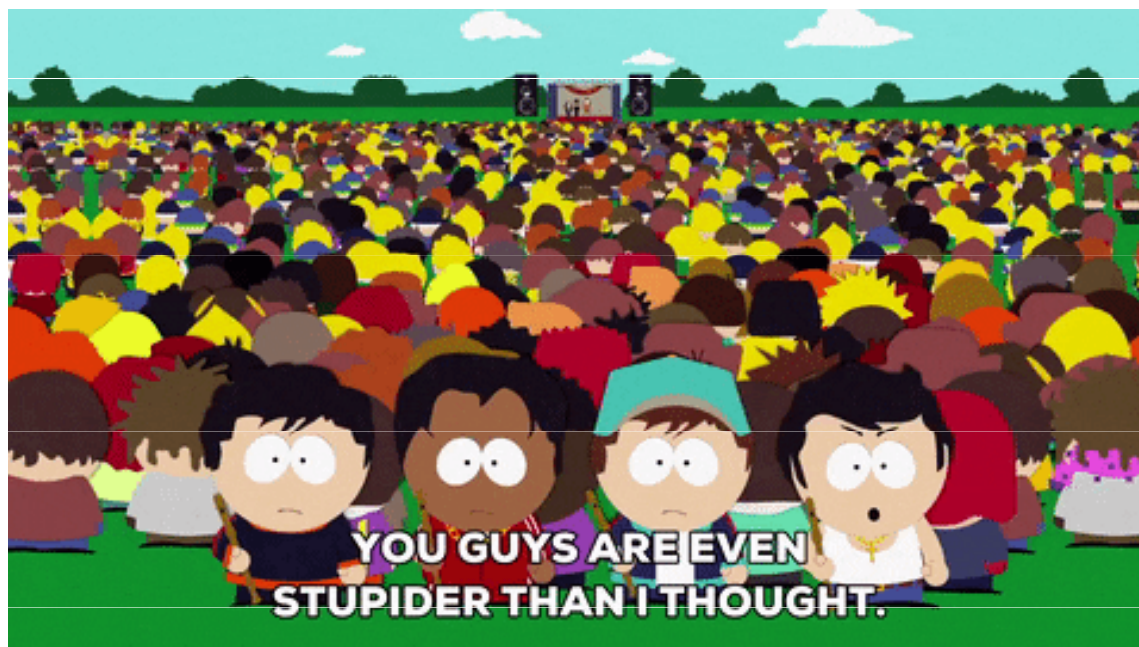
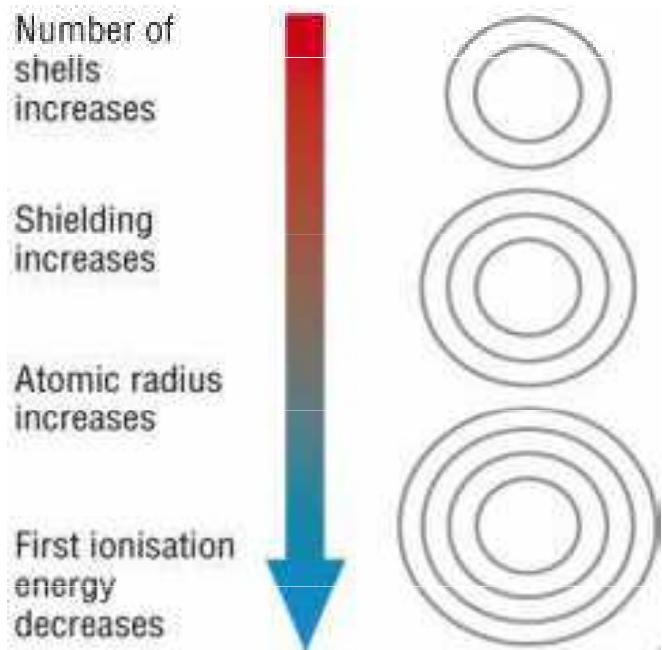
Ve všech případech (Ne,  $\text{F}^-$ ,  $\text{Na}^+$ ) mají atomy stejný počet 10 elektronů, ale efektivní náboj jádra se liší v důsledku různé hodnoty protonového čísla. Sodný kation má největší efektivní náboj jádra, elektrony jsou přitahovány silněji a proto má  $\text{Na}^+$  nejmenší atomový poloměr.

<http://www.chembio.uoguelph.ca/educmat/atomdata/shield/shield.htm>

# Důsledky stínění elektronů

Efekt **stínění** vysvětluje

1. proč jsou valeční elektrony snadněji uvolňovány z atomu (ionizace).
2. velikost atomu: čím větší je stínění, tím více se valenční sféra může rozšiřovat a tím větší atom je.

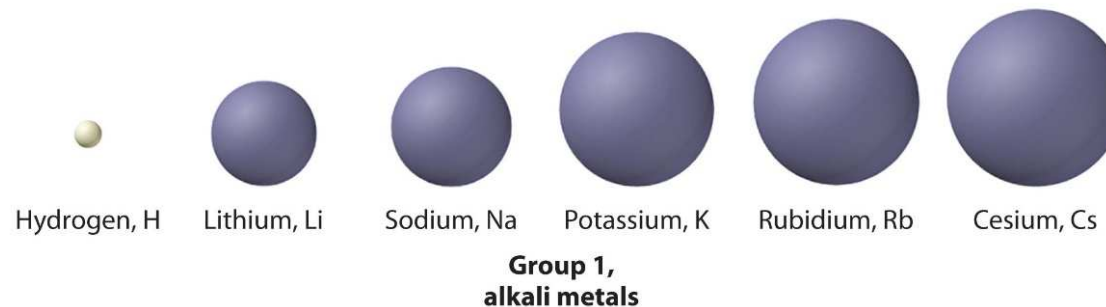


**Příklad:** Proč je atom cesia větší než atom sodíku?

**Řešení:**

Elektronová konfigurace **sodíku** je  $1s^22s^22p^63s^1$ . Vnější energetická slupka je  $n = 3$  a v ní je 1 valenční elektron. Přitažlivé síly mezi tímto valenčním elektronem a jádrem s 11 protony jsou stíněny ostatními 10 elektrony.

Elektronová konfigurace **cesia** je  $1s^22s^22p^63s^23p^64s^23d^{10}4p^65s^24d^{10}5p^66s^1$ . Jádro atomu cesia obsahuje více protonů a také více elektronů stínících vnější elektron. Vnější elektron,  $6s^1$ , je tudíž vázán velmi volně. V důsledku stínění tedy jádro méně ovlivňuje  $6s^1$  elektron než  $3s^1$  elektron, atom cesia bude proto větší než atom sodíku.



Alkali Metal	Atomic Radius	Ionic Radius
<i>Lithium</i>	152	68
<i>Sodium</i>	186	98
<i>Potassium</i>	227	133
<i>Rubidium</i>	248	148
<i>Cesium</i>	265	167

# Relativistické efekty

V atomech s větším množstvím protonů v jádře, existují mnohem větší přitažlivé síly a tudíž i rychlosti elektronů ( $v \approx Z/n$ ). V těchto případech již nelze zanedbat **relativistické efekty**. Elektrony s nižšími hlavními kvantovými čísly ( $n$ ) mají vyšší pravděpodobnost výskytu v blízkosti jádra a také vysokou rychlost elektronu v důsledku velkého kladného náboje jádra (vysoké  $Z$ ). Vysoká rychlost elektronu se projevuje zvýšenou relativistickou hmotností elektronu (díky přítomnosti Lorenzova faktoru), díky čemuž elektrony stráví v blízkosti jádra více času. To pro malá  $n$  vede ke kontrakci atomového poloměru.

$$m_{\text{rel}} = \frac{m_e}{\sqrt{1 - (v_e/c)^2}}$$

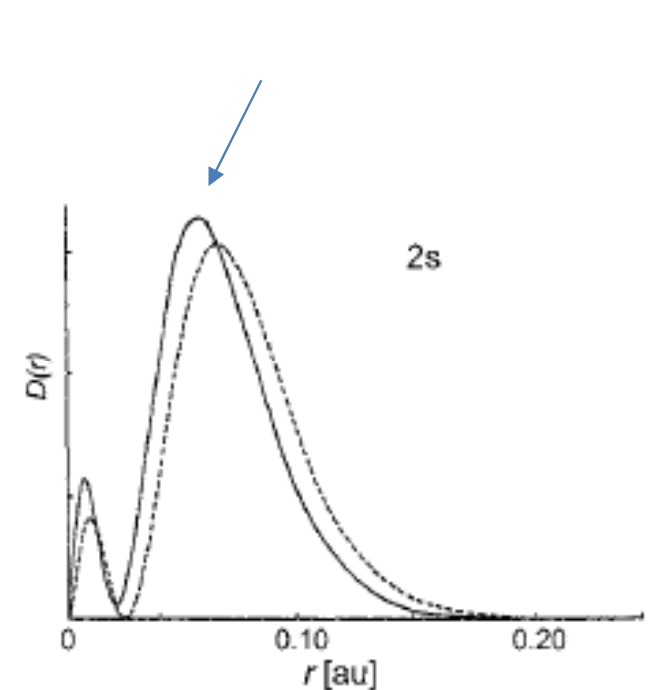
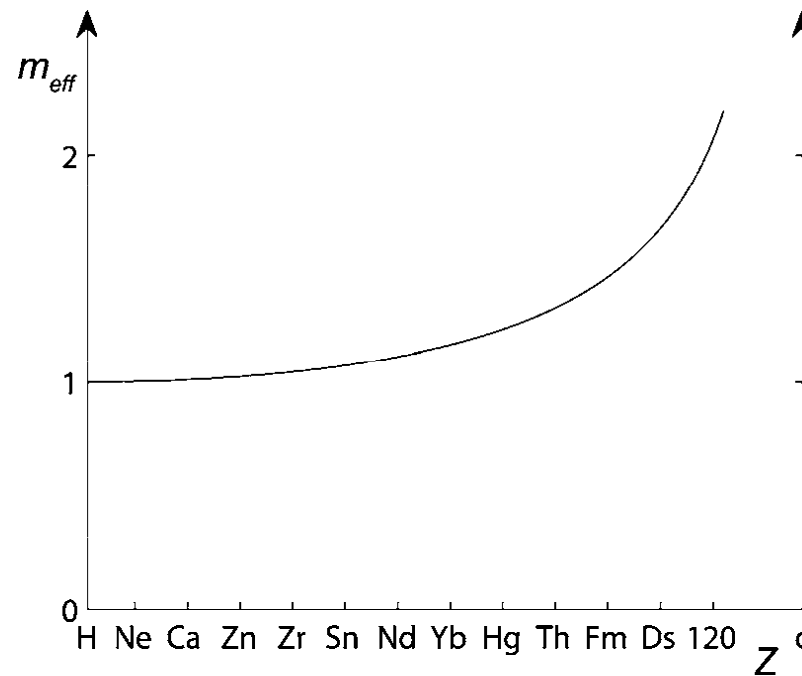
$$\frac{a_{\text{rel}}}{a_0} = \sqrt{1 - (v_e/c)^2}$$

$a_0$  = Bohr radius

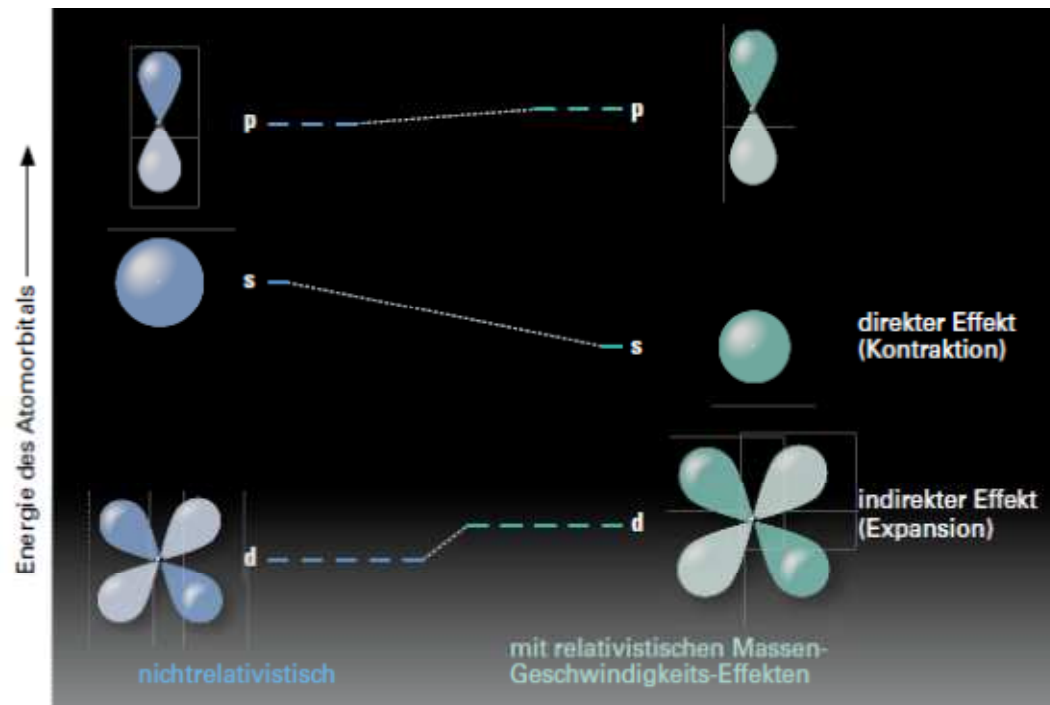
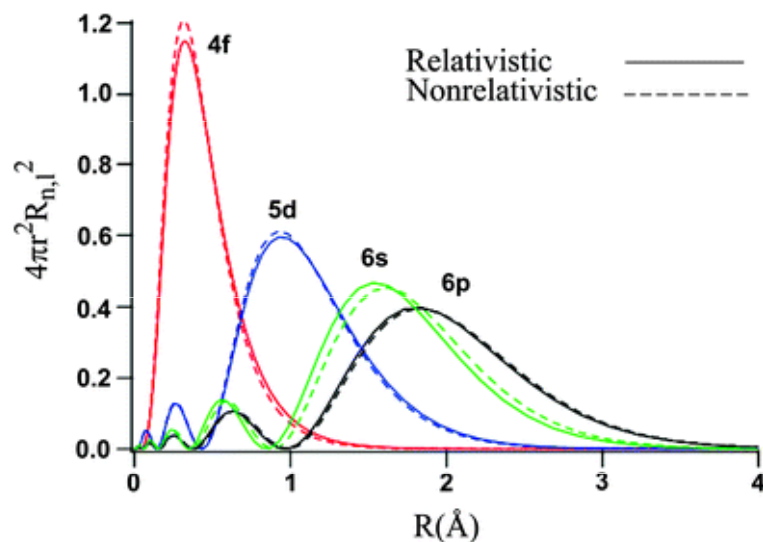
$$\frac{a_{\text{rel}}}{a_0} = \sqrt{1 - \left(\frac{Z}{nc}\right)^2}$$

$$\frac{a_{\text{rel}}}{a_0} < 1$$

pro malá  $n$  a velká  $Z$



# Relativistické efekty



**Přímým relativistickým efektem** je nejvíce ovlivněna vnitřní vrstva s. Ta se u těžkých prvků nachází mnohem blíže k jádru, než by mělo být v klasickém nerelativistickém pojetí a tím účinněji stíní jádro. Vnější vrstvy d a f se proto posunují do větší vzdálenosti (**nepřímý relativistický efekt**). Pokud jsou dále od jádra, jsou slaběji vázány a mnohem snáze se excitují nebo atom opouštějí. Vrstva p zůstává téměř beze změny, nachází se ve vzdálenosti, kde jsou relativistické efekty zhruba kompenzovány stíněním slupkou s.

Mnoho chemických a fyzikálních rozdílů mezi prvky 6. periody (Cs – Rn) a 5. periody (Rb – Xe) má původ ve výraznějších relativistických efektech. Relativistické efekty jsou výrazné především u Au a jeho sousedů (Pt a Hg).



## Efekt inertního páru

U Tl(I), Pb(II) a Bi(III) je přítomen elektronový pár  $6s^2$ . Tento „inertní pár“ odolává oxidaci díky relativistické kontraci  $6s$  orbitalu. Proto jsou Tl(I) stabilnější než Tl(III), Pb(II) než Pb(IV) a Bi(III) než Bi(V).

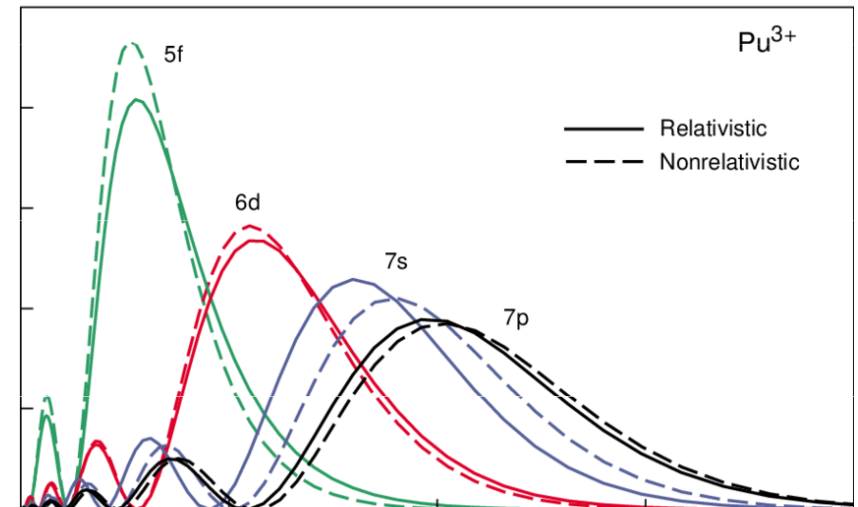
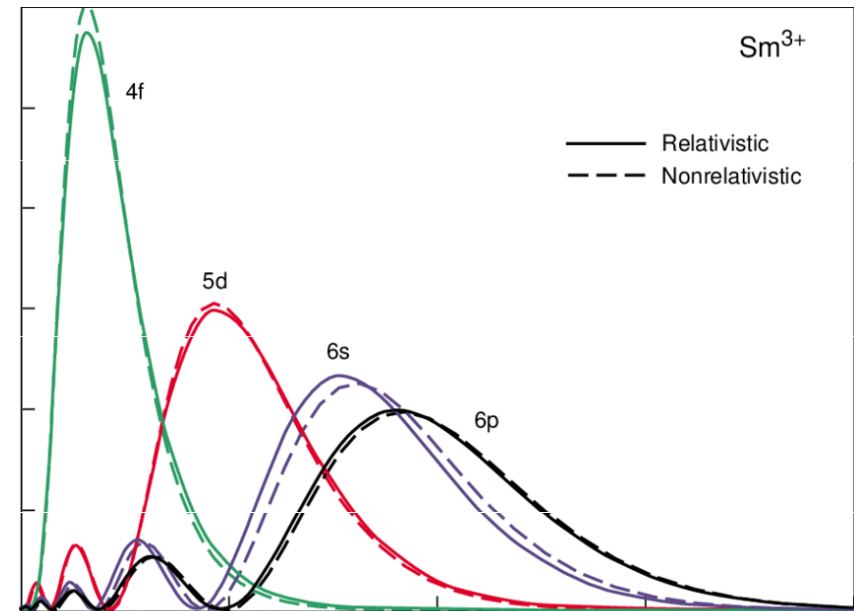
## Další jevy související s relativistickými efekty

**Stabilita aniontu zlata**  $Au^-$  v auridech (např. CsAu).

**Krystalová struktura olova** je krychlová plošně centrovaná, nikoliv diamantová (sfaleritová).

**Stabilita uranylového kationtu a stabilita vyšších oxidačních stavů** některých **aktinoidů** (Pa - Am).

**Menší atomové poloměry** francie (Fr) a radia (Ra) oproti předpokládaným.



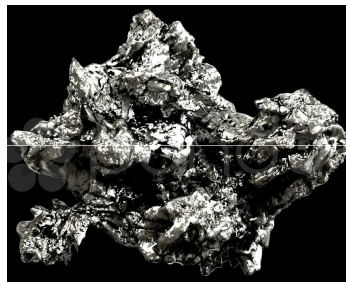
## **Barva zlata a cesia**

*Stříbro* (Ag) absorbuje při přechodu elektronu ze 4d orbitalu do 5s orbitalu UV záření a viditelné záření je odraženo. To se projevuje „stříbrným“ zbarvením stříbra.

*Zlato* (Au) by rovněž mělo absorbovat UV záření při přechodu elektronu z 5d orbitalu do 6s orbitalu. Díky kontrakci 6s orbitalu v důsledku relativistických efektů však přechod je přechod elektronu z 5d do 6s spojen s absorpcí modrého fotonu ve viditelné oblasti (má menší energii než foton UV). Odražené viditelného záření (žlutá-červená barva) dodává zlatu charakteristické zbarvení. Tento jev je patrný také v případě **cesia** (Cs), které má slabě nazlátlou barvu.

## **Bod tání rtuti a wolframu**

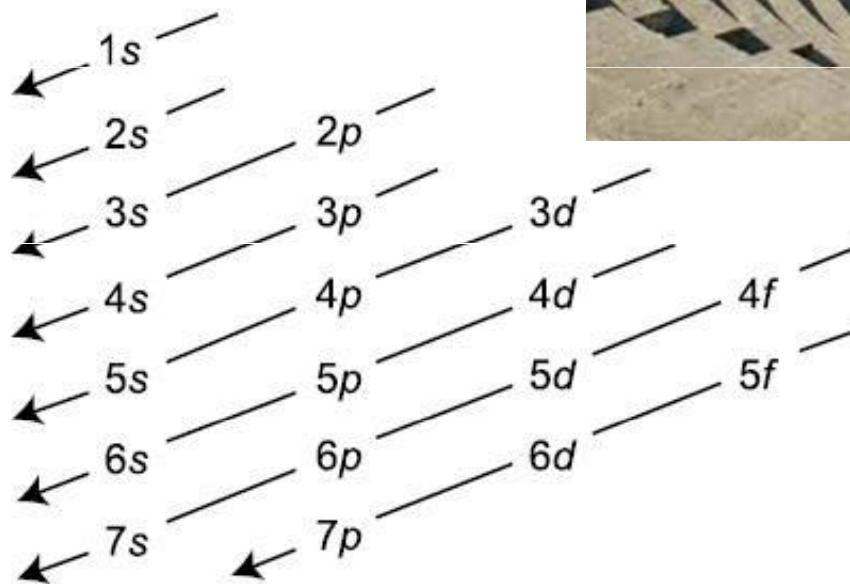
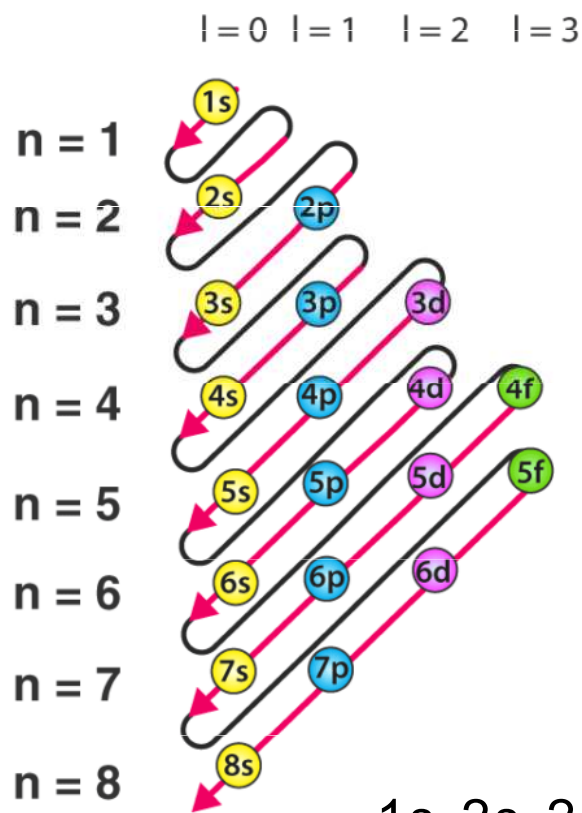
V případě *rtuti* (Hg) je orbital 6s se dvěma elektrony deformovaný vlivem relativistické kontrakce, zatímco orbital p zůstává na svém místě. Tyto dva orbitaly se podílejí na vazbách kovové mřížky, které jsou tím silnější, čím více se tyto orbitaly překrývají. U rtuti je již jejich vzájemná vzdálenost příliš velká, atomy jsou vzájemně vázány pouze van der Waalovými silami a proto je rtuť kapalná i při teplotách hluboko pod bodem mrazu. U *wolframu* (W) stejný efekt naopak způsobuje zvýšenou tvrdost a odolnost vůči vysokým teplotám (např. proto se wolframové vlákno v žárovce neodpaří). Zde se na vazbách podílejí slupky *d*, které se díky nepřímým relativistickým jevům roztahují a mohou se tak lépe překrývat.



# Výstavbový (Aufbau) princip

postupné zaplňování AO podle rostoucí energie + Pauliho princip (= 2 elektrony se nemohou vyskytovat v tomtéž kvantovém stavu)

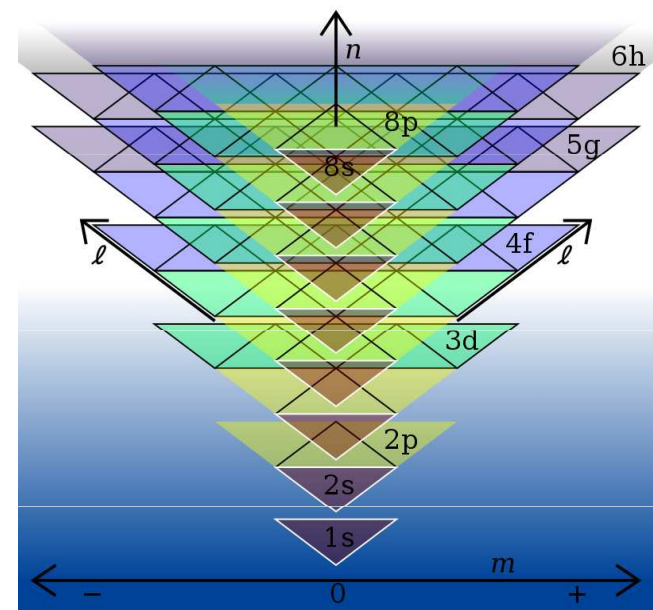
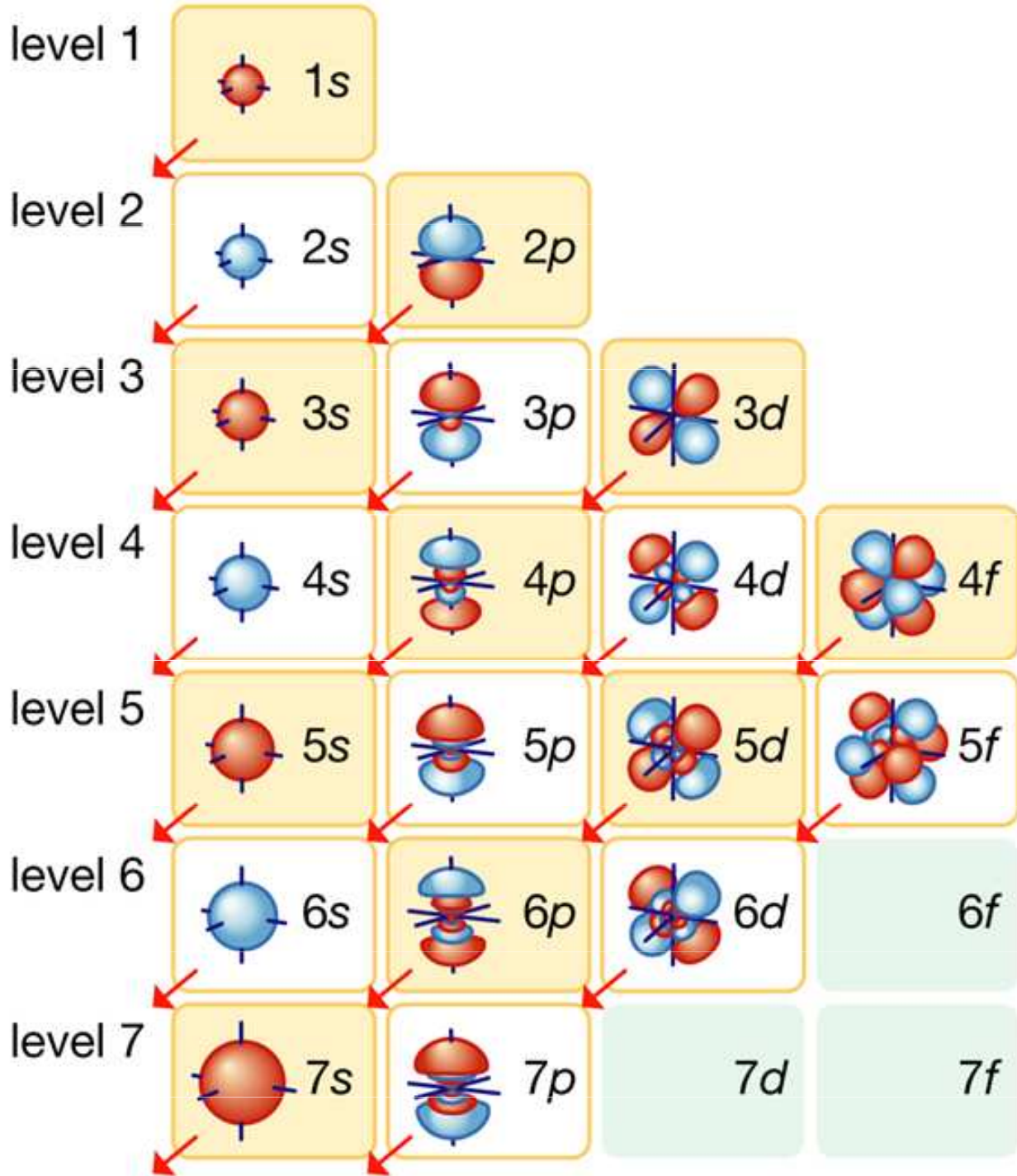
Energetické pořadí AO (diagonální pravidlo):



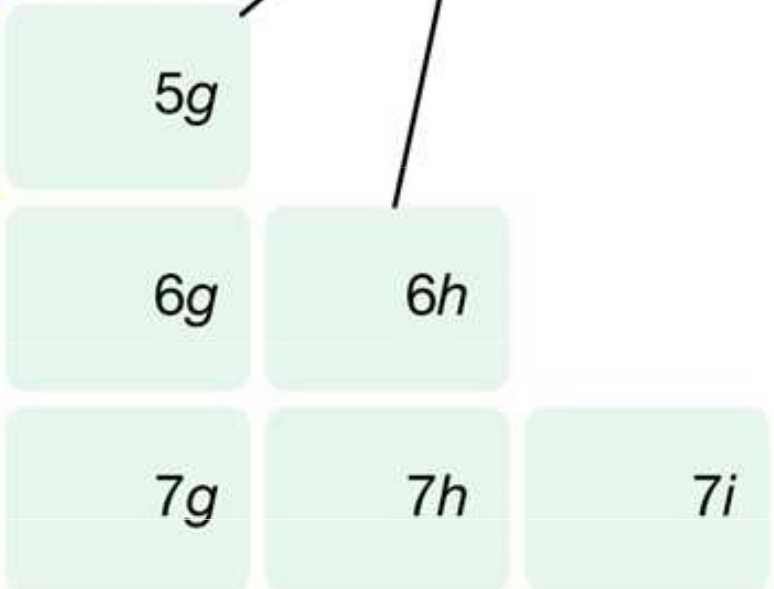
výsledné pořadí AO:

1s, 2s, 2p, 3s, 3p, 4s, 3d, 4p, 5s, 4d, 5p, 6s, 4f...





not occupied by any ground-state electrons

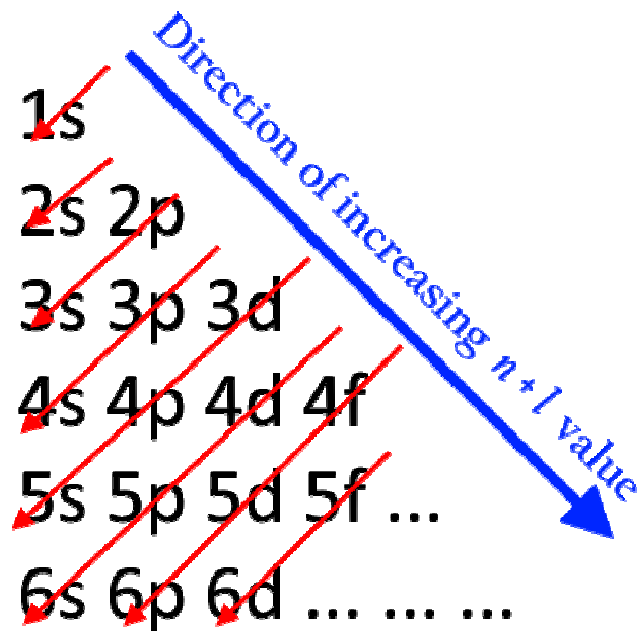


## Madelungovo – Klechkowskiho pravidlo (pravidlo $n + l$ )

1. přednostně se obsadí orbital, u něhož je součet  $n + l$  menší
2. z orbitalů se stejným součtem  $n + l$ , se jako první zaplní ten, jehož hlavní kvantové číslo  $n$  je menší.

Orbitaly se zaplňují v následujícím pořadí: 1s, 2s, 2p, 3s, 3p, 4s, 3d, 4p, 5s, 4d, 5p, 6s, 4f, 5d, 6p, 7s, 5f, 6d, 7p

Orbital	Value of $n$	Value of $l$	Value of $(n + l)$	
1s	1	0	$1 + 0 = 1$	
2s	2	0	$2 + 0 = 2$	
2p	2	1	$2 + 1 = 3$	2p ( $n = 2$ ) has lower energy than
3s	3	0	$3 + 0 = 3$	3s ( $n = 3$ )
3p	3	1	$3 + 1 = 4$	3p ( $n = 3$ ) has lower energy than
4s	4	0	$4 + 0 = 4$	4s ( $n = 4$ )
3d	3	2	$3 + 2 = 5$	3d ( $n = 3$ ) has lower energy than
4p	4	1	$4 + 1 = 5$	4p ( $n = 4$ ).



## Wiswesserova metoda

= určení energetické sekvence atomových podslupek ( $n, \ell$ ) podle rovnice

$$W(n, \ell) = n + \ell - \frac{\ell}{\ell + 1}$$

Orbitaly se zaplňují v následujícím pořadí:

1s, 2s, 2p, 3s, 3p, 4s, 3d, 4p, 5s, 4d, 5p, 6s, 4f, 5d, 6p, 7s, 5f, 6d, 7p...

<b>pořadí</b>	<b>orbital</b>	<b>n</b>	<b>ℓ</b>	<b>n + ℓ</b>	<b>W ( n , ℓ )</b>
1	1s	1	0	1	1
2	2s	2	0	2	2
3	2p	2	1	3	2.5
4	3s	3	0	3	3
5	3p	3	1	4	3.5
6	4s	4	0	4	4
7	3d	3	2	5	4.33
8	4p	4	1	5	4.5
9	5s	5	0	5	5
10	4d	4	2	6	5.33
11	5p	5	1	6	5.5
12	6s	6	0	6	6
13	4f	4	3	7	6.25
14	5d	5	2	7	6.33
15	6p	6	1	7	6.5
16	7s	7	0	7	7
17	5f	5	3	8	7.25
18	6d	6	2	8	7.33
19	7p	7	1	8	7.5

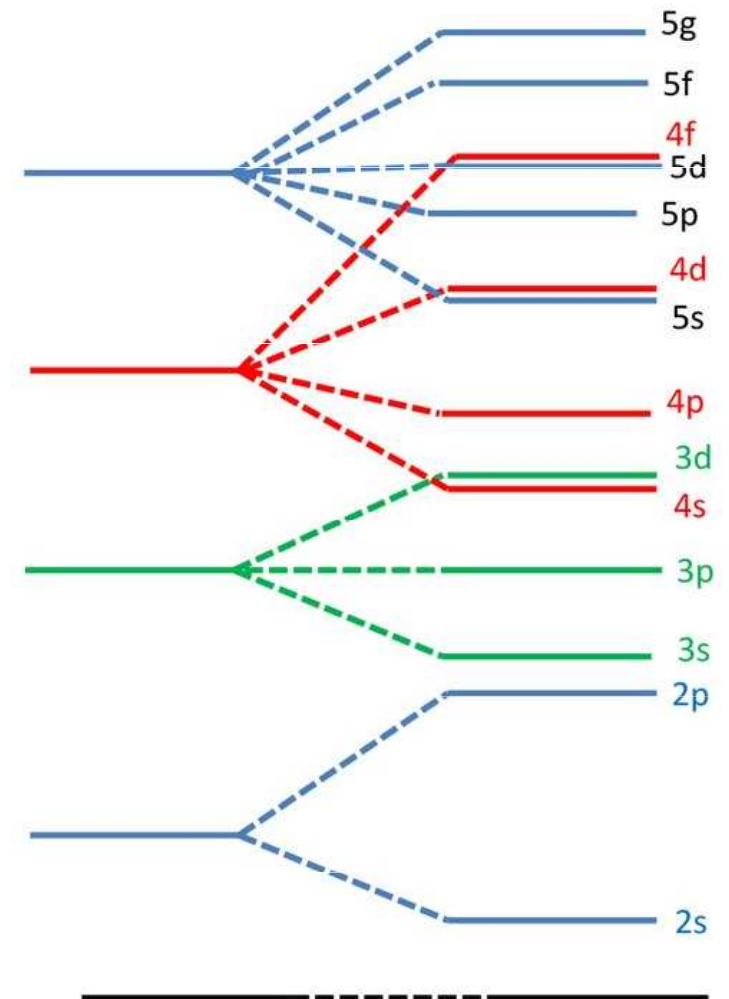
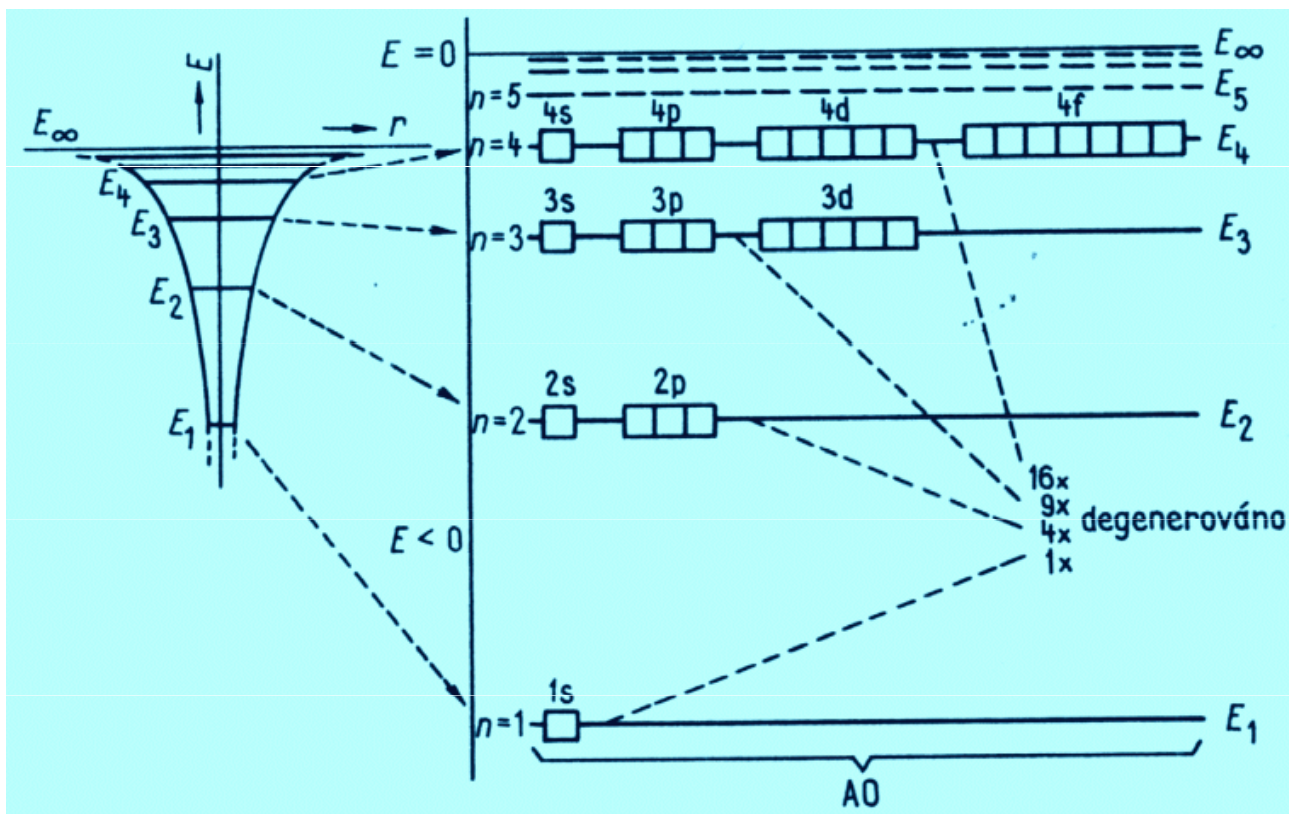
# Energie atomových orbitalů

- potenciálová jáma

$E \geq 0$  kontinuum

$E < 0$  vlastní hod.  $E \rightarrow$  kvantovány el. zachycen v potenciálové jámě  
(pro přechod na  $E = 0 \rightarrow$  nutno dodat energii)

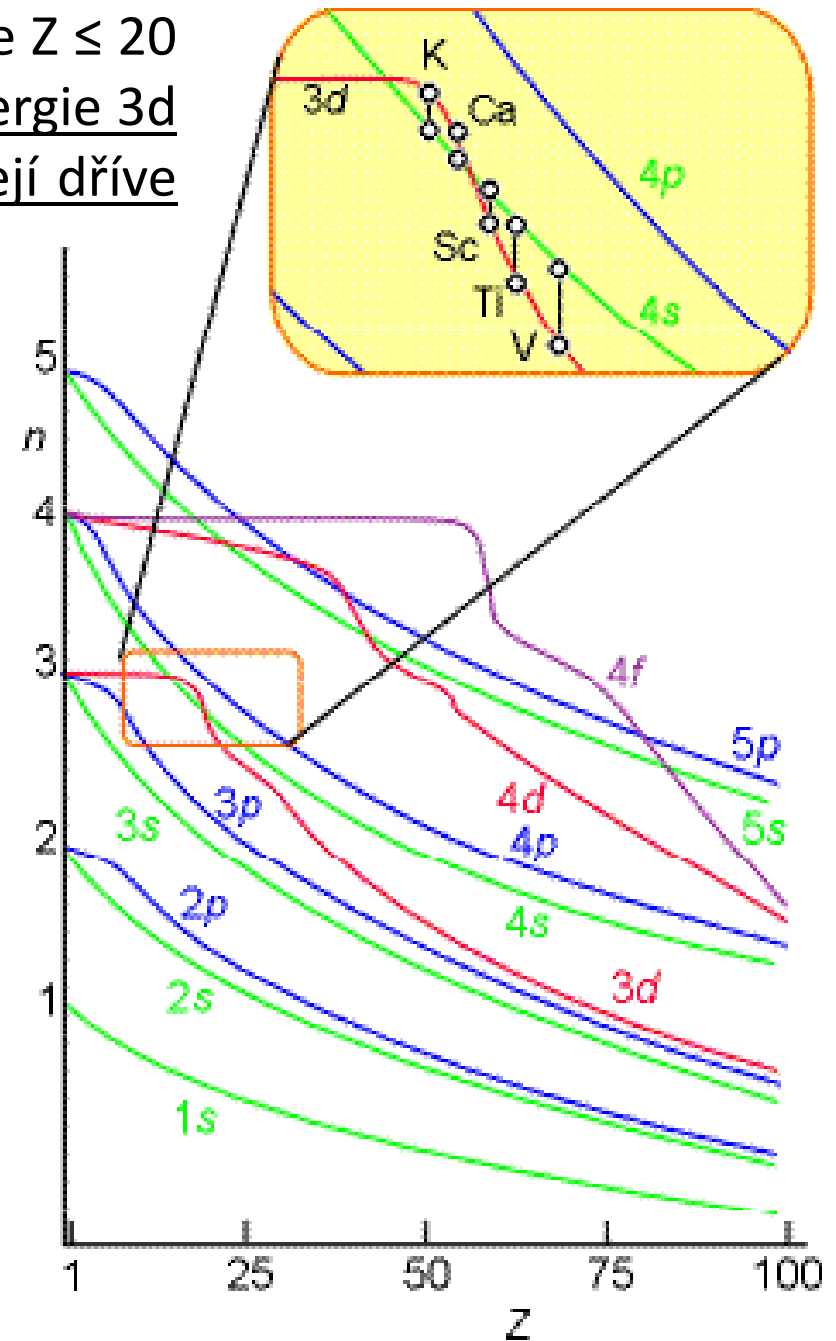
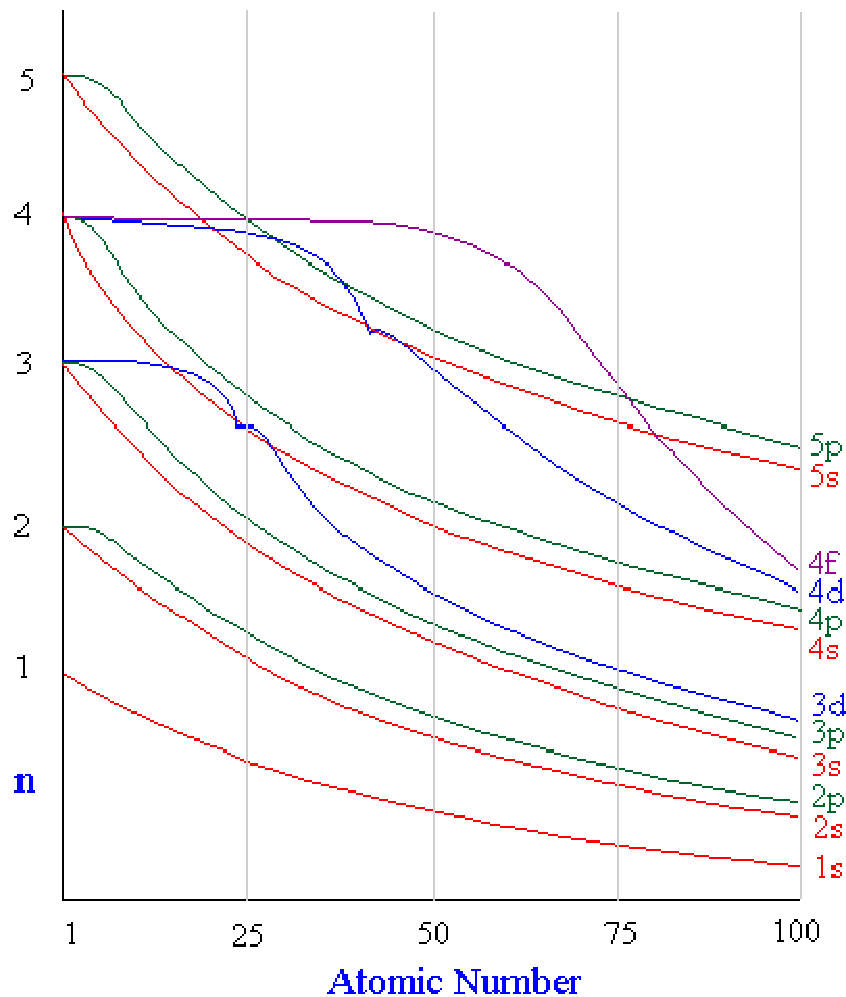
- každá hladina představuje  $n$  - kvant. sféru





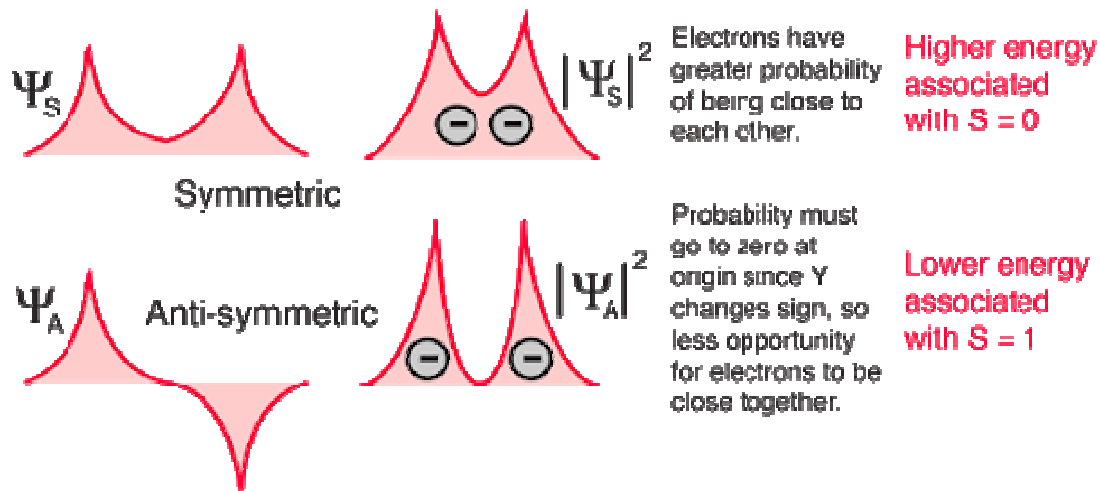
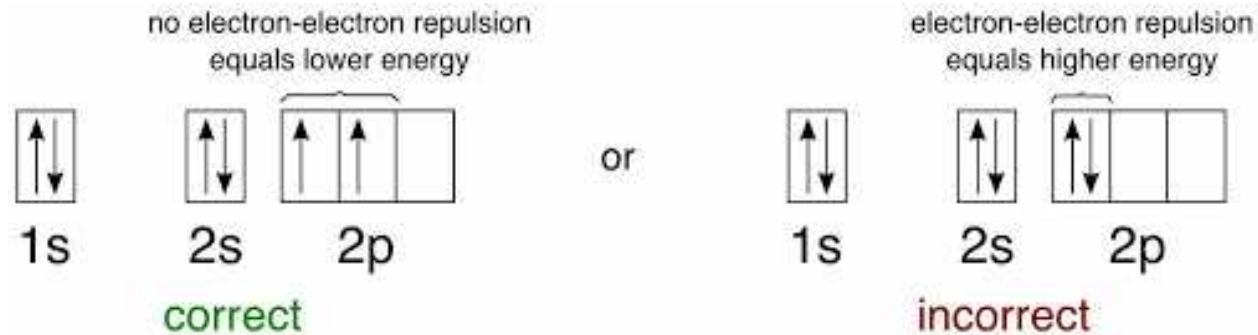
# Energie atomových orbitalů

Orbital 4s má nižší energii než 3d jen u prvků se  $Z \leq 20$  ( ${}_1\text{H}$  až  ${}_{20}\text{Ca}$ ). Po obsazení 4s orbitalu se sníží energie 3d orbitalu. U prvků s  $Z > 20$  se při ionizaci ztrácejí dříve elektrony z 4s než z 3d orbitalu.



# Hundovo pravidlo

V degenerovaných orbitalech vznikají elektronové páry až poté, co byl zaplněn každý orbital jedním elektronem. Všechny nespárované elektrony přitom mají stejný spin. V takovém případě má systém nejnižší energii, a proto je nejstabilnější (= snaha o maximální počet nevykompenzovaných spinů).



# Multiplicita

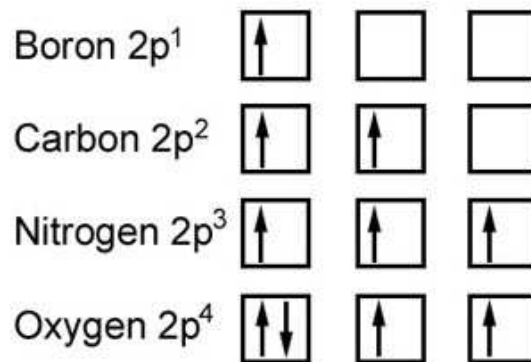
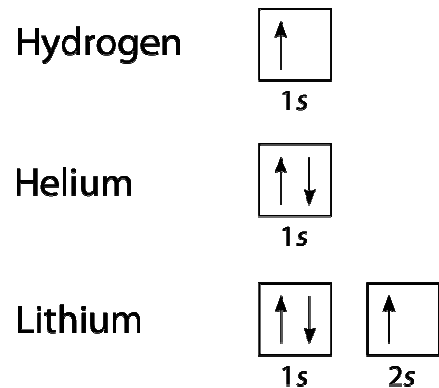
$$M = (2 \sum m_s) + 1$$

$$M = n_{ue} + 1$$

M = 1	singlet
M = 2	dublet
M = 3	triplet
M = 4	kvartet

$n_{ue}$  = počet nepárových elektronů

**Hundovo pravidlo:** stavy s vyšší multiplicitou mají nižší energii oproti stavům se stejnými ostatními charakteristikami a s multiplicitou nižší.



↑		
↑	↑	
↑	↑	↑
↑↓	↑	↑
↑↓	↑↓	↑
↑↓	↑↓	↑↓

$$2(+1/2) + 1 = 2$$

$$2(+2/2) + 1 = 3$$

$$2(+3/2) + 1 = 4$$

$$2(+2/2) + 1 = 3$$

$$2(+1/2) + 1 = 2$$

$$2(0) + 1 = 1$$

# Multiplicita

Obsazení AO (symbolicky)	Počet nepárových elektronů	Celkové spinové číslo $\Sigma m_s$	Multiplicita $M$	Označení stavu
$(\uparrow\downarrow)_k$	0	0	1	singlet
$(\uparrow\downarrow)_k \uparrow$	1	1/2	2	dublet
$(\uparrow\downarrow)_k \uparrow \uparrow$	2	1	3	triplet
$(\uparrow\downarrow)_k \uparrow \uparrow \uparrow$	3	3/2	4	kvartet
atd.				

$$M = 2 \cdot \Sigma m_s + 1$$

Ion	Spin	Multiplicity	Name
Cu <sup>2+</sup>	1/2	2	Doublet
Ni <sup>2+</sup>	1	3	Triplet
Co <sup>2+</sup>	3/2	4	Quadruplet
Mn <sup>3+</sup>	2	5	Quintuplet
Mn <sup>2+</sup>	5/2	6	Hexuplet
Tb <sup>3+</sup>	3	7	Heptuplet
Gd <sup>3+</sup>	7/2	8	Octuplet

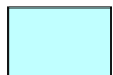
$$M = n + 1$$

$n$  = počet nepárových elektronů

Number of unpaired electrons ( $n$ )	Spin multiplicity value ( $n + 1$ )	Spin state
0	1	Singlet
1	2	Doublet
2	3	Triplet
3	4	Quartet
4	5	Quintet
5	6	Multiplet

# Počet nepárových elektronů

	1	2	3	4	5	6	7	8	9	10	11	12	13	14	15	16	17	18
1	1 H																	2 He
2	3 Li	4 Be											5 B	6 C	7 N	8 O	9 F	10 Ne
3	11 Na	12 Mg											13 Al	14 Si	15 P	16 S	17 Cl	18 Ar
4	19 K	20 Ca	21 Sc	22 Ti	23 V	24 Cr	25 Mn	26 Fe	27 Co	28 Ni	29 Cu	30 Zn	31 Ga	32 Ge	33 As	34 Se	35 Br	36 Kr
5	37 Rb	38 Sr	39 Y	40 Zr	41 Nb	42 Mo	43 Tc	44 Ru	45 Rh	46 Pd	47 Ag	48 Cd	49 In	50 Sn	51 Sb	52 Te	53 I	54 Xe
6	55 Cs	56 Ba		72 Hf	73 Ta	74 W	75 Re	76 Os	77 Ir	78 Pt	79 Au	80 Hg	81 Tl	82 Pb	83 Bi	84 Po	85 At	86 Rn
7	87 Fr	88 Ra		104 Rf	105 Db	106 Sg	107 Bh	108 Hs	109 Mt	110 Ds	111 Rg	112 Cn	113 Uut	114 Fl	115 Uup	116 Lv	117 Uus	118 Uuo
				57 La	58 Ce	59 Pr	60 Nd	61 Pm	62 Sm	63 Eu	64 Gd	65 Tb	66 Dy	67 Ho	68 Er	69 Tm	70 Yb	71 Lu
				89 Ac	90 Th	91 Pa	92 U	93 Np	94 Pu	95 Am	96 Cm	97 Bk	98 Cf	99 Es	100 Fm	101 Md	102 No	103 Lr



1



2



3



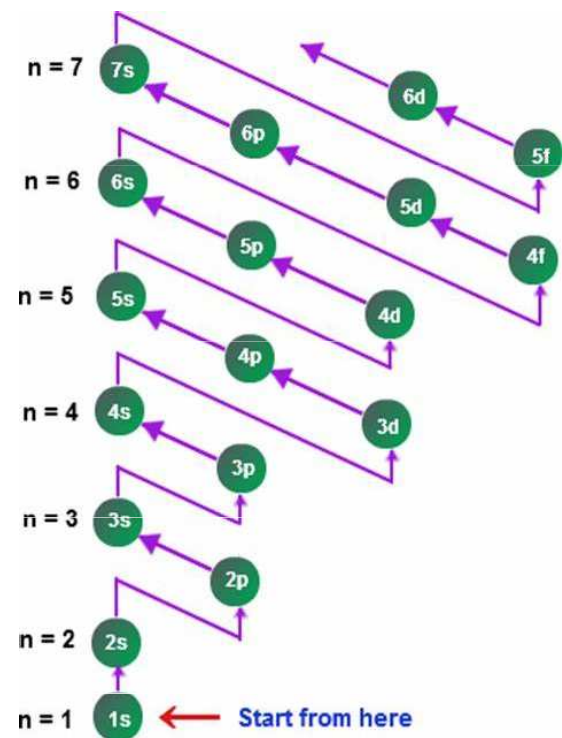
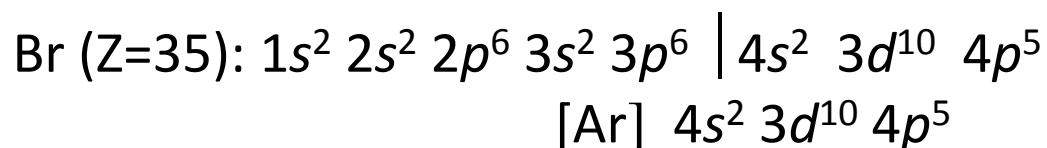
4



≥5

# Určování elektronové konfigurace

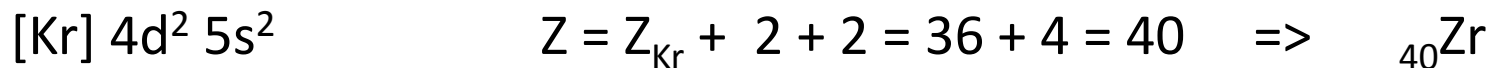
- zjistíme atom. číslo (Z) prvku (celkový počet elektronů roven Z)
- sestavíme řadu AO např. dle výstav. trojúhelníku
- doplníme počet elektronů (vyznačíme jako exponenty)



**Chceme-li zkontrolovat zda je elektronová konfigurace daného atomu zapsaná správně,** sečteme protonové číslo předcházejícího vzácného plynu a počet elektronů ve vyznačených orbitalech. Součet musí být roven protonovému číslu daného atomu.



## Určení prvku podle známé elektronové konfigurace



# Příklad

$1s^2 2s^2 2p^6 3s^2 3p^6 4s^2 3d^{10}$   
 $4p^6 5s^2 4d^{10} 5p^6 6s^2 4f^{14} 5d^{10}$   
 $6p^6 7s^2 5f^{14} 6d^{10} 7p^6$

$1s$   
 $2s 2p$   
 $3s 3p 3d$   
 $4s 4p 4d 4f$   
 $5s 5p 5d 5f$   
 $6s 6p 6d 6f$   
 $7s 7p 7d 7f$

$_{20}\text{Ca} : 1s^2 2s^2 2p^6 3s^2 3p^6 4s^2$

## Electron Configuration Chart

s holds up to 2      p holds up to 6      d holds up to 10

18
<b>Ar</b>
Argon
39.95

$1s^2 2s^2 2p^6 3s^2 3p^6$

$1s$   
 $2s 2p$   
 $3s 3p 3d$   
 $4s 4p 4d 4f$   
 $5s 5p 5d 5f$   
 $6s 6p 6d$   
 $7s 7p$

## Electron Configuration Chart

s holds up to 2      p holds up to 6      d holds up to 10

19
<b>K</b>
Potassium
39.10

$1s^2 2s^2 2p^6 3s^2 3p^6 4s^1$

$1s$   
 $2s 2p$   
 $3s 3p 3d$   
 $4s 4p 4d 4f$   
 $5s 5p 5d 5f$   
 $6s 6p 6d$   
 $7s 7p$

## Electron Configuration Chart

s holds up to 2      p holds up to 6      d holds up to 10

16
<b>S</b>
Sulfur
32.07

$1s^2 2s^2 2p^6 3s^2 3p^4$

$1s$   
 $2s 2p$   
 $3s 3p 3d$   
 $4s 4p 4d 4f$   
 $5s 5p 5d 5f$   
 $6s 6p 6d$   
 $7s 7p$

# Porušení výstavbového principu

Energetického minima dosahují elektronové konfigurace atomů, jejichž energeticky nejvyšší degenerované AO jsou zaplněny z poloviny nebo zcela (platí jen u některých prvků)

$$ns^1 (n - 1)d^5 < ns^2 (n - 1)d^4$$

$$ns^1 (n - 1)d^{10} < ns^2 (n - 1)d^9$$



ale



Tvorba iontů u přechodných kovů - porušení výstavbového principu (vliv efektivního kladného náboje jádra)





## Unusual Electron Configurations

Element	Predicted Electron Configuration	Actual Electron Configuration
copper, Cu	$[\text{Ar}] 3d^9 4s^2$	$[\text{Ar}] 3d^{10} 4s^1$
silver, Ag	$[\text{Kr}] 4d^9 5s^2$	$[\text{Kr}] 4d^{10} 5s^1$
gold, Au	$[\text{Xe}] 4f^{14} 5d^9 6s^2$	$[\text{Xe}] 4f^{14} 5d^{10} 6s^1$
palladium, Pd	$[\text{Kr}] 4d^8 5s^2$	$[\text{Kr}] 4d^{10}$
chromium, Cr	$[\text{Ar}] 3d^4 4s^2$	$[\text{Ar}] 3d^5 4s^1$
molybdenum, Mo	$[\text{Kr}] 4d^4 5s^2$	$[\text{Kr}] 4d^5 5s^1$

# Exceptions to the Aufbau Principle

Half-filled  $d$  subshell plus half-filled  $s$  subshell has slightly lower in energy than  $s^2 d^4$ .

Filled  $d$  subshell plus half-filled  $s$  subshell has slightly lower in energy than  $s^2 d^9$ .

More exceptions occur farther down the periodic table. They aren't always predictable, because energy levels get closer together.

		3d	4s	
Sc	[Ar]			[Ar]3d <sup>1</sup> 4s <sup>2</sup>
Ti	[Ar]			[Ar]3d <sup>2</sup> 4s <sup>2</sup>
V	[Ar]			[Ar]3d <sup>3</sup> 4s <sup>2</sup>
Cr	[Ar]			[Ar]3d <sup>5</sup> 4s <sup>1</sup>
Mn	[Ar]			[Ar]3d <sup>5</sup> 4s <sup>2</sup>
Fe	[Ar]			[Ar]3d <sup>6</sup> 4s <sup>2</sup>
Co	[Ar]			[Ar]3d <sup>7</sup> 4s <sup>2</sup>
Ni	[Ar]			[Ar]3d <sup>8</sup> 4s <sup>2</sup>
Cu	[Ar]			[Ar]3d <sup>10</sup> 4s <sup>1</sup>
Zn	[Ar]			[Ar]3d <sup>10</sup> 4s <sup>2</sup>

# Atypické elektronové konfigurace

Chromium	$[\text{Ar}] 3d^5 4s^1$
Copper	$[\text{Ar}] 3d^{10} 4s^1$
Niobium	$[\text{Kr}] 4d^4 5s^1$
Molybdenum	$[\text{Kr}] 4d^5 5s^1$
Ruthenium	$[\text{Kr}] 4d^7 5s^1$
Rhodium	$[\text{Kr}] 4d^8 5s^1$
Palladium	$[\text{Kr}] 4d^{10} 5s^0$
Silver	$[\text{Kr}] 4d^{10} 5s^1$
Lanthanum	$[\text{Xe}] 5d^1 6s^2$
Cerium	$[\text{Xe}] 4f^1 5d^1 6s^2$
Gadolinium	$[\text{Xe}] 4f^7 5d^1 6s^2$
Platinum	$[\text{Xe}] 4f^{14} 5d^9 6s^1$
Gold	$[\text{Xe}] 4f^{14} 5d^{10} 6s^1$
Actinium	$[\text{Rn}] 6d^1 7s^2$
Thorium	$[\text{Rn}] 6d^2 7s^2$
Protactinium	$[\text{Rn}] 5f^2 6d^1 7s^2$
Uranium	$[\text{Rn}] 5f^3 6d^1 7s^2$
Neptunium	$[\text{Rn}] 5f^4 6d^1 7s^2$
Curium	$[\text{Rn}] 5f^7 6d^1 7s^2$

KEY																	
1	2	3	4	5	6	7	8	9	10	11	12	13	14	15	16	17	18
H	He	Li	Be	B	C	N	O	F	Ne	Na	Mg	Al	Si	P	S	Cl	Ar
1.008	4.003	6.941	9.012	10.81	12.011	14.007	15.999	18.998	20.179	22.990	24.305	26.982	28.086	30.974	32.066	35.453	39.948
Hydrogen	Helium	Lithium	Beryllium	Boron	Carbon	Nitrogen	Oxygen	Fluorine	Neon	Sodium	Magnesium	Aluminum	Silicon	Phosphorus	Sulfur	Chlorine	Argon
19	20	21	22	23	24	25	26	27	28	29	30	31	32	33	34	35	36
K	Ca	Sc	Ti	V	Cr	Mn	Fe	Co	Ni	Cu	Zn	Ga	Ge	As	Se	Br	Kr
39.098	40.078	44.956	47.88	50.94	51.996	54.938	55.845	58.933	58.933	63.546	65.38	69.723	72.63	74.922	78.96	79.904	83.80
Potassium	Calcium	Scandium	Titanium	Vanadium	Chromium	Manganese	Iron	Cobalt	Nickel	Copper	Zinc	Gallium	Germanium	Arsenic	Selenium	Bromine	Krypton
37	38	39	40	41	42	43	44	45	46	47	48	49	50	51	52	53	54
Rb	Sr	Y	Zr	Nb	Mo	Tc	Ru	Rh	Pd	Ag	Cd	In	Sn	Sb	Te	I	Xe
85.468	87.62	88.906	91.224	92.906	95.94	(98)	101.07	102.91	106.42	107.868	112.411	114.818	118.710	121.757	127.60	126.905	131.29
Rubidium	Strontium	Yttrium	Zirconium	Niobium	Molybdenum	Technetium	Ruthenium	Rhodium	Palladium	Silver	Cadmium	Indium	Tin	Antimony	Tellurium	Iodine	Xenon
55	56	(57-71)	72	73	74	75	76	77	78	79	80	81	82	83	84	85	86
Cs	Ba		Hf	Ta	W	Re	Os	Ir	Pt	Au	Hg	Tl	Pb	Bi	Po	At	Rn
132.91	137.33		178.50	180.95	183.85	186.21	190.2	192.22	195.08	197.0	200.59	204.37	207.2	208.98	(209)	(210)	(222)
Cesium	Barium		Hafnium	Tantalum	Tungsten	Rhenium	Osmium	Iridium	Platinum	Gold	Mercury	Thallium	Lead	Bismuth	Polonium	Astatine	Radon
87	88	(89-103)	104	105	106	107	108	109	110	111	112				114	116	118
Fr	Ra		Rf	Ha	Sg	Bh	Hs	Mt	Uun	Uuu	Uub				Uuq	Uuh	Uuo
(223)	(226)		(261)	(262)	(263)	(264)	(265)	(266)	(268)	(271)	(272)				(285)	(286)	(288)
Francium	Radium		Rutherfordium	Hassium	Seaborgium	Bohrium	Hassium	Moscovium	Darmstadtium	Roentgenium	Copernicium				Ununquadium	Ununhexium	Ununoctium

57	58	59	60	61	62	63	64	65	66	67	68	69	70	71
La	Ce	Pr	Nd	Pm	Sm	Eu	Gd	Tb	Dy	Ho	Er	Tm	Yb	Lu
138.905	140.12	140.91	144.24	(145)	150.35	151.96	157.25	158.93	162.50	164.93	167.26	168.93	173.04	174.967
Lanthanum	Cerium	Praseodymium	Neodymium	Promethium	Samarium	Europium	Gadolinium	Terbium	Dysprosium	Holmium	Erbium	Thulium	Ytterbium	Lutetium
89	90	91	92	93	94	95	96	97	98	99	100	101	102	103
Ac	Th	Pa	U	Np	Pu	Am	Cm	Bk	Cf	Es	Fm	Md	No	Lr
(227)	(232)	(231)	(238)	(237)	(244)	(243)	(247)	(247)	(251)	(252)	(257)	(258)	(259)	(260)
Actinium	Thorium	Protactinium	Uranium	Neptunium	Plutonium	Americium	Curium	Berkelium	Californium	Einsteinium	Fermium	Mendelevium	Nobelium	Lrutherfordium

\* Parentheses around atomic weight indicates that the weight given is that of the most stable known isotope.

† Lanthanide series

‡ Actinide series

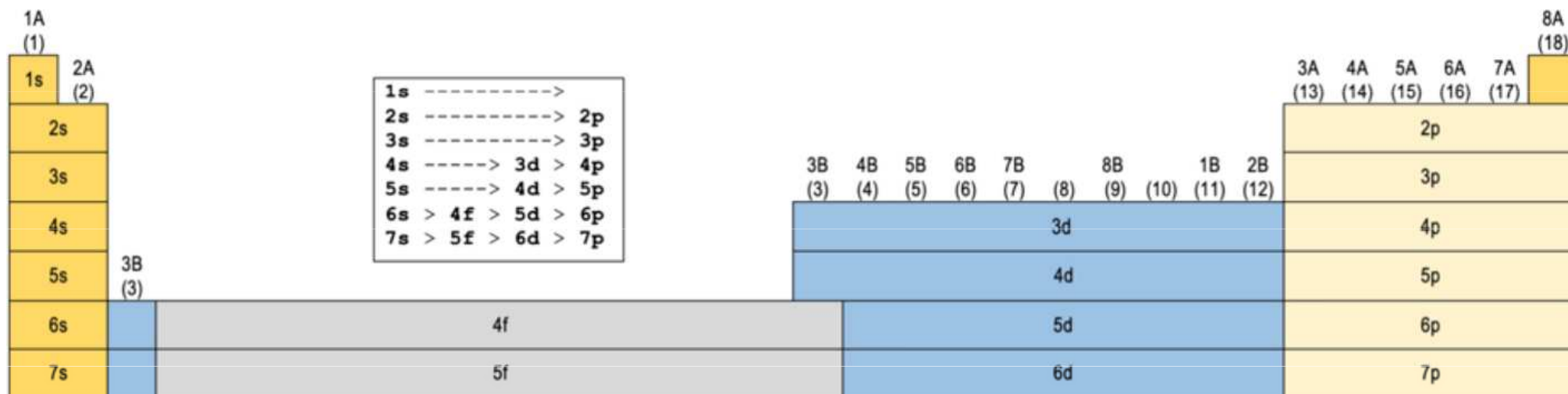
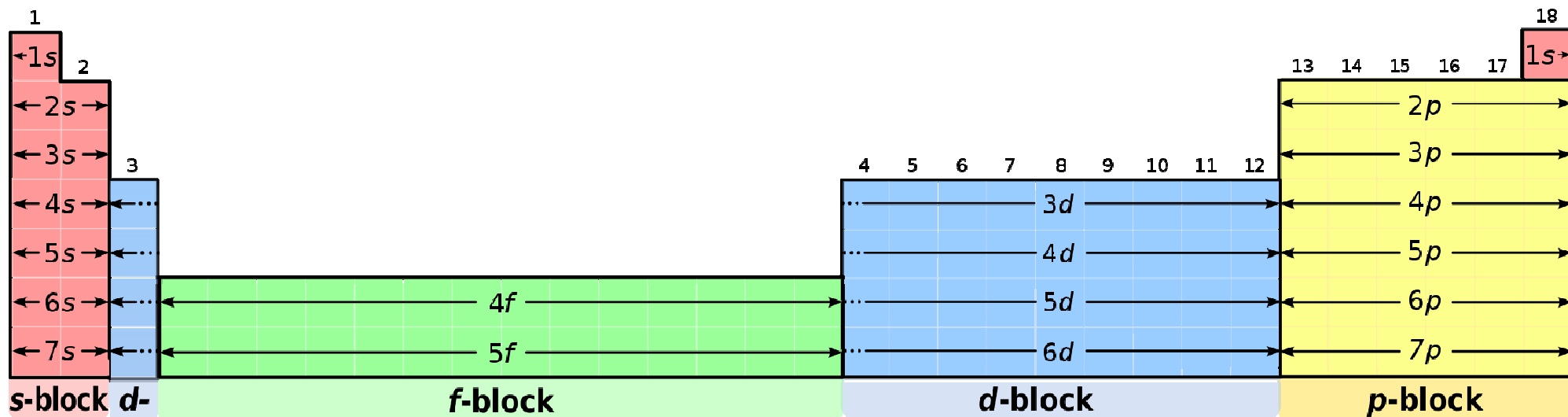
# Valenční sféra atomu a periodická soustava

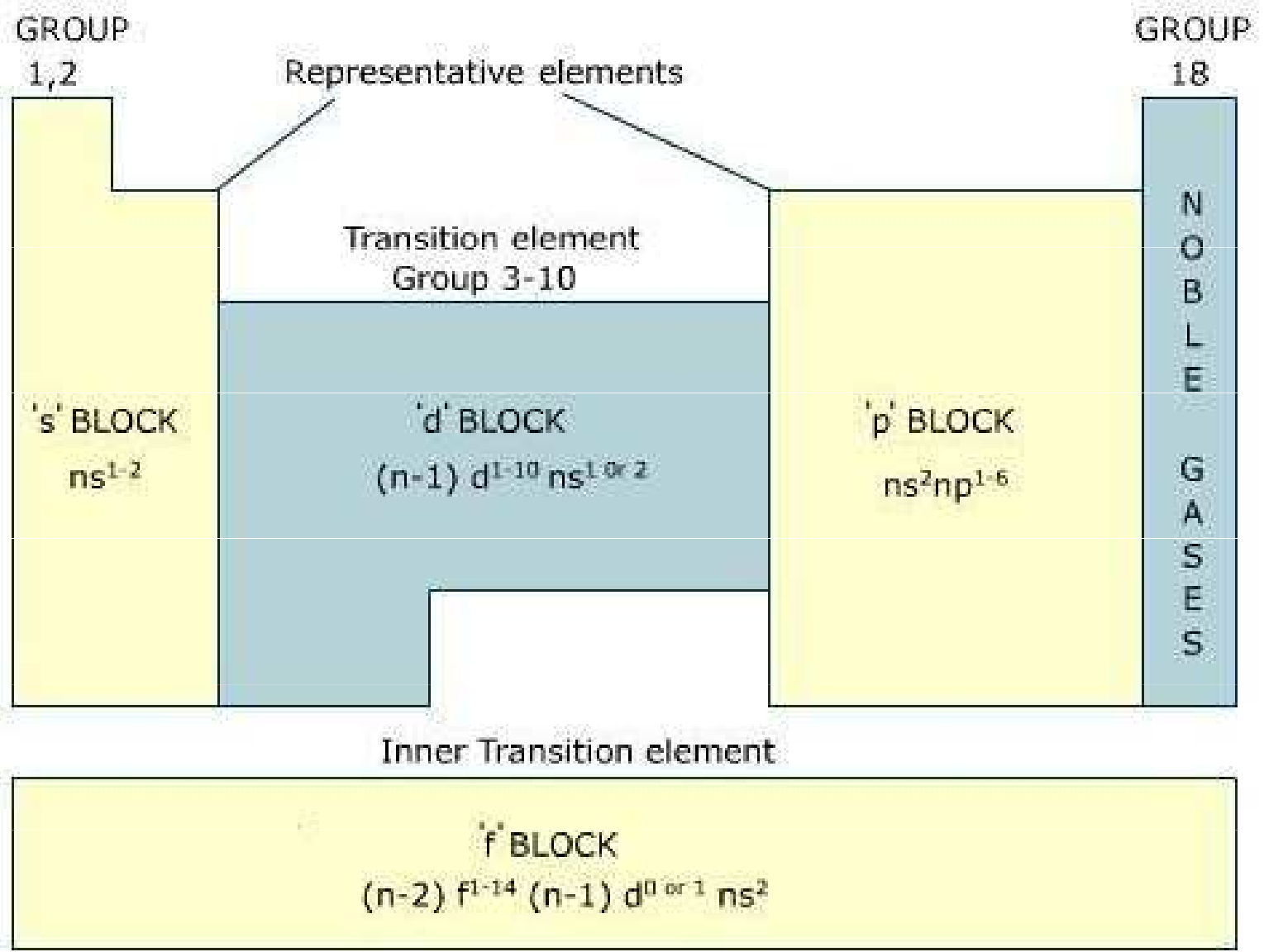
= orbitaly zcela nebo zčásti zaplněny, nepatřící do elektronové konfigurace nejbližší nižšího vzácného plynu, **rozhodují o kvalitě a kvantitě meziatomových sil.**

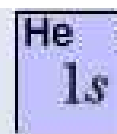
## **Výstavba el. obalu má periodický charakter !!!**

Struktura valenční sféry → periodická funkce protonových čísel

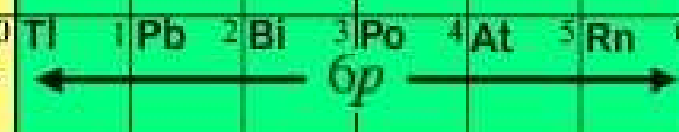
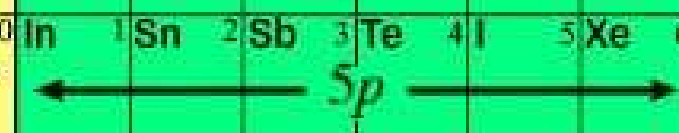
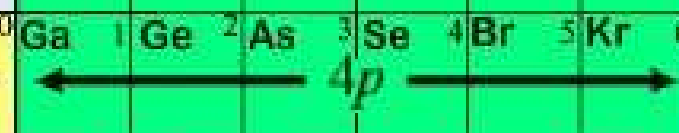
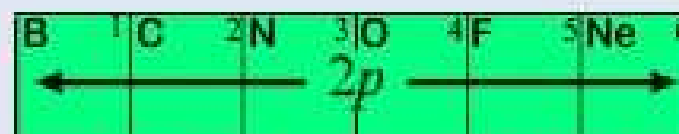
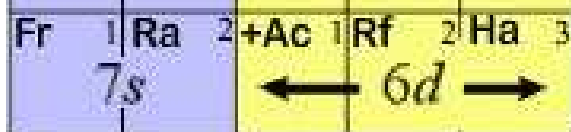
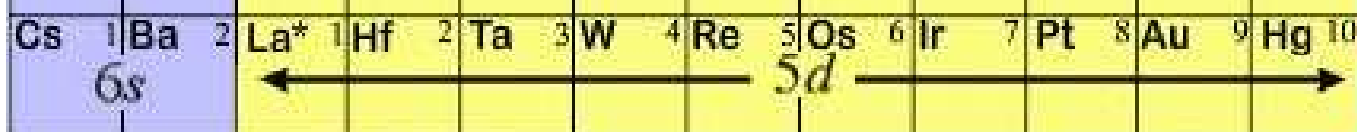
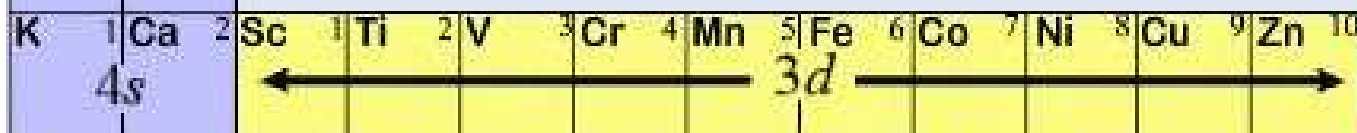
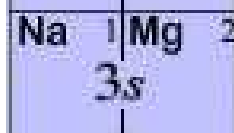
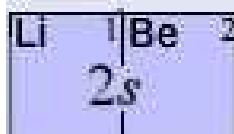
Atomic Number	Element Symbol	Electron Configuration	Number of Valence Electrons
1	H	$1s^1$	1
2	He	$1s^2$	2
3	Li	$1s^2 2s^1$	1
4	Be	$1s^2 2s^2$	2
5	B	$1s^2 2s^2 2p^1$	3
6	C	$1s^2 2s^2 2p^2$	4
7	N	$1s^2 2s^2 2p^3$	5
8	O	$1s^2 2s^2 2p^4$	6
9	F	$1s^2 2s^2 2p^5$	7
10	Ne	$1s^2 2s^2 2p^6$	8







## Electron Configuration Table







# Skutečnost

$1s^1$																				$1s^2$
$2s^1$	$2s^2$												$2p^1$	$2p^2$	$2p^3$	$2p^4$	$2p^5$	$2p^6$		
$3s^1$	$3s^2$												$3p^1$	$3p^2$	$3p^3$	$3p^4$	$3p^5$	$3p^6$		
$4s^1$	$4s^2$	$3d^1$	$3d^2$	$3d^3$	$3d^5$	$3d^5$	$3d^6$	$3d^7$	$3d^8$	$3d^{10}$	$3d^{10}$	$4p^1$	$4p^2$	$4p^3$	$4p^4$	$4p^5$	$4p^6$			
$5s^1$	$5s^2$	$4d^1$	$4d^2$	$4d^4$	$4d^5$	$4d^5$	$4d^7$	$4d^8$	$4d^{10}$	$4d^{10}$	$4d^{10}$	$5p^1$	$5p^2$	$5p^3$	$5p^4$	$5p^5$	$5p^6$			
$6s^1$	$6s^2$		$5d^2$	$5d^3$	$5d^4$	$5d^5$	$5d^6$	$5d^7$	$5d^9$	$5d^{10}$	$5d^{10}$	$6p^1$	$6p^2$	$6p^3$	$6p^4$	$6p^5$	$6p^6$			
$7s^1$	$7s^2$		$6d^2$	$6d^3$	$6d^4$	$6d^5$	$6d^6$	$6d^7$	$6d^8$	$6d^{10}$	$6d^{10}$	$7p^1$	$7p^2$	$7p^3$	$7p^4$	$7p^5$	$7p^6$			
			$5d^1$	$4f^1$	$4f^3$	$4f^4$	$4f^5$	$4f^6$	$4f^7$	$4f^7$	$4f^9$	$4f^{10}$	$4f^{11}$	$4f^{12}$	$4f^{13}$	$4f^{14}$	$4f^{14}$			
			$6d^1$	$6d^2$	$5f^2$	$5f^3$	$5f^4$	$5f^6$	$5f^7$	$5f^7$	$5f^9$	$5f^{10}$	$5f^{11}$	$5f^{12}$	$5f^{13}$	$5f^{14}$	$5f^{14}$			

Main-Group Elements  
s Subshell fills

Main-Group Elements  
p Subshell fills

	1 IA																18 VIIIA	
1	1 H 1s <sup>1</sup>	2 IIA																2 He 1s <sup>2</sup>
2	3 Li 2s <sup>1</sup>	4 Be 2s <sup>2</sup>	Transition Metals d Subshell fills										5 B 2s <sup>2</sup> 2p <sup>1</sup>	6 C 2s <sup>2</sup> 2p <sup>2</sup>	7 N 2s <sup>2</sup> 2p <sup>3</sup>	8 O 2s <sup>2</sup> 2p <sup>4</sup>	9 F 2s <sup>2</sup> 2p <sup>5</sup>	10 Ne 2s <sup>2</sup> 2p <sup>6</sup>
3	11 Na 3s <sup>1</sup>	12 Mg 3s <sup>2</sup>	3 IIIB	4 IVB	5 VB	6 VIB	7 VIIB	8 VIII	9 VIII	10 VIII	11 IB	12 IIB	13 Al 3s <sup>2</sup> 3p <sup>1</sup>	14 Si 3s <sup>2</sup> 3p <sup>2</sup>	15 P 3s <sup>2</sup> 3p <sup>3</sup>	16 S 3s <sup>2</sup> 3p <sup>4</sup>	17 Cl 3s <sup>2</sup> 3p <sup>5</sup>	18 Ar 3s <sup>2</sup> 3p <sup>6</sup>
4	19 K 4s <sup>1</sup>	20 Ca 4s <sup>2</sup>	21 Sc 3d <sup>1</sup> 4s <sup>2</sup>	22 Ti 3d <sup>2</sup> 4s <sup>2</sup>	23 V 3d <sup>3</sup> 4s <sup>2</sup>	24 Cr 3d <sup>5</sup> 4s <sup>1</sup>	25 Mn 3d <sup>5</sup> 4s <sup>2</sup>	26 Fe 3d <sup>6</sup> 4s <sup>2</sup>	27 Co 3d <sup>7</sup> 4s <sup>2</sup>	28 Ni 3d <sup>8</sup> 4s <sup>2</sup>	29 Cu 3d <sup>10</sup> 4s <sup>1</sup>	30 Zn 3d <sup>10</sup> 4s <sup>2</sup>	31 Ga 4s <sup>2</sup> 4p <sup>1</sup>	32 Ge 4s <sup>2</sup> 4p <sup>2</sup>	33 As 4s <sup>2</sup> 4p <sup>3</sup>	34 Se 4s <sup>2</sup> 4p <sup>4</sup>	35 Br 4s <sup>2</sup> 4p <sup>5</sup>	36 Kr 4s <sup>2</sup> 4p <sup>6</sup>
5	37 Rb 5s <sup>1</sup>	38 Sr 5s <sup>2</sup>	39 Y 4d <sup>1</sup> 5s <sup>2</sup>	40 Zr 4d <sup>2</sup> 5s <sup>2</sup>	41 Nb 4d <sup>4</sup> 5s <sup>1</sup>	42 Mo 4d <sup>5</sup> 5s <sup>1</sup>	43 Tc 4d <sup>5</sup> 5s <sup>2</sup>	44 Ru 4d <sup>7</sup> 5s <sup>1</sup>	45 Rh 4d <sup>8</sup> 5s <sup>1</sup>	46 Pd 4d <sup>10</sup>	47 Ag 4d <sup>10</sup> 5s <sup>1</sup>	48 Cd 4d <sup>10</sup> 5s <sup>2</sup>	49 In 5s <sup>2</sup> 5p <sup>1</sup>	50 Sn 5s <sup>2</sup> 5p <sup>2</sup>	51 Sb 5s <sup>2</sup> 5p <sup>3</sup>	52 Te 5s <sup>2</sup> 5p <sup>4</sup>	53 I 5s <sup>2</sup> 5p <sup>5</sup>	54 Xe 5s <sup>2</sup> 5p <sup>6</sup>
6	55 Cs 6s <sup>1</sup>	56 Ba 6s <sup>2</sup>	57 La* 5d <sup>1</sup> 6s <sup>2</sup>	72 Hf 5d <sup>2</sup> 6s <sup>2</sup>	73 Ta 5d <sup>4</sup> 6s <sup>2</sup>	74 W 5d <sup>4</sup> 6s <sup>2</sup>	75 Re 5d <sup>5</sup> 6s <sup>2</sup>	76 Os 5d <sup>6</sup> 6s <sup>2</sup>	77 Ir 5d <sup>7</sup> 6s <sup>2</sup>	78 Pt 5d <sup>9</sup> 6s <sup>1</sup>	79 Au 5d <sup>10</sup> 6s <sup>1</sup>	80 Hg 5d <sup>10</sup> 6s <sup>2</sup>	81 Tl 6s <sup>2</sup> 6p <sup>1</sup>	82 Pb 6s <sup>2</sup> 6p <sup>2</sup>	83 Bi 6s <sup>2</sup> 6p <sup>3</sup>	84 Po 6s <sup>2</sup> 6p <sup>4</sup>	85 At 6s <sup>2</sup> 6p <sup>5</sup>	86 Rn 6s <sup>2</sup> 6p <sup>6</sup>
7	87 Fr 7s <sup>1</sup>	88 Ra 7s <sup>2</sup>	89 Ac** 6d <sup>1</sup> 7s <sup>2</sup>	104 Db 6d <sup>2</sup> 7s <sup>2</sup>	105 Jl 6d <sup>3</sup> 7s <sup>2</sup>	106 Rf 6d <sup>4</sup> 7s <sup>2</sup>	107 Bh 6d <sup>5</sup> 7s <sup>2</sup>	108 Hn 6d <sup>6</sup> 7s <sup>2</sup>	109 Mt 6d <sup>7</sup> 7s <sup>2</sup>	Inner-Transition Metals f Subshell fills								

1 — Atomic number  
H — Symbol  
1s<sup>1</sup> — Valence-shell configuration

\*Lanthanides

\*\*Actinides

58 Ce 4f <sup>1</sup> 5d <sup>1</sup> 6s <sup>2</sup>	59 Pr 4f <sup>3</sup> 6s <sup>2</sup>	60 Nd 4f <sup>4</sup> 6s <sup>2</sup>	61 Pm 4f <sup>5</sup> 6s <sup>2</sup>	62 Sm 4f <sup>6</sup> 6s <sup>2</sup>	63 Eu 4f <sup>7</sup> 6s <sup>2</sup>	64 Gd 4f <sup>7</sup> 5d <sup>1</sup> 6s <sup>2</sup>	65 Tb 4f <sup>9</sup> 6s <sup>2</sup>	66 Dy 4f <sup>10</sup> 6s <sup>2</sup>	67 Ho 4f <sup>11</sup> 6s <sup>2</sup>	68 Er 4f <sup>12</sup> 6s <sup>2</sup>	69 Tm 4f <sup>13</sup> 6s <sup>2</sup>	70 Yb 4f <sup>14</sup> 6s <sup>2</sup>	71 Lu 4f <sup>14</sup> 5d <sup>1</sup> 6s <sup>2</sup>
90 Th 6d <sup>2</sup> 7s <sup>2</sup>	91 Pa 5f <sup>2</sup> 6d <sup>1</sup> 7s <sup>2</sup>	92 U 5f <sup>3</sup> 6d <sup>1</sup> 7s <sup>2</sup>	93 Np 5f <sup>4</sup> 6d <sup>1</sup> 7s <sup>2</sup>	94 Pu 5f <sup>6</sup> 7s <sup>2</sup>	95 Am 5f <sup>7</sup> 7s <sup>2</sup>	96 Cm 5f <sup>7</sup> 6d <sup>1</sup> 7s <sup>2</sup>	97 Bk 5f <sup>9</sup> 7s <sup>2</sup>	98 Cf 5f <sup>10</sup> 7s <sup>2</sup>	99 Es 5f <sup>11</sup> 7s <sup>2</sup>	100 Fm 5f <sup>12</sup> 7s <sup>2</sup>	101 Md 5f <sup>13</sup> 7s <sup>2</sup>	102 No 5f <sup>14</sup> 7s <sup>2</sup>	103 Lr 5f <sup>14</sup> 6d <sup>1</sup> 7s <sup>2</sup>

- Metal
- Metalloid
- Nonmetal

## Electron configurations of the elements

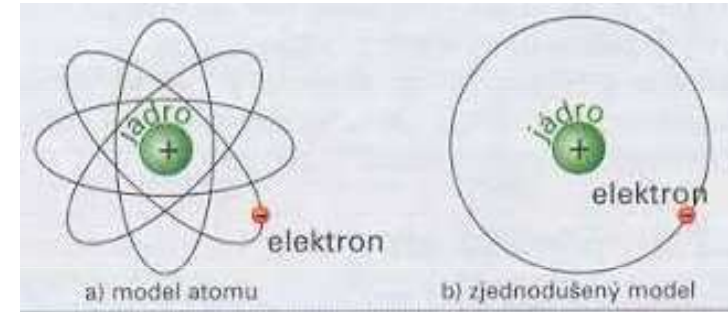
Z	Element	Symbol	Electron configuration†	Z	Element	Symbol	Electron configuration†
1	Hydrogen	H	1s	54	Xenon	Xe	[Kr]4d <sup>10</sup> 5s <sup>2</sup> 5p <sup>6</sup>
2	Helium	He	1s <sup>2</sup>	55	Cesium	Cs	[Xe]6s
3	Lithium	Li	[He]2s	56	Barium	Ba	[Xe]6s <sup>2</sup>
4	Beryllium	Be	[He]2s <sup>2</sup>	57	Lanthanum	La	*[Xe]5d6s <sup>2</sup>
5	Boron	B	[He]2s <sup>2</sup> 2p	58	Cerium	Ce	*[Xe]4f5d6s <sup>2</sup>
6	Carbon	C	[He]2s <sup>2</sup> 2p <sup>2</sup>	59	Praseodymium	Pr	[Xe]4f <sup>3</sup> 6s <sup>2</sup>
7	Nitrogen	N	[He]2s <sup>2</sup> 2p <sup>3</sup>	60	Neodymium	Nd	[Xe]4f <sup>4</sup> 6s <sup>2</sup>
8	Oxygen	O	[He]2s <sup>2</sup> 2p <sup>4</sup>	61	Promethium	Pm	[Xe]4f <sup>5</sup> 6s <sup>2</sup>
9	Fluorine	F	[He]2s <sup>2</sup> 2p <sup>5</sup>	62	Samarium	Sm	[Xe]4f <sup>6</sup> 6s <sup>2</sup>
10	Neon	Ne	[He]2s <sup>2</sup> 2p <sup>6</sup>	63	Europium	Eu	[Xe]4f <sup>7</sup> 6s <sup>2</sup>
11	Sodium	Na	[Ne]3s	64	Gadolinium	Gd	*[Xe]4f <sup>7</sup> 5d6s <sup>2</sup>
12	Magnesium	Mg	[Ne]3s <sup>2</sup>	65	Terbium	Tb	[Xe]4f <sup>9</sup> 6s <sup>2</sup>
13	Aluminum	Al	[Ne]3s <sup>2</sup> 3p	66	Dysprosium	Dy	[Xe]4f <sup>10</sup> 6s <sup>2</sup>
14	Silicon	Si	[Ne]3s <sup>2</sup> 3p <sup>2</sup>	67	Holmium	Ho	[Xe]4f <sup>11</sup> 6s <sup>2</sup>
15	Phosphorus	P	[Ne]3s <sup>2</sup> 3p <sup>3</sup>	68	Erbium	Er	[Xe]4f <sup>12</sup> 6s <sup>2</sup>
16	Sulfur	S	[Ne]3s <sup>2</sup> 3p <sup>4</sup>	69	Thulium	Tm	[Xe]4f <sup>13</sup> 6s <sup>2</sup>
17	Chlorine	Cl	[Ne]3s <sup>2</sup> 3p <sup>5</sup>	70	Ytterbium	Yb	[Xe]4f <sup>14</sup> 6s <sup>2</sup>
18	Argon	Ar	[Ne]3s <sup>2</sup> 3p <sup>6</sup>	71	Lutetium	Lu	[Xe]4f <sup>14</sup> 5d6s <sup>2</sup>
19	Potassium	K	[Ar]4s	72	Hafnium	Hf	[Xe]4f <sup>14</sup> 5d <sup>2</sup> 6s <sup>2</sup>
20	Calcium	Ca	[Ar]4s <sup>2</sup>	73	Tantalum	Ta	[Xe]4f <sup>14</sup> 5d <sup>3</sup> 6s <sup>2</sup>
21	Scandium	Sc	[Ar]3d4s <sup>2</sup>	74	Tungsten	W	[Xe]4f <sup>14</sup> 5d <sup>4</sup> 6s <sup>2</sup>
22	Titanium	Ti	[Ar]3d <sup>2</sup> 4s <sup>2</sup>	75	Rhenium	Re	[Xe]4f <sup>14</sup> 5d <sup>5</sup> 6s <sup>2</sup>
23	Vanadium	V	[Ar]3d <sup>3</sup> 4s <sup>2</sup>	76	Osmium	Os	[Xe]4f <sup>14</sup> 5d <sup>6</sup> 6s <sup>2</sup>
24	Chromium	Cr	*[Ar]3d <sup>5</sup> 4s	77	Iridium	Ir	[Xe]4f <sup>14</sup> 5d <sup>7</sup> 6s <sup>2</sup>
25	Manganese	Mn	[Ar]3d <sup>5</sup> 4s <sup>2</sup>	78	Platinum	Pt	*[Xe]4f <sup>14</sup> 5d <sup>9</sup> 6s
26	Iron	Fe	[Ar]3d <sup>6</sup> 4s <sup>2</sup>	79	Gold	Au	*[Xe]4f <sup>14</sup> 5d <sup>10</sup> 6s
27	Cobalt	Co	[Ar]3d <sup>7</sup> 4s <sup>2</sup>	80	Mercury	Hg	[Xe]4f <sup>14</sup> 5d <sup>10</sup> 6s <sup>2</sup>
28	Nickel	Ni	[Ar]3d <sup>8</sup> 4s <sup>2</sup>	81	Thallium	Tl	[Xe]4f <sup>14</sup> 5d <sup>10</sup> 6s <sup>2</sup> 6p
29	Copper	Cu	*[Ar]3d <sup>10</sup> 4s	82	Lead	Pb	[Xe]4f <sup>14</sup> 5d <sup>10</sup> 6s <sup>2</sup> 6p <sup>2</sup>
30	Zinc	Zn	[Ar]3d <sup>10</sup> 4s <sup>2</sup>	83	Bismuth	Bi	[Xe]4f <sup>14</sup> 5d <sup>10</sup> 6s <sup>2</sup> 6p <sup>3</sup>
31	Gallium	Ga	[Ar]3d <sup>10</sup> 4s <sup>2</sup> 4p	84	Polonium	Po	[Xe]4f <sup>14</sup> 5d <sup>10</sup> 6s <sup>2</sup> 6p <sup>4</sup>
32	Germanium	Ge	[Ar]3d <sup>10</sup> 4s <sup>2</sup> 4p <sup>2</sup>	85	Astatine	At	[Xe]4f <sup>14</sup> 5d <sup>10</sup> 6s <sup>2</sup> 6p <sup>5</sup>
33	Arsenic	As	[Ar]3d <sup>10</sup> 4s <sup>2</sup> 4p <sup>3</sup>	86	Radon	Rn	[Xe]4f <sup>14</sup> 5d <sup>10</sup> 6s <sup>2</sup> 6p <sup>6</sup>
34	Selenium	Se	[Ar]3d <sup>10</sup> 4s <sup>2</sup> 4p <sup>4</sup>	87	Francium	Fr	[Rn]7s
35	Bromine	Br	[Ar]3d <sup>10</sup> 4s <sup>2</sup> 4p <sup>5</sup>	88	Radium	Ra	[Rn]7s <sup>2</sup>
36	Krypton	Kr	[Ar]3d <sup>10</sup> 4s <sup>2</sup> 4p <sup>6</sup>	89	Actinium	Ac	*[Rn]6d7s <sup>2</sup>
37	Rubidium	Rb	[Kr]5s	90	Thorium	Th	*[Rn]6d <sup>2</sup> 7s <sup>2</sup>
38	Strontium	Sr	[Kr]5s <sup>2</sup>	91	Protactinium	Pa	*[Rn]5f <sup>2</sup> 6d7s <sup>2</sup>
39	Yttrium	Y	[Kr]4d5s <sup>2</sup>	92	Uranium	U	*[Rn]5f <sup>3</sup> 6d7s <sup>2</sup>
40	Zirconium	Zr	[Kr]4d <sup>2</sup> 5s <sup>2</sup>	93	Neptunium	Np	*[Rn]5f <sup>4</sup> 6d7s <sup>2</sup>
41	Niobium	Nb	*[Kr]4d <sup>4</sup> 5s	94	Plutonium	Pu	[Rn]5f <sup>6</sup> 7s <sup>2</sup>
42	Molybdenum	Mo	*[Kr]4d <sup>5</sup> 5s	95	Americium	Am	[Rn]5f <sup>7</sup> 7s <sup>2</sup>
43	Technetium	Tc	[Kr]4d <sup>5</sup> 5s <sup>2</sup>	96	Curium	Cm	*[Rn]5f <sup>7</sup> 6d7s <sup>2</sup>
44	Ruthenium	Ru	*[Kr]4d <sup>7</sup> 5s	97	Berkelium	Bk	[Rn]5f <sup>9</sup> 7s <sup>2</sup>
45	Rhodium	Rh	*[Kr]4d <sup>8</sup> 5s	98	Californium	Cf	[Rn]5f <sup>10</sup> 7s <sup>2</sup>
46	Palladium	Pd	*[Kr]4d <sup>10</sup>	99	Einsteinium	Es	[Rn]5f <sup>11</sup> 7s <sup>2</sup>
47	Silver	Ag	*[Kr]4d <sup>10</sup> 5s	100	Fermium	Fm	[Rn]5f <sup>12</sup> 7s <sup>2</sup>
48	Cadmium	Cd	[Kr]4d <sup>10</sup> 5s <sup>2</sup>	101	Mendelevium	Md	[Rn]5f <sup>13</sup> 7s <sup>2</sup>
49	Indium	In	[Kr]4d <sup>10</sup> 5s <sup>2</sup> 5p	102	Nobelium	No	[Rn]5f <sup>14</sup> 7s <sup>2</sup>
50	Tin	Sn	[Kr]4d <sup>10</sup> 5s <sup>2</sup> 5p <sup>2</sup>	103	Lawrencium	Lr	[Rn]5f <sup>14</sup> 6d7s <sup>2</sup>
51	Antimony	Sb	[Kr]4d <sup>10</sup> 5s <sup>2</sup> 5p <sup>3</sup>	104	Rutherfordium	Rf	[Rn]5f <sup>14</sup> 6d <sup>2</sup> 7s <sup>2</sup>
52	Tellurium	Te	[Kr]4d <sup>10</sup> 5s <sup>2</sup> 5p <sup>4</sup>	105	Hahnium	Ha	[Rn]5f <sup>14</sup> 6d <sup>3</sup> 7s <sup>2</sup>
53	Iodine	I	[Kr]4d <sup>10</sup> 5s <sup>2</sup> 5p <sup>5</sup>	106	...	...	[Rn]5f <sup>14</sup> 6d <sup>4</sup> 7s <sup>2</sup>

## Počet electronů ve valenční sféře

<b>TABLE 7-1</b>		<i>Lewis Dot Formulas for Representative Elements</i>						
<b>Group</b>	<b>IA</b>	<b>IIA</b>	<b>IIIA</b>	<b>IVA</b>	<b>VA</b>	<b>VIA</b>	<b>VIIA</b>	<b>VIIIA</b>
<i>Number of electrons in valence shell</i>	<b>1</b>	<b>2</b>	<b>3</b>	<b>4</b>	<b>5</b>	<b>6</b>	<b>7</b>	<b>8 (except He)</b>
Period 1	H ·							He :
Period 2	Li ·	Be :	$\overset{\cdot\cdot}{\text{B}} \cdot$	$\overset{\cdot\cdot}{\underset{\cdot}{\text{C}}} \cdot$	$\cdot \overset{\cdot\cdot}{\text{N}} \cdot$	$\cdot \overset{\cdot\cdot}{\underset{\cdot}{\text{O}}} :$	$\cdot \overset{\cdot\cdot}{\text{F}} :$	$:\overset{\cdot\cdot}{\underset{\cdot\cdot}{\text{Ne}}}:$
Period 3	Na ·	Mg :	$\overset{\cdot\cdot}{\text{Al}} \cdot$	$\overset{\cdot\cdot}{\underset{\cdot}{\text{Si}}} \cdot$	$\cdot \overset{\cdot\cdot}{\text{P}} \cdot$	$\cdot \overset{\cdot\cdot}{\underset{\cdot}{\text{S}}} :$	$\cdot \overset{\cdot\cdot}{\text{Cl}} :$	$:\overset{\cdot\cdot}{\underset{\cdot\cdot}{\text{Ar}}}:$
Period 4	K ·	Ca :	$\overset{\cdot\cdot}{\text{Ga}} \cdot$	$\overset{\cdot\cdot}{\underset{\cdot}{\text{Ge}}} \cdot$	$\cdot \overset{\cdot\cdot}{\text{As}} \cdot$	$\cdot \overset{\cdot\cdot}{\underset{\cdot}{\text{Se}}} :$	$\cdot \overset{\cdot\cdot}{\text{Br}} :$	$:\overset{\cdot\cdot}{\underset{\cdot\cdot}{\text{Kr}}}:$
Period 5	Rb ·	Sr :	$\overset{\cdot\cdot}{\text{In}} \cdot$	$\overset{\cdot\cdot}{\underset{\cdot}{\text{Sn}}} \cdot$	$\cdot \overset{\cdot\cdot}{\text{Sb}} \cdot$	$\cdot \overset{\cdot\cdot}{\underset{\cdot}{\text{Te}}} :$	$\cdot \overset{\cdot\cdot}{\text{I}} :$	$:\overset{\cdot\cdot}{\underset{\cdot\cdot}{\text{Xe}}}:$
Period 6	Cs ·	Ba :	$\overset{\cdot\cdot}{\text{Tl}} \cdot$	$\overset{\cdot\cdot}{\underset{\cdot}{\text{Pb}}} \cdot$	$\cdot \overset{\cdot\cdot}{\text{Bi}} \cdot$	$\cdot \overset{\cdot\cdot}{\underset{\cdot}{\text{Po}}} :$	$\cdot \overset{\cdot\cdot}{\text{At}} :$	$:\overset{\cdot\cdot}{\underset{\cdot\cdot}{\text{Rn}}}:$
Period 7	Fr ·	Ra :						



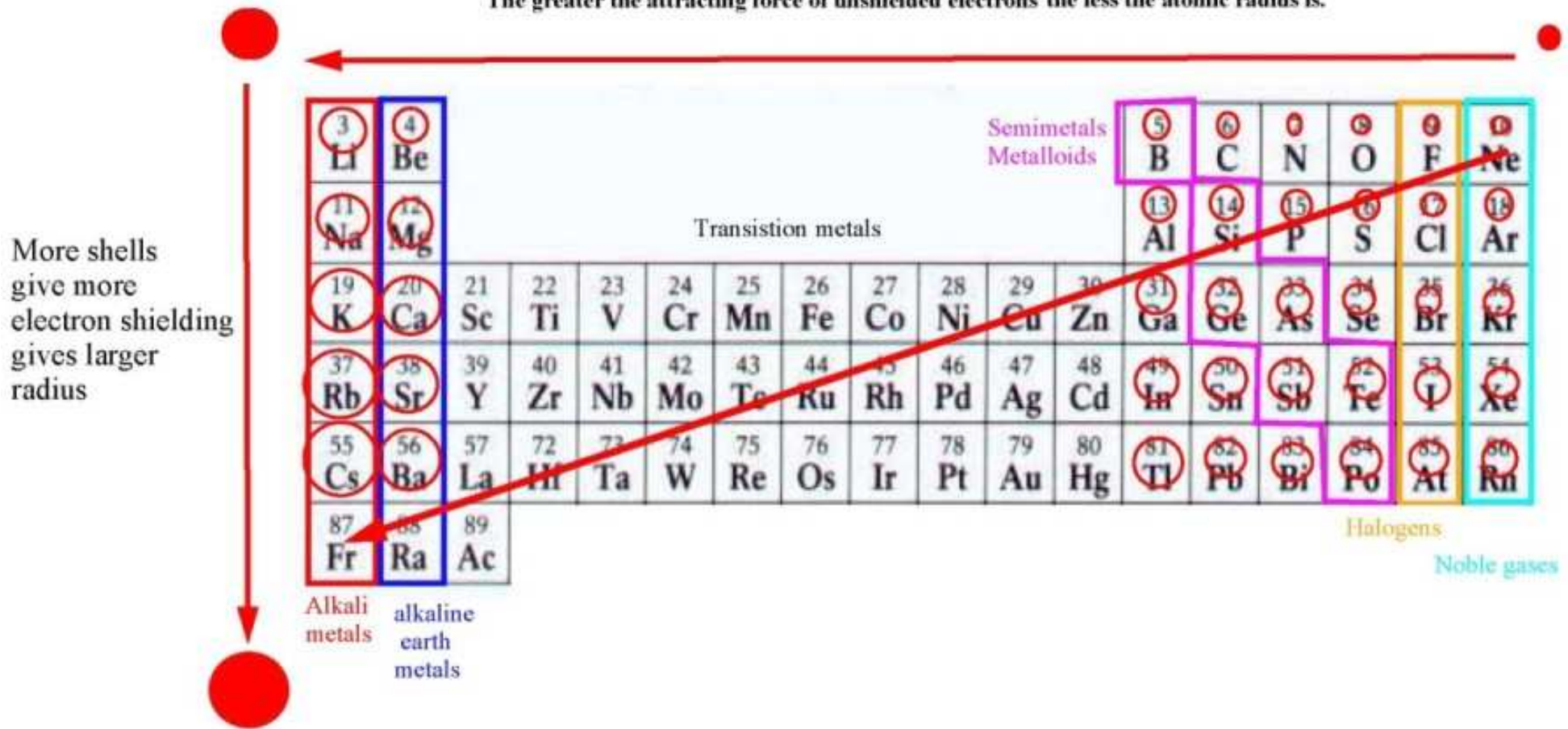
# Atomový poloměr



## Atomic Radius

More protons makes greater attraction of electrons which makes smaller radius

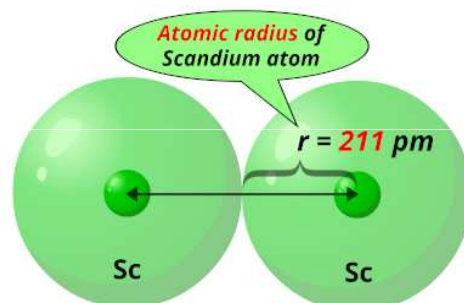
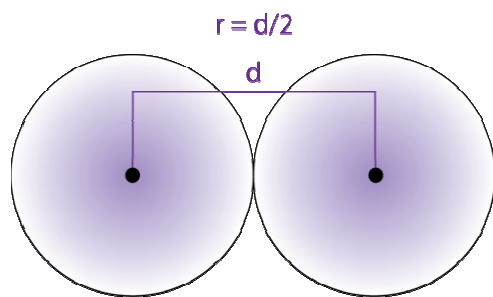
The greater the attracting force of unshielded electrons the less the atomic radius is.



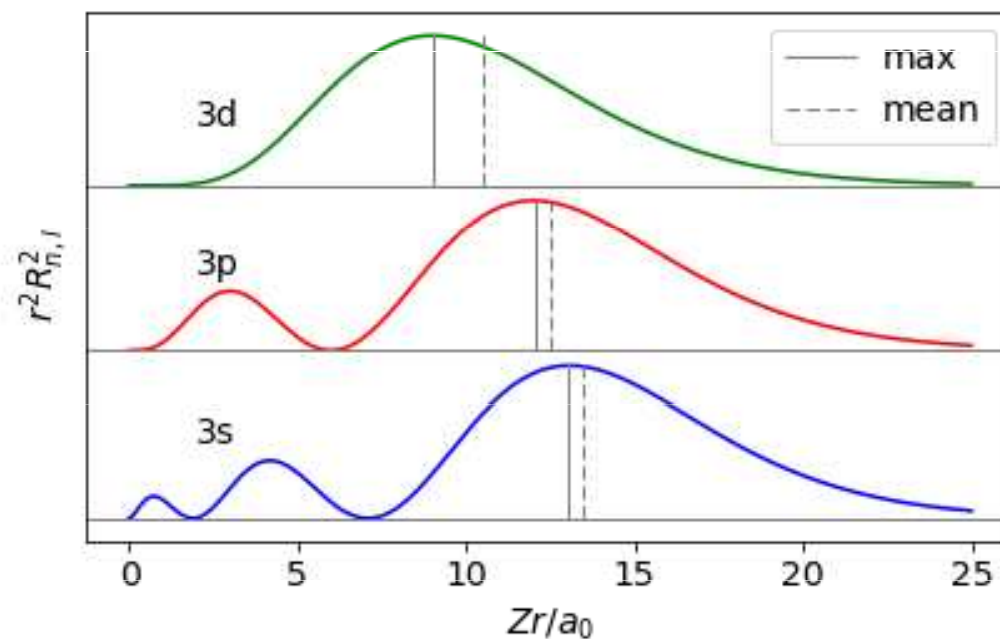
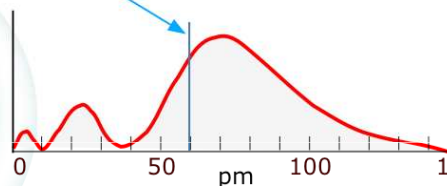
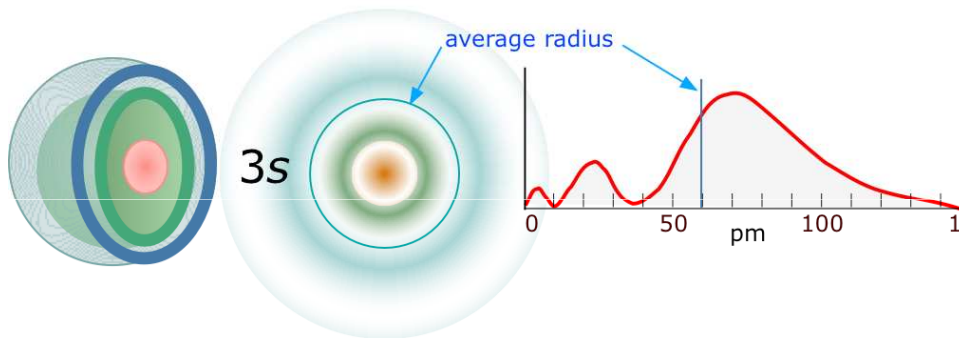
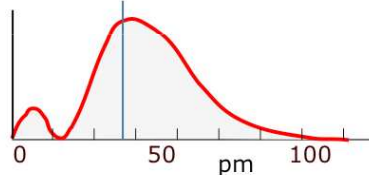
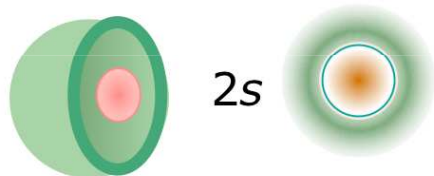
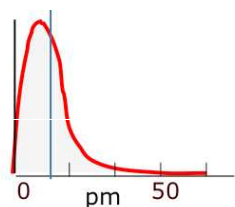


# Atomový poloměr

= polovina vzdálenosti mezi dvěma atomovými jádry téhož prvku (spojené kovalentní vazbou).



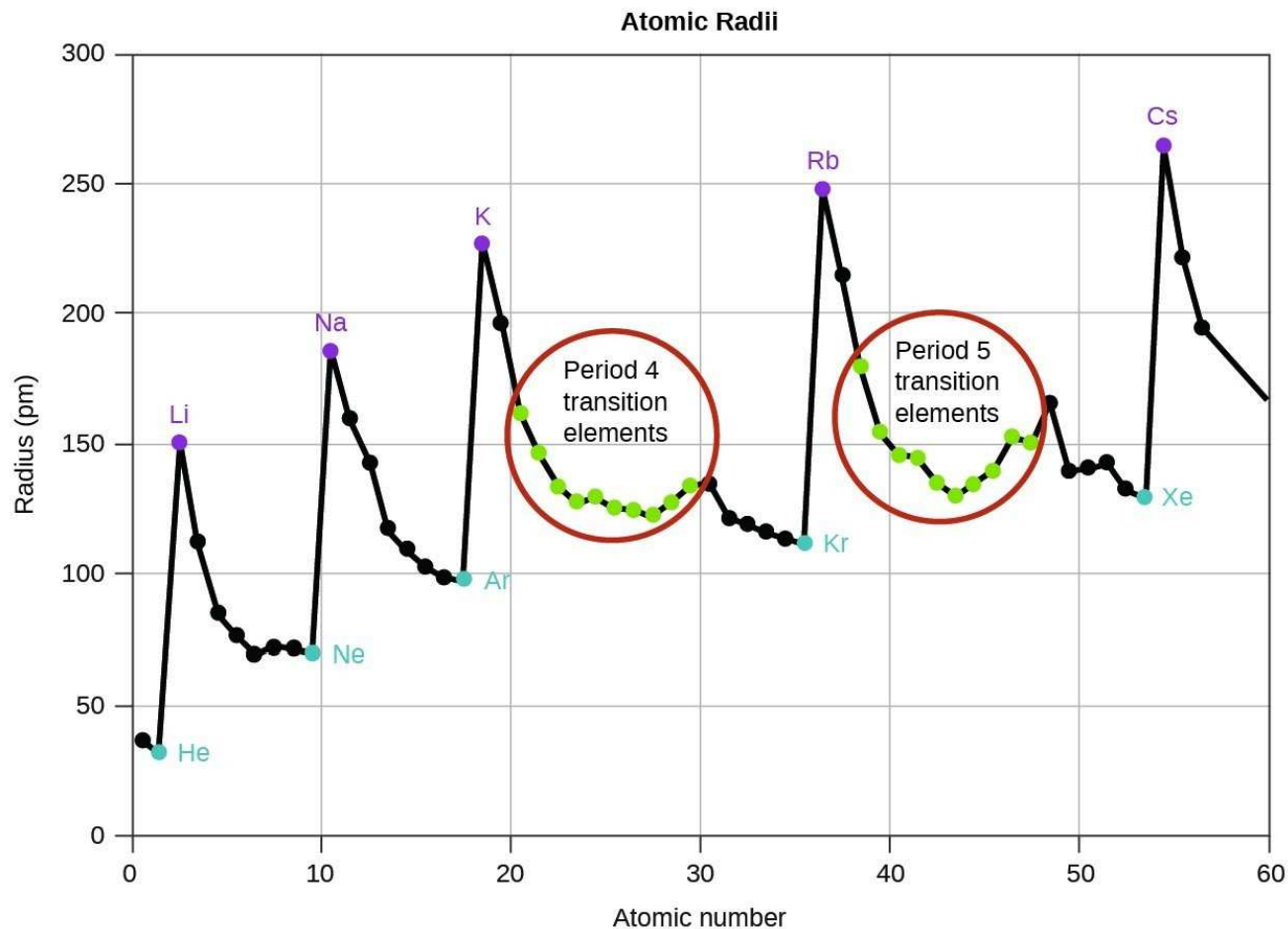
	$Z$	Core	$Z_{\text{eff}}$	Radius (pm)
Na	11	10	1	186
Mg	12	10	2	160
Al	13	10	3	143
Si	14	10	4	132



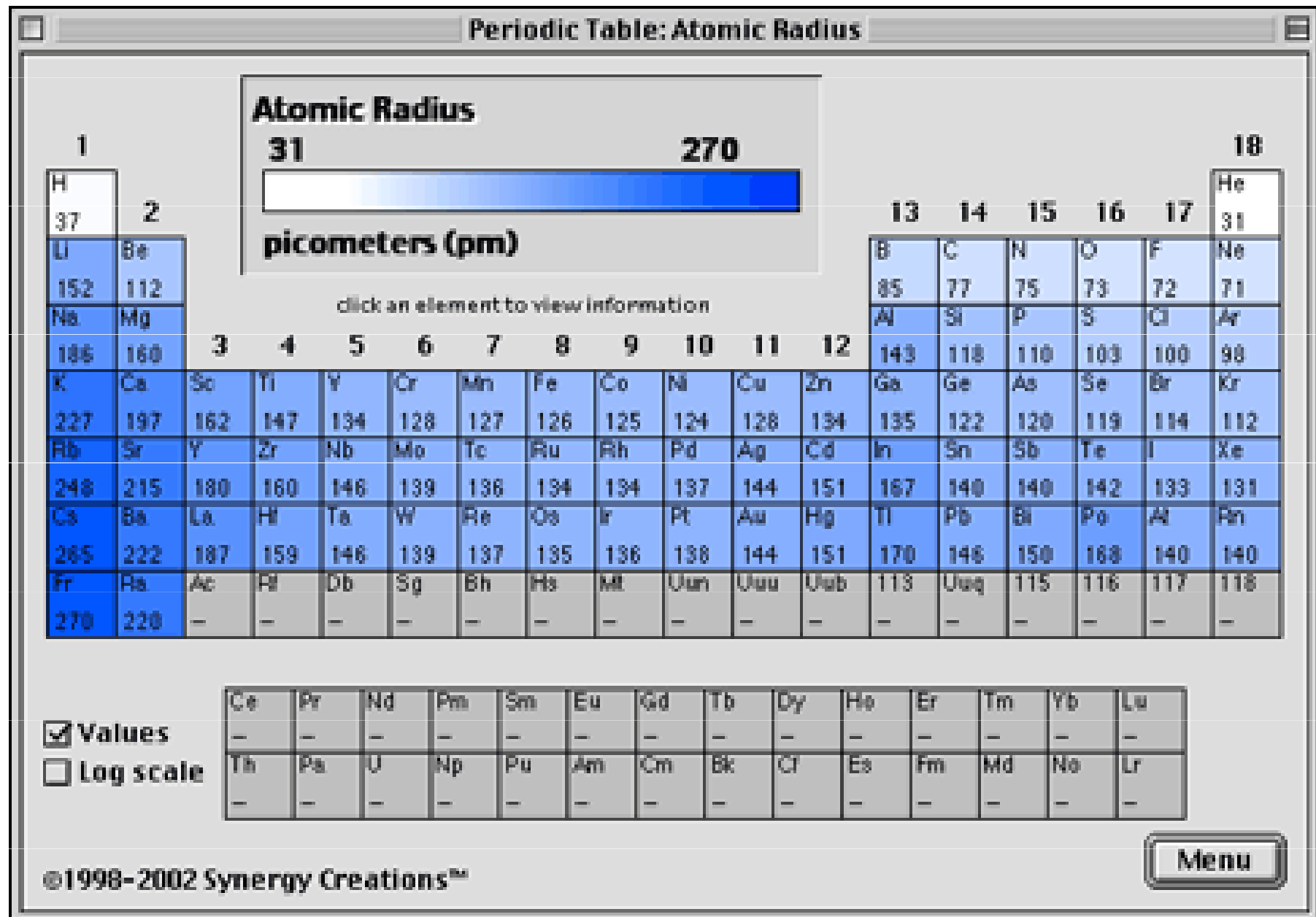


# Atomový poloměr

Velikosti nerovnoměrně klesají v periodách s rostoucím atomovým číslem.  
Velikosti rostou ve skupinách s rostoucím atomovým číslem.



# Atomový poloměr



# Atomový poloměr

$$r_H / a_0 = \frac{n_H (n_H + 1/2)}{Z_H^*}$$

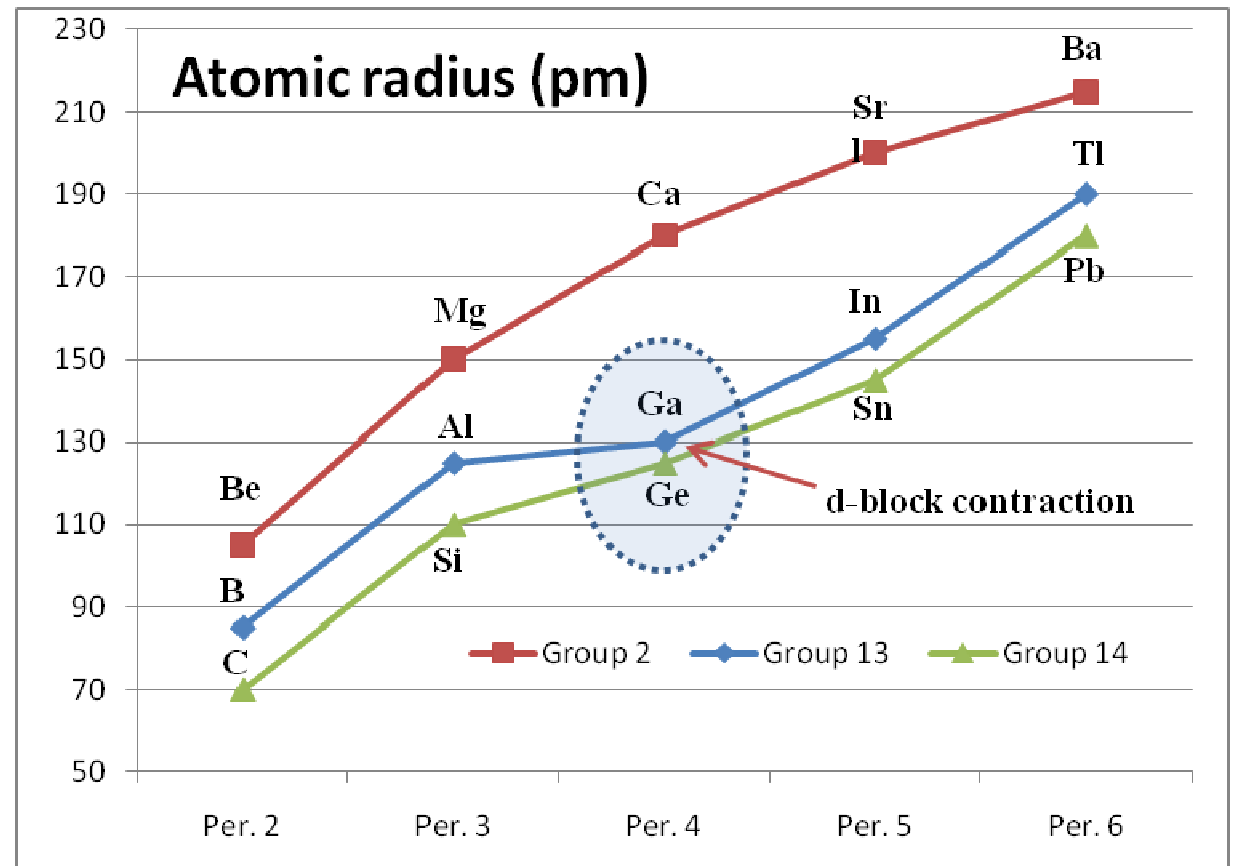
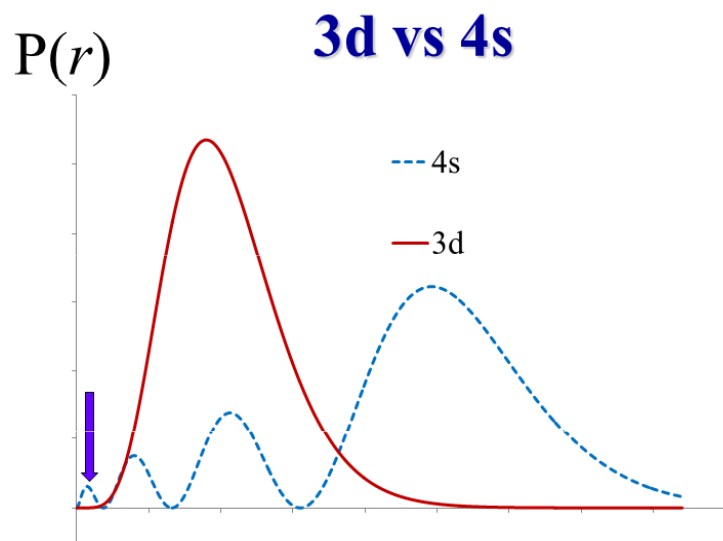
Slater's model

Experimental value x 10<sup>2</sup> pm

1 H 1.50 2.27																	2 He 0.88 2.65
3 Li 3.84 3.44	4 Be 2.56 -											5 B 1.92 -	6 C 1.54 3.21	7 N 1.28 2.93	8 O 1.10 2.88	9 F 0.96 2.78	10 Ne 0.85 2.91
11 Na 4.77 4.29	12 Mg 3.68 3.27											13 Al 3.00 -	14 Si 2.53 3.97	15 P 2.19 3.40	16 S 1.93 3.40	17 Cl 1.72 3.31	18 Ar 1.56 3.55
19 K 7.06 5.20	20 Ca 5.45 -	21 Sc 3.00 -	22 Ti 3.33 -	23 V 3.18 -	24 Cr 3.56 -	25 Mn 2.92 -	26 Fe 2.80 -	27 Co 2.69 -	28 Ni 2.59 3.08	29 Cu 2.84 2.65	30 Zn 2.41 2.63	31 Ga 3.11 3.53	32 Ge 2.75 -	33 As 2.47 3.50	34 Se 2.24 3.59	35 Br 2.04 5.39	36 Kr 1.88 3.82
37 Rb	38 Sr	39 Y	40 Zr	41 Nb	42 Mo	73 Tc	44 Ru	45 Rh	46 Pd	47 Ag	48 Cd	49 In	50 Sn	51 Sb	52 Te	53 I	54 Xe
55 Cs	56 Ba	71 Lu	72 Hf	73 Ta	74 W	75 Re	76 Os	77 Ir	78 Pt	79 Au	80 Hg	81 Tl	82 Pb	83 Bi	84 Po	85 At	86 Rn

# Kontrakce d-bloku

**Kontrakce d-bloku (scandiová kontrakce)** = efekt nedostatečného odstínění vnějších elektronů zaplněným *d* orbitalem ( $d^{10}$ ) u 4p, 5p, 6p a 7p prvků 4. periody. Orbitaly *s* a *p* s o 1 vyšším kvantovým číslem mají více *radiálních nodů*, jsou více *penetrující* než *d*-orbitaly. Vnější valenční elektrony jsou silněji přitahovány k jádru, což je činí méně dostupné pro vazbu a způsobuje zvýšení ionizačních potenciálů.



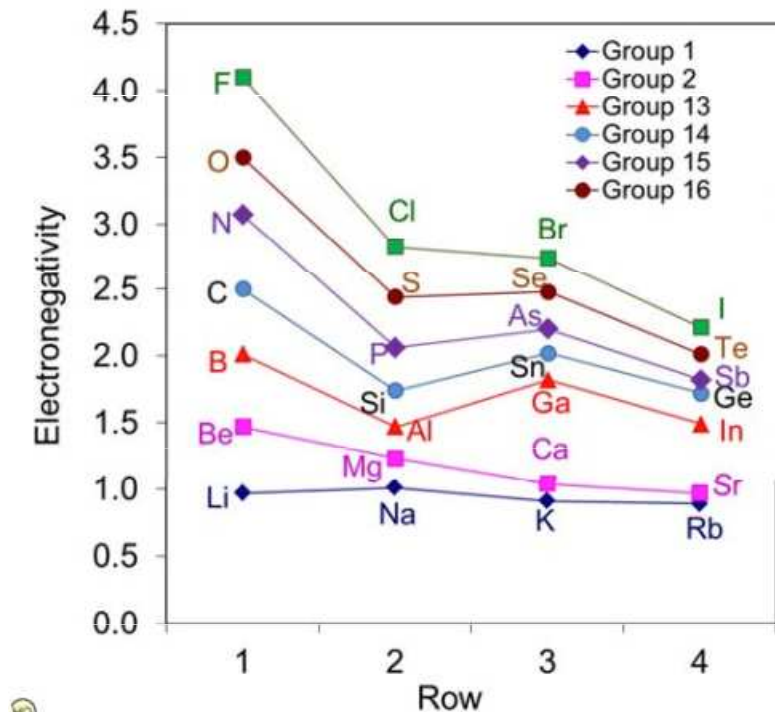
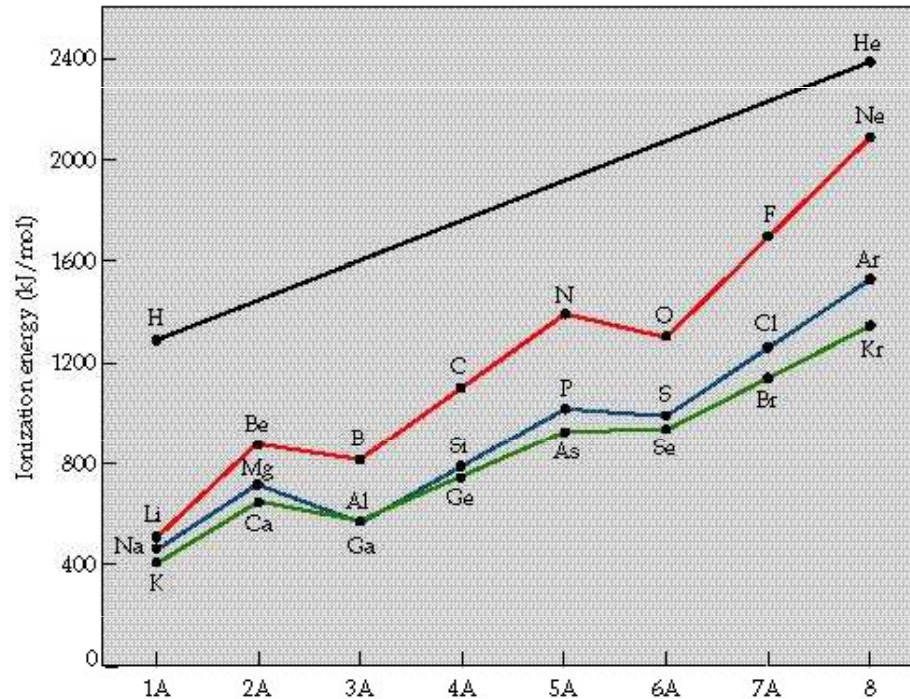
# Důsledky kontrakce d-bloku

Nárůst atomového poloměru mezi C a Si je cca 60 %. Rozdíl mezi atomovými poloměry Si a Ge je v důsledku kontrakce d-bloku asi 20 %.

$\text{Ga}^{3+}$  je menší než by se očekávalo, velikostí se blíží  $\text{Al}^{3+}$ .

$\text{PCl}_5$  i  $\text{SbCl}_5$  jsou stálé, ale  $\text{AsCl}_5$ ,  $\text{AsBr}_5$ ,  $\text{AsI}_5$  neexistují, pouze  $\text{AsF}_5$

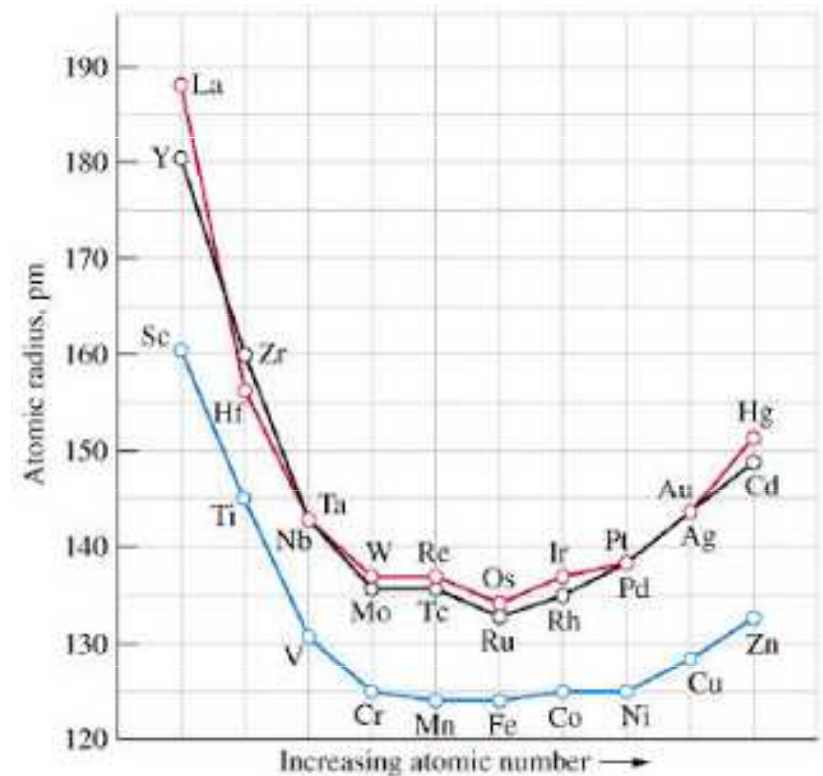
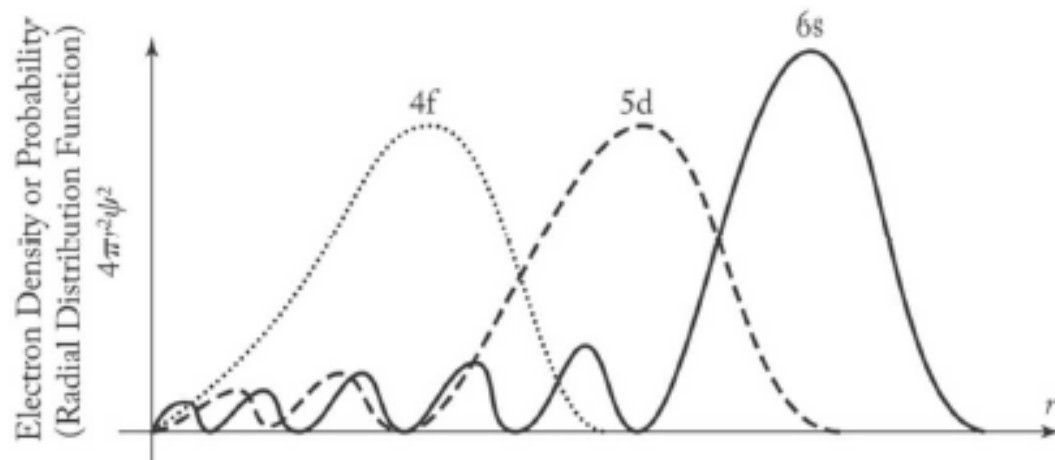
Ionizační energie Ga je vyšší než by se očekávalo, blíží se ionizační energii Al.



# Lanthanoidová kontrakce

= jev, kdy se s postupným zvyšováním atomového čísla prvku zmenšuje poloměr následujících atomů.

Postupné zmenšování atomového poloměru se vysvětluje tím, že elektrony doplňované postupně do orbitalu  $4f$  vykazují nízké stínění kladného náboje atomového jádra a  $6s$  elektrony jsou více přitahovány směrem k jádru. S přibývajícím atomovým číslem a tím i počtem protonů v jádře roste efektivní náboj jádra působící přitažlivou silou na elektrony, což se projeví menším atomovým poloměrem.



## Důsledky lanthanoidové kontrakce

**Atomové poloměry** Hf a Zr jsou téměř stejné v důsledku lanthanoidové kontrakce. Důsledkem toho jsou velmi podobné chemické vlastnosti obou prvků (= „chemická dvojčata“). Totéž platí pro dvojice Nb - Ta, Mo - W, Ru - Os, Rh - Ir, Pd - Pt.

Sc	Ti	V	Cr	Mn	Fe	Co	Ni	Cu	Zn
1.62	1.47	1.34	1.27	1.26	1.26	1.25	1.24	1.28	1.38
Y	Zr	Nb	Mo	Tc	Ru	Rh	Pd	Ag	Cd
1.80	1.60	1.46	1.39	1.36	1.34	1.34	1.37	1.44	1.54
La	Hf	Ta	W	Re	Os	Ir	Pt	Au	Hg
1.87	1.58	1.46	1.39	1.37	1.35	1.36	1.38	1.44	1.57

x 10<sup>2</sup> pm

Rozdíl atomových hmotností Zr a Hf je zhruba dvojnásobný (Zr = 91.2 g.mol<sup>-1</sup> a Hf = 178.5 g.mol<sup>-1</sup>), zatímco jejich atomový poloměr je v důsledku lanthanoidové kontrakce zhruba stejný. **Hustota** Hf (11.4 kg.m<sup>-3</sup>) je tudíž asi dvojnásobná ve srovnání s Zr (6.4 kg.m<sup>-3</sup>). Podobně mají vysokou hustotu i další prvky nacházející se v periodické tabulce za lanthanoidy (Ta, W, ... ).

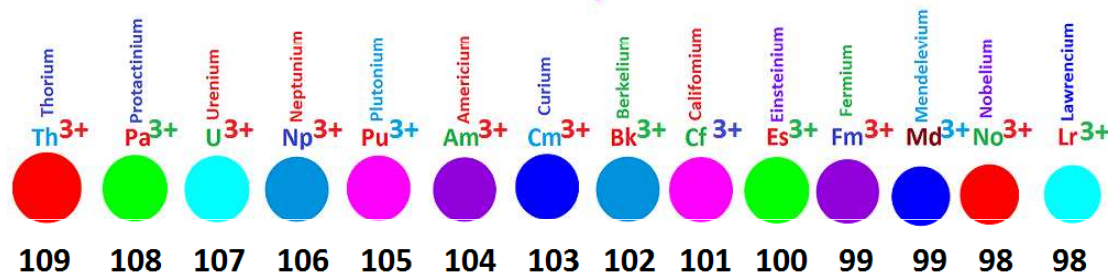
Sc	Ti	V	Cr	Mn	Fe	Co	Ni	Cu	Zn
2.5	4.5	5.9	7.1	7.4	7.9	8.9	8.9	9.0	7.1
Y	Zr	Nb	Mo	Tc	Ru	Rh	Pd	Ag	Cd
5.57	6.4	8.4	10.4	11.5	12.2	12.4	12.0	10.5	8.65
La	Hf	Ta	W	Re	Os	Ir	Pt	Au	Hg
6.14	11.4	16.6	19.3	21.0	22.6	22.5	21.4	19.3	13.6

# Aktinoidová kontrakce

Iontové poloměry aktinoidů postupně klesají se zvyšujícím se atomovým číslem = **aktinoidová kontrakce**, analogická lanthanoidové kontrakci (stínící efekt 5f-orbitalů je v důsledku jejich tvaru mnohem menší ve srovnání se stínícím efektem s, p i d-orbitalů).

Následkem aktinoidové kontrakce roste kovalentní charakter sloučenin aktinoidů s rostoucím atomovým číslem (sloučeniny lawrencia jsou nejvíce kovalentní, sloučeniny aktinia jsou nejméně kovalentní).

What is actinide contraction in chemistry ?

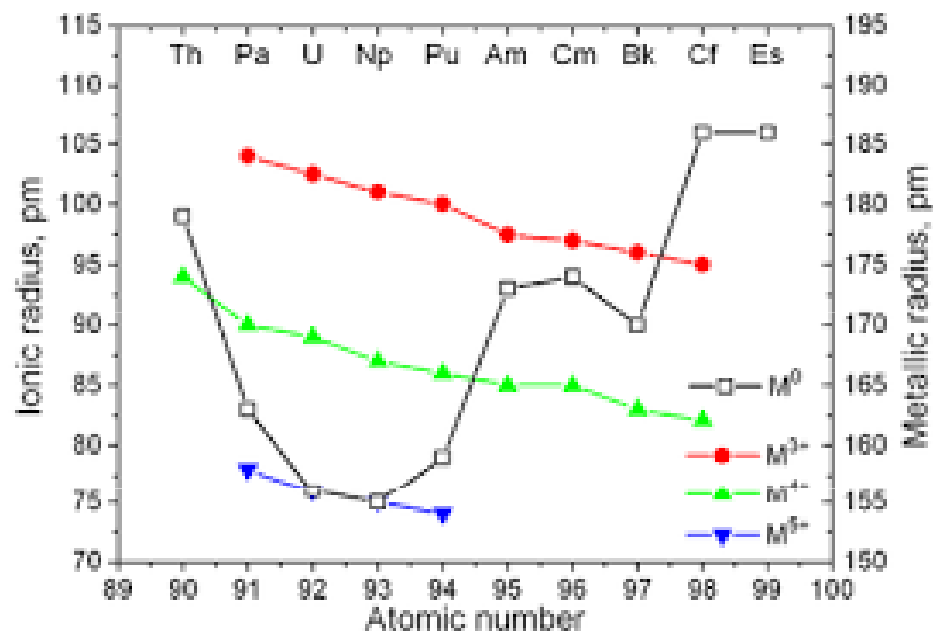


THE IONIC RADII OF ACTINIDE ELEMENTS IN PICO-METER .

The common electronic configuration of actinides is  $5f^{1-14}6d^{0-1}7s^2$  .

Covalent properties :  $\text{Ac}(\text{OH})_3 < \text{Cf}(\text{OH})_3$

Basic strength :  $\text{Ac}(\text{OH})_3 > \text{Cf}(\text{OH})_3$





# Atomový objem

Meyer 1869

$$V = M/\rho$$

**Atomový objem** není úplně ideální ukazatel, kovy mívají odlišnou hustotu v důsledku jejich různé krystalické struktury.

**Alternativní výpočet:**

$$V = (4/3) \pi r^3$$

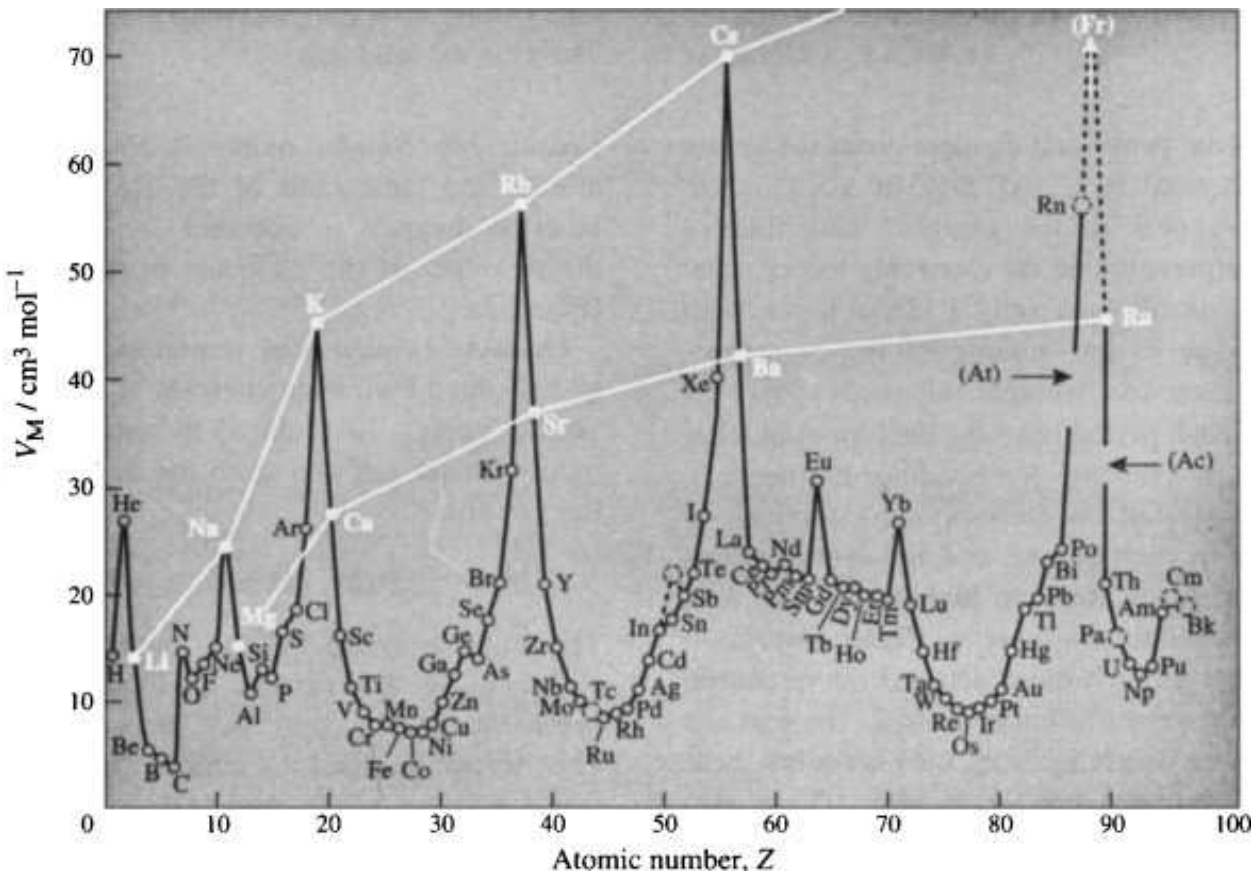
r je atomový poloměr

**Příklad:** Objem atomu vodíku.

$$R = 53 \text{ pm}$$

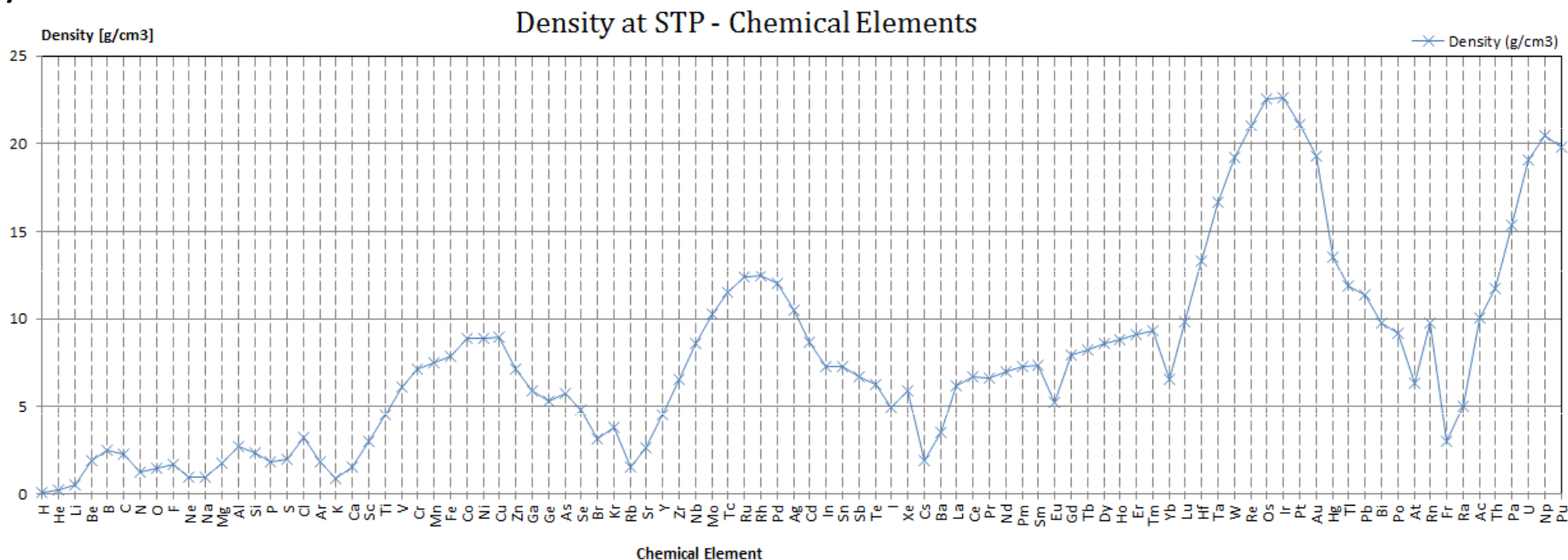
$$V = (4/3)\pi(53^3)$$

$$V = \underline{623000 \text{ pm}^3}$$



# Hustota prvků v pevném stavu

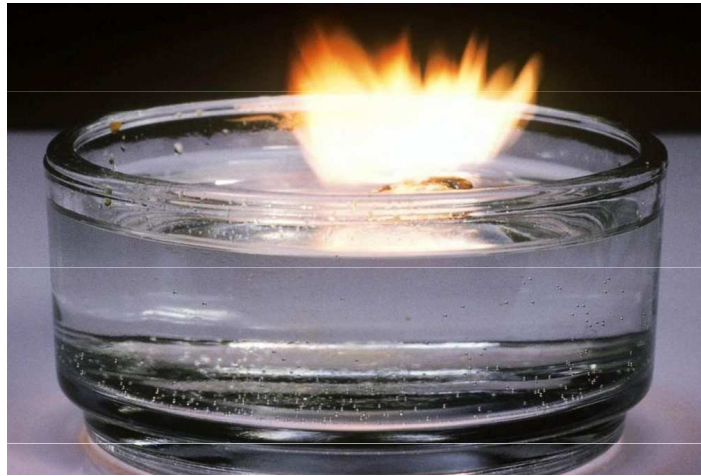
Hustota prvků závisí kromě velikosti atomu také na jeho hmotnosti a uspořádání v krystalu.



**Příklad:** Velmi malou hustotu má např. *lithium* (Li) – 0.5 g/cm<sup>3</sup>, proto může plavat na vodě. Prvky s velmi vysokou hustotou jsou např. osmium (Os) nebo iridium (Ir), jejichž hustota je asi dvojnásobkem hustoty olova. *Osmium* a *iridium* mají malé atomové poloměry, takže mají vyšší hmotnost na jednotkový objem. Je to proto, že jejich 6f- resp. 5f-orbitaly podléhají kontrakci v důsledku nedostatečného odstínění přitažlivé síly jádra. U osmia hraje roli také relativistický efekt.



Lithium



Sodík



Draslík

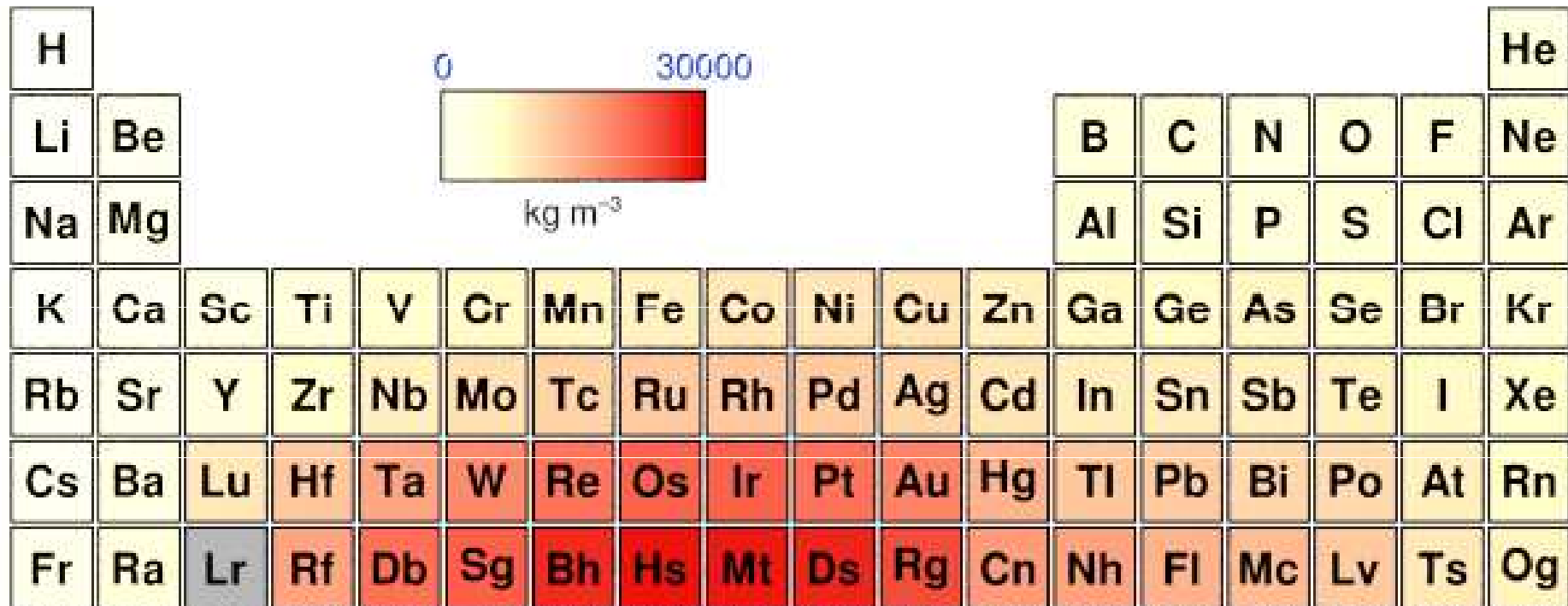


Osmium



Iridium

# Hustota prvků v pevném stavu



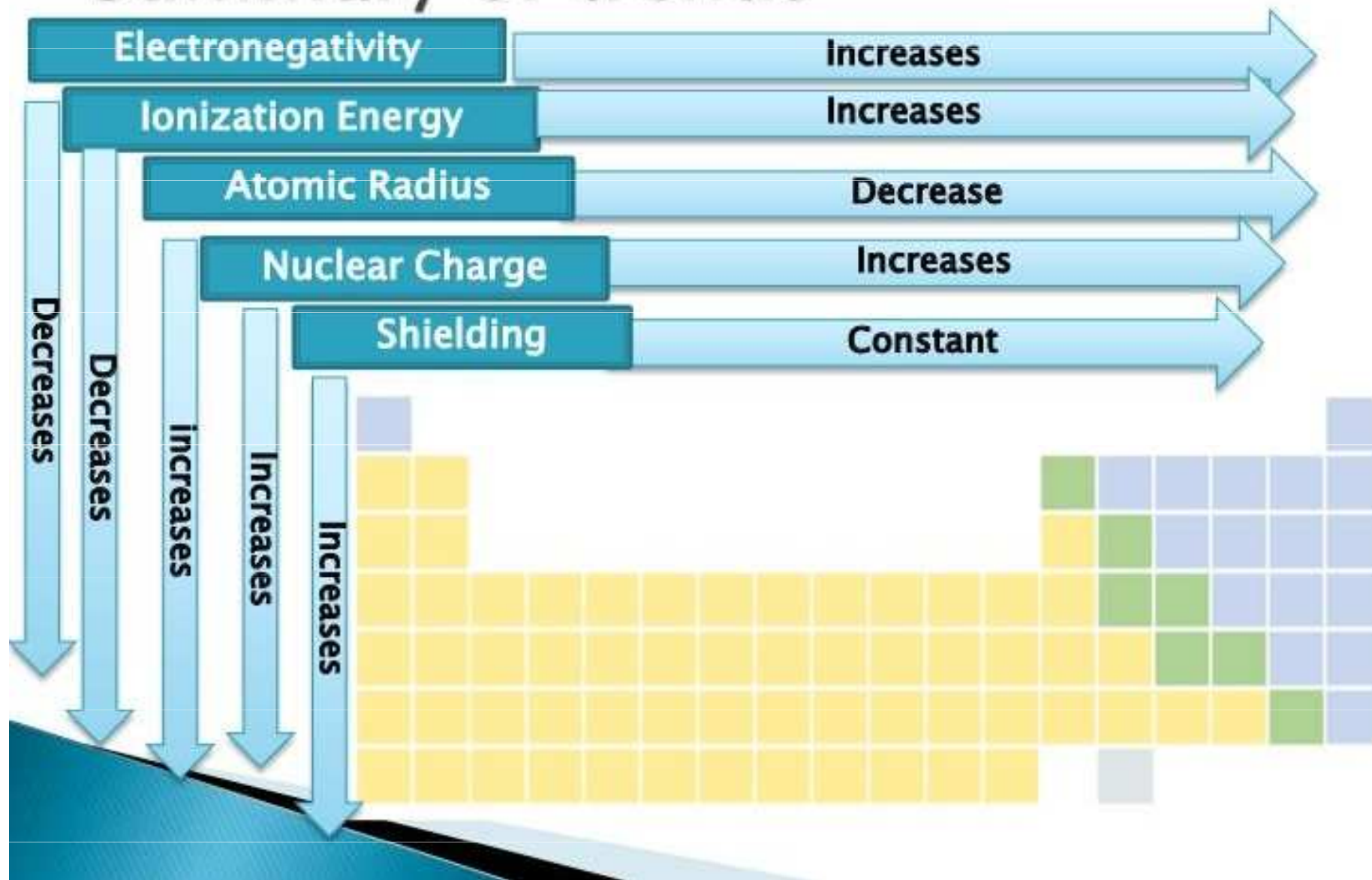
La	Ce	Pr	Nd	Pm	Sm	Eu	Gd	Tb	Dy	Ho	Er	Tm	Yb
Ac	Th	Pa	U	Np	Pu	Am	Cm	Bk	Cf	Es	Fm	Md	No



Density of solid

[www.webelements.com](http://www.webelements.com)

# Summary of trends



# Magnetický moment

$$\mu_s = \sqrt{n(n+2)} \text{ B.M.}$$

B.M. = Bohrův magneton = jednotka magnetického momentu ( $\mu_s$ )

n = počet nepárových elektronů.

## 1. Molekuly/ionty s počtem elektronů (1-3), (3-5), (5-7), (7-10) a (13-16)

$$\text{Počet nepárových elektronů } n = [ |(ND - \text{total } e^-) | ]$$

ND = číslice následující za minimální hodnotou v daném rozsahu (t.j. 2, 4, 6, 8, 14)

total  $e^-$  = suma Z obou prvků - náboj

'| |' = absolutní hodnota

**He<sub>2</sub><sup>+</sup>** (3e<sup>-</sup>), celkový počet elektronů = 3, ND = 2,  $n = |(ND - \text{total } e^-)| = |(2-3)| = 1$ .  $\mu_s = \sqrt{n(n+2)} \text{ B.M.} = \sqrt{1(1+2)} \text{ BM} = \sqrt{3} \text{ BM} = 1.73 \text{ BM}$ .

## 2. Molekuly/ionty s počtem elektronů (10-13) a (16-19)

$$\text{Počet nepárových elektronů } n = [|(PD - \text{total } e^-s)|]$$

PD = předposlední číslice v daném rozsahu (t.j. 12, a 18)

total  $e^-s$  = suma Z obou prvků - náboj

'| |' = absolutní hodnota

**C<sub>2</sub><sup>-</sup>** (13e<sup>-</sup>), celkový počet elektronů = 13, PD = 12,  $n = |12 - \text{total } e^-s| = |12 - 13| = 1$ ,

Magnetic Moment  $\mu_s = \sqrt{n(n+2)}$  B.M. =  $\sqrt{1(1+2)}$  BM =  $\sqrt{3}$  BM = 1.73BM

**F<sub>2</sub>** (18e<sup>-</sup>), celkový počet elektronů = 18, PD = 18,  $n = |18 - \text{total } e^-s| = |18 - 18| = 0$ ,

Magnetic Moment  $\mu_s = \sqrt{n(n+2)}$  B.M. =  $\sqrt{0(0+2)}$  BM = 0 BM = diamagnetická.

## 3. Molekuly/ionty s počtem elektronů 20

$$\text{Počet nepárových elektronů } n = [|(20 - \text{total } e^-s)|]$$

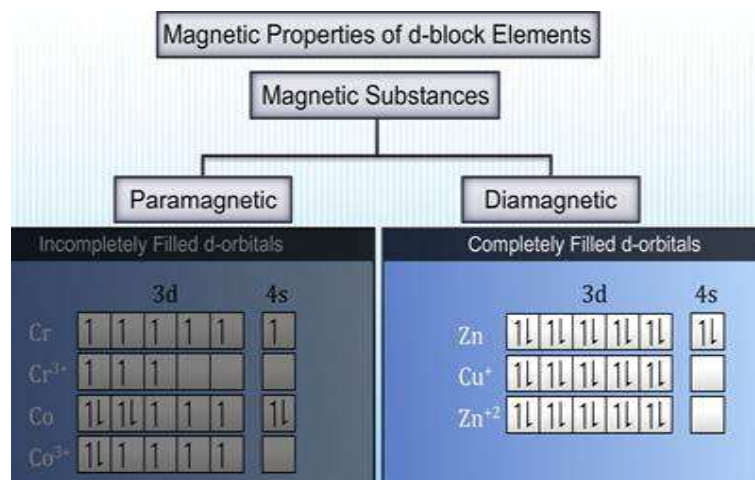
total  $e^-s$  = suma Z obou prvků - náboj

'| |' = absolutní hodnota

**Ne<sub>2</sub>** (13e<sup>-</sup>), celkový počet elektronů = 20,  $n = |20 - \text{total } e^-s| = |20 - 20| = 0$

Magnetic Moment  $\mu_s = \sqrt{n(n+2)}$  B.M. =  $\sqrt{0(0+2)}$  BM = 0 BM = diamagnetická.

Molecules or ions	Total Number of e's	n value (no of unpaired electrons)	Magnetic moment ( $\mu_e$ ) in BM	Remarks
$H_2^+$	1	1	1.73	Para magnetic
$H_2, He_2^{2+}$	2	0	0	Diamagnetic
$H_2^-, He_2^+$	3	1	1.73	Para magnetic
$He_2,$	4	0	0	Diamagnetic
$Li_2^+, He_2^-$	5	1	1.73	Para magnetic
$Li_2, He_2^{2+}, Be_2^{2+}$	6	0	0	Diamagnetic
$Be_2^+, Li_2^-$	7	1	1.73	Para magnetic
$Be_2, Li_2^{2-}$	8	0	0	Diamagnetic
$Be_2^-, B_2^+$	9	1	1.73	Para magnetic
$B_2, Be_2^{2-}, HF$	10	2	2.82	Para magnetic
$B_2^-, C_2^+$	11	1	1.73	Para magnetic
$C_2, B_2^{2-}, N_2^{2+}, CN^+$	12	0	0	Diamagnetic
$C_2^-, N_2^+$	13	1	1.73	Para magnetic
$N_2, CO, NO^+, C_2^{2-}, CN^-, O_2^{2+}$	14	0	0	Diamagnetic
$N_2^-, NO, O_2^+$	15	1	1.73	Para magnetic
$NO^-, O_2$	16	2	2.82	Para magnetic
$O_2^-$	17	1	1.73	Para magnetic
$F_2, O_2^{2-}, HCl$	18	0	0	Diamagnetic
$F_2^-$	19	1	1.73	Para magnetic
$Ne_2$	20	0	0	Diamagnetic





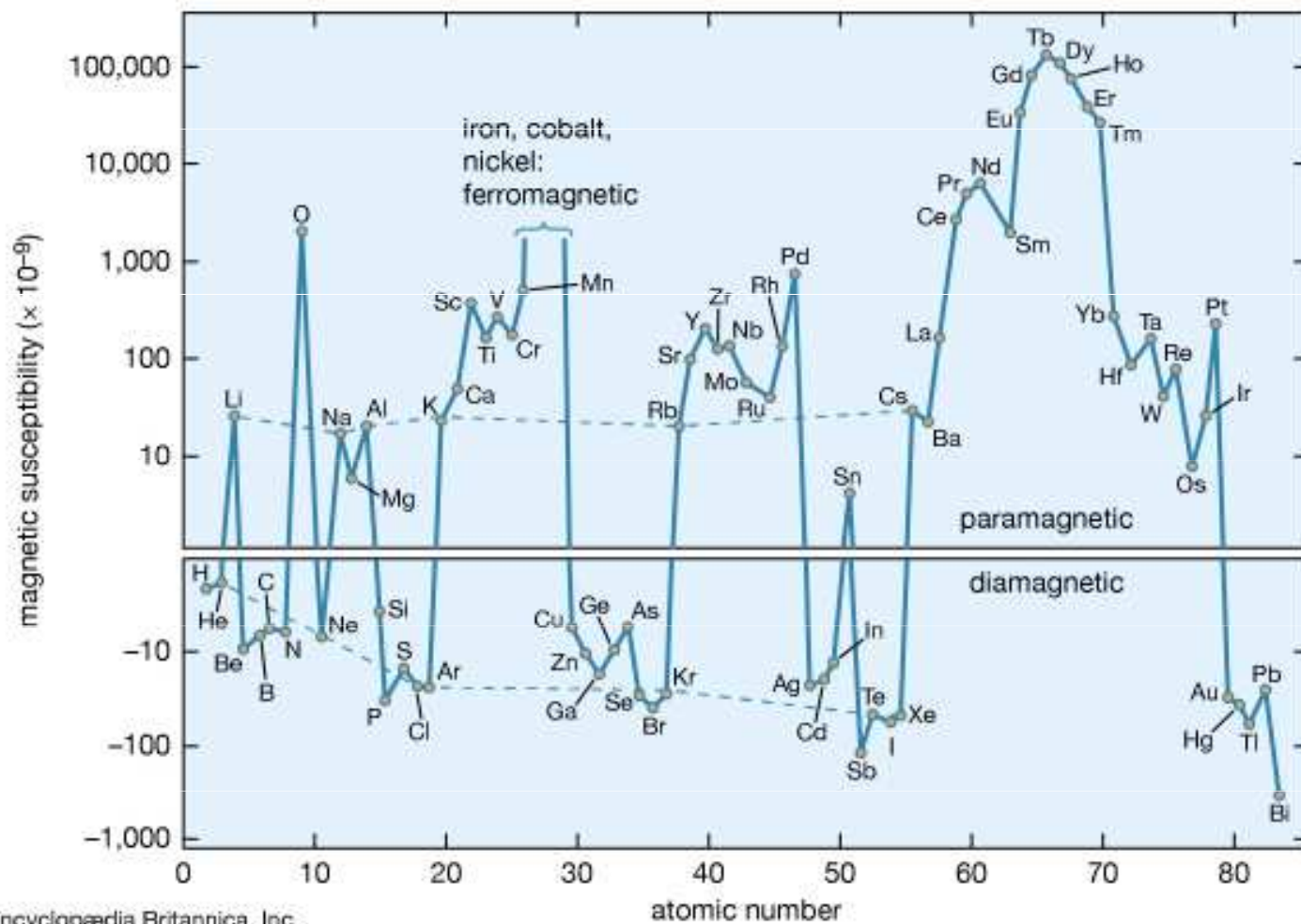
# Magnetické vlastnosti

**Diamagnetické látky:** jsou složeny z částic (atomů), jejichž výsledný magnetický moment je nulový. Ve vnějším magnetickém poli vzniknou magnetické dipóly, jejichž magnetické pole působí proti vnějšímu magnetickému poli. V látce tak dochází k mírnému zeslabení vnějšího magnetického pole.

**Paramagnetické látky:** díky přítomnosti nepárových elektronů v atomovém orbitalu má atom trvalý magnetický moment. Magnetické momenty atomů jsou náhodně orientované kvůli tepelným kmitům mřížky a celkový magnetický moment je proto nulový. V přítomnosti vnějšího magnetického pole dojde k natočení dipólů ve směru vnějšího pole a celkový magnetický moment je orientovaný ve směru vnějšího pole. Paramagnetické látky vnější magnetické pole mírně zesilují.

	Dielektrická konstanta ( $\epsilon$ )	Magnetická susceptibilita ( $\chi$ )
diamagnetická	$\epsilon < 1$	$\chi < 0$
paramagnetická	$\epsilon > 1$	$\chi > 0$

**Feromagnetické látky:** jejich vnitřní magnetické momenty, které mají tendenci spolu silně interagovat. Všechny feromagnetické látky obsahují mikroskopické oblasti, tzv. domény. Uvnitř domén jsou magnetické momenty jednotlivých částic orientovány souhlasně. V nezmagnetovaných vzorcích jsou jednotlivé domény orientovány nahodile, výsledná magnetizace materiálu je nulová. V přítomnosti vnějšího magnetického pole dochází k orientaci domén. Zesílení magnetického pole a orientace domén ve feromagnetické látce je tedy závislé na intenzitě vnějšího pole .



1  
H

2  
He

■ Ferromagnetic

■ Antiferromagnetic

□ Paramagnetic

■ Diamagnetic

3 Li	4 Be											5 B	6 C	7 N	8 O	9 F	10 Ne
11 Na	12 Mg											13 Al	14 Si	15 P	16 S	17 Cl	18 Ar
19 K	20 Ca	21 Sc	22 Ti	23 V	24 Cr	25 Mn	26 Fe	27 Co	28 Ni	29 Cu	30 Zn	31 Ga	32 Ge	33 As	34 Se	35 Br	36 Kr
37 Rb	38 Sr	39 Y	40 Zr	41 Nb	42 Mo	43 Tc	44 Ru	45 Rh	46 Pd	47 Ag	48 Cd	49 In	50 Sn	51 Sb	52 Te	53 I	54 Xe
55 Cs	56 Ba	57 La	58 Hf	59 Ta	60 W	61 Re	62 Os	63 Ir	64 Pt	65 Au	66 Hg	67 Tl	68 Pb	69 Bi	70 Po	71 At	72 Rn
87 Fr	88 Ra	89 Ac															

↓

58 Ce	59 Pr	60 Nd	61 Pm	62 Sm	63 Eu	64 Gd	65 Tb	66 Dy	67 Ho	68 Er	69 Tm	70 Yb	71 Lu
----------	----------	----------	----------	----------	----------	----------	----------	----------	----------	----------	----------	----------	----------

# Magnetic Periodic Table

<b>1</b> H 1.00																	<b>2</b> He 4.00
<b>3</b> Li 6.94 1 + 2s <sup>2</sup>	<b>4</b> Be 9.01 2 + 2s <sup>2</sup>											<b>5</b> B 10.81	<b>6</b> C 12.01	<b>7</b> N 14.01	<b>8</b> O 16.00 5	<b>9</b> F 19.00	<b>10</b> Ne 20.18
<b>11</b> Na 22.99 1 + 3s <sup>2</sup>	<b>12</b> Mg 24.31 2 + 3s <sup>2</sup>											<b>13</b> Al 26.98 3 + 2d <sup>1</sup>	<b>14</b> Si 28.09	<b>15</b> P 30.97	<b>16</b> S 32.07	<b>17</b> Cl 35.45	<b>18</b> Ar 39.95
<b>19</b> K 39.10 1 + 4s <sup>2</sup>	<b>20</b> Ca 40.08 2 + 4s <sup>2</sup>	<b>21</b> Sc 44.96 3 + 3d <sup>1</sup>	<b>22</b> Ti 47.88 4 + 3d <sup>2</sup>	<b>23</b> V 50.94 3 + 3d <sup>2</sup>	<b>24</b> Cr 52.00 3 + 3d <sup>5</sup> 312	<b>25</b> Mn 55.85 2 + 3d <sup>5</sup> 38	<b>26</b> Fe 55.85 3 + 3d <sup>6</sup> 1043	<b>27</b> Co 58.93 2 + 3d <sup>7</sup> 1390	<b>28</b> Ni 58.69 2 + 3d <sup>8</sup> 823	<b>29</b> Cu 63.55 2 + 3d <sup>10</sup>	<b>30</b> Zn 65.39 2 + 3d <sup>10</sup>	<b>31</b> Ga 69.72 3 + 3d <sup>10</sup>	<b>32</b> Ge 72.61	<b>33</b> As 74.92	<b>34</b> Se 78.96	<b>35</b> Br 79.90	<b>36</b> Kr 83.80
<b>37</b> Rb 85.47 1 + 5s <sup>2</sup>	<b>38</b> Sr 87.62 2 + 5s <sup>2</sup>	<b>39</b> Y 88.91 2 + 4d <sup>1</sup>	<b>40</b> Zr 91.22 4 + 4d <sup>2</sup>	<b>41</b> Nb 92.91 5 + 4d <sup>4</sup>	<b>42</b> Mo 95.94 5 + 4d <sup>5</sup>	<b>43</b> Tc 97.9	<b>44</b> Ru 101.1 3 + 4d <sup>6</sup>	<b>45</b> Rh 102.4 3 + 4d <sup>7</sup>	<b>46</b> Pd 106.4 2 + 4d <sup>10</sup>	<b>47</b> Ag 107.9 1 + 4d <sup>10</sup>	<b>48</b> Cd 112.4 2 + 4d <sup>10</sup>	<b>49</b> In 114.8 3 + 4d <sup>10</sup>	<b>50</b> Sn 118.7 4 + 4d <sup>10</sup>	<b>51</b> Sb 121.8	<b>52</b> Te 127.6	<b>53</b> I 126.9	<b>54</b> Xe 83.80
<b>55</b> Cs 132.9 1 + 6s <sup>2</sup>	<b>56</b> Ba 137.3 2 + 6s <sup>2</sup>	<b>57</b> La 138.9	<b>72</b> Hf 178.5 4 + 5d <sup>2</sup>	<b>73</b> Ta 180.9 5 + 5d <sup>3</sup>	<b>74</b> W 183.8 6 + 5d <sup>4</sup>	<b>75</b> Re 186.2 4 + 5d <sup>5</sup>	<b>76</b> Os 190.2 3 + 5d <sup>6</sup>	<b>77</b> Ir 192.2 4 + 5d <sup>7</sup>	<b>78</b> Pt 195.1 2 + 5d <sup>9</sup>	<b>79</b> Au 197.0 1 + 5d <sup>10</sup>	<b>80</b> Hg 200.6 2 + 5d <sup>10</sup>	<b>81</b> Tl 204.4 3 + 5d <sup>10</sup>	<b>82</b> Pb 207.2 4 + 5d <sup>10</sup>	<b>83</b> Bi 209.0	<b>84</b> Po 209	<b>85</b> At 210	<b>86</b> Rn 222
<b>87</b> Fr 223	<b>88</b> Ra 226.0 2 + 7s <sup>2</sup>	<b>89</b> Ac 227.0															
			<b>58</b> Ce 140.1 4 + 4f <sup>1</sup> 13	<b>59</b> Pr 140.9 3 + 4f <sup>2</sup>	<b>60</b> Nd 144.2 3 + 4f <sup>3</sup> 19	<b>61</b> Pm 145	<b>62</b> Sm 150.4 3 + 4f <sup>6</sup> 106	<b>63</b> Eu 152.0 2 + 4f <sup>7</sup> 96	<b>64</b> Gd 157.3 3 + 4f <sup>7</sup> 292	<b>65</b> Tb 158.9 3 + 4f <sup>9</sup> 223 221	<b>66</b> Dy 162.5 3 + 4f <sup>10</sup> 179 85	<b>67</b> Ho 164.9 3 + 4f <sup>11</sup> 122 20	<b>68</b> Er 167.3 3 + 4f <sup>12</sup> 85 20	<b>69</b> Tm 168.9 3 + 4f <sup>13</sup> 55	<b>70</b> Yb 173.0 3 + 4f <sup>14</sup>	<b>71</b> Lu 175.0 3 + 4f <sup>14</sup>	
			<b>90</b> Th 232.0 4 + 5f <sup>1</sup>	<b>91</b> Pa 231.0 5 + 5f <sup>2</sup>	<b>92</b> U 238.0 4 + 5f <sup>3</sup>	<b>93</b> Np 238.0 5 + 5f <sup>4</sup>	<b>94</b> Pu 244	<b>95</b> Am 243	<b>96</b> Cm 247	<b>97</b> Bk 247	<b>98</b> Cf 251	<b>99</b> Es 252	<b>100</b> Fm 257	<b>101</b> Md 258	<b>102</b> No 259	<b>103</b> Lr 260	

Atomic Number → **66** Dy  
 Atomic symbol → **Dy**  
 Atomic weight → **162.5**  
 Typical ionic charge → **3 + 4<sup>+</sup>**  
 Antiferromagnetic T<sub>N</sub>(K) → **173 85**  
 Ferromagnetic T<sub>C</sub>(K) → **85**

- Nonmetal
- Diamagnet
- Ferromagnet T<sub>C</sub> > 290K
- Metal
- Paramagnet
- Antiferromagnet with T<sub>N</sub> > 290K
- Radioactive
- BOLD** Magnetic atom
- Antiferromagnet/Ferromagnet with T<sub>N</sub>/T<sub>C</sub> < 290 K